

การชดเชยอุณหภูมิในวงจรมายล็อก-แอนติล็อก และวงจรเรียงกระแสเต็มคลื่น

TEMPERATURE COMPENSATED LOG/ANTILOG AMPLIFIERS AND  
PRECISION FULL-WAVE RECTIFIER

ชัยวัฒน์ จงกุลสถิตย์

CHAIWAT JONGKUNSTIDCHAI

วิทยานิพนธ์นี้เป็นส่วนหนึ่งของการศึกษาตามหลักสูตรปริญญาวิทยาศาสตรบัณฑิต

สาขาวิชาวิศวกรรมไฟฟ้า

บัณฑิตวิทยาลัย

สถาบันเทคโนโลยีพระจอมเกล้าเจ้าคุณทหารลาดกระบัง

พ.ศ. 2550

KMITL-2007-EN-D-018-073

การชดเชยอุณหภูมิในวงจรขยายล็อก-แอนติล็อก และวงจรเรียงกระแสเต็มคลื่น

TEMPERATURE COMPENSATED LOG/ANTILOG AMPLIFIERS AND  
PRECISION FULL-WAVE RECTIFIER

ชัยวัฒน์ จงกุลสถิตชัย

CHAIWAT JONGKUNSTIDCHAI

วิทยานิพนธ์นี้เป็นส่วนหนึ่งของการศึกษาตามหลักสูตรปริญญาวิศวกรรมศาสตรดุษฎีบัณฑิต

สาขาวิชาวิศวกรรมไฟฟ้า

บัณฑิตวิทยาลัย

สถาบันเทคโนโลยีพระจอมเกล้าเจ้าคุณทหารลาดกระบัง

พ.ศ.2550

KMITL-2007-EN-D-018-073

**TEMPERATURE COMPENSATED  
LOG/ANTILOG AMPLIFIERS AND PRECISION FULL-WAVE RECTIFIER**

**CHAIWAT JONGKUNSTIDCHAI**

**A THESIS SUBMITTED IN PARTIAL FULFILLMENT  
OF THE REQUIREMENTS FOR THE DEGREE OF  
DOCTOR OF ENGINEERING IN ELECTRICAL ENGINEERING  
SCHOOL OF GRADUATE STUDIES  
KING MONGKUT'S INSTITUTE OF TECHNOLOGY LADKRABANG**

**2007**

**KMITL-2007-EN-D-018-073**

**COPYRIGHT 2007**

**SCHOOL OF GRADUATE STUDIES**

**KING MONGKUT'S INSTITUTE OF TECHNOLOGY LADKRABANG**

หัวข้อวิทยานิพนธ์	การชดเชยอุณหภูมิในวงจรขยายลือก-แอนติลือก และ วงจรเรียงกระแสเต็มคลื่น
นักศึกษา	นายชัยวัฒน์ จงกุลสถิตชัย
รหัสประจำตัว	45160303
ปริญญา	วิศวกรรมศาสตรศุภบัณฑิต
สาขาวิชา	วิศวกรรมไฟฟ้า
พ.ศ.	2550
อาจารย์ผู้ควบคุมวิทยานิพนธ์	ศาสตราจารย์ ดร. วัลลภ สุระกำพลธร

### บทคัดย่อ

วิทยานิพนธ์นี้ นำเสนอวิธีชดเชยอุณหภูมิภายใน วงจรขยายสัญญาณแบบลือก/แอนติลือก และวงจรเรียงกระแสแบบเต็มคลื่น ที่มีการประมวลผลสัญญาณในรูปแบบกระแส โดย วงจรขยายสัญญาณแบบลือก/แอนติลือก ที่นำเสนอ นั้น ได้ถูกออกแบบให้ใช้เพียงทรานซิสเตอร์ชนิด NPN เพียงอย่างเดียว ทั้งยังมีรูปแบบวงจรที่เรียบง่าย มีขนาดเล็ก และกินกำลังงานต่ำ สำหรับในส่วนของวงจรเรียงกระแสแบบเต็มคลื่น ได้ประยุกต์ใช้ วงจรขยายความนำเชิงปฏิบัติการ เพื่อหลีกเลี่ยงปัญหา การสูญเสียแรงดันช่วงก่อนปฏิบัติการจากการใช้ไดโอด นอกจากนี้ยังได้เสนอเทคนิควิธีการลดผลของช่วงปฏิบัติการอินพุตแคบ และผลค่าอัตราขยายความนำที่เปลี่ยนแปลงตามอุณหภูมิของวงจรขยายความนำเชิงปฏิบัติการอีกด้วย ผลการจำลองการทำงานด้วยโปรแกรม PSPICE และผลการทดลองวงจรจริง ยืนยันถึงประสิทธิภาพของเทคนิคที่นำเสนอได้เป็นอย่างดี

<b>Thesis Title</b>	Temperature-Compensated Log/ Antilog Amplifiers and Precision Full-Wave Rectifier
<b>Student</b>	Chaiwat Jongkunsitdchai
<b>Student ID.</b>	45160303
<b>Degree</b>	Doctor of Engineering
<b>Program</b>	Electrical Engineering
<b>Year</b>	2007
<b>Thesis Advisor</b>	Professor Dr. Wanlop Surakamponorn

## **ABSTRACT**

This thesis presents the temperature-compensation techniques for implementing log/antilog amplifiers and a full-wave rectifier circuit that are operated in current-mode signal domain. Log and antilog amplifiers are employing only the NPN bipolar transistors, resulting in simple circuit, low-cost fabrication, and low power consumption. The proposed full-wave rectifier makes use of the operation transconductance amplifier (OTA) to avoid the turn-on voltage problem, as it usually occurs in the traditional circuits based on diode. In addition, the proposed techniques can be reduced two major drawbacks of OTA circuit such as input voltage limitation and temperature dependent. Simulation and experiment results show good agreement in performance and feasibility of the proposed circuits.

# กิติกรรมประกาศ

วิทยานิพนธ์ฉบับนี้สำเร็จลุล่วงได้ด้วยดี ผู้เขียนขอกราบขอบพระคุณ ศาสตราจารย์ ดร.วัลลภ สุระกำพลธร อาจารย์ที่ปรึกษาเป็นอย่างสูง ที่ได้ให้ความรู้และความคิดริเริ่ม คำปรึกษา และคำชี้แนะแนวทางในการแก้ไขปัญหาต่างๆ อย่างทุ่มเท ตลอดจนการฝึกฝนให้ผู้เขียนมีความสามารถในการทำวิจัย และพัฒนาได้อย่างมีประสิทธิภาพมาโดยตลอดระยะเวลาการศึกษา

ขอขอบคุณ รองศาสตราจารย์ ดร.เกียรติศักดิ์ กมวัชระ ที่ได้ให้คำปรึกษาวิธีการแก้ไข ปัญหาต่างๆ ที่เกิดขึ้น ทั้งชี้แนะแนวทางในการวิจัยตลอดการศึกษาได้ด้วยดี รวมถึงสามารถให้ผู้เขียนผ่านอุปสรรคต่างๆ ในการทำวิทยานิพนธ์ร่วมกับอาจารย์ที่ปรึกษาเป็นอย่างดี ทำให้การเรียบเรียงวิทยานิพนธ์ฉบับนี้มีความสมบูรณ์มากยิ่งขึ้น

ขอขอบคุณ เฉลิมภักดิ์ ฟองสมุทร ที่ได้คำปรึกษาและชี้แนะแนวทางในการทำวิจัยครั้งนี้ อีกทั้งช่วยแก้ไข และให้คำแนะนำในหัวข้อบางจุดที่ผู้วิจัยคิดปัญหาบางอย่าง ซึ่งทำให้ผู้วิจัยสามารถเข้าใจในการแก้ปัญหานี้ลุล่วง ในครั้งนี้ด้วยดี

ขอขอบคุณ ภัทรา เพียรชอบ ที่ได้ตรวจต้นฉบับ และช่วยเหลือในการจัดพิมพ์งานวิจัยให้สำเร็จ อีกทั้งน้องๆ ทุกคนของห้องปฏิบัติการ Mixed Signal Processing ที่เป็นกำลังใจให้ตลอด

ขอขอบคุณ ประดับ จงกุลสถิตชัย ที่ให้กำลังใจ และการสนับสนุน ในการทำวิทยานิพนธ์นี้ได้จนประสบผลสำเร็จ

ขอขอบคุณ คณะวิศวกรรมศาสตร์ โครงการ ReCCIT และ JICA ที่ให้การสนับสนุนในการเดินทางไปประชุมวิชาการต่างประเทศ และสำนักงานพัฒนาวิทยาศาสตร์และเทคโนโลยีแห่งชาติ ภายใต้โครงการทุนส่งเสริมวิชาชีพนักวิจัย ประเภทรางวัลพัฒนาวิชาชีพนักวิจัย และศูนย์เทคโนโลยีอิเล็กทรอนิกส์และคอมพิวเตอร์แห่งชาติภายใต้โครงการสนับสนุนการออกแบบวงจรรวมในสถาบันการศึกษา ที่ให้ทุนและเครื่องมือสนับสนุนการวิจัยครั้งนี้

ขอขอบคุณมหาวิทยาลัยเทคโนโลยีราชมงคลรัตนโกสินทร์ที่สนับสนุนทุนการศึกษา และสำนักวิทยบริการและเทคโนโลยีสารสนเทศ มหาวิทยาลัยเทคโนโลยีราชมงคลรัตนโกสินทร์ ที่ให้การสนับสนุนเครื่องมือในการจัดพิมพ์วิทยานิพนธ์นี้

สุดท้ายนี้ขอขอบคุณบัณฑิตวิทยาลัย คุณค่า และประโยชน์อันพึงมีจากวิทยานิพนธ์ฉบับนี้ ผู้วิจัยขอขอบแต่ผู้มีพระคุณทุกท่าน

ชัยวัฒน์ จงกุลสถิตชัย

# สารบัญ

	หน้า
บทคัดย่อภาษาไทย.....	I
บทคัดย่อภาษาอังกฤษ.....	II
กิตติกรรมประกาศ.....	III
สารบัญ.....	IV
สารบัญภาพ.....	X
บทที่ 1 บทนำ.....	1
1.1 ความเป็นมาและความสำคัญของปัญหา.....	1
1.2 จุดมุ่งหมายและวัตถุประสงค์ของวิทยานิพนธ์.....	2
1.2.1 ศึกษาค้นคว้าหลักการนำBJT ชนิดNPN มาใช้ออกแบบวงจรขยายสัญญาณลือก และวงจรขยายสัญญาณแอนติลือกที่มีการชดเชยอุณหภูมิ.....	3
1.2.2 สามารถสร้างวงจรขยายสัญญาณลือก และวงจรขยายสัญญาณแอนติลือก ที่ใช้กับแรงดันต่ำ.....	3
1.2.3 ลดจำนวนอุปกรณ์ที่ใช้ในวงจรให้น้อยที่สุด.....	3
1.2.4 มีความเหมาะสมที่จะนำไปออกแบบเป็นวงจรรวมได้.....	3
1.2.5 ศึกษาंनाวงจรเรียงกระแสเต็มคลื่น โดยใช้โอทีเอทีที่ถูกนำเสนอ ในหลักการใหม่ที่มีการชดเชยทางอุณหภูมิ.....	3
1.2.6 วงจรเรียงกระแสเต็มคลื่นที่ออกแบบสามารถรับสัญญาณทางอินพุตได้กว้าง และยังสามารถควบคุมการทำงานของวงจรโดยสามารถปรับกระแสทาง เข้าที่พุทได้ด้วยการควบคุมทางอิเล็กทรอนิกส์.....	3
1.2.7 วงจรเรียงกระแสเต็มคลื่นสามารถลดความเพี้ยนของสัญญาณทางเข้าที่พุท ที่บริเวณช่วงสัญญาณการเบี่ยงเบนที่ผ่านจุดศูนย์.....	3
1.2.8 สามารถควบคุมทิศทางการเรียงกระแสได้.....	3
1.3 ทฤษฎีและแนวคิดที่ใช้ในการวิจัย.....	3
1.4 รายละเอียดของวิทยานิพนธ์.....	3
บทที่ 2 การวิเคราะห์หาค่าพารามิเตอร์ของไบโพลาร์ทรานซิสเตอร์.....	5
2.1 บทนำ.....	5
2.2 โครงสร้างและสมการทำงานไบโพลาร์ทรานซิสเตอร์.....	5

## สารบัญ(ต่อ)

	หน้า
2.2.1 วงจรสมมูลและแบบจำลองไบโพลาร์ทรานซิสเตอร์.....	5
2.2.2 สมการที่ใช้ในการคำนวณค่าพารามิเตอร์ที่สำคัญของ ไบโพลาร์ทรานซิสเตอร์.....	7
2.3 ผลของอุณหภูมิในไบโพลาร์ทรานซิสเตอร์.....	8
2.4 บทสรุป.....	11
<b>บทที่3 การชดเชยอุณหภูมิของวงจรถานส์ลิเนียร์.....</b>	<b>13</b>
3.1 บทนำ.....	13
3.2 หลักการเบื้องต้น และทฤษฎีของวงจรถานส์ลิเนียร์รูป.....	14
3.3 การประยุกต์ใช้งานของวงจรถานส์ลิเนียร์รูป.....	17
3.3.1 วงจรคูณและหาร.....	18
3.3.2 วงจรสะท้อนกระแส.....	19
3.3.3 วงจรสายพานกระแสในรูปแบบทรานส์ลิเนียร์รูป.....	22
3.3.4 วงจรขยายคลาส AB แบบทรานส์ลิเนียร์รูป.....	23
3.3.5 วงจรสายพานกระแสยุคที่สองซึ่งควบคุมได้ด้วยกระแสหรือ CCCII.....	25
3.3.5.1 วงจรสายพานกระแสยุคที่สองแบบปรับค่าได้.....	27
3.3.5.2 วงจรสายพานกระแสยุคที่สองแบบปรับค่าได้.....	28
3.4 การชดเชยอุณหภูมิในวงจรถานส์ลิเนียร์รูปแบบทรานส์ลิเนียร์รูป.....	29
3.4.1 แหล่งจ่ายกระแสคงที่ขึ้นตรงกับอุณหภูมิ.....	31
3.4.2 การชดเชยอุณหภูมิในรูปแบบทรานส์ลิเนียร์รูป.....	33
3.5 บทสรุป.....	34
<b>บทที่4 การชดเชยอุณหภูมิของวงจรถายไอทีเอ.....</b>	<b>35</b>
4.1 บทนำ.....	35
4.2 หลักการพื้นฐานวงจรถายทรานส์คอนดักแตนซ์.....	35
4.3 โครงสร้างและรูปแบบการทำงานภายในของวงจรถายไอทีเอ.....	38
4.3.1 การทำงานของวงจรถายไอทีเอ.....	38
4.4 การชดเชยอุณหภูมิของวงจรถายไอทีเอ.....	42

## สารบัญ(ต่อ)

	หน้า
4.4.1 วงจรชดเชยอุณหภูมิของวงจรถายโอทีเอที่ทำงาน ในรูปแบบทรานส์ลิเนียร์รูป.....	43
4.4.2 การชดเชยอุณหภูมิของวงจรถายโอทีเอในรูปแบบ วงจรถ่ายแรงดันเป็นกระแส.....	44
4.5 บทสรุป.....	48
<b>บทที่ 5 การชดเชยอุณหภูมิในวงจรถายสัญญาณล็อกการิมิคและวงจรถายสัญญาณ แอนติล็อกการิมิค.....</b>	<b>49</b>
5.1 บทนำ.....	49
5.2 วงจรถายสัญญาณล็อกการิมิครูปแบบทรานซิสเตอร์ใช้ทรานส์ลิเนียร์รูป ที่ขึ้นกับอุณหภูมิ.....	50
5.2.1 หลักการพื้นฐานของวงจรถายสัญญาณล็อกการิมิครูปแบบไบโพลาร์.....	50
5.2.2 สมการของวงจรถายสัญญาณล็อกการิมิค.....	51
5.2.3 วิเคราะห์คุณสมบัติการทำงานของวงจรถายสัญญาณเชิงล็อกการิมิค.....	52
5.2.3.1 วิเคราะห์ค่าความต้านทานอินพุต.....	52
5.2.3.2 วิเคราะห์ค่าความต้านทานเอาต์พุต.....	54
5.2.3.3 วิเคราะห์ค่าแหล่งจ่ายไฟคงที่.....	56
5.2.3.4 วิเคราะห์ค่าช่วงปฏิบัติการของสัญญาณอินพุต.....	57
5.3 การออกแบบวงจรถายสัญญาณล็อกการิมิคที่มีการชดเชยผลของอุณหภูมิโดยใช้ ทรานซิสเตอร์ NPN.....	57
5.3.1 หลักการออกแบบวงจรถายสัญญาณล็อกการิมิคที่มีการชดเชยอุณหภูมิ.....	57
5.3.2 การทำงานวงจรถายสัญญาณล็อกการิมิคที่มีการชดเชยอุณหภูมิ.....	58
5.3.3 วงจรถายสัญญาณล็อกการิมิคที่มีการชดเชยอุณหภูมิ.....	60
5.3.4 ผลการจำลองการทำงานของวงจรถายสัญญาณล็อกการิมิคด้วยโปรแกรม PSPICE.....	61
5.3.4.1 การทดสอบการทำงานของวงจรถายสัญญาณล็อกการิมิค.....	62
5.3.4.2 การทดสอบคุณสมบัติทางด้านอุณหภูมิ.....	62
5.3.4.3 การทดสอบคุณสมบัติทางด้านความถี่.....	63
5.4 หลักการพื้นฐานของวงจรถายสัญญาณแอนติล็อกการิมิคแบบใช้ไบโพลาร์.....	64

## สารบัญ(ต่อ)

	หน้า
5.4.1 สมการของวงจรมหาสารสัมพันธ์แอนติลอคการิมิค .....	64
5.4.2 วิเคราะห์คุณสมบัติการทำงานของวงจรมหาสารสัมพันธ์แอนติลอคการิมิค .....	65
5.4.2.1 วิเคราะห์ค่าความต้านทานอินพุต .....	66
5.4.2.2 วิเคราะห์ค่าความต้านทานเอาต์พุต .....	67
5.4.2.3 วิเคราะห์ค่าแหล่งจ่ายไฟคงที่ .....	69
5.4.2.4 วิเคราะห์ค่าช่วงปฏิบัติการของสัญญาณอินพุต .....	69
5.5 การออกแบบวงจรมหาสารสัมพันธ์แอนติลอคการิมิคที่มี	
การชดเชยอุณหภูมิโดยใช้ทรานซิสเตอร์ NPN .....	70
5.5.1 หลักการออกแบบวงจรมหาสารสัมพันธ์แอนติลอคการิมิค	
ที่มีการชดเชยอุณหภูมิ .....	70
5.5.2 การทำงานวงจรมหาสารสัมพันธ์แอนติลอคการิมิคที่มีการชดเชยอุณหภูมิ .....	71
5.5.3 วงจรมหาสารสัมพันธ์แอนติลอคการิมิคที่มีการชดเชยอุณหภูมิ .....	75
5.5.4 ผลการเขียนแบบการทำงานของวงจรมหาสารสัมพันธ์แอนติลอคการิมิคด้วยโปรแกรม PSPICE .....	75
5.5.4.1 การทดสอบการทำงานของวงจรมหาสารสัมพันธ์แอนติลอคการิมิคที่ขึ้นตรงต่ออุณหภูมิ .....	76
5.5.4.2 การทดสอบถึงสมรรถนะทางด้านอุณหภูมิของ	
วงจรมหาสารสัมพันธ์แอนติลอคการิมิคที่ขึ้นตรงต่ออุณหภูมิ .....	76
5.5.4.3 การจำลองค่าคุณสมบัติทางกระแสอินพุตเทียบกับกระแสเอาต์พุต .....	77
5.5.4.4 การทดสอบสมรรถนะทางด้านอุณหภูมิ .....	77
5.5.4.5 การทดสอบสมรรถนะทางด้านความถี่ .....	78
5.6 บทสรุป .....	79
บทที่ 6 การชดเชยอุณหภูมิในวงจรเรียงกระแสเต็มคลื่นโดยใช้โอทีเอ .....	80
6.1 บทนำ .....	80
6.2 วงจรเรียงกระแสครึ่งคลื่นในโหมดกระแส .....	81
6.2.1 วงจรเรียงกระแสครึ่งคลื่นใช้วงจรมหาสารสัมพันธ์แอนติลอคการิมิคทำงานร่วมกับ	
ความต้านทานที่มีการชดเชยอุณหภูมิ .....	81
6.2.2 วงจรเรียงกระแสครึ่งคลื่นใช้วงจรมหาสารสัมพันธ์แอนติลอคการิมิคเพียงอย่างเดียว	
ที่ขึ้นตรงต่ออุณหภูมิ .....	83

## สารบัญ(ต่อ)

	หน้า
6.3 วงจรเรียงกระแสเต็มคลื่นใน โหมมดกระแส.....	84
6.3.1 วงจรเรียงกระแสเต็มคลื่นโดยใช้วงจรขยายโอทีเอทำงานร่วมกับความต้านทาน.....	85
6.3.2 วงจรเรียงกระแสเต็มคลื่นโดยใช้วงจรขยายโอทีเอร่วมกับความต้านทาน ที่มีการชดเชยผลของอุณหภูมิ.....	88
6.3.3 วิเคราะห์หาสมรรถนะการทำงานของวงจร.....	90
6.3.3.1 วิเคราะห์หาช่วงปฏิบัติงานของวงจร.....	90
6.3.3.2 วิเคราะห์ช่วงปฏิบัติงานสูงสุดของแรงดันสัญญาณจุดเข้า.....	92
6.3.3.3 วิเคราะห์หาผลตอบสนองทางความถี่ของวงจร.....	94
6.3.3.4 วิเคราะห์หาค่าความผิดพลาดของวงจร.....	97
6.3.4 วงจรเรียงกระแสเต็มคลื่นใช้วงจรขยายโอทีเอทำงานร่วมกับวงจร สะท้อนกระแสสองเท่า.....	99
6.3.5 วงจรเรียงกระแสเต็มคลื่นใช้วงจรขยายโอทีเอทำงานร่วมกับวงจรสะท้อน กระแสสองเท่าที่มีการชดเชยผลของอุณหภูมิ.....	102
6.3.6 วิเคราะห์หาสมรรถนะการทำงานของวงจร.....	105
6.3.6.1 วิเคราะห์หาช่วงปฏิบัติงานของวงจร.....	105
6.3.6.2 วิเคราะห์ผลตอบสนองทางความถี่ของวงจร.....	105
6.3.6.3 วิเคราะห์หาค่าความผิดพลาดของวงจร.....	107
6.4 วงจรเรียงกระแสเต็มคลื่นใช้วงจรขยายโอทีเอที่ควบคุมได้.....	109
6.4.1 วงจรเรียงกระแสเต็มคลื่นใช้วงจรขยายโอทีเอที่ควบคุมได้ และมีการชดเชยผลของอุณหภูมิ.....	111
6.4.2 วิเคราะห์ค่าความผิดพลาด.....	112
6.4.2.1 ค่าความผิดพลาดที่เกิดจากการเปลี่ยนค่าแรงดันทางอินพุตเป็น กระแสเข้าที่พุท.....	113
6.4.2.2 ค่าความผิดพลาดที่เกิดจากวงจรสะท้อนกระแส.....	113
6.4.2.3 ค่าความผิดพลาดที่เกิดจากค่าความนำที่ขึ้นกับอุณหภูมิ.....	114
6.4.2.4 ค่าความผิดพลาดที่เกิดจากกระแสเข้าที่พุท.....	115
6.5 การทดสอบสมรรถนะของวงจรเรียงกระแสเต็มคลื่นที่สามารถควบคุมกระแสได้.....	115

## สารบัญ(ต่อ)

	หน้า
6.6 การทดลองวงจรเรียงกระแสเต็มคลื่น โดยใช้วงจรขยายโอทีเอ.....	119
6.7 บทสรุป.....	121
บทที่7 บทสรุปและข้อเสนอแนะการทำวิจัย.....	122
7.1 บทสรุปและวิจารณ์.....	122
7.2 การประยุกต์ใช้งาน.....	124
เอกสารอ้างอิง.....	126
ภาคผนวก.....	130
ประวัติผู้เขียน.....	160

# สารบัญภาพ

รูปที่	หน้า
2.1 วงจรสมมูลของไบโพลาร์ทรานซิสเตอร์	6
2.2 วงจรสมมูลของวงจรอิมิตเตอร์ร่วม	6
2.3 วงจรสมมูลของวงจรเบสร่วม	11
3.1 รูปแบบพื้นฐานของวงจรทรานส์ลิเนียร์รูปโดยใช้ไบโพลาร์ทรานซิสเตอร์	15
3.2 วงจรคูณและหารกระแสโดยใช้หลักการของทรานส์ลิเนียร์รูป	18
3.3 วงจรสะท้อนกระแสแบบพื้นฐาน	20
3.4 วงจรสะท้อนกระแสแบบวิลสัน	22
3.5 วงจรขยายคลาส AB แบบทรานส์ลิเนียร์รูป	23
3.6 สัญลักษณ์ของ CCCII	25
3.7 วงจรสมมูลของ CCCII	26
3.8 วงจรสายพานกระแสยุคที่สอง CCCII+	28
3.9 วงจรสายพานกระแสยุคที่สอง CCCII-	29
3.10 วงจรแหล่งกำเนิดกระแสอ้างอิงพื้นฐาน	30
3.11 วงจรแหล่งจ่ายกระแสขึ้นอยู่กับค่าอุมหุมิรอบข้าง	31
3.12 วงจรแหล่งจ่ายกระแสที่ขึ้นอยู่กับค่าอุมหุมิรอบข้างทำงานร่วมกับวงจรหาร	32
3.13 การชดเชยอุมหุมิในวงจรสายพานกระแสแบบทรานส์ลิเนียร์	33
4.1 วงจรสมมูลทางอุมคคคคของโอทีเอ	35
4.2 สัญลักษณ์ของวงจร โอทีเอ	35
4.3 วงจรขยายความแตกต่าง	36
4.4 กราฟความสัมพันธ์ระหว่างกระแสเข้าที่พุทและแรงดันอินพุท	37
4.5 โครงสร้างพื้นฐานภายในของวงจรขยาย โอทีเอ	38
4.6 วงจรขยายโอทีเอไอซี LM13600	42
4.7 วงจรชดเชยอุมหุมิของวงจรขยายโอทีเอทำงานร่วมกับแหล่งจ่ายกระแส ในรูปทรานส์ลิเนียร์รูป	44
4.8 วงจรเปลี่ยนแรงดันเป็นกระแสโดยใช้วงจรขยายโอทีเอที่ไม่ขึ้นตรงต่ออุมหุมิ	45
5.1 วงจรขยายสัญญาณเชิงลือกการิมคคคคที่มีการทำงานในรูปแบบของกระแส	50
5.2 วงจรเสมือนสำหรับวิเคราะห์ค่าความต้านทานอินพุทของ วงจรขยายสัญญาณเชิงลือกการิมคคคค	52

## สารบัญญภาพ(ต่อ)

รูปที่	หน้า
5.3 วงจรเสมือนสำหรับวิเคราะห์ค่าความต้านทานเข้าที่พู่ทของ วงจรรขยายสัญญาณเชิงลือกการิมิค.....	54
5.4 แสดงค่าแรงดันขณะทรานซิสเตอร์ทำงาน.....	56
5.5 หลักการพื้นฐานการทำงานของวงจรรขยายสัญญาณลือกการิมิคที่มีการชดเชยอุณหภูมิ.....	57
5.6 วงจรรขยายสัญญาณลือกการิมิคที่ขึ้นกับอุณหภูมิ.....	58
5.7 วงจรคูนและหาร โดยใช้กระแสในรูปทรานส์ลิเนียร์รูป.....	59
5.8 วงจรรขยายสัญญาณลือกการิมิคแบบชดเชยอุณหภูมิที่ใช้ทรานซิสเตอร์ NPN.....	60
5.9 แสดงคุณลักษณะทางกระแสตรงของวงจรรขยายสัญญาณลือกการิมิคในรูปที่ 5.8.....	62
5.10 แสดงการเปลี่ยนแปลงค่ากระแสทางเข้าที่พู่ทที่อุณหภูมิค่าต่างๆ ของรูปที่5.6 กับรูปที่5.8.....	63
5.11 แสดงคุณสมบัติทางความถี่ของวงจรรขยายสัญญาณลือกการิมิคในรูปที่5.8.....	63
5.12 วงจรรขยายสัญญาณเชิงแอนติลือกการิมิคที่มีการทำงานในรูปกระแส.....	64
5.13 วงจรเสมือนสำหรับวิเคราะห์ค่าความต้านทานอินพุทของวงจรรขยายสัญญาณ เชิงแอนติลือกการิมิค.....	66
5.14 วงจรสมมูลสำหรับวิเคราะห์ค่าความต้านทานเข้าที่พู่ทของวงจรรขยายสัญญาณ เชิงแอนติลือกการิมิค.....	68
5.15 หลักการเบื้องต้นของการชดเชยอุณหภูมิในวงจรรขยายสัญญาณแอนติลือกการิมิค.....	70
5.16 แสดงวงจรรขยายสัญญาณแบบแอนติลือกการิมิค.....	72
5.17 แสดงวงจรรขยายสัญญาณแบบแอนติลือกการิมิคที่ลดรูป.....	72
5.18 แสดงการชดเชยอุณหภูมิด้วยวงจรรขยายสัญญาณลือกการิมิค.....	73
5.19 แสดงวงจรรขยายสัญญาณแอนติลือกการิมิคทำงานร่วมกับวงจรคูน/หาร.....	74
5.20 แสดงวงจรรขยายสัญญาณแอนติลือกการิมิคที่มีการชดเชยอุณหภูมิ.....	75
5.21 แสดงค่ากระแสเข้าที่พู่ทที่เกิดขึ้นจากรูปที่5.16 เมื่อเปลี่ยนค่ากระแส $I_{2A}$ ที่อุณหภูมิ $25^{\circ}C$ .....	76
5.22 แสดงค่ากระแส $I_{OA}$ ของวงจรรขยายสัญญาณแบบแอนติลือกการิมิคที่ขึ้นตรงต่ออุณหภูมิ.....	76
5.23 แสดงค่ากระแส $I_{OA}$ ของวงจรรขยายสัญญาณแอนติลือกการิมิค ที่มีการชดเชยอุณหภูมิในรูปที่5.20 โดยทำการเปลี่ยนค่ากระแส $I_{10}$ จาก0ถึง $300 \mu A$ .....	77
5.24 แสดงค่าเข้าที่พู่ทของวงจรรขยายสัญญาณแอนติลือกการิมิคที่ไม่มีการชดเชยอุณหภูมิ	

## สารบัญญภาพ(ต่อ)

รูปที่	หน้า
เทียบกับวงจรรขยายสัญญาณแอนติล๊อคการิมิตที่มีการชดเชยอุณหภูมิ.....	78
5.25 แสดงคุณสมบัติทางความถี่ของวงจรรขยายสัญญาณแอนติล๊อคการิมิตรูปที่5.20.....	78
6.1 แสดงความสัมพันธ์ระหว่างกระแส $I_1$ กับแรงดันจุดเข้า $V_{in}$ .....	82
6.2 แสดงความสัมพันธ์ระหว่างกระแส $I_2$ กับแรงดันจุดเข้า $V_{in}$ .....	82
6.3 วงจรเรียงกระแสครึ่งคลื่นชนิดพื้นฐาน.....	83
6.4 วงจรเรียงกระแสเต็มคลื่นโดยใช้วงจรรขยายโอทีเอชนิดพื้นฐานร่วมกับความต้านทาน.....	85
6.5 วงจรเรียงกระแสเต็มคลื่นโดยใช้วงจรรขยายโอทีเอที่มีการชดเชยอุณหภูมิ.....	88
6.6 แบบจำลองของวงจรรขยาย โอทีเอ.....	91
6.7 แสดงวงจรสมมูลของวงจรเปลี่ยนแรงดันเป็นกระแส.....	94
6.8 บล็อกไดอะแกรมการเรียงกระแสเต็มคลื่นใช้วงจรรขยายโอทีเอ ร่วมกับวงจรสะท้อนกระแสสองเท่า.....	99
6.9 วงจรเรียงกระแสเต็มคลื่นใช้วงจรรขยายโอทีเอร่วมกับวงจรสะท้อนกระแสสองเท่า.....	100
6.10 วงจรเรียงกระแสเต็มคลื่นโดยใช้วงจรรขยายโอทีเอที่มีการชดเชยอุณหภูมิ แบบกระแสสองเท่า.....	103
6.11 วงจรเรียงกระแสเต็มคลื่นโดยใช้วงจรรขยายโอทีเอที่สามารถควบคุมกระแสได้.....	109
6.12 วงจรเรียงกระแสเต็มคลื่นที่สามารถปรับค่ากระแสและมีการชดเชยอุณหภูมิ.....	111
6.13 แสดงการพล็อตคุณสมบัติการถ่ายโอนทางดีซีของวงจร.....	115
6.14 แสดงผลการเปรียบเทียบของกระแสเข้าที่พู่ $i_{out}$ เทียบกับอุณหภูมิ.....	116
6.15 แสดงผลการเลียนแบบการทำงานวงจรเรียงกระแสเต็มคลื่นซีกบวกที่ความถี่ (a) 1kHz และ (b) 10kHz.....	117
6.16 แสดงผลการเลียนแบบการทำงานวงจรเรียงกระแสเต็มคลื่นซีกลบที่ความถี่ (a) 1kHz และ (b) 10kHz.....	118
6.17 แสดงผลการทดลองวงจรเรียงกระแสเต็มคลื่นซีกบวกที่ความถี่ (a) 1kHz และ (b) 10kHz.....	119
6.18 แสดงผลการทดลองวงจรเรียงกระแสเต็มคลื่นซีกลบที่ความถี่ (a) 1kHz และ (b) 10kHz.....	120
7.1 แสดงถึงโครงสร้างการชดเชยอุณหภูมิในวงจรไบโพลาร์ทรานซิสเตอร์.....	122
7.2 การประยุกต์ใช้งานของวงจรรขยายสัญญาณล๊อค/แอนติล๊อคทำงานร่วมกับ วงจรเรียงกระแสเต็มคลื่น.....	125

# บทที่ 1

## บทนำ

### 1.1 ความเป็นมาและความสำคัญของปัญหา

ปัจจุบันเป็นที่ทราบกันอยู่ทั่วไปถึงการพัฒนาทางอุตสาหกรรมที่มีความก้าวหน้าอย่างไม่หยุดนิ่ง ดังตัวอย่างเช่นอุตสาหกรรมการเกษตร อุตสาหกรรมสิ่งทอและอุตสาหกรรมอีกหลายอย่างมากมาย จวบจนถึงอุตสาหกรรมทางอิเล็กทรอนิกส์ และคอมพิวเตอร์ การพัฒนาที่กล่าวมาทั้งหมดนี้จะเกี่ยวข้องกับการทำงานของระบบควบคุมในอุตสาหกรรม วงจรอิเล็กทรอนิกส์ซึ่งนับได้ว่าเป็นหัวใจหลักของการควบคุมการทำงานของเครื่องจักรกลทางอุตสาหกรรม วงจรอิเล็กทรอนิกส์ที่ผ่านมาได้มีการพัฒนาอย่างต่อเนื่องนับตั้งแต่ระบบหลอดสุญญากาศ(Vacuum Tube) มาเป็นสารกึ่งตัวนำ(Semiconductor) ที่มีลักษณะเป็นดิสครีท(Discrete) และมาเป็นรูปแบบวงจรรวม(Integrated Circuits) หรือเรียกว่า(IC) วงจรแบบดิสครีทจะใช้ทรานซิสเตอร์ ซึ่งเป็นอุปกรณ์จำพวกแอคทีฟ(Active) นำมาต่อร่วมกับความต้านทาน(Resistor) หรือตัวเก็บประจุ(Capacitor) ซึ่งเป็นอุปกรณ์จำพวกพาสซีฟ(Passive) จึงเป็นสาเหตุให้วงจรมีขนาดใหญ่ ขณะใช้งานจะเกิดการกระจายพลังงานในรูปความร้อนเป็นการสูญเสีย(Power Dissipation) ในอุปกรณ์ทางอิเล็กทรอนิกส์แหล่งความร้อนที่สำคัญเกิดขึ้นจากอุปกรณ์ที่มีกระแสไหลผ่าน ซึ่งเป็นแหล่งกำเนิดความร้อนของวงจร อันเป็นสาเหตุให้เกิดผลของความร้อน(Thermal Effects) ผลของความร้อนที่สะสมสูงขึ้นก็จะทำให้กระแสที่ไหลในอุปกรณ์จำพวกสารกึ่งตัวนำมีความคลาดเคลื่อน ไปจากค่าที่กำหนดของการทำงานที่อุณหภูมิ  $25^{\circ}\text{C}$  เป็นผลให้วงจรที่ออกแบบมีการทำงานไม่เสถียรภาพทางด้านอุณหภูมิ ในส่วนของวงจรรวมสามารถลดปัญหาที่เกิดขึ้นจากการใช้วงจรรูปแบบดิสครีทลงได้มาก เนื่องจากจำนวนอุปกรณ์ทั้งหมดของวงจรรวม จะถูกสร้างขึ้นบนสารกึ่งตัวนำชิ้นเดียวกัน ทำให้วงจรมีขนาดเล็กใช้กระแสน้อย ในการทำงานจึงเป็นสาเหตุให้อุณหภูมิที่เกิดขึ้นมีค่าน้อยกว่าแบบดิสครีท อีกปัจจัยหนึ่งของการสร้างวงจรรวมทำให้วงจรถูกประกอบขึ้น ในแต่ละจุดของวงจรมีค่าอุณหภูมิใกล้เคียงกันมาก จึงทำให้วงจรมีเสถียรภาพต่ออุณหภูมิได้ระดับหนึ่ง แต่ที่สำคัญที่จะทำให้วงจรมีความเสถียรภาพดีขึ้นคือ การออกแบบวงจรชดเชยอุณหภูมิภายในเพื่อนำไปสร้างเป็นวงจรรวมที่จะนำไปใช้งาน วงจรรวมได้มีการทำวิจัย และพัฒนากันมาตลอด โดยมีการนำเสนอการออกแบบวงจรในหลักการใหม่ขึ้นมา ให้สามารถนำวงจรไปประยุกต์ใช้งานได้ง่าย และมีขนาดเล็ก หรือออกแบบปรับปรุงแก้ไขวงจรที่มีอยู่แล้วให้มีคุณสมบัติดีขึ้น มีประสิทธิภาพในการทำงานถึงความละเอียด และความแม่นยำมากยิ่งขึ้น ในด้านผลตอบแทนต่อความถี่ จะต้องให้ค่าตอบสนองสูงขึ้น อีกทั้งต้องพยายามคิดค้น ลดความยุ่งยากในการสร้างวงจร ให้จำนวนอุปกรณ์ภายในวงจรที่ออกแบบมีส่วนประกอบของวงจรพาสซีฟและวงจรแอคทีฟน้อยที่สุดเท่าที่จะทำได้ เพื่อให้เกิดความ

รวดเร็วในการทำงานและความคิดเพียงของสัญญาณน้อยที่สุด อีกประเด็นที่สำคัญคือ อุณหภูมิที่เป็นผลแฝงมาจากการทำงานของสารกึ่งตัวนำในรูป ไดโอด หรือไบโพลาร์ทรานซิสเตอร์(Bipolar-junction Transistor) หรือบางครั้งจะใช้ตัวย่อว่าBJT ซึ่งเป็นประเด็นหลักของวงจรที่นักวิจัย ไม่สามารถมองข้ามปัญหานี้ไปได้ ในวิทยานิพนธ์ฉบับนี้ เนื้อหาหลักจึงเน้นความสำคัญ เรื่องการชดเชยอุณหภูมิในวงจรทรานส์ลิเนียร์รูป และวงจรขยายค่าความนำเชิงปฏิบัติกร ซึ่งจะเป็พื้นฐานของการนำไปประยุกต์ใช้งาน ในการออกแบบวงจรขยายสัญญาณล็อกการิมิก, วงจรขยายสัญญาณแอนติล็อกการิมิก และวงจรเรียงกระแสเต็มคลื่นที่ไม่ขึ้นตรงกับอุณหภูมิ และมีการทำงานในรูปแบบของกระแส

วงจรขยายสัญญาณล็อก และวงจรขยายสัญญาณแอนติล็อกนี้ประกอบด้วยทรานซิสเตอร์ที่ใช้หลักการของทรานส์ลิเนียร์รูป ที่ทำงานในโหมดสายพานกระแสอันประกอบด้วยทรานซิสเตอร์NPN เป็นวงจรที่ง่าย และประหยัด มีการทำงานที่สามารถใช้ในสภาวะที่อุณหภูมิเปลี่ยนแปลงค่าไปในทางบวก หรือลบ จากค่าที่กำหนดไว้ที่  $25^{\circ}\text{C}$  ผลทางเข้าที่พุทในรูปแบบของกระแสยังไม่มีการเปลี่ยนแปลงใดๆ ข้อดีอีกประการหนึ่งที่มีการนำทรานซิสเตอร์ มาออกแบบวงจรอันจะทำให้วงจรสามารถใช้กำลังงานต่ำ ซึ่งสามารถนำไปสร้างวงจรรวมได้อีก นอกจากนั้นในวิทยานิพนธ์ฉบับนี้ยังได้นำเสนอการออกแบบวงจรขยายความนำเชิงปฏิบัติกร(Operational Transconductance Amplifier) หรือเรียกชื่อย่อว่า โอทีเอ(OTA) มีหลักการการทำงานเปลี่ยนแรงดันทางอินพุทให้เป็นรูปแบบของกระแสในการทำงาน อีกทั้งยังสามารถควบคุมการทำงานทางเข้าที่พุทได้ด้วยกระแส ซึ่งเป็นข้อดีที่ใช้ค่ากระแส ในการควบคุมมีความกว้างมากกว่าในรูปแบบแรงดัน การออกแบบการเรียงกระแสแบบเต็มคลื่น โดยการนำโอทีเอที่ทำงานในรูปแบบกระแสมาใช้ในการออกแบบวงจรที่มีการชดเชยอุณหภูมิ จึงเป็นแนวทางหนึ่งสำหรับการนำเสนอในวิทยานิพนธ์นี้

## 1.2 จุดมุ่งหมาย และวัตถุประสงค์ของวิทยานิพนธ์

ในการวิจัย และพัฒนาการชดเชยอุณหภูมิของวงจรที่ทำงานทางอิเล็กทรอนิกส์ ในรูปแบบทางกระแส เช่น ในวงจรขยายสัญญาณล็อก และวงจรขยายสัญญาณแอนติล็อก โดยใช้ทรานซิสเตอร์แบบ NPN เพียงชนิดเดียว อีกวงจรหนึ่งที่จะนำเสนอในครั้งนี้ คือวงจรเรียงกระแสเต็มคลื่นที่ใช้โอทีเอเป็นวงจรหลัก ในการออกแบบทั้งหมด ในอดีตที่ผ่านมาได้มีการใช้ไดโอด ออปแอมป์ และไบโพลาร์ทรานซิสเตอร์ เป็นอุปกรณ์หลักในการนำไปออกแบบพื้นฐานของวงจรขยายสัญญาณล็อก วงจรขยายสัญญาณแอนติล็อก รวมถึงวงจรเรียงกระแสเต็มคลื่น ซึ่งวงจรที่ออกแบบจากการนำวงจรพื้นฐานที่กล่าวมานี้มาใช้ในการทำงานจะเป็นปัญหาทั้งการคิดเพียงของสัญญาณ และผลทางเข้าที่พุทที่มีค่าการเปลี่ยนแปลงทางด้านอุณหภูมิขณะทำงาน การนำเสนอโอทีเอไปใช้งานของวงจรเรียงกระแสนี้มีขีดจำกัดทางด้านแรงดันทางอินพุทที่มีขนาดต่ำ และไม่สามารถควบคุมทิศทางการเรียงกระแสได้ทาง

อิเล็กทรอนิกส์จึงได้กำหนดวัตถุประสงค์ของการนำแนวคิดที่จะแก้ปัญหาดังที่กล่าวมา ในการทำวิทยานิพนธ์ เอาไว้ดังนี้คือ

- 1.2.1 ศึกษาค้นคว้าหลักการนำBJT ชนิดNPN มาใช้ออกแบบวงจรขยายสัญญาณลือก และวงจรขยายสัญญาณแอนติลือกที่มีการชดเชยอุณหภูมิ
- 1.2.2 สามารถสร้างวงจรขยายสัญญาณลือก และวงจรขยายสัญญาณแอนติลือก ที่ใช้กับแรงดันต่ำ
- 1.2.3 ลดจำนวนอุปกรณ์ที่ใช้ในวงจรให้น้อยที่สุด
- 1.2.4 ความเหมาะสมที่จะนำไปออกแบบเป็นวงจรรวมได้
- 1.2.5 ศึกษานำวงจรเรียงกระแสเต็มคลื่นโดยใช้โอทีเอทีถูกนำเสนอในหลักการใหม่ที่มีการชดเชยทางอุณหภูมิ
- 1.2.6 วงจรเรียงกระแสเต็มคลื่นที่ออกแบบ สามารถรับสัญญาณทางอินพุตได้กว้าง และยังสามารถควบคุมการทำงานของวงจรโดยสามารถปรับกระแสทางเอาท์พุทได้ด้วยการควบคุมทางอิเล็กทรอนิกส์
- 1.2.7 วงจรเรียงกระแสเต็มคลื่นสามารถลดความเพี้ยนของสัญญาณทางเอาท์พุทที่บริเวณช่วงสัญญาณการเบี่ยงเบนที่ผ่านจุดศูนย์
- 1.2.8 สามารถควบคุมทิศทางการเรียงกระแสได้

### 1.3 ทฤษฎีและแนวคิดที่ใช้ในการวิจัย

ได้เสนอแนวคิดใหม่ของการออกแบบวงจรขยายสัญญาณลือก วงจรขยายสัญญาณแอนติลือก ในรูปแบบการทำงานทางกระแส โครงสร้างการออกแบบใช้พื้นฐานทรานส์ลีนีเยร์รูป ที่นำไปโพลาร์ทรานซิสเตอร์ชนิดNPN มาใช้เพียงอย่างเดียว คุณสมบัติการทำงานของวงจรยังสามารถใช้ได้ที่อุณหภูมิที่แตกต่างกันมาก ผลทางเอาท์พุทยังคงเดิม ในส่วนของวงจรเรียงกระแสเต็มคลื่น ได้ประยุกต์ใช้วงจรขยายความนำเชิงปฏิบัติการในการออกแบบเพียงชนิดเดียว ซึ่งยังไม่มี การนำเสนอในงานวิจัยมาก่อน การทำงานของวงจรสามารถลดความเพี้ยนของสัญญาณได้ดี และยังสามารถใช้ในอุณหภูมิที่มีความต่างกันมาก แต่ผลที่ได้ทางเอาท์พุทยังคงที่

### 1.4 รายละเอียดของวิทยานิพนธ์

ในวิทยานิพนธ์นี้ ได้แบ่งเนื้อหาออกเป็น 7 บท โดยแต่ละบทมีรายละเอียดดังต่อไปนี้

บทที่1 กล่าวถึงความเป็นมา และความสำคัญของปัญหา ตลอดจนวัตถุประสงค์ แนวคิดและหลักการใหม่ ที่ใช้ในการทำวิจัย ในวิทยานิพนธ์นี้ พร้อมรายละเอียดของแต่ละบท

บทที่2 กล่าวถึงทฤษฎีการทำงานของไบโพลาร์ทรานซิสเตอร์ถึง โครงสร้าง และสมการทำงานของไบโพลาร์ทรานซิสเตอร์ จนถึงค่าการเปลี่ยนแปลงทางพฤติกรรมในด้านอุณหภูมิของทรานซิสเตอร์

บทที่3 กล่าวถึงการทำงานของวงจรถานส์ลิเนียร์ถึง โครงสร้าง และรูปแบบการทำงานของวงจรถานส์ลิเนียร์ จนถึงผลของอุณหภูมิในวงจรถานส์ลิเนียร์ และการชดเชยอุณหภูมิของวงจรถานส์ลิเนียร์รูป

บทที่4 ในบทนี้กล่าวเกี่ยวกับทฤษฎีการทำงานของวงจรอทีเอถึง โครงสร้าง และรูปแบบการทำงานภายในของวงจรอทีเอ และผลของอุณหภูมิที่มีต่อการทำงานของวงจรอทีเอรวมถึงการนำไปใช้ร่วมกับแหล่งจ่ายกระแสที่มีการชดเชยอุณหภูมิ สุดท้ายจะนำโอทีเอไปใช้ในวงจรเปลี่ยนค่าแรงดันเป็นกระแสเพื่อชดเชยอุณหภูมิ

บทที่5 อธิบายการออกแบบวงจรถายสัญญาณล็อก และวงจรถายสัญญาณแอนติล็อกใช้หลักการทรานส์ลิเนียร์รูป ที่ทำงานในรูปแบบของกระแส โดยใช้ BJT. ในการออกแบบการทำงานที่ยังขึ้นตรงกับอุณหภูมิไปจนถึงมีการปรับปรุงแก้ไขผลของอุณหภูมิ โดยใช้หลักการชดเชยอุณหภูมิของวงจรถานส์ลิเนียร์รูปซึ่งสามารถให้ผลการทำงานที่ดี สามารถยืนยันผลการทำงานของวงจรด้วยโปรแกรมPSPICE

บทที่6 เป็นการออกแบบวงจรรีจกระแสดำเนินโดยใช้วงจรถายค่าความนำเชิงปฏิบัติการ (โอทีเอ) ที่ขึ้นตรงกับอุณหภูมิ โดยคุณสมบัติของวงจรถานส์ลิเนียร์รูปโอทีเอมีค่าสัญญาณทางอินพุตที่ต่ำ ได้มีการออกแบบ และปรับปรุงการทำงานของวงจรถายสัญญาณล็อกให้สามารถรับสัญญาณทางอินพุตสูงขึ้น อีกทั้งสามารถปรับค่าทางเข้าที่พุทได้ด้วยอิเล็กทรอนิกส์ไปจนถึงการชดเชยในเรื่องของอุณหภูมิของวงจรรีจกระแสดำเนินซึ่งทำให้วงจรมีประสิทธิภาพสูง สามารถยืนยันการทำงานของวงจรถายสัญญาณล็อกได้ด้วยการจำลองการทำงานจากโปรแกรมPSPICE และทดลองผลการทำงานของวงจรถายสัญญาณล็อกที่ใช้ OP-Amp เปรียบเทียบกับวงจรถายสัญญาณล็อกโอทีเอในการออกแบบให้เห็นจริงถึงคุณสมบัติของวงจรถายสัญญาณล็อกที่นำเสนอ

บทที่7 บทสรุป และข้อเสนอแนะในการทำวิจัย

## บทที่ 2

# การวิเคราะห์หาค่าพารามิเตอร์ของไบโพลาร์ทรานซิสเตอร์

### 2.1 บทนำ

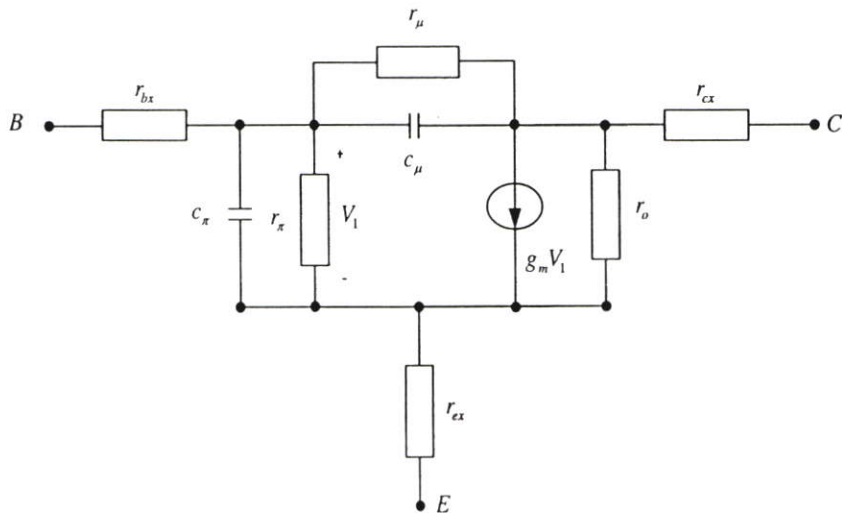
ในบทนี้จะกล่าวพื้นฐานของหลักการวิเคราะห์การออกแบบวงจรขนาดเล็ก และคุณสมบัติของไบโพลาร์ตลอดจนถึงโปรแกรมการจำลอง การเขียนแบบการทำงานของวงจรรวมประเภทไบโพลาร์ทรานซิสเตอร์ จะต้องเข้าใจถึงวงจรสมมูล และแบบจำลองที่ใช้แสดงพฤติกรรมทางไฟฟ้าของอุปกรณ์ รวมทั้งสมการที่เป็นคุณลักษณะเฉพาะของอุปกรณ์ซึ่งเป็นสิ่งประดิษฐ์ สารกึ่งตัวนำประเภทแอกทีฟจำพวกไบโพลาร์ทรานซิสเตอร์ และเพื่อเป็นแนวทางที่จะนำผลจากสมการของอุปกรณ์นั้นๆ ไปใช้ในการนำไปคำนวณกับวงจรรวมที่ออกแบบขึ้น เนื่องจากสมรรถนะของวงจรมัน จะขึ้นอยู่กับความเหมาะสม และความถูกต้องของแบบจำลองที่ใช้แทนตัวอุปกรณ์นั้น ซึ่งจะมีความสำคัญมากสำหรับนักออกแบบวงจรที่จะต้องเข้าใจขีดจำกัดการทำงาน และย่านการใช้งานถึงแบบจำลองการทำงานของอุปกรณ์ ซึ่งนำไปสู่ผลที่คาดว่าจะเกิดขึ้น และใช้เป็นข้ออ้างอิง กับผลที่ได้จากการทดลองต่อวงจรจริงขึ้น หรือการเขียนแบบการทำงานของวงจรรวมนำไปจำลองการทำงานเพื่อให้แน่ใจว่าวงจรทำงานได้จริงตามการออกแบบ โดยใช้โปรแกรมคอมพิวเตอร์สำเร็จรูป เช่น โปรแกรม PSPICE ในการหาผลการวิจัยครั้งนี้

### 2.2 โครงสร้างและสมการทำงานไบโพลาร์ทรานซิสเตอร์

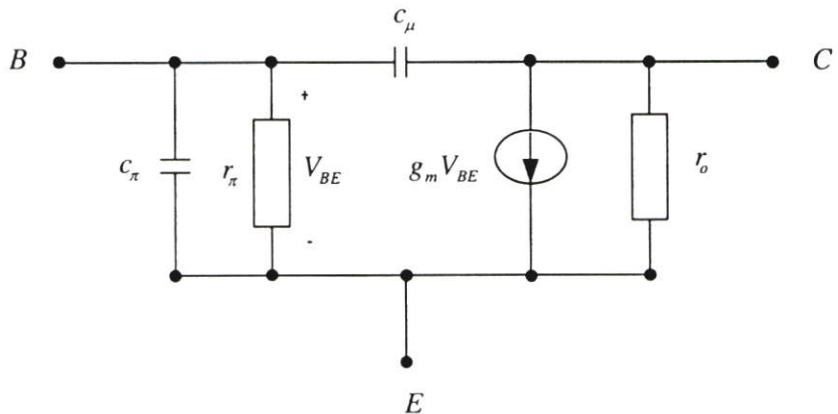
#### 2.2.1 วงจรสมมูลและแบบจำลองไบโพลาร์ทรานซิสเตอร์

การทำงานของพื้นฐานไบโพลาร์ทรานซิสเตอร์โดยทั่วๆ ไปนั้น[1,2] จะถูกกำหนดให้ไบโพลาร์ทรานซิสเตอร์ มีการทำงานภายใต้การทำงานในช่วงเชิงเส้น(Linear) หรือการทำงานในช่วงแอกทีฟ(Active Mode)โดยที่รอยต่อของขาเบส(Base) กับขาอิมิตเตอร์(Emitter) จะได้รับแรงดันไบอัสตรง(Forward Bias) และที่รอยต่อของขาเบส(Base) กับขาคอลเลกเตอร์(Collector) จะได้รับแรงดันไบอัสกลับ(Reverse Bias) วงจรสมมูลของวงจรไบโพลาร์ทรานซิสเตอร์แสดงในรูปที่ 2.1 การพิจารณาค่าพารามิเตอร์ต่างๆ ที่เกิดขึ้นภายในไบโพลาร์ทรานซิสเตอร์นั้นจะประกอบด้วยค่าความต้านทานภายใน  $r_{be}$ ,  $r_{ce}$  และ  $r_{ex}$  ค่าความต้านทานเหล่านี้เกิดจากหน้าสัมผัสของจุดต่อระหว่างสารกึ่งตัวนำ และสายที่เชื่อมต่อออกมายังจุดต่อภายนอกในปัจจุบันเทคโนโลยีสามารถสร้างไบโพลาร์ให้ค่าที่เกิดขึ้นจะมีค่าน้อยมากเสมือนเป็นวงจรปิด จึงสามารถที่จะตัดทิ้งไปได้ส่วน

ค่าความต้านทาน  $r_\mu$  และ  $r_o$  คือค่าความต้านทาน ที่เกิดจากการไบอัสกลับของขาเบสกับขาคอลเลคเตอร์ และขาคอลเลคเตอร์กับขาอิมิตเตอร์ตามลำดับ สำหรับค่าความต้านทาน  $r_\mu$  จะมีค่าที่สูงมากเสมือนกับเปิดจึงสามารถตัดทิ้งได้ ในส่วนค่าความต้านทาน  $r_\pi$  คือค่าความต้านทานที่เกิดจากการไบอัสตรงของขาเบสกับขาอิมิตเตอร์ และในการพิจารณาค่าคาปาซิแตนซ์(Capacitance) ในไบโพลาร์ทรานซิสเตอร์  $c_\mu$  และ  $c_\pi$  คือคาปาซิแตนซ์ที่เกิดจากรอยต่อของขาเบสกับขาคอลเลคเตอร์ และขาเบสกับขาอิมิตเตอร์ตามลำดับ ดังนั้นวงจรสมมูลของไบโพลาร์ทรานซิสเตอร์สำหรับสัญญาณขนาดเล็ก(Small Signal) ในรูปที่2.2 โดยประมาณของวงจรอิมิตเตอร์ร่วม(Common Emitter) สามารถเขียนใหม่ได้ดังแสดง



รูปที่2.1 วงจรสมมูลของไบโพลาร์ทรานซิสเตอร์



รูปที่2.2 วงจรสมมูลของวงจรอิมิตเตอร์ร่วม

รูปแบบของโมเดล(Model) ที่จำลองของไบโพลาร์ทรานซิสเตอร์ใช้ในการเขียนแบบการทำงานของวงจรด้วยโปรแกรมPSPICE ในวิทยานิพนธ์นี้โดยใช้แบบจำลองของทรานซิสเตอร์ชนิด

NPN และ PNP จะใช้ทรานซิสเตอร์เบอร์ Q2N3904 และเบอร์ Q2N2905 ตามลำดับ โดยแบบจำลองทั้งสองมีดังนี้[3]

\*Q2N3904 NPN Transistor National Semiconductor

```
.MODEL Q2N3904 NPN(IS=14.34E-15XTI=3 EG=1.11 VAF=74.03 BF= 255.9
+NE=1.307 ISE=14.34E-15 IKE=0.2847 XTB= 1.5 BR=6.92 NC=2 ISC=0 IKR=0
+RC =1 CJC= 7.306E-12 MJC=0.3416 VJC=0.75 FC=0.5 CJE=22.01 E-12 MJE=0.377
+VJE=0.75 TR=46.91E-9 TF=411.1E-9 ITF=0.6 VTF=1.7 XTF=3 RB=10)
```

\*Q2N2905 PNP Transistor National Semiconductor

```
.MODEL Q2N2905 PNP(IS=650.6E XTI=3 EG=1.11 VAF=115.7 BF=231.7
+NE=1.829 ISE=54.81E-15 IKF=1.079 XTB=1.5 BR=3.563 NC=2 ISC=0 IKR=0
+RC=.715 CJC=14.76E-12MJC=0.5383 VJC=0.75 FC=0.5CJE=19.82E-12MJE=0.3357
+ VJE=0.75 TR=111.3E-9 TF=603.7E-12 ITF=0.65 VTF=5 XTF=1.7 RB=10)
```

## 2.2.2 สมการที่ใช้ในการคำนวณค่าพารามิเตอร์ที่สำคัญของไบโพลาร์ทรานซิสเตอร์

ทฤษฎีการทำงาน และสมการโดยละเอียดเกี่ยวกับไบโพลาร์ทรานซิสเตอร์ได้มีการนำเสนอไว้แล้วในเอกสารอ้างอิง[1,2] ดังนั้นในวิทยานิพนธ์ฉบับนี้จะขออ้างอิงและกล่าวถึงเฉพาะสมการสำคัญๆ ที่จะนำมาใช้ในการวิเคราะห์ และอ้างผลการทำงานของวงจรเท่านั้น ซึ่งในการใช้งานของไบโพลาร์ทรานซิสเตอร์ในวิทยานิพนธ์นี้จะไบอัสให้ไบโพลาร์ทรานซิสเตอร์ มีการทำงานในช่วงแอกทีฟช่วงนี้จะไบอัสให้ค่าแรงดันไฟฟ้าที่รอยต่อขาเบสกับขาคอลเลกเตอร์หรือ  $V_{BE}$  จะต้องเป็น ไบอัสตรง และจะให้ไบอัสค่าแรงดันไฟฟ้าที่รอยต่อของขาเบสกับขาคอลเลกเตอร์ หรือ  $V_{BC}$  จะต้องไบอัสกลับ ซึ่งจะพบว่าคุณลักษณะทางไฟฟ้าของช่วงปฏิบัติงานสำหรับสัญญาณขนาดใหญ่(Large Signal) ของค่ากระแสคอลเลกเตอร์ ( $I_C$ ) ที่เกิดขึ้นสามารถอธิบายได้ดังสมการที่(2.1)

$$I_C = \frac{qD_B n_i^2 A_E}{Q_B} \exp\left(\frac{qV_{BE}}{kT}\right) \quad (2.1)$$

จากสมการที่(2.1) สามารถเขียนใหม่ได้ดังนี้

$$I_C = I_S \exp\left(\frac{qV_{BE}}{kT}\right) \quad (2.2)$$

$$= I_S \exp\left(\frac{V_{BE}}{V_T}\right)$$

โดยที่

$$I_S = \frac{qD_B n_i^2 A_E}{Q_B}$$

หรือ

$$I_S = JA_E$$

และ

$$V_T = \frac{kT}{q}$$

เมื่อ

$q$  = ค่าประจุไฟฟ้าของอิเล็กตรอน(Electron Charge)มีค่าเท่ากับ  $1.602 \times 10^{-19} C$

$D_B$  = ค่าสัมประสิทธิ์การแพร่ของอิเล็กตรอนหรือโฮลในขาเบส ( $cm^2 / s$ )

$n_i$  = ค่าความหนาแน่นของประจุพาหะชนิดใดของสารกึ่งตัวนำอินทรีซิด ( $cm^{-3}$ )

$A_E$  = ค่าพื้นที่อิมิตเตอร์ของทรานซิสเตอร์ ( $cm^2$ )

$Q_B$  = ค่าจำนวนอะตอมของสารเจือในเบสต่อหนึ่งหน่วยพื้นที่อิมิตเตอร์ ( $cm^{-3}$ )

$V_{BE}$  = ค่าแรงดันไฟฟ้าที่รอยต่อขา B กับขา E ( $V$ )

$k$  = ค่าคงที่ของ Boltzmann's Constant มีค่าเท่ากับ  $1.38 \times 10^{-23} J / ^\circ K$

$T$  = ค่าอุณหภูมิรอบข้าง ( $^\circ K$ )

$I_S$  = ค่ากระแสอิ่มตัว(Saturation Current) ( $A$ )

$J$  = ค่าความหนาแน่นของกระแส ( $A / cm^2$ )

$V_T$  = ค่าแรงดันความร้อน(Thermal Voltage) ( $V$ )

### 2.3 ผลของอุณหภูมิในไบโพลาร์ทรานซิสเตอร์

การทำงานของทรานซิสเตอร์จากสมการที่(2.2) พบว่าค่ากระแส  $I_C$  จะขึ้นอยู่กับค่าแรงดัน  $V_T$  โดยที่ค่าของ  $V_T$  มีค่าประมาณ  $26mV$  ที่อุณหภูมิ  $27^\circ C$  ซึ่งค่ากระแส  $I_C$  ที่เกิดขึ้นตามอุณหภูมิรอบข้าง จะเห็นได้ว่าสมการดังกล่าว มีคุณลักษณะเป็นแบบเอ็กโพเนนเชียล ซึ่งจะนำคุณลักษณะนี้ไปใช้ในการออกแบบวงจรในบทที่ 5 และ สมการที่(2.3) ให้ค่าความสัมพันธ์ของค่ากระแส  $I_C$  เทียบกับค่าแรงดัน  $V_{CE}$  การทำงานแบบจำลองจะให้ค่ากระแส  $I_C$  คงที่เทียบกับค่าแรงดัน  $V_{CE}$  เมื่อ

ทรานซิสเตอร์ทำงานในช่วงแอกทีฟ แต่ในทางปฏิบัติ เมื่อค่ากระแส  $I_C$  เพิ่มขึ้น จะมีผลทำให้ค่าแรงดัน  $V_{CE}$  เพิ่มขึ้นด้วย ซึ่งปรากฏการณ์นี้เกิดขึ้นเนื่องมาจากผลของ Base-Width Modulation

$$I_C = I_S \exp\left(\frac{V_{BE}}{V_T}\right) \left[1 + \frac{V_{CE}}{V_A}\right] \quad (2.3)$$

เมื่อ  $V_A$  คือค่าแรงดันซิคเคิร์ม(Early Voltage) ของทรานซิสเตอร์โดยทั่วไปจะมีค่าประมาณ 130 โวลต์ จากสมการที่(2.2) สามารถหาความสัมพันธ์ระหว่างค่าแรงดัน  $V_{BE}$  กับค่ากระแส  $I_C$  ได้ดังนี้

$$\begin{aligned} V_{BE} &= \frac{kT}{q} \ln \frac{I_C}{I_S} \\ &= V_T \ln \frac{I_C}{I_S} \end{aligned} \quad (2.4)$$

วงจรสมมูลของไบโพลาร์ทรานซิสเตอร์ สำหรับสัญญาณขนาดเล็ก(Small Signal) ในวงจรอิมิตเตอร์ร่วม(Common Emitter) แสดงดังในรูปที่2.2 ในการหาสมการแสดงความสัมพันธ์ของค่าพารามิเตอร์ต่างๆ ของไบโพลาร์ทรานซิสเตอร์ ดังรูปที่2.2 สามารถหาได้ดังต่อไปนี้

จากสมการที่(2.2) สามารถหาค่าทรานส์คอนดักแตนซ์  $g_m$  ได้จากความสัมพันธ์ของอัตราการเปลี่ยนแปลงค่ากระแส  $I_C$  กับค่าแรงดัน  $V_{BE}$  ซึ่งจะได้ดังสมการที่(2.5)

$$\begin{aligned} g_m &= \frac{dI_C}{dV_{BE}} \Big|_{V_{BE}=0} \\ &= \frac{qI_C}{kT} \\ &= \frac{I_C}{V_T} \end{aligned} \quad (2.5)$$

โดยที่  $g_m$  คือค่าความนำของไบโพลาร์ทรานซิสเตอร์(Transconductance) จะขึ้นอยู่กับอุณหภูมิรอบข้าง  $V_T$  และจะมีความเป็นเชิงเส้นโดยขึ้นอยู่กับค่ากระแสไบอัสของกระแสดลลิ่งในไบโพลาร์ทรานซิสเตอร์ และในส่วนของความสัมพันธ์ของอัตราการเปลี่ยนแปลงค่ากระแส  $I_B$  กับค่าแรงดัน  $V_{BE}$  จะได้ว่า

$$\begin{aligned}
 g_{\pi} &= \left. \frac{dI_B}{dV_{BE}} \right|_{V_{BE}=0} \\
 &= \frac{1}{\beta_F} \frac{dI_C}{dV_{BE}} \\
 &= \frac{g_m}{\beta_F}
 \end{aligned} \tag{2.6}$$

เมื่อ

$\beta_F$  คือค่าอัตราขยายกระแสของวงจรมิตเตอร์ร่วม(โดยทั่วไปมีค่าประมาณ 200 เท่า)

$g_{\pi}$  คือค่าความนำที่ขาเบสของไบโพลาร์ทรานซิสเตอร์

หรือสามารถแสดงอยู่ในรูปของค่าความต้านทาน ( $r_{\pi}$ ) ได้ดังสมการที่(2.7)

$$r_{\pi} = \frac{1}{g_{\pi}} \tag{2.7}$$

$$= \frac{\beta_F}{g_m}$$

ส่วนความต้านทานเข้าที่พู่ ( $r_o$ ) จะได้จากความสัมพันธ์ของอัตราการเปลี่ยนแปลงของค่ากระแส  $I_C$  กับค่าแรงดัน  $V_{CE}$  โดยจากสมการที่(2.3) จะได้

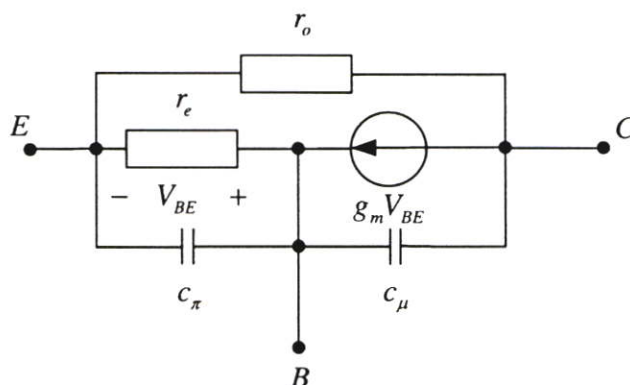
$$\begin{aligned}
 \frac{1}{r_o} &= g_o = \left. \frac{dI_C}{dV_{CE}} \right|_{V_{CE}=0} \\
 &= \frac{I_S}{V_A} \exp\left(\frac{V_{BE}}{V_T}\right)
 \end{aligned} \tag{2.8}$$

$$= \frac{I_C}{V_A}$$

หรือ

$$r_o = \frac{V_A}{I_C} \tag{2.9}$$

จากวงจรสมมูลที่ใช้ในวงจรอิมิตเตอร์ร่วม สามารถเขียนวงจรสมมูลให้อยู่ในวงจรเบสร่วม (Common Base) ได้ดังรูปที่ 2.3



รูปที่ 2.3 วงจรสมมูลของวงจรเบสร่วม

ซึ่งค่าความต้านทานที่ขาอิมิตเตอร์ ( $r_e$ ) ของวงจรเบสร่วมนั้น จะมีค่าเท่ากับ

$$\begin{aligned}
 r_e &= \frac{1}{g_m + \frac{1}{r_\pi}} \\
 &= \frac{1}{g_m(1 + 1/\beta_F)} \quad (2.10) \\
 &= \frac{\alpha_F}{g_m} \\
 &\cong \frac{V_T}{I_C}
 \end{aligned}$$

$\alpha_F$  คือค่าอัตราขยายกระแสของวงจรเบสร่วม

## 2.4 บทสรุป

ในบทนี้จะเป็นการกล่าวถึงการทำงานพื้นฐานของวงจรสมมูล และแบบจำลองการทำงานของไบโพลาร์ทรานซิสเตอร์ รวมทั้งสมการที่เป็นคุณลักษณะเฉพาะของไบโพลาร์ทรานซิสเตอร์

เพื่อใช้เป็นแนวทางในการนำความสัมพันธ์ของค่าพารามิเตอร์ต่างๆ ที่ได้จากสมการในบทนี้ โดยค่าพารามิเตอร์ต่างๆ ในไบโพลาร์ทรานซิสเตอร์ที่กล่าวมานั้น จะพบว่าขึ้นอยู่กับค่าแรงดันความร้อน  $V_T$  ซึ่งค่าแรงดันความร้อนจะเปลี่ยนแปลงตามอุณหภูมิรอบข้างดังสมการ(2.3) ถึงสมการที่ (2.10)ไม่ว่าจะนำไบโพลาร์ทรานซิสเตอร์ต่อแบบใดก็ตาม ดังนั้นถ้ามีการนำไบโพลาร์ทรานซิสเตอร์ไปใช้งาน จะทำให้มีผลการทำงานผิดพลาดไปตามอุณหภูมิรอบข้าง จึงต้องมีการชดเชยผลของอุณหภูมิรอบข้างขึ้นด้วยในการนำไบโพลาร์ทรานซิสเตอร์ไปใช้งาน ซึ่งสมการที่เป็นคุณลักษณะเฉพาะของไบโพลาร์ทรานซิสเตอร์ที่ได้จะนำไปใช้ในการวิเคราะห์ผลที่คาดว่าจะเกิดขึ้นและเพื่อให้นำไปอ้างอิง หรือเปรียบเทียบกับผลซึ่งอาจจะได้มาจากการทดลองต่อวงจรจริง หรือใช้คอมพิวเตอร์มาช่วยในการวิเคราะห์ ในการเลียนแบบการทำงานของวงจรโดยใช้โปรแกรมสำเร็จรูปPSPICE ซึ่งวงจรที่ทำการออกแบบนั้นว่าจะมีสมรรถนะและการทำงานเป็นไปตามหลักการที่ได้ทำการออกแบบจริง ซึ่งจะกล่าวในบทที่ 5

## บทที่ 3

# การชดเชยอุณหภูมิของวงจรถานสลีเนียร์

### 3.1 บทนำ

ในปีค.ศ.1975 Barrie Gilbert ได้บัญญัติคำว่า“ทรานสลีเนียร์”ขึ้นเพื่อใช้อธิบายกลุ่มวงจรไม่เป็นเชิงเส้นที่นิยมใช้กันทั่วไป[18] เช่นวงจรถคูณ(Multiplier) วงจรหาร(Divider)[36],[37] หรือวงจรถาค่าอาร์เอ็มเอส(R.M.S)[39] ของสัญญาณเป็นต้น โดยใช้ประโยชน์จากความสัมพันธ์ที่ว่าค่าอัตรา การส่งผ่านความนำ(Transconductance) ของไบโพลาร์ทรานซิสเตอร์จะมีการเปลี่ยนแปลงอย่างเป็นเชิงเส้น(Linear) กับกระแสที่ไหลผ่านขาคอลเลคเตอร์ จึงเป็นที่มาของชื่อ “Trans-linear” นอกจากนี้เรายังพบว่าในวงจรเชิงเส้นหลายชนิดได้แก่ วงจรขยายคลาสAB ในภาคเข้าที่พุทของออปแอมป์, วงจรสายพานกระแส, วงจรขยายสัญญาณแบบป้อนกลับด้วยกระแสก็สามารถมองอยู่ในรูปแบบของทรานสลีเนียร์ได้

วงจรถานสลีเนียร์อาศัยความสัมพันธ์เชิงเส้นระหว่างค่าความนำกับการเปลี่ยนแปลงทางกระแส สำหรับการพิจารณาสัญญาณทั้งส่วนขาเข้า และขาออกของวงจรถานสลีเนียร์รูปนั้นจะอยู่ในรูปแบบของกระแสแทบทั้งสิ้น มีเพียงศักดาที่รอยต่อพี-เอ็นของทรานซิสเตอร์เท่านั้นที่ถูกนำมาพิจารณาร่วมด้วย เป็นเหตุให้ก่อนที่จะมีคำว่าทรานสลีเนียร์เราจึงเรียกววงจรแบบนี้ว่าวงจรโหมดกระแส(Current-Mode Circuits) วงจรที่ใช้หลักการของทรานสลีเนียร์มักจะพบในวงจรต่างๆ โดยไม่มีรูปแบบที่แน่นอน วงจรประเภทนี้จะถูกนำไปสร้างด้วยเทคโนโลยีของวงจรรวมเพื่อให้วงจรมีคุณสมบัติในเรื่องของความใกล้เคียงกันทางอุณหภูมิขณะปฏิบัติการ ความเข้ากันของโครงสร้างอุปกรณ์ และความเข้มข้นของสารเจือมีความสำคัญเป็นอย่างมากต่อการทำงานของวงจร ทำให้แม้จะมีการคิดหลักการของวงจรถานสลีเนียร์นี้ได้ตั้งแต่ทศวรรษที่60 แต่ก็ยังไม่สามารถสร้างขึ้นได้ด้วยเทคโนโลยีของอุปกรณ์แบบแยกชิ้น(Discrete Device) ในขณะนั้น

ในปัจจุบันการประมวลผลสัญญาณในโหมดกระแสได้มีบทบาทอย่างมาก เนื่องจากการประมวลผลในโหมดกระแสจะมีข้อดีว่าการประมวลผลในโหมดแรงดันหลายประการ เช่นความถี่ในการใช้งานกว้าง(Wide Bandwidth) ช่วงปฏิบัติการทำงานกว้าง(Wide Dynamic Range) และสามารถใช้แรงดันไฟเลี้ยงต่ำ ซึ่งวงจรถานสลีเนียร์ในโหมดกระแส[30] ที่กล่าวถึงก็คือวงจรถายพานกระแสแบบทรานสลีเนียร์รูป และวงจรถายโอทีเอซึ่งเป็นวงจรที่มีการนำไปประยุกต์ใช้งานทางด้านการประมวลผลสัญญาณแอนะล็อกต่างๆ มากมาย เช่น วงจรกำเนิดความถี่(Oscillator)[7-11] วงจรกรองสัญญาณ(Filter)[8] วงจรแปลงค่าอิมพีแดนซ์(Impedance Converter)[13],[14] และวงจรถคูณ(Multiplier)[15],[16] เป็นต้น โดยวงจรถานสลีเนียร์ที่กล่าวมานี้ ซึ่งถ้าออกแบบ

วงจรโดยใช้วงจรสายพานกระแสแบบทรานส์ลิเนียร์รูป และวงจรมายโอทีเอจะทำให้วงจรที่ ออกแบบมีฟังก์ชันการทำงานที่มีผลขึ้นอยู่กับอุณหภูมิรอบข้าง จึงทำให้ผลของการทำงานของวงจรมี ความผิดพลาดเกิดขึ้น และลดประสิทธิภาพการทำงานของวงจรถง ซึ่งในบทรนี้จะกล่าวถึงหลักการ ทำงานของวงจรสายพานกระแสแบบทรานส์ลิเนียร์ที่มีคุณสมบัติไม่ขึ้นอยู่กับอุณหภูมิรอบข้างขณะ ใช้งาน

### 3.2 หลักการเบื้องต้น และทฤษฎีของวงจรถานส์ลิเนียร์รูป

หลักการของวงจรถานส์ลิเนียร์สำหรับไบโพลาร์ทรานซิสเตอร์ เป็นการอาศัยความ สัมพันธ์ที่เป็นเชิงเส้นระหว่างค่าทรานส์คอนดักแตนซ์กับค่ากระแสคอลเลคเตอร์เพื่อนำไปประยุกต์ ใช้วงจรที่มีการนำไบโพลาร์ทรานซิสเตอร์มาต่อกันเป็นวงจรซึ่งมีรอยต่อพี-เอ็นระหว่างเบสและคอล- เลคเตอร์ต่อเรียงกันเป็นวงปิด ซึ่งจะเรียกวจรในลักษณะนี้ว่าวงจรถานส์ลิเนียร์รูป (Translinear - Loop) ที่แสดงในรูปที่3.1 วงจรจากไบโพลาร์ทรานซิสเตอร์ ถูกออกแบบโดยอาศัยความสัมพันธ์เชิง เส้นระหว่างค่าทรานส์คอนดักแตนซ์(Transconductance) กับค่ากระแสคอลเลคเตอร์ ( $I_C$ ) ของ ไบโพลาร์ทรานซิสเตอร์[4]

$$g_m = \frac{dI}{dV} = aI \quad (3.1)$$

ค่า  $a$  คือ เป็นค่าคงที่ (ที่เกี่ยวข้องกับ  $I$  หรือ  $V$ )

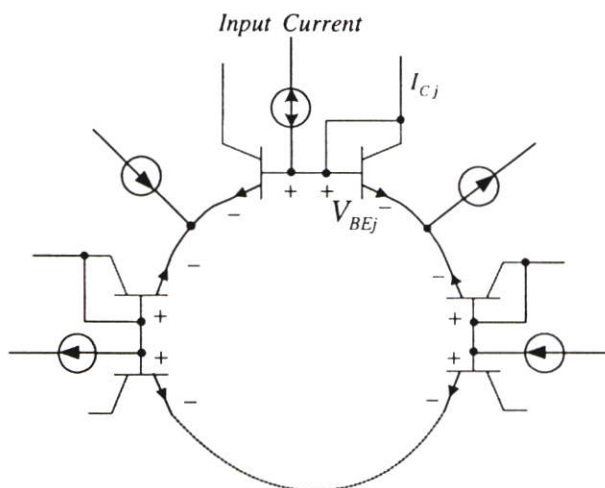
ทำสมการที่(3.1) ให้สำเร็จจะได้

$$I = b \exp(aV) \quad (3.2)$$

กำหนดให้  $b$  คือ ค่าคงที่

พิจารณาจากสมการที่(3.2) ถึงค่าความสัมพันธ์ระหว่างค่ากระแสกับแรงดันที่อยู่ในรูปปิด สามารถอธิบายถึงคุณสมบัติระหว่างกระแส  $I_C$  กับแรงดัน  $V_{BE}$  ของไบโพลาร์ทรานซิสเตอร์ จาก คุณสมบัตินี้ เมื่อนำไปต่อเข้ากับวงจรที่ประกอบด้วยรอยต่อของสารพี-เอ็น (P-N Junction) เป็น จำนวนคู่ และต่อกันอยู่ในลักษณะไบอัสตรง(Forward Bias) โดยที่รอยต่อพี-เอ็นแต่ละตัวจะถูกต่อเข้ากับขั้วของรอยต่อตัวอื่นๆ เรียงกันเป็นรูป(Loop) จะเรียกวจรลักษณะแบบนี้ว่าวงจรถานส์ลิเนียร์รูป [9] ซึ่งโดยปกติวงจรถานส์ลิเนียร์รูปต่างๆไป จะมีเพียงหนึ่งรูป แต่หลักการพื้นฐานโดยทั่วไปแล้ว

สามารถจะมีที่ลูปก็ได้โดยที่รอยต่อ พี-เอ็นเหล่านี้จะเป็นรอยต่อพี-เอ็นของไดโอด หรือรอยต่อเบส-อิมิตเตอร์(Base-Emitter Junction) ของทรานซิสเตอร์ก็ได้ ดังแสดงในรูปที่3.1



รูปที่3.1 รูปแบบพื้นฐานของวงจรทรานส์อิมิตเตอร์ลูปโดยใช้ไบโพลาร์ทรานซิสเตอร์

การพิจารณาลูปปิดที่ประกอบด้วยการไบอัสโดยตรงที่รอยต่อเบส-อิมิตเตอร์จะมีจำนวนเท่าใดก็ได้ แต่จะแบ่งออกมาได้เป็น 2 ส่วน คือใน ส่วนแรกแรงดันเบส-อิมิตเตอร์ที่มีทิศทางตามเข็มนาฬิกา(Clockwise: CW) และส่วนที่สองแรงดันเบส-อิมิตเตอร์ที่มีทิศทางทวนเข็มนาฬิกา (Counterclockwise: CCW) ดังแสดงในรูปที่3.1 โดยที่แหล่งจ่ายกระแสต่างๆ จะมีค่าคงที่พร้อมทั้งแสดงการเชื่อมต่อของกระแสคอลเลคเตอร์เป็นทั้งอินพุต และเอาท์พุต ดังนั้นผลรวมของแรงดันเบส-อิมิตเตอร์ รอบลูปปิดในรูปที่3.1 สามารถจะเขียนได้ดังนี้

$$\sum_{j=1}^N V_{BEj} = 0 \quad (3.3)$$

หรือ

$$\sum_{CW} V_{BEj} = \sum_{CCW} V_{BEj} \quad (3.4)$$

ซึ่งแทนค่าของ  $V_{BEj}$

$$V_{BEj} = \frac{kT}{q} \ln\left(\frac{I_{Cj}}{I_s}\right) \quad (3.5)$$

หรือ

$$V_{BEj} = V_T \ln \left( \frac{I_{Cj}}{A_j J} \right) \quad (3.6)$$

โดยที่

$$V_T = \frac{kT}{q}$$

และ

$$I_s = A_j J$$

แทนค่าสมการที่(3.6) ลงในสมการที่(3.4) จะได้ดังสมการที่(3.7)

$$\sum_{CW} V_T \ln \left( \frac{I_{Cj}}{A_j J} \right) = \sum_{CCW} V_T \ln \left( \frac{I_{Cj}}{A_j J} \right) \quad (3.7)$$

เมื่อ

$V_T$  คือค่าแรงดันความร้อน (Thermal Voltage) (V)

$I_{Cj}$  คือค่ากระแสคอลเลกเตอร์ (A)

$I_s$  คือค่ากระแสอิ่มตัว (Saturation Current) (A)

$A_j$  คือพื้นที่อิมิตเตอร์ของทรานซิสเตอร์ ( $cm^2$ )

$J$  คือค่าความหนาแน่นของกระแสต่อพื้นที่อิมิตเตอร์ของทรานซิสเตอร์ ( $A/cm^2$ )

ถ้าสมมุติให้ทรานซิสเตอร์ทุกตัวมีค่าความหนาแน่นของกระแสต่อพื้นที่อิมิตเตอร์ของทรานซิสเตอร์ และอุณหภูมิที่รอยต่อทุกตัวมีค่าเท่ากัน ซึ่งจากวงจรรวมโมโนลิทิกจะสามารถให้คุณสมบัติเหล่านี้ จะเป็นสิ่งที่สำคัญมากในวงจรทรานส์ลิเนียร์ ซึ่งจะทำให้ผลของแรงดันความร้อนหรืออุณหภูมิรอบข้างมีการชดเชยกันหมดไป ดังนั้นจากสมการที่(3.7) จะได้ว่า

$$\sum_{CW} \ln \left( \frac{I_{Cj}}{A_j} \right) = \sum_{CCW} \ln \left( \frac{I_{Cj}}{A_j} \right) \quad (3.8)$$

จากสมการที่(3.8) จะไม่มีเทอมใดที่ขึ้นอยู่กับผลของอุณหภูมิรอบข้าง  $\frac{kT}{q}$  หรือแรงดันความร้อน  $V_T$  และความหนาแน่นของกระแส  $J$  แต่เนื่องจากสมการที่(3.8) จะอยู่ในรูปผลบวกของอนุกรมในเทอมลือกการิมิก ดังนั้นสามารถที่จะจัดสมการใหม่ให้อยู่ในเทอมผลคูณ ได้ดังสมการที่(3.9)

$$\prod_{CW} \left( \frac{I_{Cj}}{A_j} \right) = \prod_{CCW} \left( \frac{I_{Cj}}{A_j} \right) \quad (3.9)$$

ถ้าทรานซิสเตอร์ทุกตัวถูกสร้างขึ้นที่มีค่าแมทช์(Match) โดยให้มีพื้นที่อิมิตเตอร์ของทรานซิสเตอร์มีค่าเท่ากันจากสมการที่(3.9) จะเขียนใหม่ได้

$$\prod_{CW} I_{cj} = \prod_{CCW} I_{cj} \quad (3.10)$$

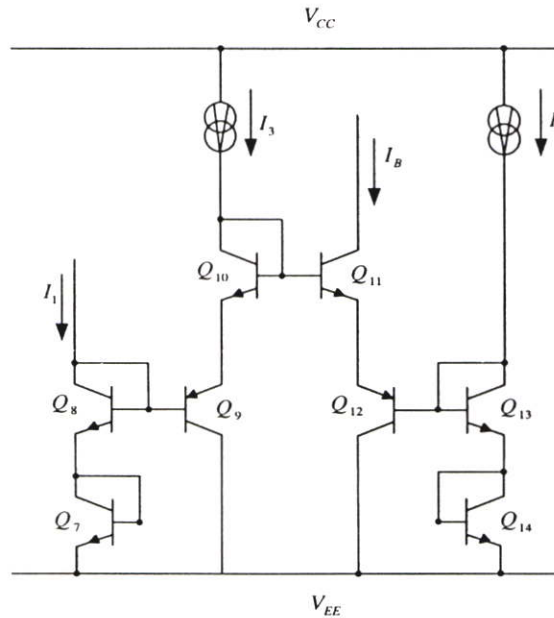
จากสมการที่(3.10) จะแสดงหลักการของวงจรถรานส์ลิเนียร์รูป สำหรับไบโพลาร์ทรานซิสเตอร์ ซึ่งกล่าวได้ว่า คือผลคูณของกระแสทิศทางตามเข็มนาฬิกาจะมีค่าเท่ากับผลคูณของกระแสทิศทางทวนเข็มนาฬิกา ซึ่งจากสมการดังกล่าวข้างต้นนี้ ด้วยคุณสมบัติของวงจร์ที่ไม่ไวต่อการเปลี่ยนแปลงทางอุณหภูมิ มีความแม่นยำต่อการทำงาน และมีคุณสมบัติที่มีช่วงปฏิบัติการสูง สามารถที่จะนำไปสังเคราะห์เป็นวงจร์ทางพีชคณิตต่างๆได้ เช่นวงจร์คูณ(Multiplier) วงจร์หาร(Divider) วงจร์ถอดราก(Square root) วงจร์กำลังสอง(Square) และฟังก์ชันทางคณิตศาสตร์อื่นๆ ได้โดยไม่ขึ้นกับอุณหภูมิ จากที่กล่าวมาจึงเหมาะสมที่จะนำไปสร้างวงจรรวมแบบชิพเดี่ยว

### 3.3 การประยุกต์ใช้งานของวงจรถรานส์ลิเนียร์รูป

การนำวงจร์พื้นฐานของหลักการทรานส์ลิเนียร์รูปในรูปแบบไบโพลาร์ทรานซิสเตอร์ไปประยุกต์ใช้งาน โดยจะเป็นการนำเสนอวงจร์พื้นฐานที่เกี่ยวข้อง ซึ่งจะนำไปออกแบบการทำงานที่มีการชดเชยอุณหภูมิของวงจร์ขยายสัญญาณเชิงลือก และวงจร์ขยายสัญญาณแบบแอนคิล็อก รวมไปถึงการออกแบบวงจร์เรียงกระแสที่มีการชดเชยอุณหภูมิในที่ใช้โอทีเอ ในการทำงานซึ่งประกอบด้วยวงจร์คูณ และหาร ทำงานร่วมกับวงจร์สะท้อนกระแส รวมถึงจะกล่าวถึงวงจร์สายพานกระแสในบทนี้ด้วย และการนำวงจร์พื้นฐานที่กล่าวมาไปใช้ในการอธิบายการทำงานการชดเชยอุณหภูมิในวงจรถรานส์ลิเนียร์รูปในรูปแบบวงจร์สายพานกระแส และการชดเชยอุณหภูมิของวงจร์ โอทีเอ พร้อมทั้งยกตัวอย่างการประยุกต์ใช้งานในบทที่4 จากนั้นจะนำผลที่ได้ไปออกแบบวงจร์ชดเชยอุณหภูมิในวงจร์เรียงกระแสแบบเต็มคลื่น โดยใช้โอทีเอในบทที่6 ต่อไป

### 3.3.1 วงจรคูณและหาร

ส่วนวงจรคูณ และหารกระแสแสดงในรูปที่3.2 ที่ประกอบด้วยทรานซิสเตอร์ PNP และNPN โดยมีกระแส  $I_3$  และ  $I_2$  เป็นแหล่งจ่ายกระแสจากภายนอก ส่วนกระแส  $I_1$  เป็นกระแสอินพุทของวงจร และกระแส  $I_B$  เป็นกระแสเข้าที่พู่ทของวงจร ซึ่งทรานซิสเตอร์  $Q_7$  ถึง  $Q_{14}$  จะต่อกันอยู่ในลักษณะแบบทรานส์ลิเนียร์รูป ซึ่งได้ความสัมพันธ์ของค่าแรงดัน  $V_{BE}$  ของทรานซิสเตอร์ได้เป็นดังนี้



รูปที่3.2 วงจรคูณและหารกระแสโดยใช้หลักการของทรานส์ลิเนียร์รูป

จากรูปที่3.2 จะได้ว่ารูปกระแสดังนี้

$$V_{BE7} + V_{BE8} + V_{BE9} + V_{BE10} = V_{BE11} + V_{BE12} + V_{BE13} + V_{BE14} \quad (3.11)$$

โดยที่

$$V_{BE} = V_T \ln \frac{I_C}{I_S} \quad (3.12)$$

แทนค่าสมการที่(3.12) ลงในสมการที่(3.11) โดยกำหนดให้ทรานซิสเตอร์ทุกตัวมีความสมพียงกัน

$$V_T \ln \frac{I_{C7}}{I_{SN}} + V_T \ln \frac{I_{C8}}{I_{SN}} + V_T \ln \frac{I_{C9}}{I_{SP}} + V_T \ln \frac{I_{C10}}{I_{SN}} \quad (3.13)$$

$$= V_T \ln \frac{I_{C11}}{I_{SN}} + V_T \ln \frac{I_{C12}}{I_{SP}} + V_T \ln \frac{I_{C13}}{I_{SN}} + V_T \ln \frac{I_{C14}}{I_{SN}}$$

$$V_T \ln \frac{I_{C7} \cdot I_{C8} \cdot I_{C9} \cdot I_{C10}}{I_{SN}^3 \cdot I_{SP}} = V_T \ln \frac{I_{C11} \cdot I_{C12} \cdot I_{C13} \cdot I_{C14}}{I_{SN}^3 \cdot I_{SP}} \quad (3.14)$$

เมื่อ  $I_{C7} = I_{C8} = I_1$ ,  $I_{C9} = I_{C10} = I_3$ ,  $I_{C11} = I_{C12} = I_B$  และ  $I_{C13} = I_{C14} = I_2$

แทนลงในสมการที่(3.14) จะได้

$$I_1^2 I_3^2 = I_B^2 I_2^2 \quad (3.15)$$

$$I_B = \frac{I_1 \cdot I_3}{I_2} \quad (3.16)$$

จากสมการที่(3.16) กระแสเข้าที่พู่ท  $I_B$  จะกำหนดให้เป็นวงจรรหาร หรือวงจรรคูณ โดยมีเงื่อนไขดังนี้ ถ้ากำหนดค่า  $I_2$  เป็นค่าคงที่ เข้าที่พู่ทของ  $I_B$  จะเกิดจากค่า  $I_1$  คูณกับค่า  $I_3$  วงจรรนี้เป็นวงจรรคูณค่า 2 ค่าเข้าด้วยกัน ในทำนองเดียวกันหากกำหนดค่า  $I_3$  เป็นค่าคงที่ เข้าที่พู่ทของ  $I_B$  จะเกิดจากค่า  $I_1$  หาค่า  $I_2$  วงจรรนี้เป็นวงจรรหาร ซึ่งจะนำไปใช้ในหัวข้อถัดไป เรื่องการชดเชยอุณหภูมิของวงจรรทรานส์ลิเนียร์รูป และการชดเชยอุณหภูมิในวงจรรขยายสัญญาณลือกการิมิคกับวงจรรขยายสัญญาณแอนติลือกการิมิค ซึ่งเป็นวงจรรหลักในการชดเชยอุณหภูมิ

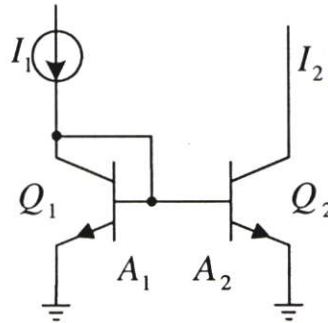
### 3.3.2 วงจรรสะท้อนกระแส

วงจรรสะท้อนกระแสเป็นวงจรรที่นำมาใช้ในการออกแบบทางวงจรรรวมเป็นที่รู้จักกันดีหน้าที่หลักของวงจรรนี้คือ สำเนากระแสจากจุดหนึ่งไปยังอีกจุดหนึ่งตามที่ต้องการ หลักการสะท้อนกระแสมีการทำงานในหลายรูปแบบเช่น วงจรรสะท้อนกระแสแบบพื้นฐาน และวงจรรสะท้อนกระแสแบบวิลสัน(Wilson Current Mirror) วงจรรสะท้อนกระแสแบบพื้นฐาน[18]

$$I_C = I_S \exp\left(\frac{V_{BE}}{V_T}\right) \left(1 + \frac{V_{CE}}{V_A}\right) \quad (3.17)$$

ในวงจรสะท้อนกระแสจะได้ว่าทรานซิสเตอร์ทั้งสองมีค่า  $V_{BE}$  และ  $I_S$  เท่ากัน ดังรูปที่แสดง 3.3 ทำให้ได้ว่า

$$\frac{I_{C1}}{A_1(1+V_{BE}/V_A)} = \frac{I_{C2}}{A_2(1+V_{CE2}/V_A)} \quad (3.18)$$



รูปที่ 3.3 วงจรสะท้อนกระแสแบบพื้นฐาน

ซึ่ง  $A_1$  และ  $A_2$  คือพื้นที่อิมิตเตอร์ของทรานซิสเตอร์  $Q_1$  และ  $Q_2$  ตามลำดับ จะได้สมการที่ (3.19)

$$I_1 = I_{C1} + I_{B1} + I_{B2} \quad (3.19)$$

$$I_1 = I_{C1} + \frac{I_{C1}}{\beta_F} + \frac{I_{C2}}{\beta_F} \quad (3.20)$$

$$I_1 \approx I_{C1} + \frac{I_{C1}}{\beta_F} + \frac{A_2 I_{C1}}{A_1 \beta_F} \quad (3.21)$$

$$I_1 = I_{C1} \left[ 1 + \frac{1}{\beta_F} \left( 1 + \frac{A_2}{A_1} \right) \right] \quad (3.22)$$

จากสมการที่(3.18) จะได้ค่า  $I_2$  คือ

$$I_2 = \frac{A_2}{A_1} I_1 \left( \frac{1}{1 + \frac{1}{\beta_F} \left( 1 + \frac{A_2}{A_1} \right)} \right) \left( \frac{1 + V_{CE}/V_A}{1 + V_{BE}/V_A} \right) \quad (3.23)$$

เนื่องจาก  $\beta_F \gg 1$  และ  $V_A \gg V_{CE}$  จะได้

$$I_2 \approx \frac{A_2}{A_1} I_1 \quad (3.24)$$

ถ้ากำหนดให้ทรานซิสเตอร์ทั้งสองตัวมีพื้นฐานที่อิมิตเตอร์เท่ากัน หรือ  $A_1 = A_2$  จะได้ว่า

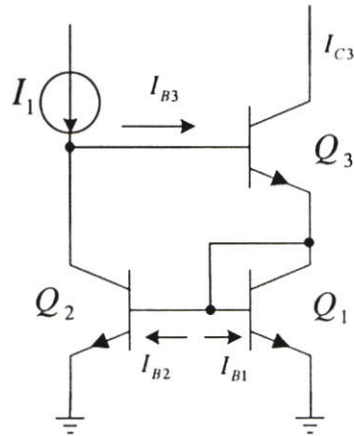
$$I_2 \approx I_1 \quad (3.25)$$

วงจระสะท้อนกระแสแบบวิลสัน[19] ซึ่งแสดงดังรูปที่3.4 ปรับปรุงมาจากวงจระสะท้อนกระแสแบบพื้นฐาน เพื่อให้อัตราขยายกระแสขึ้นกับ  $\beta$  น้อยลง และให้ความต้านทานที่จุดสัญญาณจุดออกสูงขึ้น  $Q_1, Q_2$  ทำงานเหมือนกับวงจระพื้นฐาน โดยแรงดันที่ตกคล่อมคอลเลกเตอร์อิมิตเตอร์ของ  $Q_2 (V_{CE})$  มีค่าเป็น  $2V_{BE}$  ทำให้ผลของ Base-width Modulation ที่มีต่อวงจระสะท้อนกระแสแบบทรานซิสเตอร์พื้นฐานลดลง และไม่ขึ้นกับแรงดันที่จุดสัญญาณออก เนื่องจากกระแส  $I_{E3}$  จากอิมิตเตอร์ของ  $Q_3$  เป็นกระแสเข้าวงจระสะท้อนกระแส  $Q_1, Q_2$  มีค่าค่อนข้างคงที่ แม้ว่าจะมีการเปลี่ยนแปลงแรงดันที่จุดสัญญาณออกก็ตาม เมื่อ  $I_{E3}$  มีค่าค่อนข้างคงที่ต่อการเปลี่ยนแปลงของแรงดันที่จุดสัญญาณออก ทำให้กระแสออก  $I_{C3}$  มีค่าค่อนข้างคงที่ต่อการเปลี่ยนแปลงของแรงดันที่สัญญาณออกด้วย ลักษณะเช่นนี้ทำให้ได้ค่าความต้านทานที่จุดสัญญาณออกสูง ซึ่งจะปรับให้  $I_{C3} + I_O$  มีค่าใกล้เคียงกับค่ากระแส  $I_1$  มากยิ่งขึ้นกำหนดให้เป็น  $I_2$  จากรูปที่3.4 จะได้ค่ากระแส  $I_2$  ดังสมการ(3.26)

$$I_{E3} = I_{C1} + I_{B1} + I_{B2} = I_{C1} \left( 1 + \frac{2}{\beta_F} \right) \quad (3.26)$$

จัดสมการใหม่ได้

$$I_{C3} = \left( \frac{\beta_F}{\beta_F + 1} \right) I_{E3} = I_{C1} \left( 1 + \frac{2}{\beta_F} \right) \left( \frac{\beta_F}{\beta_F + 1} \right)$$



รูปที่3.4 วงจรสะท้อนกระแสแบบวิลสัน

$$I_{C3} = I_1 \left( 1 - \frac{2}{\beta_F^2 + 2\beta_F + 2} \right) \approx I_1 \left( 1 - \frac{2}{\beta_F^2} \right) \quad (3.27)$$

กำหนดให้ค่า  $\beta_F \gg 1$  จะทำให้ค่ากระแส  $I_2$  ใกล้เคียง  $I_1$  มากยิ่งขึ้น จะได้ว่า

$$I_2 \approx I_1 \quad (3.28)$$

จากสมการที่(3.27) ค่ากระแสที่เข้าที่พู่จะมีค่าใกล้เคียงกระแสอินพุตมาก ด้วยเทอมในวงเล็บถ้าเกณฑ์การขยายของทรานซิสเตอร์ยิ่งมากยิ่งดี เมื่อเทียบกับสมการที่ (3.23)เป็นการสะท้อนกระแสแบบวงจรพื้นฐาน

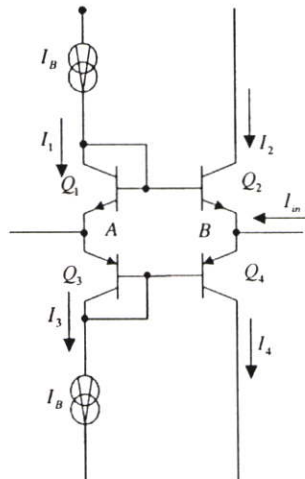
### 3.3.3 วงจรสายพานกระแสในรูปแบบทรานส์ลิเนียร์รูป

วงจรสายพานกระแสจัดเป็นอุปกรณ์ที่ทำงานในโหมดกระแส[18] ซึ่งในปี ค.ศ.1968- โดย K. C. Smith และ A. Sedra ได้เป็นผู้กำเนิดแนวความคิดวงจรขึ้นมาใหม่ที่เรียกว่า วงจรสายพานกระแสยุคแรก(First – Generation Current Conveyor) หรือCCI ในการนำCCI ไปใช้งานแต่ไม่ได้รับความนิยม จึงมีการพัฒนาในปีค.ศ.1970 ได้นำเสนอวงจรสายพานกระแสยุคที่สอง(Second – Generation Current Conveyor) หรือCCII พร้อมทั้งแสดงการนำเอาCCII ไปประยุกต์ใช้งานต่างๆ มากมายทำให้CCIIได้รับความนิยม และนิยมนำมาใช้งานกันมากมายจนถึงปัจจุบันนี้ พร้อมทั้งได้มีการปรับปรุงและพัฒนาสร้างวงจรCCII ได้มีการนำเสนอCCII ในรูปแบบต่างๆด้วยกัน เช่น วงจรสายพานกระแสแบบปรับค่าได้ด้วยวิธีทางอิเล็กทรอนิกส์ และวงจรสายพานกระแสที่สร้างขึ้นโดยการใช้วงจรทรานส์ลิเนียร์รูปมาต่อร่วมกับวงจรสะท้อนกระแส ซึ่งได้เรียกชื่อวงจร CCII ลักษณะ

แบบนี้ว่า วงจรสายพานกระแสยุคที่สองซึ่งควบคุมได้ด้วยกระแส(Second – Generation Current Controlled Conveyor) ซึ่งเขียนแทนด้วยCCCII และวงจรสายพานกระแสแบบนี้จะสามารถนำไปใช้งานได้ในย่านความถี่สูง[11] แต่จะมีข้อจำกัดบางประการซึ่งจะกล่าวในส่วนต่อไป

### 3.3.4 วงจรขยายคลาส AB แบบทรานส์ลิเนียร์รูป

พิจารณาจากรูปที่3.5 แสดงวงจรขยายคลาสAB แบบทรานส์ลิเนียร์รูป[20-21] จะประกอบด้วย ทรานซิสเตอร์ชนิดPNP 2 ตัว และชนิด NPN 2 ตัว กระแส  $I_B$  เป็นแหล่งจ่ายกระแสคงที่ และ  $I_{in}$  เป็นกระแสอินพุต ถ้าสมมุติให้ทรานซิสเตอร์  $Q_1$  ถึง  $Q_4$  มีความสมพียงกันทุกประการจากหลักการของ ทรานส์ลิเนียร์รูป จะได้ซึ่งความสัมพันธ์ของค่าแรงดันระหว่างขาเบส และขาอิมิตเตอร์  $V_{BE}$  ของ ทรานซิสเตอร์  $Q_1, Q_2, Q_3$  และ  $Q_4$  สามารถเขียนได้ดังนี้[11],[44]



รูปที่3.5 วงจรขยายคลาสABแบบทรานส์ลิเนียร์รูป

$$V_{BE1} + V_{BE3} = V_{BE2} + V_{BE4} \quad (3.29)$$

ซึ่ง

$$V_{BE} = V_T \ln \frac{I_C}{I_S} \quad (3.30)$$

เมื่อแรงดัน  $V_{BE1}, V_{BE2}, V_{BE3}$  และ  $V_{BE4}$  เป็นแรงดันระหว่างขาเบส และขาอิมิตเตอร์ของ ทรานซิสเตอร์  $Q_1, Q_2, Q_3$  และ  $Q_4$  ตามลำดับ ซึ่งถ้าป้อนกระแส  $I_{in}$  เข้าที่จุด  $B$  โดยให้แรงดันที่จุด  $A$  คงที่ ดังรูปที่3.5

จากคุณลักษณะของทรานส์ลิเนียร์รูปแทนสมการที่(3.30) ลงในสมการที่(3.29) ซึ่งจะได้ ความสัมพันธ์ของกระแสคอลเลกเตอร์ของทรานซิสเตอร์เป็นดังนี้

$$I_1 I_3 = I_2 I_4 \quad (3.31)$$

โดยที่กระแส  $I_1 = I_3 \cong I_B$  ซึ่ง  $I_B$  เป็นกระแสไบอัสทรานซิสเตอร์ ถ้าค่าอัตราขยายกระแส  $\beta \gg 1$  ที่จุด  $B$  จะได้ความสัมพันธ์ระหว่างกระแส  $I_2, I_4$  และ  $I_{in}$

$$I_4 = I_2 + I_{in} \quad (3.32)$$

หรือ

$$I_2 = I_4 - I_{in} \quad (3.33)$$

จากสมการที่(3.31), สมการที่(3.32) และสมการที่(3.33) ดังนั้นจะได้กระแส  $I_2$  และ  $I_4$  สามารถหาค่าได้ในสมการที่(3.34) และ(3.35)

$$I_2 = \left[ (I_{in}^2 + 4I_B^2)^{1/2} - I_{in} \right] / 2 \quad (3.34)$$

และ

$$I_4 = \left[ (I_{in}^2 + 4I_B^2)^{1/2} + I_{in} \right] / 2 \quad (3.35)$$

ถ้าพิจารณาที่พอร์ท A กำหนดเป็นอินพุตซึ่งค่าอิมพีแดนซ์ที่พอร์ท A จะมีค่าสูงมาก และเอาต์พุตอิมพีแดนซ์ที่พอร์ท B จะมีค่าต่ำ ดังนั้นวงจรนี้จะทำหน้าที่เป็นวงจรตามแรงดัน(Voltage Follower)[16] ค่าผลต่างของแรงดัน(Voltage Differential) ระหว่างจุด B และจุด A คือ  $V_{BA}$  จะมีค่า

$$V_{BA} = -V_T \ln \frac{I_2}{I_B} \quad (3.36)$$

แทนสมการที่(3.34) ลงในสมการที่(3.36) ซึ่งแรงดัน  $V_{BA}$  จะขึ้นอยู่กับค่ากระแส  $I_{in}$  จะได้ว่า

$$V_{BA} = -V_T \ln \left[ (I_{in}^2 + 4I_B^2)^{1/2} - I_{in} \right] / 2I_B \quad (3.37)$$

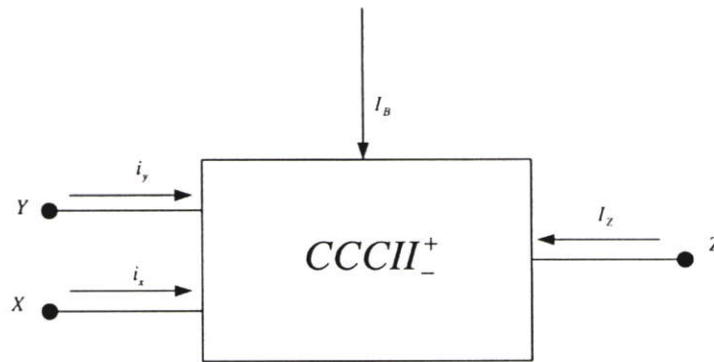
$$= -V_T \ln \left\{ \left[ 1 + (I_{in}^2 / 4I_B^2) \right]^{1/2} - I_{in} / 2I_B \right\}$$

ถ้าค่ากระแส  $I_{in} \ll 2I_B$  จะพบว่าค่าความต้านทานของสัญญาณขนาดเล็กที่จุด  $B$  และจุด  $A$  มีค่าเป็นตามสมการที่(3.38)

$$R_x = \frac{V_{AB}}{I_{in}} = \frac{V_T}{2I_B} \quad (3.38)$$

จากสมการที่(3.38) จะพบว่าความสัมพันธ์ระหว่างแรงดัน  $V_{BA}$  กับกระแส  $I_{in}$  ก็คือค่าความต้านทานของสัญญาณขนาดเล็กที่จุด  $B$  กับจุด  $A$  ของวงจรขยายคลาส  $AB$  แบบทรานส์ลิเนียร์รูป โดยสามารถที่จะเปลี่ยนแปลงค่าความต้านทานนี้ได้ด้วยกระแสไบอัส  $I_B$  ซึ่งทำให้สามารถที่จะควบคุมการปรับค่าความต้านทานนี้ได้ด้วยวิธีทางอิเล็กทรอนิกส์ และค่าความต้านทานนี้จะขึ้นอยู่กับค่าแรงดัน  $V_T$  ซึ่งจะเปลี่ยนแปลงตามอุณหภูมิรอบข้าง ดังนั้นความต้านทานของสัญญาณขนาดเล็กที่จุด  $B$  กับจุด  $A$  จะเปลี่ยนแปลงไปเมื่อ  $V_T$  เกิดการเปลี่ยนแปลงไป

### 3.3.5 วงจรสายพานกระแสยุคที่สองซึ่งควบคุมได้ด้วยกระแสหรือ CCCII



รูปที่3.6 สัญลักษณ์ของCCCII

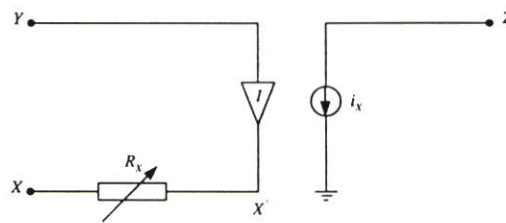
วงจรCCCII คือวงจรสายพานกระแสยุคที่สองซึ่งสามารถควบคุมได้ด้วยกระแส ได้ถูกนำเสนอโดย A.Fabre โครงสร้างของวงจรจะอาศัย หลักการพื้นฐานของวงจรขยายคลาส  $AB$  เป็นหลัก โดยมีจุด  $A$  และจุด  $B$  ของวงจรในรูปที่3.5 เป็นพอร์ต  $Y$  และพอร์ต  $X$  ตามลำดับ ซึ่งวงจร CCCII จะแบ่งออกได้เป็น 2 แบบ คือCCCII แบบบวก หรือCCCII+ และCCCII แบบลบ หรือCCCII- โดยสัญลักษณ์ และวงจรสมมูลของ CCCII แสดงในรูปที่3.6 และ3.7 ตามลำดับ ซึ่งวงจร CCCII จะมีคุณสมบัติคล้ายคลึงกับวงจรCCII แต่จะแตกต่างกันตรงที่เมื่อใช้กระแสไบอัสป้อนให้กับวงจร CCCII ที่มีค่าไม่สูงนัก จะทำให้เกิดค่าความต้านทานแฝงปรากฏขึ้น(Parasitic Resistance) หรือค่าความต้านทานภายในเกิดขึ้นที่พอร์ต(Port)  $X$  ของวงจรสายพานกระแส ( $R_x$ )ค่าความต้านทานนี้จะมีค่า

แปรผกผันกับค่ากระแสไบอัสจากภายนอก และจะแปรผันตรงกับอุณหภูมิรอบข้าง ซึ่งถ้าคิดในแง่ลบ ค่าความต้านทานนี้ก็จะสร้างขีดจำกัดให้กับวงจร CCCII แต่ถ้าคิดในแง่บวกก็จะพบว่าค่าความต้านทานในที่แผลงอยู่ที่พอร์ท X ของ CCCII นี้ก็นำจะนำไปใช้ประโยชน์ได้ โดยพิจารณาจากค่าความต้านทาน  $R_x$  นี้จะมีค่าเท่ากับสมการที่(3.39)

$$R_x = \frac{V_T}{2I_B} \quad (3.39)$$

เมื่อ

$V_T$  คือแรงดันความร้อน(Thermal Voltage)



รูปที่ 3.7 วงจรสมมูลของ CCCII

จากรูปที่ 3.7 เมื่อพิจารณาวงจร CCCII จากจุด Y ถึงจุด X จะได้ความสัมพันธ์เชิงเมตริกซ์ของวงจร CCCII นี้ ซึ่งจะมีคุณสมบัติเหมือนกับ CCII คือ

$$\begin{bmatrix} i_y \\ V_x \\ i_z \end{bmatrix} = \begin{bmatrix} 0 & 0 & 0 \\ 1 & 0 & 0 \\ 0 & \pm 1 & 0 \end{bmatrix} \begin{bmatrix} V_y \\ i_x \\ v_z \end{bmatrix} \quad (3.40)$$

แต่เมื่อพิจารณารวมค่าความต้านทานภายใน  $R_x$  ด้วยแล้ว จากจุด Y ถึงจุด X จะสามารถแสดงความสัมพันธ์เชิงเมตริกซ์ในรูปทั่วไปของ CCCII ได้ดังนี้

$$\begin{bmatrix} i_y \\ V_x \\ i_z \end{bmatrix} = \begin{bmatrix} 0 & 0 & 0 \\ 1 & R_x & 0 \\ 0 & \pm 1 & 0 \end{bmatrix} \begin{bmatrix} V_y \\ i_x \\ v_z \end{bmatrix} \quad (3.41)$$

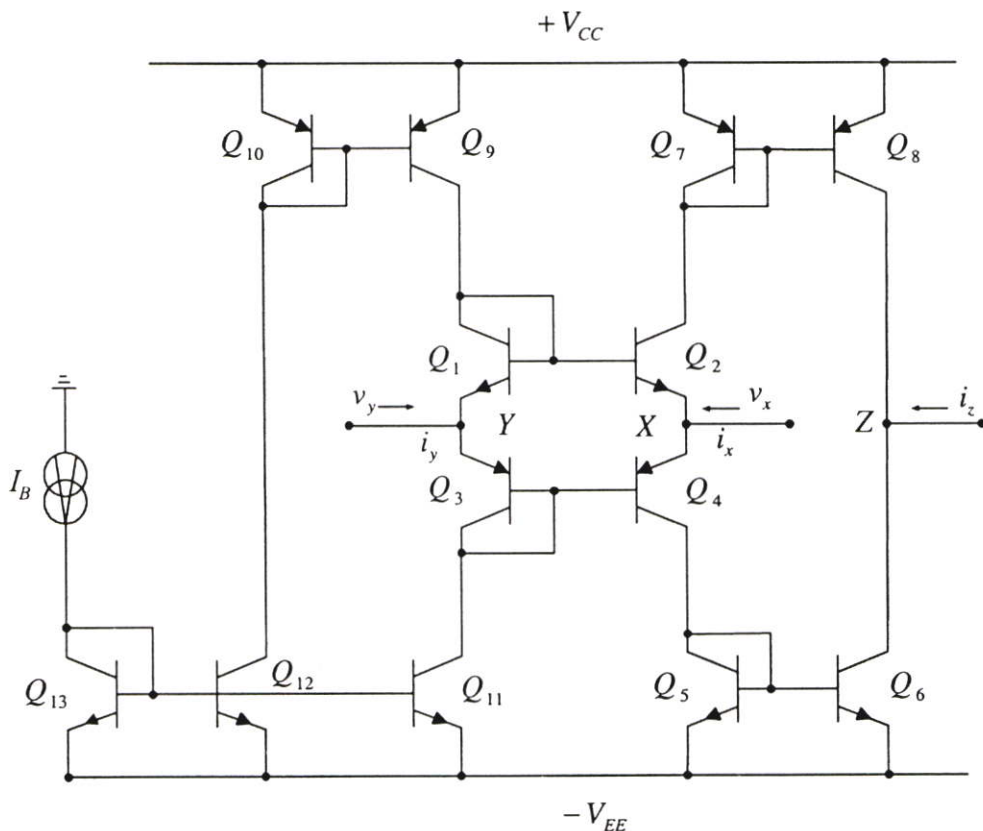
จากสมการที่(3.41) ที่ค่า  $h_{22}$  จะเห็นว่ามิเครื่องหมายแสดงเป็นค่าบวก และลบ ซึ่งเครื่องหมายนี้จะแสดงถึงความสัมพันธ์ของทิศทางการไหลของกระแส  $i_z$  เมื่อเปรียบเทียบกับทิศทางของกระแส  $i_x$  โดยเครื่องหมายเป็นบวกจะแสดงถึงว่าทิศทางการไหลของกระแส  $i_z$  กับกระแส  $i_x$

มีทิศทางการไหลของกระแสทิศทางเดียวกันเรียกว่า CCCII+ และถ้าเครื่องหมายเป็นลบจะแสดงถึงทิศทางการไหลของกระแส  $i_z$  กับกระแส  $i_x$  มีทิศทางการไหลของกระแสตรงกันข้ามหรือสวนทางกันเรียกว่า CCCII- ส่วนค่า  $h_{22}$  จะเป็นค่าความต้านทานภายในที่พอร์ท  $X$  ของวงจรสายพานกระแส ซึ่งจะเห็นได้ว่าค่า  $R_x$  นี้ จะขึ้นอยู่กับอุณหภูมิรอบข้าง และสามารถปรับค่าได้ด้วยวิธีการอิเล็กทรอนิกส์ โดยการแปรค่ากระแสไบอัส  $I_B$  ซึ่งเป็นกระแสไบอัสจากภายนอกนั่นเอง

### 3.3.5.1 วงจรสายพานกระแสแบบวงยุคที่สองแบบปรับค่าได้

วงจรสายพานกระแสแบบวงยุคที่สองแบบปรับค่าได้ การทำงานของวงจร CCCII+ แสดงในรูปแบบที่ 3.8 จะประกอบด้วยทรานซิสเตอร์  $Q_1$  ถึง  $Q_4$  เป็นวงจรทรานส์ลิเนียร์รูปกระแส  $I_B$  เป็นแหล่งจ่ายกระแสคงที่ทรานซิสเตอร์  $Q_{11}$  ถึง  $Q_{13}$  เป็นวงจรสะท้อนกระแสแบบบวกจะทำการสะท้อนกระแสจาก  $I_{C13}$  ซึ่งค่าเท่ากับ  $I_B$  ไปยัง  $I_{C12}$  หลังจากนั้นจะมีการสะท้อนกระแสอีกครั้งไปยัง  $I_{C9}$  โดยวงจรสะท้อนกระแสแบบลบที่ประกอบด้วยทรานซิสเตอร์  $Q_9$  และ  $Q_{10}$  โดยมีอัตราการสะท้อนกระแสของวงจรสะท้อนกระแสทั้งสองมีค่าเป็นหนึ่งเท่า กระแส  $I_{C9}$  นี้จะเป็นกระแสไบอัสให้ทรานซิสเตอร์  $Q_1$  มีค่าเท่ากับ  $I_{C9} = I_B$  คือค่า  $I_{C12} = I_{C10} = I_B$  และกระแสอีกส่วนหนึ่งจาก  $Q_{13}$  จะถูกสำเนา(Copy) ออกมาจากวงจรสะท้อนกระแสอีกส่วนหนึ่งซึ่งจะมีการสะท้อนกระแส  $I_{C13} = I_B$  ไปยัง  $I_{C11}$  ซึ่ง  $I_{C11} = I_{C13}$  เป็นกระแสไบอัสให้ทรานซิสเตอร์  $Q_3$  มีค่าเท่ากับ  $I_B$  เมื่อใช้กระแสไบอัส  $I_B$  ที่มีค่าน้อยให้กับวงจรสายพานกระแสแบบทรานส์ลิเนียร์รูป จะมีความต้านทานแฝงปรากฏเกิดขึ้นที่พอร์ท  $X$  โดยที่ค่า  $R_x$  จะมีค่าในสมการที่(3.39) โดยเมื่อนำกระแสจากภายนอกป้อนเข้าสู่พอร์ท  $X$  จะทำให้เกิดแรงดันขึ้นที่พอร์ท  $X$  ซึ่งค่าแรงดัน  $V_x$  จะมีค่าเท่ากับ  $V_y + i_x R_x$  และค่าความต้านทานที่พิจารณาเข้าไปยังพอร์ท  $Y$  จะมีค่าสูงมาก ทำให้ไม่มีกระแสไหลผ่านได้ ดังนั้นจะได้ว่า  $i_y = 0$  ส่วนกระแส  $i_z = i_x$  นั้น สามารถพิจารณา ถ้าสมมติว่าขณะนั้นมีกระแส  $i_x$  ไหลเข้าที่พอร์ท  $X$  จะเกิดมีค่ากระแสไหลผ่าน  $Q_4$  เท่ากับ  $i_x$  ต่อจากนั้นกระแส  $i_x$  ก็จะไหลเข้าสู่วงจรสะท้อนกระแสแบบบวกที่ประกอบด้วยทรานซิสเตอร์  $Q_5$  และ  $Q_6$  ด้วยอัตราการสะท้อนกระแสเป็นหนึ่งเท่า

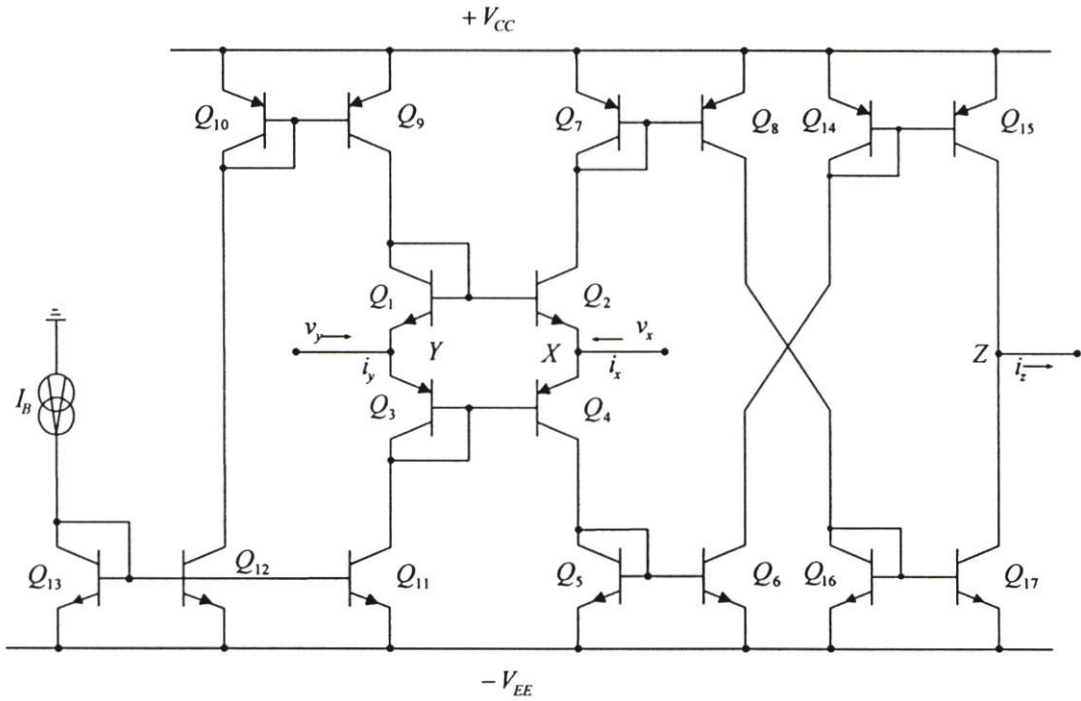
ดังนั้นกระแส  $I_{C5} = i_x$  จะถูกสะท้อนไปยัง  $I_{C6}$  ซึ่งกระแส  $I_{C6}$  นี้จะไปปรากฏขึ้นที่พอร์ท  $Z$  โดยมีทิศทางการไหลของกระแสเข้าที่พอร์ท  $Z$  เป็นกระแส  $i_z$  ส่วนในกรณีที่ค่ากระแส  $i_x$  ไหลออกจากพอร์ท  $X$  จะเกิดกระแส  $i_x$  ไหลผ่าน  $Q_2$  ต่อจากนั้นกระแส  $i_x$  จะถูกสะท้อนกระแสด้วยทรานซิสเตอร์  $Q_7$  และ  $Q_8$  ซึ่งเป็นวงจรสะท้อนกระแสแบบลบด้วยอัตราการสะท้อนหนึ่งเท่า ซึ่งกระแส  $I_{C7} = I_{C8} = i_x$  นี้จะปรากฏขึ้นที่พอร์ท  $Z$  มีทิศทางการไหลของกระแสออกจากพอร์ท  $Z$  ทำให้เกิดเป็นค่ากระแส  $i_z$  ต่อไป



รูปที่ 3.8 วงจรสายพานกระแสยุคที่สอง CCCII+

### 3.3.5.2 วงจรสายพานกระแสยุคที่สองแบบปรับค่าได้

วงจรสายพานกระแสยุคที่สองแบบปรับค่าได้แสดงดังรูปที่ 3.9 ในส่วนการทำงานของวงจร CCCII- จะทำการเพิ่มวงจรสะท้อนกระแสขึ้นมาอีก 2 ชุด โดยทำการสะท้อนกระแสไว้ด้วยกัน ถ้าพิจารณากระแส  $i_x$  ไหลเข้าที่พอร์ท X กระแส  $i_x$  จะไหลผ่านทรานซิสเตอร์  $Q_4$  แล้วถูกสะท้อนกระแสเป็น  $I_{C6}$  และจะไหลเข้าสู่วงจรสะท้อนกระแสแบบลบที่ประกอบด้วยทรานซิสเตอร์  $Q_{14}$  และ  $Q_{15}$  ด้วยอัตราการสะท้อนเป็นหนึ่งเท่า ดังนั้นกระแส  $I_{C6} = I_{C14} = i_x$  จะถูกสะท้อนไปยัง  $I_{C15}$  ไปปรากฏขึ้นที่พอร์ท Z มีทิศทางไหลของกระแสออกจากพอร์ท Z ซึ่งมีทิศทางตรงกันข้ามกับกระแส  $i_x$  เป็นกระแสลบ  $i_z$  ส่วนในกรณีที่กระแส  $i_x$  ไหลออกจากพอร์ท X กระแส  $i_x$  จะไหลผ่านทรานซิสเตอร์  $Q_2$  และถูกสะท้อนกระแสเป็น  $I_{C8}$  ต่อจากนั้นกระแส  $I_{C8}$  จะถูกสะท้อนด้วยทรานซิสเตอร์  $Q_{16}$  และ  $Q_{17}$  ซึ่งเป็นวงจรสะท้อนกระแสแบบบวก ด้วยอัตราการสะท้อนเท่ากับหนึ่ง ซึ่งกระแส  $I_{C8} = I_{C16} = i_x$  จะถูกสะท้อนไปยัง  $I_{C17}$  นี้จะไปปรากฏขึ้นที่พอร์ท Z ซึ่งมีทิศทางของกระแสไหลเข้าที่พอร์ท Z ทำให้เกิดเป็นกระแสลบ  $i_z$  ซึ่งมีทิศทางตรงกันข้ามกับกระแส  $i_x$



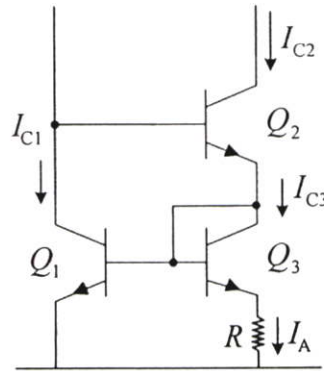
รูปที่ 3.9 วงจรสายพานกระแสยุคที่สอง CCCII-

### 3.4 การชดเชยอณูหมีในวงจรสายพานกระแสแบบทรานส์ลิเนียร์รูป

ในการออกแบบวงจรทางอิเล็กทรอนิกส์ที่ทำงานขึ้นตรงต่ออณูหมีรอบข้าง [17] เพื่อเพิ่มประสิทธิภาพของวงจรในการทำงานให้มีความไวต่ออณูหมีน้อยลง หากกำหนดแหล่งจ่ายกระแสคงที่ที่มีการชดเชยอณูหมีรอบข้างไว้ก็สามารถนำไปแทนแหล่งจ่ายกระแสในวงจรที่ต้องการชดเชยอณูหมีได้ โดยวงจรจะให้ค่ากระแสแปรผกผันตรงกับอณูหมีรอบข้าง และสามารถปรับค่าได้ด้วยวิธีการทางอิเล็กทรอนิกส์ ซึ่งวงจรแหล่งจ่ายกระแสคงที่นี้สามารถนำผลของค่ากระแสเข้าที่พู่ที่ได้ไปต่อใช้งานร่วมกับวงจรสายพานกระแสแบบทรานส์ลิเนียร์ และวงจรขยายโอทีเอได้อย่างง่าย โดยจะนำไปแทนแหล่งจ่ายกระแสจากภายนอกที่ป้อนให้กับวงจรสายพานกระแสแบบทรานส์ลิเนียร์ และวงจรขยายโอทีเอ โดยใช้วงจรคูณ และหารในรูปแบบของทรานส์ลิเนียร์เพื่อช่วยในการชดเชยอณูหมี ซึ่งจะได้อธิบายในหัวข้อต่อไป

ในหลักการนี้สามารถนำแนวทางการปรับปรุง  $R_x$  ที่เกิดขึ้นเมื่อป้อนสัญญาณทางอินพุตของวงจรสายพานกระแสแบบทรานส์ลิเนียร์ และในส่วนของโอทีเอ นำค่า  $g_m$  ของวงจรขยายโอทีเอที่ขึ้นอยู่กับผลของอณูหมีรอบข้างมาทำการชดเชย โดยการทำงานของฟังก์ชันอยู่ในโหมดกระแส ดังนั้น ถ้าสร้างวงจรแหล่งจ่ายกระแสที่ขึ้นอยู่กับอณูหมีรอบข้าง และนำไปแทนแหล่งจ่ายกระแสคงที่ ก็สามารถชดเชยผลของอณูหมีรอบข้างที่เกิดขึ้นในวงจรได้ จากแนวความคิดของ T.J.van Kessel และ R.J.van de Plassche และบทความ B. Gilbert [22] และค่าความต้านทานที่ควบคุมด้วยกระแส [23] พิจารณาจากวงจรรูปที่ 3.10 ทรานซิสเตอร์  $Q_1$  ถึง  $Q_3$  เป็นวงจรสะท้อนกระแสในรูปที่ 3.4

นำมาเพิ่มความต้านทาน  $R$  เข้าไปที่ขาอิมิตเตอร์ของทรานซิสเตอร์  $Q_3$  เพื่อสร้างเป็นวงจรแหล่งกำเนิดกระแสอ้างอิงพื้นฐานดังรูปที่ 3.10 และกำหนดให้การทำงานของวงจรมีค่ากระแสเบสน้อยๆ สามารถหาค่ากระแส  $I_A$  ได้ดังนี้



รูปที่ 3.10 วงจรแหล่งกำเนิดกระแสอ้างอิงพื้นฐาน

จากวงจรในรูปที่ 3.10 จะได้ว่า

$$I_A R = V_{BE1} - V_{BE3} \quad (3.42)$$

แทนค่า  $V_{BE}$  ที่นำมาจากสมการที่ (2.4) ลงในสมการที่ (3.42) ได้ดังสมการที่ (3.43)

$$I_A R = V_T \ln \frac{I_{C1}}{I_{S1}} - V_T \ln \frac{I_{C3}}{I_{S3}} \quad (3.43)$$

หรือ

$$I_A R = V_T \ln \frac{I_{C1}}{I_{C3}} \cdot \frac{I_{S3}}{I_{S1}} \quad (3.44)$$

เมื่อกำหนดให้  $V_{T1} = V_{T3} = V_T$ ,  $I_{C1} \cong I_{C3}$  และ  $I_{Sj} = J \cdot A_{Ej}$

โดยที่  $J$  คือค่าความหนาแน่นของกระแสต่อพื้นที่อิมิตเตอร์ของทรานซิสเตอร์แทนค่าลงในสมการที่ (3.44) จะได้ค่ากระแส  $I_A$  มีค่าเท่ากับ

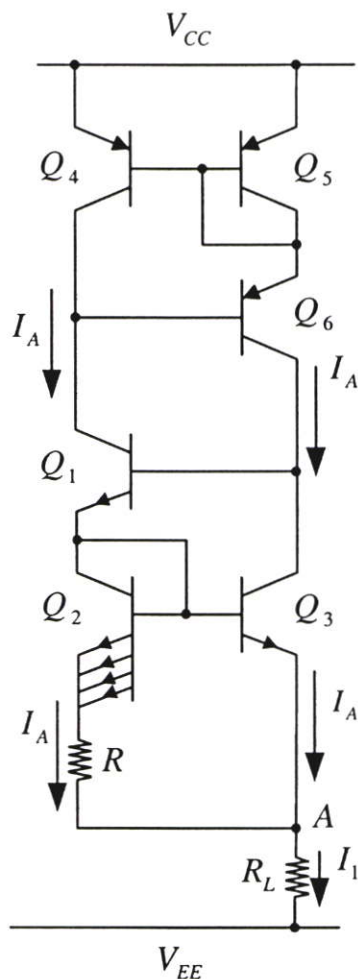
$$I_A = \frac{V_T}{R} \ln \frac{A_{E3}}{A_{E1}} \quad (3.45)$$

หรือ

$$I_A = \frac{V_T}{R} \ln \alpha \quad (3.46)$$

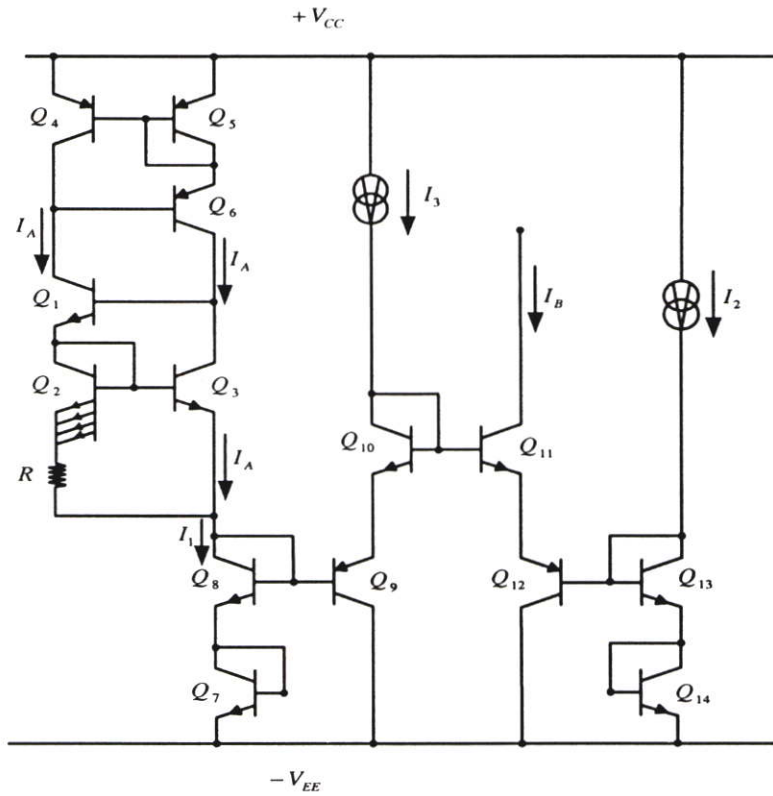
โดยที่  $\frac{A_{E3}}{A_{E1}} = \alpha$  เป็นอัตราส่วนพื้นที่ที่อิมิตเตอร์ของทรานซิสเตอร์  $Q_3$  กับ  $Q_1$  และกำหนดค่ากระแสเบสให้มีค่าน้อยๆ ดังนั้นจะได้ค่ากระแส  $I_{C2} = I_{C3} = I_A$

### 3.4.1 แหล่งจ่ายกระแสคงที่ขึ้นตรงกับอุณหภูมิ



รูปที่ 3.11 วงจรแหล่งจ่ายกระแสขึ้นอยู่กับค่าอุณหภูมิรอบข้าง

พิจารณาจากหลักการของวงจรในรูปที่ 3.10 เป็นวงจรแหล่งกำเนิดกระแสอ้างอิงพื้นฐานสามารถพัฒนาให้เป็นรูปวงจรในรูปที่ 3.11 โดยเพิ่มวงจรสะท้อนกระแสเข้าไปซึ่งจะทำให้เป็นวงจรแหล่งจ่ายกระแสที่มีความเที่ยงตรงแต่ก็ยังขึ้นอยู่กับอุณหภูมิรอบข้าง โดยจะสร้างกระแสคงที่สำหรับนำไปแทนแหล่งจ่ายกระแสคงที่  $I_B$  ซึ่งมีค่าความสัมพันธ์ของการเปลี่ยนแปลงเป็นเชิงเส้นโดยมีค่าขึ้นตรงกับอุณหภูมิ และสามารถปรับค่ากระแสได้ด้วยวิธีการทางอิเล็กทรอนิกส์ ประกอบด้วย 2 ส่วน คือส่วนแรกเป็นแหล่งกำเนิดกระแสอ้างอิง กับส่วนที่สองเป็นวงจรคูณ และหารค่ากระแสคงที่แสดงในรูปที่ 3.12



รูปที่3.12 วงจรแหล่งจ่ายกระแสที่ขึ้นอยู่กับค่าอุณหภูมิรอบข้างทำงานร่วมกับวงจรหาร

ในส่วนของวงจรแหล่งกำเนิดกระแสอ้างอิงประกอบด้วยวงจรทรานซิสเตอร์  $Q_1$  ถึง  $Q_3$  และความต้านทาน  $R$  สร้างกระแส  $I_A$  ในหลักการของการสะท้อนกระแสที่กล่าวมา จะทำให้ได้ค่า  $I_A = I_{C1} = I_{C2}$  สามารถอธิบายการทำงานดังนี้กระแส  $I_{C1}$  จะไหลเข้าสู่วงจรสะท้อนกระแสแบบลบที่ประกอบด้วยทรานซิสเตอร์  $Q_4$  ถึง  $Q_6$  ซึ่งมีอัตราการสะท้อนของกระแสเป็นหนึ่งเท่าโดยกระแส  $I_{C4} = I_{C1}$  แล้วทำการสะท้อนกระแสจาก  $I_{C4}$  ไปยัง  $I_{C6}$  มีค่าเท่ากับ  $I_A$  ต่อจากนั้นกระแส  $I_{C6}$  ก็จะไหลเข้าสู่ทรานซิสเตอร์  $Q_3$  ซึ่งกระแส  $I_{C3} = I_1$  ดังนั้น จะได้ว่ากระแส  $I_{C3} = I_{C2} = I_A$  มีค่าเท่ากันเป็นไปดังสมการที่(3.47) ในกรณีนี้จะกำหนดให้อัตราส่วนพื้นที่อิมิตเตอร์ของทรานซิสเตอร์  $Q_2$  กับ  $Q_3$  ให้มีค่าเท่ากับ 4 หรือ  $\alpha = 4$  ส่วนกระแส  $I_1$  ที่ไหลออกจากจุด A มีค่าดังสมการที่(3.47)

$$I_1 = 2I_A \quad (3.47)$$

แทนค่าสมการที่(3.46) ลงในสมการที่(3.47) จะได้ค่ากระแส  $I_1$  มีค่าดังสมการที่(3.48)

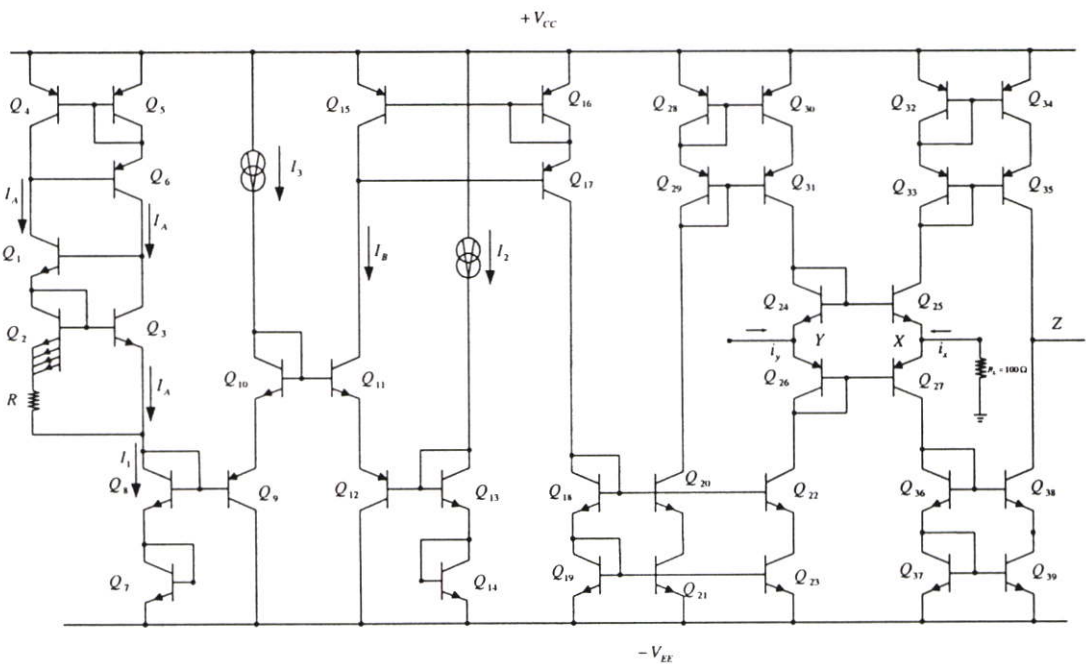
$$I_1 = \frac{2V_T}{R} \ln \alpha \quad (3.48)$$

จากสมการที่(3.48) ค่ากระแส  $I_1$  จะถูกส่งผ่านวงจรคูณ และหารเป็นไบอัส คือกระแส  $I_B$  โดยมี  $Q_7, Q_8$  ทำหน้าที่สะท้อนกระแสไปที่  $I_{C9}$  และส่งผ่าน  $Q_{10}, Q_{11}$  ดังสมการที่(3.16) ของวงจรรูปที่ 3.2 แทนค่าสมการที่(3.16) ด้วยสมการที่(3.48) จะได้ค่าดังสมการที่(3.49)

$$I_B = \frac{(2V_T \ln \alpha)I_3}{I_2 R} \quad (3.49)$$

ค่า  $I_B$  ที่ได้จากการทำงานของวงจรเป็นไปตามสมการที่(3.49) เป็นกระแสไบอัสที่จะนำไปใช้งานยังเป็นค่าที่ขึ้นกับอุณหภูมิโดยตรงจึงนำกระแสนี้ไปชดเชยในวงจรสายพานกระแสที่สร้างค่าความต้านทานแฝง  $R_X$  ที่พอร์ท X ค่าความต้านทานแฝงนี้จะขึ้นกับอุณหภูมิที่เหมือนกันดังหัวข้อที่ 3.3.5 สมการที่(3.39)

### 3.4.2 การชดเชยอุณหภูมิในรูปแบบทรานส์ลิเนียร์รูป



รูปที่ 3.13 การชดเชยอุณหภูมิในวงจรสายพานกระแสแบบทรานส์ลิเนียร์

พิจารณาจากวงจรรูปที่ 3.13 เป็นวงจรสายพานกระแสที่มีการชดเชยอุณหภูมิโดยการนำวงจรในรูปที่ 3.12 ที่ทำหน้าที่สร้างแหล่งจ่ายกระแสที่ขึ้นตรงต่ออุณหภูมิดังสมการที่(3.49) ไปเป็นอินพุทของวงจรสายพานกระแสยุคที่สอง CCCII+ ซึ่งแหล่งจ่ายกระแสไบอัสจากภายนอกที่ขึ้นตรงต่ออุณหภูมิทำการชดเชยอุณหภูมิให้กับวงจรสายพานกระแสแบบทรานส์ลิเนียร์ ในกรณีนี้จะได้อ่านค่าความต้านทานแฝงที่ปรากฏขึ้นที่พอร์ท X ในรูปที่ 3.8 ของวงจรสายพานกระแสแบบทรานส์ลิเนียร์ จะได้

ค่าคงสมการ(3.39) ค่าความต้านทานที่แผงนี้จะมีค่าขึ้นตรงต่ออุณหภูมิโดยตรง เมื่อนำค่าสมการที่ (3.49) แทนค่าในสมการที่(3.39) ค่าความต้านทานแผงที่เกิดขึ้นดังที่กล่าวมาแทนก็จะได้เป็นดังสมการที่(3.50),(3.51)

$$R_x = \frac{V_T}{4(V_T \ln \alpha) I_3 / I_2 R} \quad (3.50)$$

$$R_x = \frac{I_2 R}{4 \ln \alpha I_3} \quad (3.51)$$

จากสมการที่(3.51) ค่าความต้านทานที่เกิดขึ้นในวงจรสายพานกระแสจะถูกชดเชยอุณหภูมิเป็นที่เรียบร้อยแล้ว และยังสามารถปรับค่าได้ด้วยวิธีการทางอิเล็กทรอนิกส์โดยค่า  $I_2, I_3$  จากภายนอก

### 3.5 บทสรุป

วงจรทรานส์ลิเนียร์รูปจะอาศัยรอยต่อพี-เอ็นที่นำมาต่อเข้าด้วยกันเป็นรูปสัมพันธ์กับกระแสในวงจร ซึ่งบทนี้ได้กล่าวถึงหลักการพื้นฐานของทรานส์ลิเนียร์ที่สามารถชดเชยอุณหภูมิที่รอยต่อให้หมดไป อีกทั้งยังสามารถที่ชดเชยกระแสที่อยู่ในรูปสัญญาณลือกให้หมดไปเหลือเฉพาะผลคูณของกระแสคอลเลกเตอร์ในรูป ซึ่งจะนำไปใช้วิเคราะห์วงจรทรานส์ลิเนียร์รูปต่างๆไป วงจรที่กล่าวคือ วงจรขยายคลาสAB แบบทรานส์ลิเนียร์รูปนี้ ได้ถูกนำไปสร้างเป็นวงจรสายพานกระแส โดยA. Fabre ได้เป็นผู้นำเสนอวงจรสายพานกระแสลักษณะนี้ขึ้น มีการนำไปใช้งานอย่างแพร่หลายซึ่งเรียกว่าวงจรสายพานกระแสแบบทรานส์ลิเนียร์รูป หรือวงจรสายพานกระแสยุคที่สองสามารถควบคุมได้ด้วยกระแสCCCH ซึ่งวงจรสายพานกระแสแบบนี้ จะมีคุณลักษณะเด่นก็คือค่าความต้านทานแผงปรากฏขึ้นที่พอร์ท X หรือ  $R_x$  ของวงจรสายพานกระแส ที่เกิดแผงมาในวงจรสายพานกระแสสามารถนำไปให้เกิดประโยชน์โดยไปเป็นส่วนหนึ่งของการชดเชยอุณหภูมิได้ ในส่วนการชดเชยนี้มีวิธีการ โดยสร้างแหล่งจ่ายกระแสกที่ขึ้นตรงต่ออุณหภูมิชดเชยด้วยวงจรคูณและหาร ผลที่เกิดขึ้นทางเข้าที่พุทจะไม่มีส่วนของความต้านทานที่ขึ้นต่ออุณหภูมิ จึงสามารถนำค่าความต้านทานที่ไม่ขึ้นกับอุณหภูมิและปรับค่าได้ด้วยวิธีการทางอิเล็กทรอนิกส์นำไปเป็นตัวควบคุมการทำงานในวงจรอิเล็กทรอนิกส์แบบอัตโนมัติ

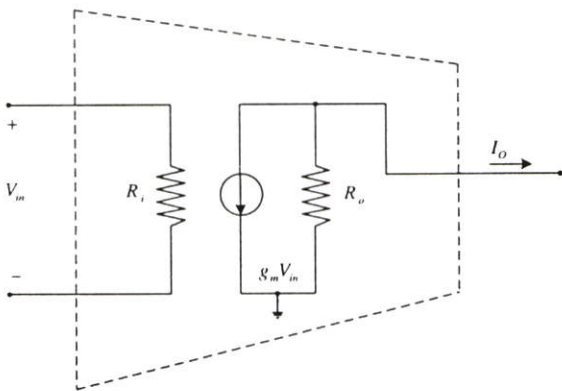
## บทที่ 4

# การชดเชยอุณหภูมิของวงจรรขยายโอทีเอ

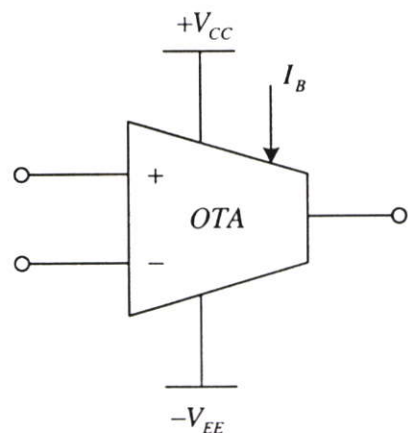
### 4.1 บทนำ

Operational Amplifier หรือ Op-Amp ถือเป็นวงจรรขยายชนิดหนึ่งที่นิยมใช้ในการสร้างวงจรรขยาย หรือวงจรประมวลผลแบบแอนะล็อกเป็นที่แพร่หลายมาก แต่ในปัจจุบันนี้ได้มีวงจรรขยายอีกชนิดหนึ่ง มีหลักการพื้นฐานมาจากออปแอมป์ ซึ่งเป็นที่นิยมใช้งานกันมากอีกชนิดหนึ่งคือ วงจรรขยายทรานส์คอนดักแตนซ์ (Operational Transconductance Amplifier) หรือเรียกสั้นๆ ว่า วงจรรขยายโอทีเอ จัดเป็นอุปกรณ์วงจรรวมชนิดหนึ่ง ซึ่งทำหน้าที่เปลี่ยนค่าแรงดันที่อินพุตให้เป็นกระแสที่เอาท์พุต ซึ่งเป็นอุปกรณ์ที่มีค่าแบนด์วิธสูงกว่าออปแอมป์ธรรมดาทั่วไป วงจรที่ใช้ในงานทางด้านการประมวลผลสัญญาณแบบแอนะล็อกในลักษณะของโหมคกระแส และได้มีการนำมาประยุกต์ใช้งานกันอย่างกว้างขวาง เช่น วงจรแอกทีฟฟิลเตอร์[24],[25] วงจรออสซิลเลเตอร์, วงจรสังเคราะห์ความถี่[26] และวงจรรขยายสัญญาณแบบอินสทรูเมนต์ (Instrument Amplifier)[27] เป็นต้น

### 4.2 หลักการพื้นฐานของวงจรรขยายทรานส์คอนดักแตนซ์



รูปที่ 4.1 วงจรสมมูลทางอุดมคติของโอทีเอ

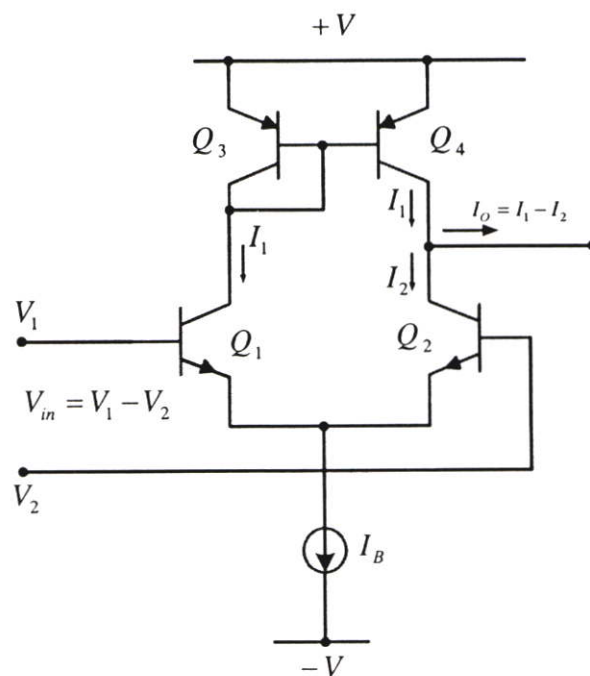


รูปที่ 4.2 สัญลักษณ์ของวงจรรขยายโอทีเอ

วงจรรขยายทรานส์คอนดักแตนซ์ ซึ่งทำหน้าที่เปลี่ยนแรงดันเป็นกระแสจัดได้ว่าเป็นอุปกรณ์แอกทีฟ (Active Element) จะทำงานในลักษณะ โวลต์เตจคอนโทรลเลอร์เร็นท์ซอร์ท (Voltage

Controller Current Source : VCCS) อัตราการเปลี่ยนค่าแรงดันไฟฟ้าเป็นกระแสไฟฟ้า เรียกว่าค่าทรานส์คอนดักแตนซ์(Transconductance) โดยทั่วไป โอทีเอจะสร้างขึ้นจากสารกึ่งตัวนำ ซึ่งอยู่ในรูปแบบของวงจรรวม และมีคุณสมบัติพื้นฐานคือ มีค่าอินพุทอิมพีแดนซ์ และเอาต์พุทอิมพีแดนซ์สูง ส่วนค่าทรานส์คอนดักแตนซ์ของโอทีเอสามารถควบคุมได้โดยกระแสไบอัสจากภายนอกสำหรับวงจรมูลทางอุดมคติ และสัญลักษณ์ของโอทีเอ แสดงดังในรูปที่4.1 และ4.2 ตามลำดับ

การทำงานของวงจรรขยายโอทีเอแบบง่าย ๆ คือการนำวงจรรขยายความแตกต่าง(Differential Amplifier) กับวงจรสะท้อนกระแสแบบพื้นฐานในรูปที่3.3 มาประกอบเข้าด้วยกันดังรูป4.3 เป็นวงจพื้นฐานของการแปลงแรงดันเป็นกระแส การทำงานโดยมี  $Q_1$  ถึง  $Q_4$  ประกอบกัน ซึ่งจะอธิบายการทำงานได้ดังนี้

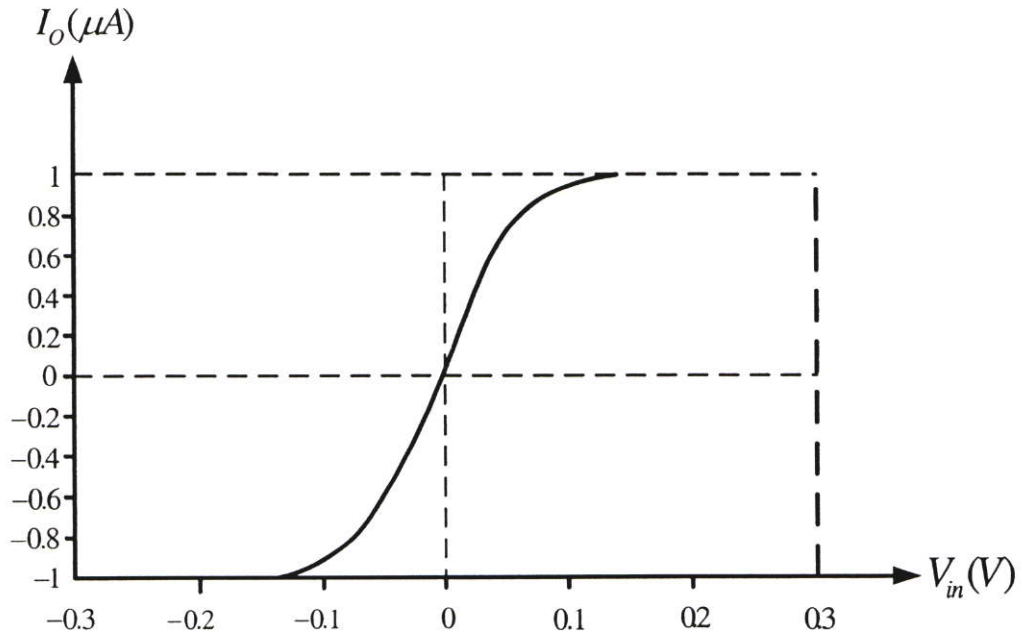


รูปที่4.3 วงจรรขยายความแตกต่าง

จากวงจรในรูปที่4.3 จะมีทรานซิสเตอร์  $Q_1$  และ  $Q_2$  เป็นวงจรรขยายความแตกต่างแบบดิฟเฟอเรนเชียล ซึ่งทำหน้าที่เปลี่ยนแรงดันเป็นกระแส ส่วนทรานซิสเตอร์  $Q_3$  และ  $Q_4$  เป็นวงจรสะท้อนกระแส ซึ่งมีค่าอัตราการสะท้อนกระแสเท่ากับหนึ่ง โดยมีกระแส  $I_B$  เป็นกระแสไบอัสให้กับวงจร เมื่อป้อนสัญญาณแรงดันเข้ามาที่  $V_{in}$  จะทำให้เกิดกระแส  $I_1$  และ  $I_2$  ขึ้นที่  $Q_1$  และ  $Q_2$  ตามลำดับ แล้วกระแส  $I_1$  จะถูกสะท้อนกระแสเนื่องจากวงจรสะท้อนกระแสแบบลบของทรานซิสเตอร์  $Q_3$  และ  $Q_4$  ไปหักลบออกจากกระแส  $I_2$  ที่เกิดขึ้นที่ทรานซิสเตอร์  $Q_2$  แล้วได้กระแสออกเป็นกระแสเอาต์พุทซึ่งมีค่าเท่ากับ  $I_o$  ต่อไป จะพบว่าความสัมพันธ์ระหว่างกระแส  $I_o$  กับแรงดันที่อินพุท  $V_{in}$  ของวงจรรขยายความแตกต่างในรูปที่4.3 มีค่าเป็นดังสมการที่(4.1)

$$I_O = I_B \tanh\left(\frac{V_{in}}{2V_T}\right) \quad (4.1)$$

จากสมการที่(4.1) จะสามารถเขียนกราฟความสัมพันธ์ระหว่างค่ากระแสเข้าที่พู่ท  $I_O$  กับ  $V_{in}$  แรงดันอินพุท ได้ดังในรูปที่4.4 จากกราฟจะพบว่าค่าทรานส์คอนดักแตนซ์จะมีความสัมพันธ์อยู่ในลักษณะของฟังก์ชันไฮเพอร์โบลาแทนเจนต์(Hyperbolic-Tangent) โดยในช่วงเชิงเส้นจะอยู่ในช่วงแคบๆ แล้วจากนั้นจึงเข้าสู่ช่วงอิ่มตัว



รูปที่4.4 กราฟความสัมพันธ์ระหว่างกระแสเข้าที่พู่ทกับแรงดันอินพุท

จากสมการที่(4.1) สามารถหาค่าทรานส์คอนดักแตนซ์  $g_m$  ได้จาก

$$g_m = \left. \frac{dI_O}{dV_{in}} \right|_{V_{in}=0} \quad (4.2)$$

$$= \frac{I_B}{2V_T}$$

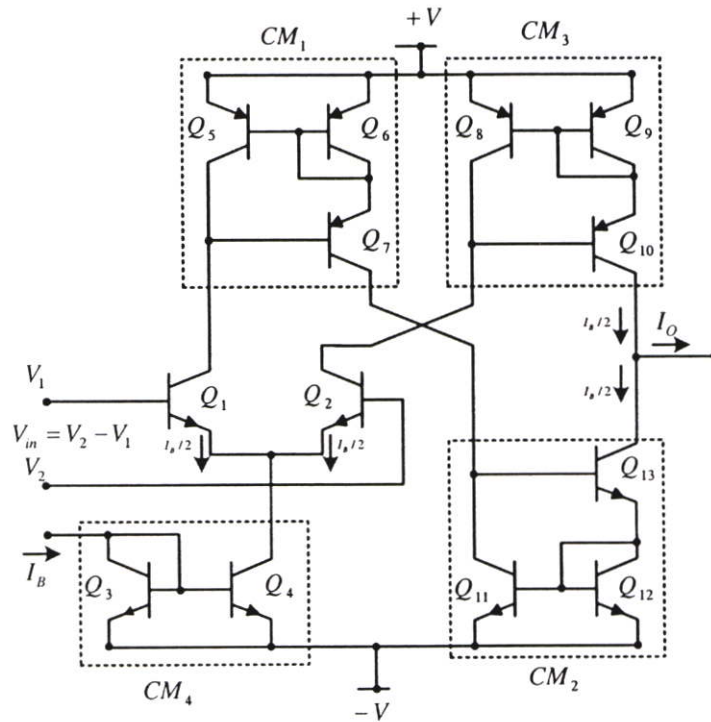
ดังนั้น

$$\begin{aligned} I_O &= \frac{I_B}{2V_T} V_{in} \\ &= g_m V_{in} \end{aligned} \quad (4.3)$$

พบว่าค่า  $g_m$  ของวงจรถูกที่เพิ่มขึ้นสามารถที่จะเปลี่ยนแปลงได้จากค่าของกระแส  $I_B$  ซึ่งทำให้วงจรถูกกล่าวสามารถที่จะควบคุมค่า  $g_m$  ได้ด้วยวิธีทางอิเล็กทรอนิกส์ และจะมีค่าแปรเปลี่ยนไปตามอุณหภูมิรอบข้าง

### 4.3 โครงสร้างและรูปแบบการทำงานภายในของวงจรถายไอทีเอ

#### 4.3.1 การทำงานของวงจรถายไอทีเอ



รูปที่ 4.5 โครงสร้างพื้นฐานภายในของวงจรถายไอทีเอ

สำหรับการทำงานของวงจรถายไอทีเอในรูปที่ 4.5 เราจะกำหนดให้ค่าอัตราขยายกระแส ( $\beta$ ) ของทรานซิสเตอร์ทุกตัวมีค่าสูงมากๆ และกระแสเบสของทรานซิสเตอร์ทุกตัวมีค่าน้อยมาก เมื่อเทียบกับกระแสคอลเลกเตอร์กระแส  $I_B$  เป็นแหล่งจ่ายกระแสคงที่ คือกระแสไบอัสของไอทีเอ โดยวงจรถูกประกอบด้วยทรานซิสเตอร์  $Q_1$  กับ  $Q_2$  จะทำหน้าที่เป็นวงจรถายความแตกต่างพื้นฐาน หรือวงจรถูกทำหน้าที่เปลี่ยนแรงดันเป็นกระแส ส่วนทรานซิสเตอร์  $Q_3$  กับ  $Q_4$  จะทำหน้าที่เป็นวงจรถูกสะท้อนกระแสแบบบวก โดยจะทำการสะท้อนกระแสคอลเลกเตอร์จาก  $I_{C3}$  ซึ่งมีค่าเท่ากับ  $I_B$  ไปยัง  $I_{C4}$  ซึ่งมีอัตราการส่งผ่านกระแสเท่ากับหนึ่งให้มีค่าเท่ากับ  $I_B$  และกระแส  $I_B$  นี้จะแยกไหลผ่านทรานซิสเตอร์  $Q_1$  และ  $Q_2$  เป็น  $I_{C1}$  และ  $I_{C2}$  ตามลำดับ มีค่าเท่ากับ  $\frac{I_B}{2}$  โดยกระแส  $I_B$  จะไหลเข้าสู่วงจรถูก

สะท้อนกระแสแบบลบที่ประกอบด้วยทรานซิสเตอร์  $Q_8$  ถึง  $Q_{10}$  ซึ่งมีอัตราการสะท้อนกระแสเป็นหนึ่งเท่าแล้วจะทำการสะท้อนกระแสจาก  $I_{C8}$  ซึ่งมีค่าเท่ากับ  $I_{C2}$  ไปยัง  $I_{C10}$  โดยกระแส  $I_{C10}$  จะมีค่าเท่ากับ  $I_{C2}$  ในส่วนกระแส  $I_{C1}$  จะไหลเข้าสู่วงจรสะท้อนกระแสแบบลบที่ประกอบด้วยทรานซิสเตอร์  $Q_5$  ถึง  $Q_7$  ดังนั้นกระแส  $I_{C5} = I_{C1}$  จะถูกสะท้อนไปยัง  $I_{C7}$  หลังจากนั้นจะมีการสะท้อนกระแสอีกครั้งหนึ่งจาก  $I_{C7} = I_{C11} = I_{C1}$  ไปยัง  $I_{C13}$  โดยวงจรสะท้อนกระแสแบบบวกที่ประกอบด้วยทรานซิสเตอร์  $Q_{11}$  ถึง  $Q_{13}$  โดยอัตราการสะท้อนกระแสของวงจรสะท้อนกระแสทั้งสองมีค่าเป็นหนึ่งเท่ากระแส  $I_{C13}$  จะมีค่าเท่ากับ  $I_{C1}$  ซึ่งจากกระแสที่จุดออกของวงจรขยายโอทีเอกระแส  $I_O$  จะมีค่าเท่ากับผลต่างของกระแส  $I_{C10}$  กับ  $I_{C13}$  ดังนั้นจึงทำให้กระแส  $I_O$  มีเท่ากับ  $I_{C2} - I_{C1}$  นั่นเอง

ถ้าสัญญาณอินพุต  $V_{in} = 0$  กระแสที่ไหลผ่านทรานซิสเตอร์  $Q_1$  จะมีค่าเท่ากับกระแสที่ไหลผ่านทรานซิสเตอร์  $Q_2$  ซึ่งมีค่าเท่ากับ  $\frac{I_B}{2}$  ในกรณีนี้ จะพบว่าไม่มีค่ากระแสเอาต์พุต  $I_O$  ออกมา กล่าวคือกระแสเอาต์พุต  $I_O$  มีค่าเป็น 0 นั่นเอง

ถ้าสัญญาณอินพุต  $V_{in}$  มีค่าไม่เป็นศูนย์ สัญญาณนี้จะบังคับให้กระแส  $I_{C1}$  ของ  $Q_1$  และกระแส  $I_{C2}$  ของ  $Q_2$  มีค่าไม่เท่ากัน เพราะเนื่องจากค่าความสัมพันธ์ระหว่างกระแสคอลเลกเตอร์ ( $I_C$ ) และแรงดันไฟฟ้าระหว่าง เบส และอิมิตเตอร์ ( $V_{BE}$ ) ของทรานซิสเตอร์อยู่ในรูปของเอ็กโพเนนเชียล เป็นไปตามสมการที่(2.2) ดังนั้น สำหรับในกรณีที่ทรานซิสเตอร์  $Q_1$  และ  $Q_2$  มีความสมพงษ์กันทุกประการ จะได้ค่ากระแสป้อนกลับอิมิตต์  $I_S$  จะมีค่าเท่ากัน และจะเป็นผลทำให้ความสัมพันธ์ของค่าแรงดันไฟฟ้า  $V_{in}$  กับ  $I_C$  กระแสคอลเลกเตอร์ จะเป็นดังนี้

$$V_{in} = V_2 - V_1 \quad (4.4)$$

หรือ

$$V_{in} = V_{BE2} - V_{BE1} \quad (4.5)$$

โดยที่  $V_2$  และ  $V_1$  เป็นค่าแรงดัน  $V_{BE2}$  และ  $V_{BE1}$  ตามลำดับจากสมการที่(2.4)แทนลงในสมการที่(4.5)จะได้

$$V_{in} = V_T \ln \frac{I_{C2}}{I_S} - V_T \ln \frac{I_{C1}}{I_S} \quad (4.6)$$

หรือ

$$V_{in} = V_T \ln \frac{I_{C2}}{I_{C1}} \quad (4.7)$$

$$= \frac{kT}{q} \ln \frac{I_{C2}}{I_{C1}}$$

เมื่อ  $I_{C1}$  และ  $I_{C2}$  เป็นกระแสคอลเลกเตอร์ของทรานซิสเตอร์  $Q_1$  และ  $Q_2$  ตามลำดับ

ถ้าสัญญาณอินพุต  $V_{in}$  มีขนาดน้อยมากๆ (ประมาณมิลลิโวลต์) ค่าอัตราส่วนของกระแสในเทอม  $\ln \frac{I_{C2}}{I_{C1}}$  จะมีค่าเข้าใกล้ 1 โดยการกระจายอนุกรมของเทย์เลอร์ (Taylor's Series) ของสมการที่ (4.7) จะได้

$$\ln x = 2 \left\{ \left( \frac{x-1}{x+1} \right) + \frac{1}{3} \left( \frac{x-1}{x+1} \right)^3 + \frac{1}{5} \left( \frac{x-1}{x+1} \right)^5 + \dots \right\} \quad (4.8)$$

จะประมาณค่า  $\ln \frac{I_{C2}}{I_{C1}}$  ได้ว่า

$$\ln \frac{I_{C2}}{I_{C1}} = 2 \left\{ \left( \frac{I_{C2} - I_{C1}}{I_{C2} + I_{C1}} \right) + \frac{1}{3} \left( \frac{I_{C2} - I_{C1}}{I_{C2} + I_{C1}} \right)^3 + \frac{1}{5} \left( \frac{I_{C2} - I_{C1}}{I_{C2} + I_{C1}} \right)^5 + \dots \right\} \quad (4.9)$$

โดยตั้งแต่เทอมที่ 2 เป็นต้นไป จะมีค่าน้อยมาก ซึ่งสมการที่ (4.9) จะประมาณค่าเท่ากับ

$$\ln \frac{I_{C2}}{I_{C1}} \cong \frac{I_{C2} - I_{C1}}{I_{C1}} \quad (4.10)$$

แทนที่สมการ (4.10) ลงในสมการที่ (4.7) จะได้

$$V_{in} = \frac{kT}{q} \left( \frac{I_{C2} - I_{C1}}{I_{C1}} \right) \quad (4.11)$$

$$= \frac{kT}{q} \left( \frac{I_{C2} - I_{C1}}{I_B/2} \right)$$

พิจารณาจากรูปที่4.5 กระแส  $I_{C1}$  จะมีค่าเท่ากับ  $I_{C5}$  ซึ่งผ่านวงจรสะท้อนกระแสเป็น  $I_{C7}$  และ  $I_{C13}$  ตามลำดับ สำหรับกระแส  $I_{C2}$  จะมีค่าเท่ากับ  $I_{C8}$  ผ่านวงจรสะท้อนกระแสเป็น  $I_{C10}$  ดังนั้นแทนค่า  $I_{C1}$  และ  $I_{C2}$  ด้วย  $I_{C13}$  และ  $I_{C10}$  ลงในสมการที่(4.10) แล้วจะได้

$$V_{in} = \frac{2kT}{qI_B} (I_{C10} - I_{C13}) \quad (4.12)$$

ซึ่งจะพบได้ว่าค่าผลต่างของกระแส ( $I_{C10} - I_{C13}$ ) มีค่าเท่ากับ ( $I_{C2} - I_{C1}$ ) คือค่ากระแสเข้าที่พหุมีค่าเท่ากับ  $I_O$  นั่นเอง ดังนั้น จากสมการที่(4.12) เราจะได้ความสัมพันธ์ระหว่างกระแสเข้าที่พหุ  $I_O$  และแรงดันอินพุต  $V_{in}$  เป็นดังนี้

$$V_{in} = \frac{2kT}{qI_B} I_O \quad (4.13)$$

หรือ

$$I_O = \frac{I_B}{2V_T} V_{in} \quad (4.14)$$

$$= g_m V_{in}$$

โดยที่

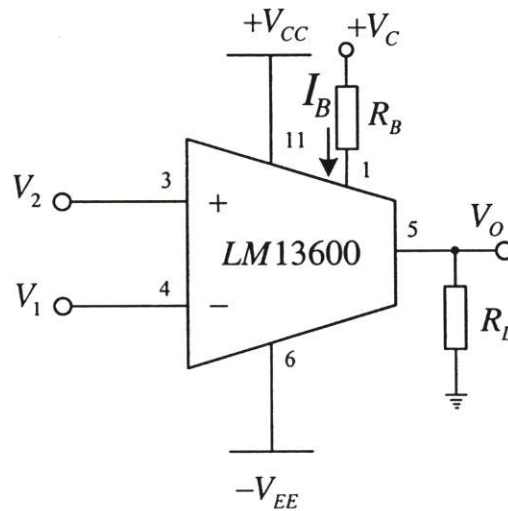
$$g_m = \frac{I_B}{2V_T} \quad (4.15)$$

เมื่อ  $g_m$  ซึ่งก็คือค่าทรานส์คอนดักแตนซ์ของวงจรรขยายโอทีเอ ดังนั้น เราจะสามารถปรับค่า  $g_m$  ได้โดยการปรับค่ากระแสไบอัสจากภายนอกที่ป้อนให้วงจรรขยายโอทีเอค่า  $g_m$  จากสมการที่(4.15)นี้ กล่าวได้ว่าวงจรรขยายโอทีเอจะให้กระแสเข้าที่พหุ  $I_O$  มีความสัมพันธ์เป็นเชิงเส้นขึ้นอยู่กับแรงดันอินพุต  $V_{in}$  แต่จะแปรผกผันกับอุณหภูมิรอบข้าง ถ้านำเอาสมการที่(3.39) หัวข้อที่3.3.5 ที่มีการนำวงจรสายพานกระแสยุคที่สองที่มีการปรับปรุงค่าความต้านทานได้ด้วยการปรับค่ากระแสการทำงานร่วมกับโอทีเอ โดยการนำความต้านทานแฝงที่มีค่าขึ้นอยู่กับอุณหภูมิโดยตรงมาทำงานร่วมกับ

การให้ไบแอสเพื่อให้เกิดค่าความนำของโอทีเอในสมการที่(4.15) ก็จะสามารถชดเชยอุณหภูมิของวงจรรขยายโอทีเอได้ตามวัตถุประสงค์ซึ่งจะกล่าวในหัวข้อถัดไป

#### 4.4 การชดเชยอุณหภูมิของวงจรรขยายโอทีเอ

พิจารณาจากรูปที่4.6 เป็นการนำวงจรรขยายโอทีเอไปใช้งานโดยใช้ไอซี เบอร์LM13600 ภายในวงจรจะประกอบด้วยวงจรรขยายโอทีเอจำนวน2 ตัว ซึ่งค่าทรานส์คอนดักแตนซ์ ( $g_m$ ) ของวงจรรจะควบคุมได้ด้วยกระแส  $I_B$  ในขาที่1 โดยที่อุณหภูมิรอบข้างจะกำหนดให้ค่าแรงดันความร้อน  $V_T = 26mV$  ซึ่งค่า  $g_m$  ของวงจรรขยายโอทีเอจะมีค่าเท่ากับสมการที่(4.16)



รูปที่4.6 วงจรรขยายโอทีเอไอซี LM13600

$$\begin{aligned}
 g_m &= \frac{I_B}{2V_T} \\
 &= \frac{I_B}{2 \times 26mV} \\
 &= (19.23)I_B
 \end{aligned}
 \tag{4.16}$$

และจากสมการที่(4.14) จะแทนค่าด้วยสมการที่(4.16) ได้ค่ากระแสเข้าที่พุทเป็น

$$I_O = (19.23)I_B V_{in}
 \tag{4.17}$$

สำหรับกระแสไบอัสจะสามารถหาค่าได้จาก

$$I_B = \frac{V_C - V_{EE} - 2V_d}{R_B} \quad (4.18)$$

โดยที่  $V_d$  คือแรงดันที่รอยต่อของเบส-อิมิตเตอร์ของทรานซิสเตอร์ที่อยู่ภายในไอซีจะมีค่าประมาณ 0.6-0.7 โวลต์

#### 4.4.1 วงจรชดเชยอุณหภูมิของวงจรขยายโอทีเอที่ทำงานในรูปแบบทรานส์ลิเนียร์รูป

วงจรชดเชยอุณหภูมิมีกการทำงานของวงจรประกอบด้วย 3 ส่วน  $Q_1, Q_2, Q_3, Q_4, Q_5, Q_6$  เป็นแหล่งจ่ายกระแสคงที่ ที่ขึ้นตรงกับอุณหภูมิโดยตรงเป็นดังสมการ(4.19) ซึ่งได้มาจากสมการที่(3.48)

$$I_1 = \frac{2V_T}{R} \ln \alpha \quad (4.19)$$

ส่วนที่สองเป็นส่วนของการทำงานการชดเชยอุณหภูมิด้วยวงจรคูณ และหาร สามารถกำหนดค่าในวงจร ดังสมการที่(4.20) โดยทำหน้าที่เป็นวงจรทรานส์ลิเนียร์ที่มีฟังก์ชันคูณ และหาร ให้แก่วงจรชดเชยอุณหภูมิจะสร้างสัญญาณกระแส  $I_B$  ทางเอาต์พุท ซึ่งจะนำไปทำการชดเชยอุณหภูมิที่เกิดขึ้น วงจรหารจะนำค่า  $I_1$  ที่ขึ้นตรงกับอุณหภูมิในสมการที่(4.19) มาเป็นไบอัสให้แก่วงจรทรานซิสเตอร์ในภาคเปลี่ยนแรงดันทางอินพุทเป็นกระแสทางเอาต์พุทของวงจรขยายโอทีเอที่เป็นส่วนที่สาม

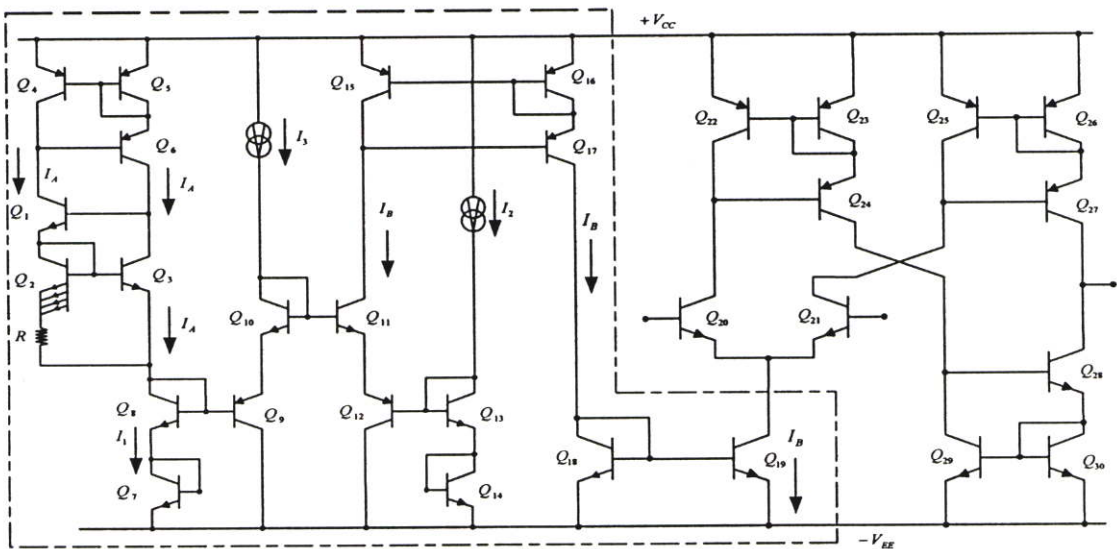
$$I_B = \frac{\left( \frac{2V_T}{R} \ln \alpha \right) I_3}{I_2} \quad (4.20)$$

$$g_m = \frac{I_B}{2V_T} \quad (4.21)$$

$$g_m = \frac{(\ln \alpha) I_3}{I_2 R} \quad (4.22)$$

วงจรชดเชยอุณหภูมิจึงสามารถอธิบายได้ดังรูปที่4.7 สามารถอธิบายได้ดังนี้ การทำงานของวงจรสามารถพิจารณา คือส่วนที่เป็นวงจรสร้างกระแสภายนอกอ้างอิง

พิจารณาสมการที่(4.19)เกิดจากการทำงานของ  $Q_1 - Q_6$  ได้กระแสเข้าที่พู่ท  $I_1$  ที่ขึ้นตรงต่อ อุณหภูมิส่งต่อไปวงจรชดเชยอุณหภูมิในรูปแบบทรานส์ลิเนียร์รูปเป็นกระแส  $I_B$  ซึ่งประกอบด้วย  $Q_7 - Q_{17}$  ค่าที่เกิดขึ้นทางเข้าที่พู่ท  $I_B$  เป็นคังสมการที่(4.20) จากกระแสเข้าที่พู่ท  $I_B$  ที่สร้างขึ้นจะ นำไปชดเชยผลของอุณหภูมิของวงจรวจรโอทีเอที่เป็นกระแสส่งไปให้ไบอัสแก่วงจรขยายโอทีเอ การ ทำงานของวงจรวจรซึ่งประกอบด้วย  $Q_{18} - Q_{30}$  ค่าที่เกิดขึ้นของวงจรวจรขยายค่าความนำของโอทีเอที่ยังไม่มี การชดเชยอุณหภูมิเป็นคังสมการที่(4.21) เมื่อนำกระแส  $I_B$  ที่เกิดขึ้นด้วยการทำงานของทรานซิส-เตอร์  $Q_{19}$  ไปเป็นไบอัสแก่วงจรขยายโอทีเอ สามารถพิจารณาค่า  $V_T$  ที่เกิดขึ้นในสมการที่(4.22) จะถูก ชดเชยอุณหภูมิไปหมด นั่นหมายถึงค่าขยายความนำในวงจรวจรขยายโอทีเอจะไม่ขึ้นกับอุณหภูมิ



รูปที่4.7 วงจรชดเชยอุณหภูมิของวงจรวจรขยายโอทีเอทำงานร่วมกับแหล่งจ่ายกระแส ในรูปแบบทรานส์ลิเนียร์รูป

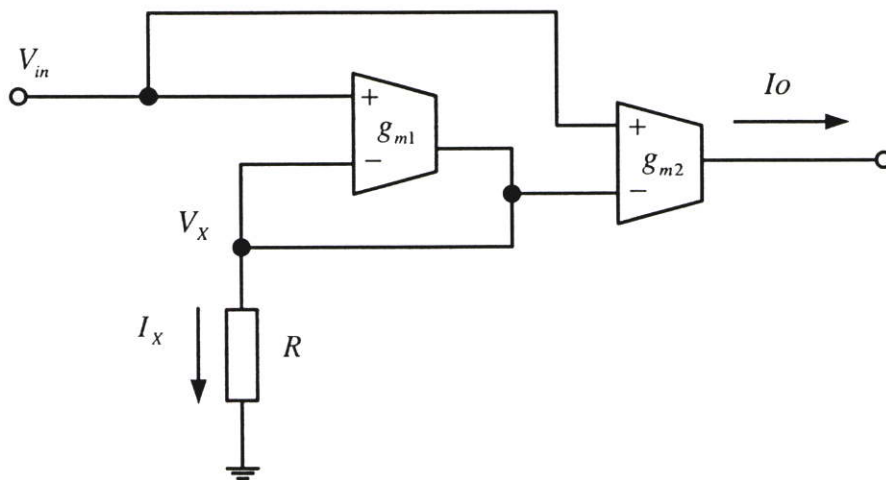
#### 4.4.2 การชดเชยอุณหภูมิของวงจรวจรขยายโอทีเอในรูปแบบวงจรเปลี่ยนแรงดันเป็นกระแส

พิจารณาในรูปที่4.8 เป็นวงจรเปลี่ยนแรงดันเป็นกระแสประกอบด้วย โอทีเอ1 และโอทีเอ2 จะหาค่าความสัมพันธ์ระหว่างแรงดัน  $V_x$  และกระแส  $I_o$  จะสามารถหาได้ดังต่อไปนี้

$$I_x = g_{m1}(V_{in} - V_x) \quad (4.23)$$

และ

$$I_x = \frac{V_x}{R} \quad (4.24)$$



รูปที่ 4.8 วงจรเปลี่ยนแรงดันเป็นกระแสโดยใช้วงจรขยายโอทีเอทีไม่ขึ้นตรงต่ออุณหภูมิ

จากสมการที่(4.23) และสมการที่(4.24) จะได้

$$V_x = \frac{g_{m1}R}{1 + g_{m1}R} V_{in} \quad (4.25)$$

ที่โอทีเอ  $A_2$  จะได้

$$I_o = g_{m2}(V_{in} - V_x) \quad (4.26)$$

แทนค่าสมการที่(4.25) ลงในสมการที่(4.26) จะได้กระแส  $I_o$  เท่ากับ

$$I_o = \frac{g_{m2}}{1 + g_{m1}R} V_{in} \quad (4.27)$$

จากสมการที่(4.27) ถ้ากำหนดให้  $g_{m1}R \gg 1$  กระแส  $I_o$  จะประมาณได้ดังนี้

$$I_o \cong \frac{g_{m2}}{g_{m1}} \frac{V_{in}}{R} \quad (4.28)$$

หรือ

$$I_o = \frac{I_{B2}}{I_{B1}} \frac{V_{in}}{R} \quad (4.29)$$

$$= A_G \frac{V_{in}}{R}$$

ซึ่ง

$$g_m = \frac{I_B}{2V_T} \quad (4.30)$$

เมื่อ  $A_G$  คืออัตราขยายกระแสระหว่าง  $I_{B2}$  กับ  $I_{B1}$

จากสมการที่(4.29) ค่ากระแส  $I_o$  จะขึ้นอยู่กับกระแส  $I_{B1}$  และ  $I_{B2}$  โดยไม่ขึ้นอยู่กับอุณหภูมิ เนื่องจากค่าความนำ  $g_{m1}$  และ  $g_{m2}$  ที่ขึ้นอยู่กับอุณหภูมิได้ถูกชดเชยออกไปในรูปแบบทรานส์ลิเนียร์ที่เกิดจากอินพุทของวงจร โอทีเอทั้งสองตัวต่อในลักษณะขนานกัน โดยมีอัตราขยายของกระแสไบอัส  $A_G$  สามารถปรับค่าได้ด้วยวิธีทางอิเล็กทรอนิกส์อีกทั้งค่าแรงดันจุดเข้าที่ป้อนให้กับวงจรสามารถปรับค่าได้กว้าง หรืออาจกล่าวได้ว่าวงจรเปลี่ยนแรงดันเป็นกระแสที่มีช่วงปฏิบัติการที่กว้างจากสมการที่(4.25) และสมการที่(4.27) สามารถหาความผิดพลาด  $\varepsilon_a$  ของวงจรเปลี่ยนแรงดันเป็นกระแสของแรงดัน  $V_{in}$  ไปยัง  $V_x$  และกระแส  $i_x$  ไปยัง  $I_o$  ได้ในเทอมของ  $\varepsilon_a$  ดังนี้และสามารถเขียนได้ใหม่คือ

$$V_x = (1 - \varepsilon_a) V_{in} \quad (4.31)$$

และ

$$\begin{aligned} I_o &= (1 - \varepsilon_a) \frac{I_{B2}}{I_{B1}} \frac{V_{in}}{R} \\ &= (1 - \varepsilon_a) A_G \frac{V_{in}}{R} \end{aligned} \quad (4.32)$$

โดยที่

$$\varepsilon_a = \frac{1}{1 + g_{m1} R} \quad (4.33)$$

จากสมการที่(4.33) ถ้ากำหนดให้  $g_{m1} = 19.2 \times 10^{-3} A/V$  และ  $R = 10k\Omega$  จะได้ค่า  $\epsilon_n$  เท่ากับ 0.5% ซึ่งจะเห็นได้ว่า  $\epsilon_n$  จะมีค่าน้อยมากทำให้ค่าความผิดพลาดของวงจรลดลงโดยเทียบค่าความเที่ยงตรงต่ออุณหภูมิ ได้โดยการเพิ่มค่า  $g_{m1}R \gg 1$

โดยการวิเคราะห์หาค่าความไว(Sensitivity) ของวงจรที่ขึ้นอยู่กับอุณหภูมิ ซึ่งเป็นการจัดการเปลี่ยนแปลงคุณสมบัติบางอย่างที่จะมีผลต่อส่วนประกอบส่วนใดส่วนหนึ่งหรือหลายๆส่วน ในวงจรนั้นๆ ซึ่งวงจรที่มีการชดเชยผลของอุณหภูมิกวจะให้ความไวต่ำที่สุดเพื่อรักษาเสถียรภาพของวงจร โดยสมการความไวของวงจร สามารถเขียนได้ดังนี้

$$S_x^Y = \frac{\partial \ln Y}{\partial \ln X} \quad (4.34)$$

$$= \frac{\partial Y/Y}{\partial X/X}$$

จากสมการที่(4.34) หมายความว่าความไวของตัวแปรY เมื่อเทียบกับตัวแปรX ซึ่งอาจจะอยู่ในรูปแบบของเปอร์เซ็นต์ การเปลี่ยนแปลงต่อหน่วยY ต่อเปอร์เซ็นต์เทียบกับการเปลี่ยนแปลงต่อหน่วยX ซึ่งโดยทั่วไปแล้วค่าY จะเปลี่ยนไปตามค่าของX ที่เปลี่ยนแปลงไป

ในรูปที่(4.8) นั้นสามารถวิเคราะห์หาค่าความไวซึ่งเป็นตัวบอกประสิทธิภาพของวงจรได้คือความไวของกระแสจุกออกเทียบกับอุณหภูมิจะมีสมการคือ

$$S_T^{I_o} = \frac{T}{I_o} \frac{\partial I_o}{\partial T} \quad (4.35)$$

จากสมการที่(4.35) สามารถหาค่าความไวของกระแส  $I_o$  เทียบกับอุณหภูมิ  $T$  ของสมการที่(4.32) ได้ดังสมการที่(4.36)

$$S_T^{I_o} = \frac{-2V_T}{2V_T + I_{B1}R} \quad (4.36)$$

หรือสามารถเขียนอยู่ในรูปของค่าเปอร์เซ็นต์ความผิดพลาดของกระแสจุกออกได้

$$\frac{\delta I_o}{I_o} = \frac{-2V_T}{2V_T + I_{B1}R} \frac{\Delta T}{T} \times 100\% \quad (4.37)$$

โดยที่  $T$  คืออุณหภูมิรอบข้างและ  $\Delta T$  คืออุณหภูมิรอบข้างที่เปลี่ยนไป ถ้า  $V_T = 26mV$ ,  $R = 10k\Omega$   $I_{B1} = 100\mu A$ , และ  $\Delta T = 10^\circ C$  ค่าเปอร์เซ็นต์ความผิดพลาดของกระแสจุกออก  $I_o$  มีค่าประมาณ 0.2%

ซึ่งจากสมการที่(4.36) ค่าความไวของกระแสจุกออกเทียบกับอุณหภูมิจะลดลงถ้าเพิ่มค่า  $g_{m1}R$  เพราะค่าความนำ  $g_m$  จะมีคุณสมบัติเป็นเชิงเส้นกับกระแส  $I_B$

## 4.5 บทสรุป

การชดเชยอุณหภูมิในวงจรขยายโอทีเอในบทนี้นำเสนอการชดเชยด้วยสองวิธีคือ โดยวิธีที่หนึ่งใช้วิธีการชดเชยภายนอกโดยใช้วงจรในรูปแบบทรานส์ลิเนียร์รูปที่เกิดขึ้นจากคุณสมบัติการทำงานของทรานซิสเตอร์ที่ประกอบกันเป็นวงจรคูณและหาร โดยมีแหล่งจ่ายกระแสคงที่สร้างจากภายนอกที่ขึ้นตรงกับอุณหภูมิมาทำการชดเชยค่าความนำที่แปรผกผันกับอุณหภูมิด้วยการแทนค่ากระแสในวงจรที่เป็นไบอัสดังสมการที่(4.20)ถึง(4.22) ในรูปแบบที่สองที่ทำการชดเชยผลของอุณหภูมิในวงจรขยายโอทีเอสองตัว นำมาต่อกันแบบขนาน โดยการใช้คุณสมบัติของวงจรดิฟเฟอเรนเชียลทางอินพุทของวงจรทั้งสองต่อกันให้เป็นแบบทรานส์ลิเนียร์รูปและพิจารณาผลทางอินพุทของทรานซิสเตอร์ที่ต่อกันในรูปแบบนี้การทำงานของวงจรก็สามารถชดเชยอุณหภูมิที่กล่าวมาได้ สามารถวิเคราะห์ได้ดังสมการที่(4.23)ถึง(4.29) การชดเชยอุณหภูมิทั้งสองรูปแบบสามารถนำไปใช้งานได้ เช่นการออกแบบในรูปแบบมีอินพุทเพียงตัวเดียวจะใช้การชดเชยแบบแรก ในส่วนของการนำโอทีเอตั้งแต่สองตัวขึ้นไปนำมาต่อทางอินพุทขนานกันจะใช้คุณสมบัติทรานส์ลิเนียร์รูปในการชดเชยอุณหภูมิซึ่งจะนำไปออกแบบวงจรในบทที่ 6

## บทที่ 5

# การชดเชยอุณหภูมิในวงจรมอนิเตอร์อุณหภูมิและวงจรมอนิเตอร์ อุณหภูมิแอนติล็อกการิมิก

### 5.1 บทนำ

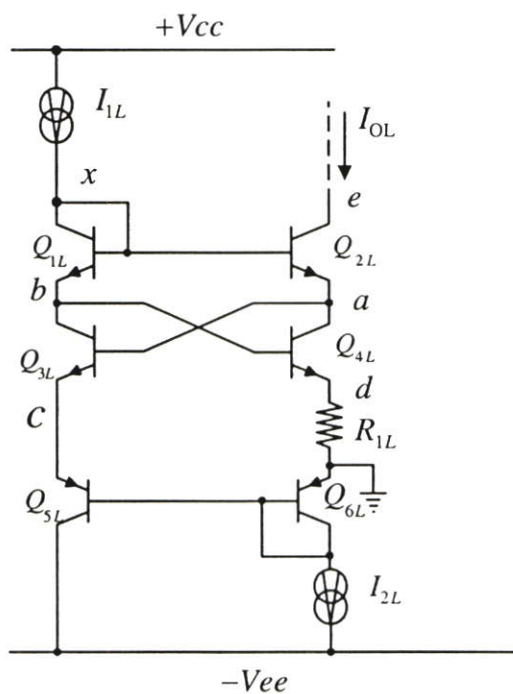
ในความจำเป็นที่จะต้องนำสัญญาณอินพุต(Input)ที่มีช่วงปฏิบัติงานที่กว้างๆ เข้ามาใช้งานเพื่อปฏิบัติงานในช่วงของการใช้งานบางอย่างจำเป็นต้องมีการบีบอัด(Compression) สัญญาณข้อมูลดังกล่าวให้มีขนาดแคบลงซึ่งคุณสมบัตินี้เป็นที่ทราบดีว่าจะต้องใช้คุณสมบัติของวงจรมอนิเตอร์เชิงล็อกการิมิก(Logarithmic Amplifier)[28-30] มาช่วยเป็นส่วนอินพุตให้กับวงจรมอนิเตอร์ที่ผ่านจากวงจรมอนิเตอร์ในรูปสัญญาณล็อกการิมิกนี้ เมื่อมีการนำไปใช้งาน จึงจำเป็นต้องขยายสัญญาณนี้ให้มีค่าเหมือนกับอินพุตที่ป้อนเข้ามา ในส่วนของวงจรมอนิเตอร์ทางเอาต์พุตให้มีค่าเป็นสัญญาณเดิมวงจรมอนิเตอร์เชิงแอนติล็อกการิมิก(Anti-Logarithmic Amplifier) นั้นจะช่วยกระจายสัญญาณข้อมูล(Expand) ที่ผ่านการบีบอัดสัญญาณข้อมูลมาจากวงจรมอนิเตอร์เชิงล็อกการิมิกโดยวงจรมอนิเตอร์เชิงล็อกการิมิก และแอนติล็อกการิมิกนั้น เป็นวงจรที่ให้สัญญาณเอาต์พุต(Output) ออกมาในรูปของฟังก์ชันล็อกการิมิก(Logarithm)[31]และฟังก์ชันเอ็กโปเนนเชียล(Exponential)[31,32] กับสัญญาณอินพุตตามลำดับ ซึ่งวงจรทั้งสองได้มีการนำไปประยุกต์ใช้งานอย่างกว้างขวางในหลายๆด้าน เช่นนำไปสังเคราะห์เป็นวงจรที่ให้สัญญาณเอาต์พุตอยู่ในรูปของฟังก์ชันทางคณิตศาสตร์ ใช้ในระบบวัดคุม(Instrumentation) หรือใช้ในด้านการสื่อสาร[31] เป็นต้น ซึ่งที่ผ่านมาได้มีการนำเสนอวงจรมอนิเตอร์เชิงล็อกการิมิก และแอนติล็อกการิมิก โดยอาศัยหลักการที่ผ่านมา[28-33]และโดยส่วนมากจะเป็นการนำเสนอการทำงานของวงจรในรูปของแรงดัน เช่นการออกแบบวงจรมอนิเตอร์เชิงล็อกการิมิกและแอนติล็อกการิมิกโดยใช้โอปแอมป์(Operation Amplifier) ต่อกับตัวต้านทานและมีไบโพลาร์ทรานซิสเตอร์(Bipolar Transistor) เป็นพื้นฐานบางครั้งอาจใช้วงจรมอนิเตอร์กระแส(Current Conveyor)[34] หรือใช้วิธีการสร้างฟังก์ชันเลียนแบบการทำงานของฟังก์ชันล็อกการิมิก[33] สำหรับในวิทยานิพนธ์นี้จะเป็นการนำเสนอวงจรมอนิเตอร์เชิงล็อกการิมิกและแอนติล็อกการิมิกที่มีการทำงานในรูปแบบของกระแส(Current-Mode)ซึ่งมีข้อดีในด้านแหล่งจ่ายไฟที่ใช้จะต่ำกว่าการทำงานแบบแรงดัน(Voltage-Mode) การออกแบบวงจรจะอาศัยหลักการคุณสมบัติความสัมพันธ์ระหว่างกระแสและแรงดันไฟฟ้าที่รอยต่อของไดโอด และหลักการพื้นฐานของวงจรมอนิเตอร์ทรานส์ลิเนียร์(Translinear Circuit)[18],[2] วงจรทั้งสองออกแบบโดยใช้เทคโนโลยีของไบโพลาร์ทรานซิสเตอร์ ซึ่งเหมาะสำหรับนำไปทำเป็นวงจรรวม(Integrated Circuit) ที่จะนำไปใช้ในระบบสื่อสาร

## 5.2 วงจรขยายสัญญาณลือกการิมิครูปแบบทรานซิสเตอร์ใช้ทรานส์ลิเนียร์รูปที่ขึ้นกับ อุณหภูมิ

วงจรขยายสัญญาณลือกการิมิคเป็นวงจรที่ทำหน้าบีบอัดสัญญาณทางอินพุทให้มีค่าสัญญาณออกทางเอาต์พุทอยู่ในรูปฟังก์ชันทางคณิตศาสตร์ คือรูปสัญญาณลือกการิมิค ซึ่งการออกแบบจะนำคุณสมบัติเบื้องต้นของทรานซิสเตอร์มาให้ใช้งาน การนำเสนอนี้จะใช้รูปแบบของกระแสเป็นหลัก โดยใช้ทรานซิสเตอร์แบบNPN ทำงานร่วมกับทรานซิสเตอร์PNP[35] เป็นวงจรสร้างสัญญาณให้เกิดรูปแบบฟังก์ชันลือกการิมิค ในรูปแบบนี้มีข้อดีที่ใช้อุปกรณ์ประกอบวงจรมีน้อย การทำงานให้คุณสมบัติในด้านความเร็วสูงกว่าการใช้แรงดันในการทำงาน

### 5.2.1 หลักการพื้นฐานของวงจรขยายสัญญาณลือกการิมิครูปแบบไบโพลาร์

จากคุณสมบัติของวงจรทรานส์ลิเนียร์รูป ที่มีความสามารถขยายสัญญาณเชิงเส้นที่มีแถบสัญญาณที่กว้างมาก(Very Wideband Linear Amplifier)[22] ความสามารถของวงจรขยายสัญญาณเชิงลือกการิมิคที่ทำงานในรูปของกระแสเบื้องต้น[35] วงจรนี้แสดงในรูปที่5.1



รูปที่5.1 วงจรขยายสัญญาณเชิงลือกการิมิคที่มีการทำงานในรูปแบบของกระแส

วงจรจะประกอบด้วยไบโพลาร์ทรานซิสเตอร์ชนิด NPN 4 ตัว  $Q_{1L} - Q_{4L}$ , ไบโพลาร์ทรานซิสเตอร์ชนิด PNP 2 ตัว คือ  $Q_{5L}$  กับ  $Q_{6L}$ , ตัวต้านทาน  $R_{1L}$  และแหล่งจ่ายกระแสแสดงที่  $I_{2L}$  โดยมีแหล่งจ่ายกระแสต่อออกภายนอกคือ  $I_{1L}, I_{OL}$  เป็นกระแสอินพุท และกระแสเอาต์พุท ตามลำดับ

### 5.2.2 สมการของวงจรขยายสัญญาณลือกการิมิก

พิจารณาจากรูปที่5.1 การวิเคราะห์ในรูปแบบทรานส์ลิเนียร์สามารถหาค่าความสัมพันธ์ที่เกิดขึ้นในวงจรขยายสัญญาณลือกการิมิก ได้ดังนี้

$$V_{BE1L} + V_{BE4L} + I_{OL}R_{1L} + V_{BE6L} = V_{BE2L} + V_{BE3L} + V_{BE5L} \quad (5.1)$$

จากสมการที่(2.4) จะได้ค่าแรงดันเบส-อิมิตเตอร์ คือ

$$V_{BEi} = V_T \ln \frac{I_{ci}}{I_{si}} \quad (5.2)$$

แทนค่า  $V_{BE}$  จากสมการ(5.2) ลงในสมการ(5.1) จะได้

$$V_T \ln \left[ \frac{I_{C1L} I_{C4L} I_{C6L}}{I_{S1L} I_{S4L} I_{S6L}} \right] + I_{OL} R_{1L} = V_T \ln \left[ \frac{I_{C2L} I_{C3L} I_{C5L}}{I_{S2L} I_{S3L} I_{S5L}} \right] \quad (5.3)$$

ถ้าทรานซิสเตอร์  $Q_{1L} - Q_{4L}$  และ  $Q_{5L}$  กับ  $Q_{6L}$  ทุกตัวมีคุณสมบัติในการทำงานเหมือนกัน นั่นคือ  $I_{S1L} = I_{S2L} = I_{S3L} = I_{S4L} = I_{SN}$  และ  $I_{S5L} = I_{S6L} = I_{SP}$  จึงทำให้สมการที่(5.3) เขียนใหม่ได้เป็น ดังสมการที่(5.4)

$$I_{OL} R_{1L} = V_T \ln \left[ \frac{I_{C2L} I_{C3L} I_{C5L}}{I_{C1L} I_{C4L} I_{C6L}} \right] \quad (5.4)$$

จากวงจรรูปที่5.1 ค่า  $I_{1L} = I_{C1L} = I_{C3L} = I_{C5L}$ ,  $I_{OL} = I_{C2L} = I_{C4L}$  และ  $I_{C6L} = I_{2L}$  ดังนั้นจะได้

$$I_{OL} = \frac{V_T}{R_{1L}} \ln \left[ \frac{I_{1L}}{I_{2L}} \right] \quad (5.5)$$

จากสมการที่(5.5) จะเห็นว่าวงจรขยายสัญญาณเชิงล็อกการิมิกที่มีค่าเอ๊าท์พุทเป็นค่าในรูปแบบของฟังก์ชันล็อกการิมิก นั้นจะให้ค่ากระแสเอ๊าท์พุทเป็นความสัมพันธ์ของฟังก์ชันล็อกการิมิกกับกระแสอินพุท กระแสเอ๊าท์พุทนี้ยังไม่สามารถนำไปใช้งานได้อย่างสมบูรณ์เนื่องจากค่าที่ได้นี้ยังขึ้นตรงต่ออุณหภูมิ ( $V_T$ )

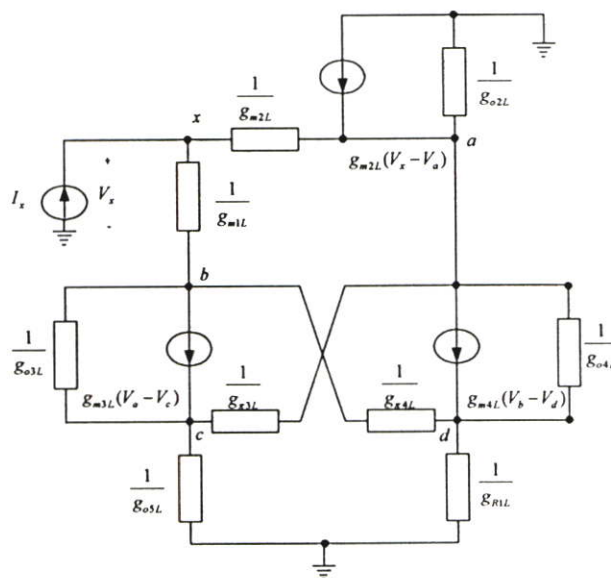
### 5.2.3 วิเคราะห์คุณสมบัติการทำงานของวงจรขยายสัญญาณเชิงล็อกการิมิก

การวิเคราะห์คุณสมบัติการทำงานของวงจรขยายสัญญาณเชิงล็อกการิมิกในรูปแบบกระแสแสดงดังในรูปที่5.1 ซึ่งจะวิเคราะห์ทางด้านค่าความต้านทานอินพุท และเอ๊าท์พุท ค่าช่วงแหล่งจ่ายไฟคงที่ ค่าช่วงปฏิบัติการของกระแสอินพุท

#### 5.2.3.1 วิเคราะห์ค่าความต้านทานอินพุท

พิจารณาจากวงจรรูปที่5.1 ในการวิเคราะห์ค่าความต้านทานทางอินพุทของวงจรขยายสัญญาณเชิงล็อกการิมิก สามารถทำได้โดยการแทนค่าการทำงานในรูปแบบวงจรเสมือน(Equivalent Circuits) ดังรูปที่5.2 วงจรเสมือนสำหรับสัญญาณขนาดเล็กโดยไม่พิจารณาผลของตัวเก็บประจุแฝง

สำหรับการวิเคราะห์ค่าความต้านทานอินพุท สามารถทำได้โดยป้อนกระแสทดสอบ  $I_x$  ที่จุด  $x$  จากนั้นพิจารณาค่าของศักดา  $V_x$  ที่จุด  $x$



รูปที่5.2 วงจรเสมือนสำหรับวิเคราะห์ค่าความต้านทานอินพุทของวงจรขยายสัญญาณเชิงล็อกการิมิก

จากวงจรรูปที่ 5.2 พิจารณาที่จุดต่างๆ โดยใช้วิธีการวิเคราะห์กฏของ (KCL Kirchhoff's Current Law) ได้ดังสมการต่อไปนี้

ที่จุด  $a$  จะได้

$$g_{\pi 2L}(V_a - V_x) + g_{m4L}(V_b - V_d) + g_{\pi 3L}(V_a - V_c) + g_{o2L}(V_a) + g_{o4L}(V_a - V_d) - g_{m2L}(V_x - V_a) = 0 \quad (5.6)$$

ที่จุด  $b$  จะได้

$$g_{e1L}(V_b - V_x) + g_{\pi 4L}(V_b - V_d) + g_{m3L}(V_a - V_c) + g_{o3L}(V_b - V_c) = 0 \quad (5.7)$$

ที่จุด  $c$  จะได้

$$g_{o3L}(V_c - V_b) + g_{\pi 3L}(V_c - V_a) + g_{m3L}(V_a - V_c) + g_{o5L}(V_c) = 0 \quad (5.8)$$

ที่จุด  $d$  จะได้

$$g_{r1L}(V_d) + g_{\pi 4L}(V_d - V_b) - g_{m4L}(V_b - V_d) + g_{o4L}(V_d - V_c) = 0 \quad (5.9)$$

ที่จุด  $x$  จะได้

$$g_{e1L}(V_x - V_b) - g_{\pi 2L}(V_x - V_a) = i_x \quad (5.10)$$

เมื่อ  $g_{o1L}$  ค่าความนำซึ่งเป็นส่วนกลับของค่า  $r_o$  ของทรานซิสเตอร์  $Q_{1L}$

เมื่อ  $g_{e1L}$  ค่าความนำซึ่งเป็นส่วนกลับของค่า  $r_e$  ของทรานซิสเตอร์  $Q_{1L}$

เมื่อ  $g_{\pi 1L}$  ค่าความนำซึ่งเป็นส่วนกลับของค่า  $r_{\pi}$  ของทรานซิสเตอร์  $Q_{1L}$

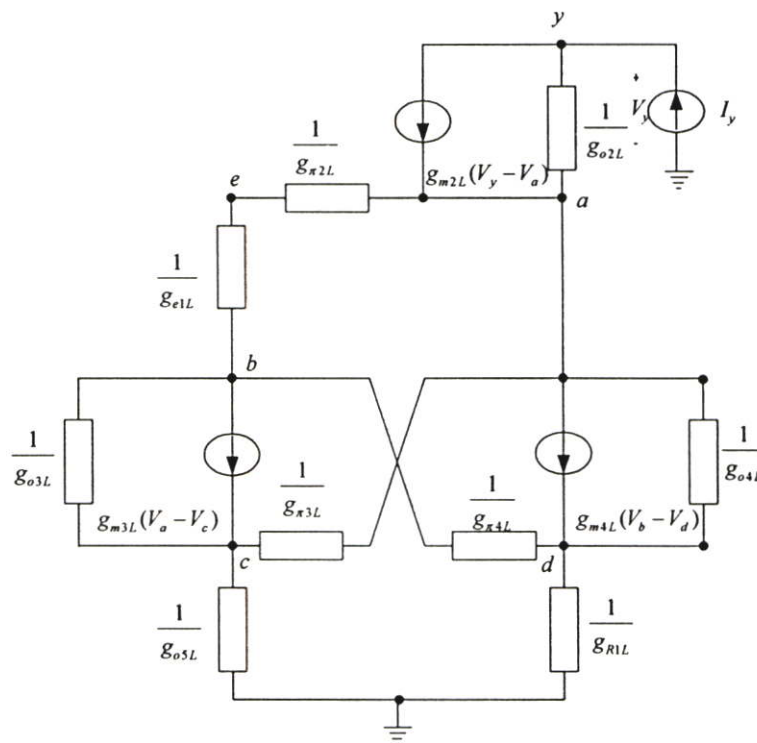
เมื่อ  $g_{r1L}$  ค่าความนำซึ่งเป็นส่วนกลับของค่าความต้านทาน  $R_{1L}$

จากสมการที่ (5.6) ถึง (5.10) สามารถคำนวณหาค่าความต้านทานอินพุตของวงจรขยายสัญญาณเชิงลือกการิมิตที่จุด  $x$  มีค่าเป็น

$$R_{in} = \frac{V_x}{I_x} \approx \frac{[(g_{m2L} - g_{m3L})\{-g_{m4L}g_{\pi4L}\} + g_{e1L}(g_{m4L} + g_{r1L})]}{g_{m2L}g_{m4L}g_{\pi2L}g_{\pi4L} - g_{e1L} \begin{pmatrix} g_{m2L}g_{m4L}(g_{\pi2L} + g_{\pi4L}) \\ + g_{m2L}g_{\pi2L}g_{r1L} \\ - g_{m4L}(g_{\pi3L}g_{\pi4L} + g_{\pi2L}g_{r1L}) \end{pmatrix}} \quad (5.11)$$

### 5.2.3.2 วิเคราะห์ค่าความต้านทานเอาต์พุต

จากวงจรรูปที่ 5.1 ในการวิเคราะห์ค่าความต้านทานเอาต์พุตของวงจรขยายสัญญาณเชิงล็อกการิมิต สามารถทำได้โดยการแทนวงจรด้วยวงจรเสมือนสำหรับสัญญาณขนาดเล็กโดยไม่พิจารณาผลของตัวเก็บประจุแฝง ดังแสดงในรูป 5.3



รูปที่ 5.3 วงจรเสมือนสำหรับวิเคราะห์ค่าความต้านทานเอาต์พุตของวงจรขยายสัญญาณเชิงล็อกการิมิต

สำหรับวิเคราะห์ค่าความต้านทานเอาต์พุต สามารถทำได้โดยป้อนกระแสเข้าที่  $I_y$  ที่จุด  $y$  จากนั้นพิจารณาหาของศักดา  $V_y$  ที่จุด  $y$

จากวงจรรูปที่ 5.3 พิจารณาที่จุดต่างๆ ซึ่งสามารถใช้วิธีการวิเคราะห์กฎของ (KCL Kirchhoff's Current Law) ได้ดังสมการต่อไปนี้

ที่จุด  $a$  จะได้

(6000)

$$g_{\pi 2L}(V_a - V_e) + g_{m4L}(V_b - V_d) + g_{\pi 3L}(V_a - V_c) + g_{o2L}(V_a - V_y) + g_{o4L}(V_a - V_d) - g_{m2L}(V_e - V_a) = 0 \quad (5.12)$$

ที่จุด *b* จะได้

$$g_{e1L}(V_b - V_e) + g_{\pi 4L}(V_b - V_d) + g_{m3L}(V_a - V_c) + g_{o3L}(V_b - V_c) = 0 \quad (5.13)$$

ที่จุด *c* จะได้

$$g_{o3L}(V_c - V_b) + g_{\pi 3L}(V_c - V_a) + g_{m3L}(V_a - V_c) + g_{o5L}(V_c) = 0 \quad (5.14)$$

ที่จุด *d* จะได้

$$g_{R1L}(V_d) + g_{\pi 4L}(V_d - V_b) - g_{m4L}(V_b - V_d) + g_{o4L}(V_d - V_a) = 0 \quad (5.15)$$

ที่จุด *e* จะได้

$$g_{\pi 2L}(V_e - V_a) - g_{e1L}(V_e - V_b) = 0 \quad (5.16)$$

ที่จุด *x* จะได้

$$g_{o2L}(V_y - V_a) - g_{m2L}(V_e - V_a) = i_y \quad (5.17)$$

เมื่อ  $g_{oi}$  ค่าความนำซึ่งเป็นส่วนกลับของค่า  $r_o$  ของทรานซิสเตอร์  $Q_i$

เมื่อ  $g_{e1L}$  ค่าความนำซึ่งเป็นส่วนกลับของค่า  $r_e$  ของทรานซิสเตอร์  $Q_{1L}$

เมื่อ  $g_{\pi i}$  ค่าความนำซึ่งเป็นส่วนกลับของค่า  $r_{\pi}$  ของทรานซิสเตอร์  $Q_i$

เมื่อ  $g_{r1L}$  ค่าความนำซึ่งเป็นส่วนกลับของค่าความต้านทาน  $R_{1L}$

จากสมการที่(5.12) ถึงสมการที่(5.17) สามารถคำนวณหาค่าความต้านทานเข้าที่พู่ท ของ วงจรขยายสัญญาณเชิงลือกการิมิกที่จุด $y$ ได้ ซึ่งมีค่าเป็น

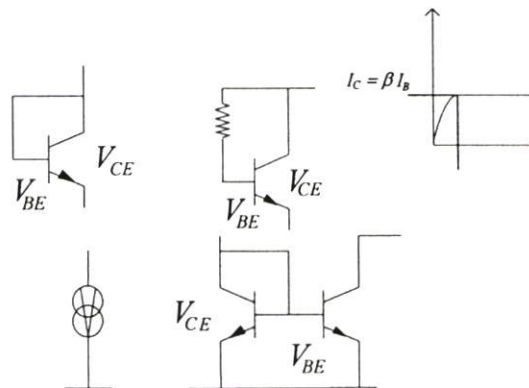
$$R_{out} = \frac{V_y}{I_y} \approx \frac{i}{g_{o2L}} \quad (5.18)$$

### 5.2.3.3 วิเคราะห์ค่าแหล่งจ่ายไฟคงที่

จากรูปวงจรที่5.1 จะได้ค่าแหล่งจ่ายไฟตรง ค่าต่ำสุดที่ทำให้วงจรขยายสัญญาณเชิงลือกการิมิก ยังคงทำงานได้คือ

$$V_{ccmin} \geq 2V_{BE} + V_{CE(sat)} + I_{OL}R_{OL} \quad (5.19)$$

การทำงานของวงจรทรานซิสเตอร์ที่ใช้แรงดันสูงสุดที่ขณะปฏิบัติการ



รูปที่5.4 แสดงค่าแรงดันขณะทรานซิสเตอร์ทำงาน

ในรูปที่5.4 แสดงค่าแรงดันในรูปแบบของการทำงานของทรานซิสเตอร์ที่มีโครงสร้างเป็นแบบ ซิลิคอน จะมีค่าแรงดันเป็น  $V_{BE}$  จะมีค่าเป็น 0.7 Volts และแรงดัน  $V_{CE(sat)}$  ของทรานซิสเตอร์ขณะอิ่มตัว จะมีค่าเป็น 0.3 Volts ดังสมการที่(5.20),(5.21)

$$V_{BE} \cong 0.7 \text{ Volts} \quad (5.20)$$

$$V_{CE(sat)} \cong 0.3 \text{ Volts} \quad (5.21)$$

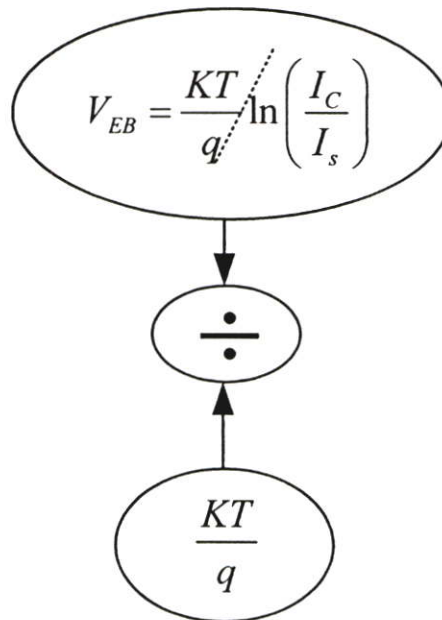
### 5.2.3.4 การวิเคราะห์ค่าช่วงปฏิบัติการของสัญญาณอินพุท

จากสมการที่(5.22) จะเห็นได้ว่าถ้ากระแสอินพุท  $I_{1L}$  มีค่าน้อยกระแสไบอัส  $I_{2L}$  จะทำให้ค่า  $\ln\left[\frac{I_{1L}}{I_{2L}}\right]$  มีค่าเป็นลบ ซึ่งจะทำให้ค่ากระแสเอาท์พุท มีค่าผิดพลาดไปจากความเป็นจริง ดังนั้นกระแสอินพุทต่ำสุดที่ทำให้วงจรทำงานได้ถูกต้องคือ

$$I_{1L} \geq I_{2L} \quad (5.22)$$

## 5.3 การออกแบบวงจรขยายสัญญาณล็อกการิมิตที่มีการชดเชยผลของอุณหภูมิโดยใช้ทรานซิสเตอร์ NPN

### 5.3.1 หลักการออกแบบวงจรขยายสัญญาณล็อกการิมิตที่มีการชดเชยอุณหภูมิ



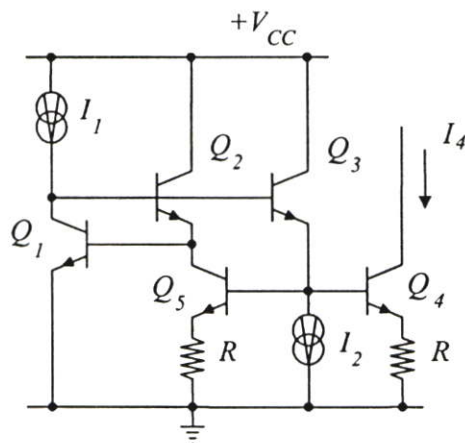
รูปที่ 5.5 หลักการพื้นฐานการทำงานของวงจรขยายสัญญาณล็อกการิมิตที่มีการชดเชยอุณหภูมิ

จากรูปที่ 5.5 การทำงานของบล็อกล็อกไดอะแกรมเป็นหลักการชดเชยอุณหภูมิที่เกิดขึ้นในวงจรขยายสัญญาณล็อกการิมิต กล่าวคือการทำงานของวงจรใดๆ ก็ตาม ที่ทำให้เกิดฟังก์ชันทางคณิตศาสตร์ ค่าที่เกิดขึ้นของฟังก์ชันหลักที่มีการเปลี่ยนแปลงไปตามอุณหภูมิ สามารถชดเชยอุณหภูมิของฟังก์ชันนั้นได้ด้วยวิธีทางคณิตศาสตร์ที่มีพื้นฐานมาจากการทำงานเบื้องต้น ในรูปแบบคูณ/หาร หรือบวก/ลบ ในการชดเชยของอุณหภูมิจากบล็อกล็อกไดอะแกรมค่า  $V_{BE}$  เป็นไปตามฟังก์ชันล็อกการิมิต

นั้นจะขึ้นตรงต่ออุณหภูมิโดยตรง  $V_{BE} = \frac{KT}{q} \ln\left(\frac{I_C}{I_S}\right)$  ซึ่งสามารถชดเชยการทำงานของอุณหภูมิได้ด้วยการสร้างวงจรเสมือนในรูปแบบเดียวกันให้มีการทำงานเป็นไปตามอุณหภูมิที่เกิดขึ้นตามฟังก์ชันหลัก  $\frac{KT}{q}$  จากนั้นนำค่าทั้งสองมากระทำในรูปแบบทางคณิตศาสตร์ จากบล็อกไดอะแกรมใช้วงจรหารเป็นตัวกระทำให้เกิดการชดเชยขึ้นเป็นค่า  $V_{BE} = \frac{KT}{q} \ln\left(\frac{I_C}{I_S}\right)$  กับค่า  $\frac{KT}{q}$  ซึ่งค่า  $K$  และค่า  $q$  เป็นค่าคงที่ ดังนั้นค่าอุณหภูมิซึ่งเป็นตัวแปรสำคัญสามารถชดเชยให้ค่าที่เกิดขึ้นใหม่เป็นดังฟังก์ชัน  $V_{BE} = \ln\left(\frac{I_C}{I_S}\right)$  ที่ไม่ขึ้นตรงต่ออุณหภูมิแต่ยังคงทำงานในรูปของฟังก์ชันลอการิทึมอย่างสมบูรณ์ ซึ่งสามารถนำมาสร้างเป็นวงจรการทำงานได้ในหัวข้อถัดไป

### 5.3.2 การทำงานวงจรขยายสัญญาณล็กการิมิกที่มีการชดเชยอุณหภูมิ

พิจารณาจากวงจรรูปที่ 5.1 เราสามารถนำมาสร้างวงจรใหม่ให้เหมาะสมในการนำไปสร้างวงจรรวมได้ดังรูปที่ 5.6 การทำงานของวงจรขยายสัญญาณล็กการิมิกที่มีการทำงานในโหมดของกระแส[36] การออกแบบวงจรสามารถสร้างจากการทำงานพื้นฐานของทรานซิสเตอร์ชนิด NPN เพียงชนิดเดียวโดยมี  $Q_1, Q_2, Q_3, Q_4$  ต่อในรูปแบบของวงจรทรานส์ลิเนียร์รูปให้มีการทำงานร่วมกับตัวต้านทาน  $R$  โดยมีแหล่งจ่ายกระแสภายนอก  $I_2$  วงจรจะสร้างกระแสในรูปฟังก์ชันล็กการิมิกที่สัมพันธ์โดยตรงกับค่าอุณหภูมิสมบูรณ์ แสดงดังรูปที่ 5.6 สามารถวิเคราะห์หลักการเดียวกับสมการที่ (5.1) ถึง (5.5) ได้ดังสมการที่ (5.23)  $V_T$  เป็นค่าแรงเคลื่อนที่เกิดขึ้นภายในทรานซิสเตอร์ที่ขึ้นกับอุณหภูมิ ซึ่งมีค่าเท่ากับ  $kT/q$  กระแส  $I_4$  เป็นกระแสทางด้านเอาต์พุต

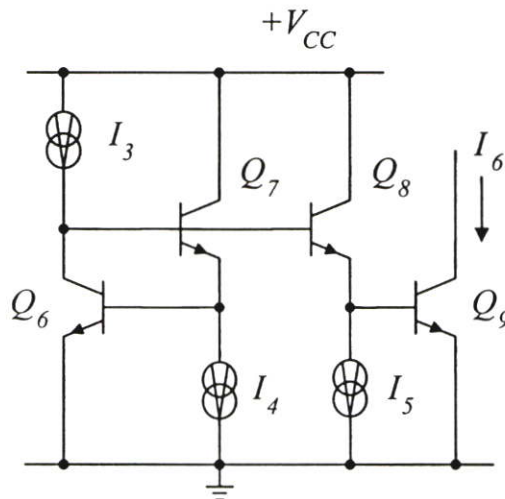


รูปที่ 5.6 วงจรขยายสัญญาณล็กการิมิกที่ขึ้นกับอุณหภูมิ

$$I_4 = \frac{V_T}{R} \ln \frac{I_1}{I_2} \quad (5.23)$$

พิจารณา  $I_4$  ที่เกิดขึ้นจะอยู่ในรูปฟังก์ชันลอการิทึม และค่าจะแปรตามอุณหภูมิ จึงไม่สามารถนำวงจรไปใช้งานได้อย่างเสถียรภาพ เพราะค่าที่ได้ยังขึ้นตรงต่ออุณหภูมิไม่สามารถทำงานได้ที่อุณหภูมิที่มีค่าแตกต่างกัน

วงจรคูณ/หารอาศัยการทำงานในรูปแบบทรานส์ลิเนียร์รูปดังที่กล่าวมาในบทที่ 3 โดยออกแบบในรูปแบบของทรานซิสเตอร์ชนิด NPN นับว่าเป็นวงจรหลักของการชดเชยอุณหภูมิทั้งในส่วนของวงจรขยายสัญญาณลอการิทึม และวงจรขยายสัญญาณแอนติลอการิทึมที่มีการชดเชยอุณหภูมิซึ่งจะนำไปกล่าวในหัวข้อที่ 5.4 ต่อไป ส่วนของวงจรหารประกอบด้วยทรานซิสเตอร์  $Q_6, Q_7, Q_8, Q_9$  ซึ่งสามารถลดจำนวนทรานซิสเตอร์ในรูปที่ 3.2 จากทรานซิสเตอร์ 8 ตัวแบบ PNP, NPN ให้คงเหลือ 4 ตัวแบบ NPN และยังคงคุณสมบัติของการทำงานเหมือนเดิมแสดงการทำงานของวงจร ได้ดังรูปที่ 5.7



รูปที่ 5.7 วงจรคูณและหารโดยใช้กระแสในรูปทรานส์ลิเนียร์รูป

วงจรคูณ และหารที่มีการทำงานในโหมดของกระแส [37] กระแสเข้าที่พุทที่ได้ถูกแทนด้วย  $I_6$  สามารถหาความสัมพันธ์ของกระแสในวงจรได้ดังสมการที่ (5.24) การพิจารณาสมการการทำงานเป็นไปดังหลักการของทรานส์ลิเนียร์รูปสมการที่ (3.11) ถึง (3.16) วงจรนี้จะถูกนำไปใช้งานร่วมกับวงจรในรูปที่ 5.6 เพื่อการชดเชยอุณหภูมิของวงจรขยายสัญญาณลอการิทึม

$$I_6 = \frac{I_3 I_4}{I_5} \quad (5.24)$$

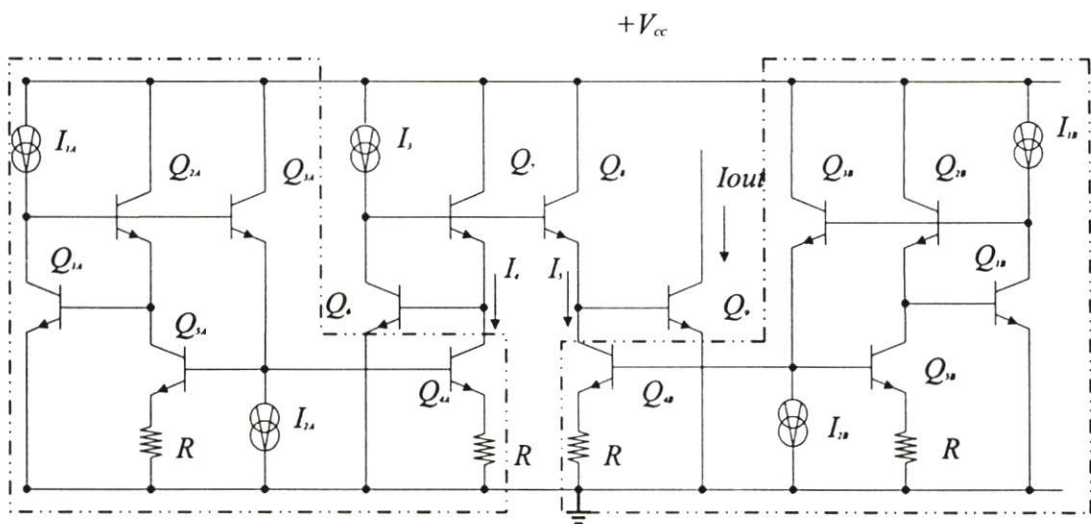
จากสมการที่(5.24)  $I_3, I_4, I_5$  เป็นแหล่งจ่ายกระแสภายนอก การกำหนดค่าต่างๆ ของวงจรนี้จะเป็นตัวกำหนดการทำงานของวงจร โดยมีเงื่อนไขดังนี้  $I_3$  เป็นแหล่งจ่ายกระแสภายนอกให้แก่วงจร มีค่าคงที่  $I_4$  เป็นกระแสภายนอกที่เป็นตัวแปรหลัก ในการนำมาเป็นตัวตั้ง และมีกระแสจากภายนอก  $I_5$  เป็นตัวแปรของเทอมหาร ค่าเข้าที่พหุเป็นค่า  $I_6$  ซึ่งจะเป็นเข้าที่พหุที่ได้จากการหารค่า  $\frac{I_4}{I_5}$

### 5.3.3 วงจรขยายสัญญาณล็อกการิมิตที่มีการชดเชยอุณหภูมิ

วงจรขยายสัญญาณล็อกการิมิตที่มีการชดเชยอุณหภูมิแสดงการทำงานในรูปที่5.8 เป็นวงจรใช้ทรานซิสเตอร์ NPN ทั้งหมดที่เป็นส่วนของการทำงานในรูปแบบกระแส วงจรประกอบด้วยการทำงานของวงจรร้อย 3 วงจรที่ได้กล่าวมาในหลักการพื้นฐานในรูปที่5.5, รูปที่5.6 และรูปที่5.7 โดยมีวงจรคูณและหารเป็นวงจรหลักในการชดเชยอุณหภูมิ ส่วนวงจรร้อยอีก 2 วงจรที่สร้างจากวงจรฟังก์ชันหลัก ที่มีวงจรขยายสัญญาณล็อกการิมิตที่ไม่มีการชดเชยอุณหภูมิดังแสดงในรูปที่5.6 ซึ่งแทนด้วยอักษร A อยู่ทางด้านซ้าย และอักษร B อยู่ทางด้านขวามือ ถ้าสมมติให้ทรานซิสเตอร์ในวงจรมีค่าสมพียงกัน ในการเลือกมาใช้งาน ดังนั้นกระแส  $I_4, I_5$  ของรูปที่5.8 ที่ได้มาจากสมการที่(5.23) สามารถแสดงเป็นสมการที่มีสัดส่วนโดยตรงกับค่า  $V_T$  ดังนี้

$$I_4 = \frac{V_T}{R} \ln \frac{I_{1A}}{I_{2A}} \quad (5.25)$$

$$I_5 = \frac{V_T}{R} \ln \frac{I_{1B}}{I_{2B}} \quad (5.26)$$



รูปที่5.8 วงจรขยายสัญญาณล็อกการิมิตแบบชดเชยอุณหภูมิที่ใช้ทรานซิสเตอร์ NPN

กระแส  $I_4$  ที่เกิดจากวงจรขยายสัญญาณล็อกการิมิตทางด้านซ้ายเป็นไปดังสมการที่(5.25) เป็นฟังก์ชันหลักในการสร้างสัญญาณทางเข้าที่พุท ส่วนกระแส  $I_5$  ที่เกิดจากการทำงานของวงจรขยายสัญญาณล็อกการิมิตทางด้านขวาเป็นไปดังสมการที่(5.26) ซึ่งในส่วนกระแสนี้จะเป็นกระแสที่นำไปสร้างสัญญาณชดเชยอุณหภูมิ กระแสทั้งสองถูกนำไปจ่ายให้วงจรคูณ และหารของรูปที่5.7 โดยแทนค่า  $I_4, I_5$  ซึ่งสามารถอธิบายได้ดังสมการที่(5.27) เกิดจากการนำสมการที่(5.25) , (5.26) แทนในสมการที่(5.24) ของวงจรรหาร ดังนั้นกระแส  $I_{out}$  ที่เกิดจะเป็นค่ากระแสที่ไม่ขึ้นตรงกับอุณหภูมิ ดังสมการที่(5.27)

$$I_{out} = \frac{I_3}{K} \ln \frac{I_{1A}}{I_{2A}} \quad (5.27)$$

โดยมีเงื่อนไขที่สำคัญดังนี้ค่า  $K = \ln \frac{I_{1B}}{I_{2B}}$  ซึ่งต้องกำหนดค่า  $K$  มีค่าเท่ากับ 1 สามารถทำได้ โดยที่เลือกให้ค่า  $I_{1B}/I_{2B}$  มีค่าเท่ากับ  $e = 2.713$  ดังนั้นค่าที่ควรเป็นของ  $I_{1B} = 272 \mu A$  และค่าของ  $I_{2B} = 100 \mu A$  เพื่อให้การทำงานของวงจรขยายสัญญาณล็อกในส่วนของการชดเชยอุณหภูมิที่ทำงานโดย  $Q_{1B} - Q_{4B}$  ให้มีค่าเป็น  $\frac{V_T}{R}$  และนำไปเป็นส่วนหารของวงจรขยายสัญญาณล็อกหลักที่ประกอบขึ้นด้วย  $Q_{1A} - Q_{4A}$  จึงสามารถกำจัดค่าที่เป็นส่วนของอุณหภูมิในสมการให้หมดไป

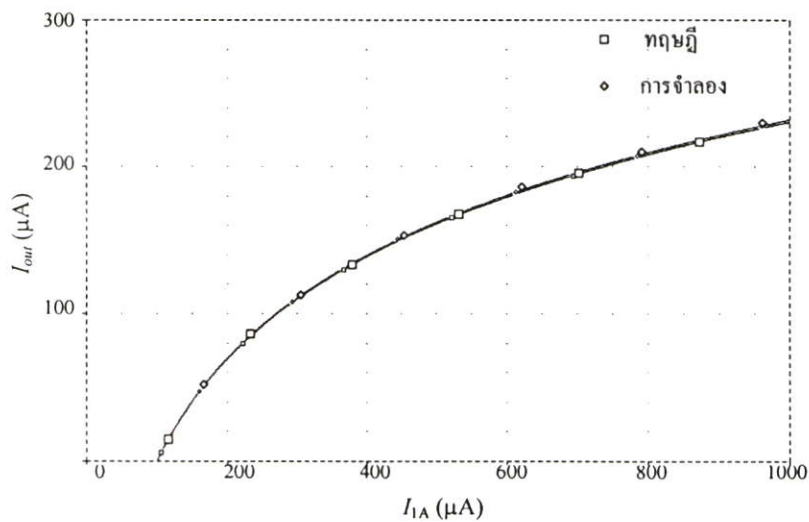
จากสมการที่(5.25) , (5.26) และ(5.27) วงจรมีการทำงานในรูปแบบกระแสเท่านั้นและสามารถใช้ระดับแหล่งจ่ายไฟต่ำ จะมีค่าประมาณ  $2V_{BE} + V_{CE(sat)} + RI$  จะมีค่าประมาณการทำงานที่ทรานซิสเตอร์ เบอร์ 2N3904 ทำงานได้ คือค่าเท่ากับ  $(2(0.7)+0.3+(260 \times 100 \times 10^{-6}))$  ซึ่งรวมค่าได้ประมาณ 2 โวลต์ เป็นระดับเพียงพอกับการทำงานของวงจร

#### 5.3.4 ผลการจำลองการทำงานของวงจรขยายสัญญาณล็อกการิมิตด้วยโปรแกรม PSPICE

การจำลองการทำงานของวงจรขยายสัญญาณล็อกการิมิตที่ไม่ขึ้นกับผลของอุณหภูมิ ในส่วนการหาสมรรถนะของวงจรจะพิจารณาถึงคุณลักษณะ 3 ข้อดังนี้คือ ข้อที่1 คุณลักษณะการทำงานในการป้อนกระแสตรงให้กับวงจร และดูผลตอบสนองในด้านกระแสทางเข้าที่พุทเป็นตามฟังก์ชันล็อกหรือไม่ ข้อที่2 เป็นการเปรียบเทียบผลทางเข้าที่พุทของวงจรที่มีการชดเชยอุณหภูมิในรูปที่5.8 กับวงจรในรูปที่5.6 ถึงผลทางเข้าที่พุทที่ไม่มีการชดเชยอุณหภูมิว่ายังคงการทำงานที่ฟังก์ชันเดิม โดยดูผลทางเข้าที่พุทได้ดีเพียงใด ส่วนในข้อที่3 เป็นการทดสอบคุณสมบัติทางด้านความถี่ของการทำงานวงจรขยายสัญญาณล็อกการิมิตที่มีการชดเชยอุณหภูมิในรูปที่5.8

### 5.3.4.1 การทดสอบการทำงานของวงจรถยายสัญญาณล็อกการิมิก

เพื่อยืนยันการทำงานของวงจรถยายสัญญาณล็อกการิมิกแบบชดเชยอุณหภูมิในรูปที่ 5.8 ที่ออกแบบว่าสามารถนำไปใช้ได้จริง โดยทำการป้อนสัญญาณในรูปแบบกระแสตรงเข้าที่อินพุตที่  $I_{1A}$  ช่วงทดสอบโดยการปรับค่าจาก  $0\mu A$  ถึง  $1000\mu A$  แล้วหาค่าทางเอาต์พุตเทียบกับค่าทางทฤษฎี โดยใช้ทรานซิสเตอร์ NPN เบอร์ 2N3904 ใช้แหล่งจ่ายแรงดัน +2 โวลต์ ที่ค่าความต้านทาน  $R = 260\Omega$  ส่วนแหล่งจ่ายกระแสที่  $I_{1B}$  เลือกค่าที่  $272\mu A$  และ  $I_{2B}$  เป็น  $100\mu A$  เพื่อกำหนดค่าให้มีค่าเป็น  $1 (K = 1)$  แหล่งจ่ายกระแสที่  $I_{2A}$  ของวงจรถยายสัญญาณล็อกการิมิก และ  $I_3$  เป็นกระแสที่ของวงจรถยายเลือกค่าเท่ากับ  $100\mu A$  ได้ความสัมพันธ์ของ  $I_{1A}$  ที่เป็นกระแสอินพุตกับค่ากระแส  $I_{out}$  ที่แสดงดังรูปที่ 5.9 แสดงถึงผลกระแสเอาต์พุต ที่มีคุณลักษณะเป็นไปตามฟังก์ชันล็อกการิมิกนำไปเปรียบเทียบกับค่าล็อกการิมิกทางทฤษฎี พิจารณาจากรูปที่ 5.9 การทำงานของวงจรเป็นไปตามหลักการที่กล่าวมา มีผลการคลาดเคลื่อนในส่วนของคุณค่าทางอินพุตกับเอาต์พุตเพียงเล็กน้อยในช่วงกระแสอินพุตที่ใกล้จุดอิ่มตัว

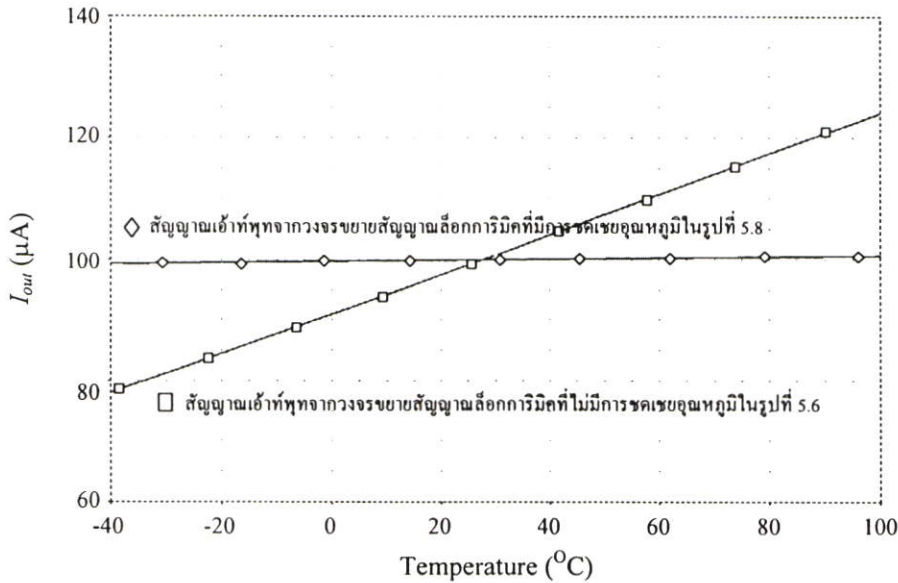


รูปที่ 5.9 แสดงคุณลักษณะทางกระแสตรงของวงจรถยายสัญญาณล็อกการิมิกในรูปที่ 5.8

### 5.3.4.2 การทดสอบคุณสมบัติทางด้านอุณหภูมิ

พิจารณาจากผลการเปรียบเทียบการทำงานที่ได้จากเอาต์พุตของวงจรในรูปที่ 5.6 เทียบกับเอาต์พุตในรูปที่ 5.8 เมื่อกำหนดค่ากระแสที่ทางอินพุตที่ค่า  $100\mu A$  โดยเปลี่ยนค่าอุณหภูมิจาก  $-40^{\circ}C$  ถึง  $+100^{\circ}C$  แสดงค่าล็อกการิมิกที่ไม่มีการชดเชยอุณหภูมิของในรูปที่ 5.6 เปรียบเทียบกับค่าล็อกการิมิกที่มีการชดเชยอุณหภูมิในรูปที่ 5.8 ค่าที่ได้ทางเอาต์พุตของวงจรที่มีการชดเชยอุณหภูมิจะมีค่าเกือบคงที่  $100\mu A$  แต่ค่าเอาต์พุตที่ได้จากวงจรที่ไม่มีการชดเชยอุณหภูมิจะมีการเปลี่ยนแปลงจาก

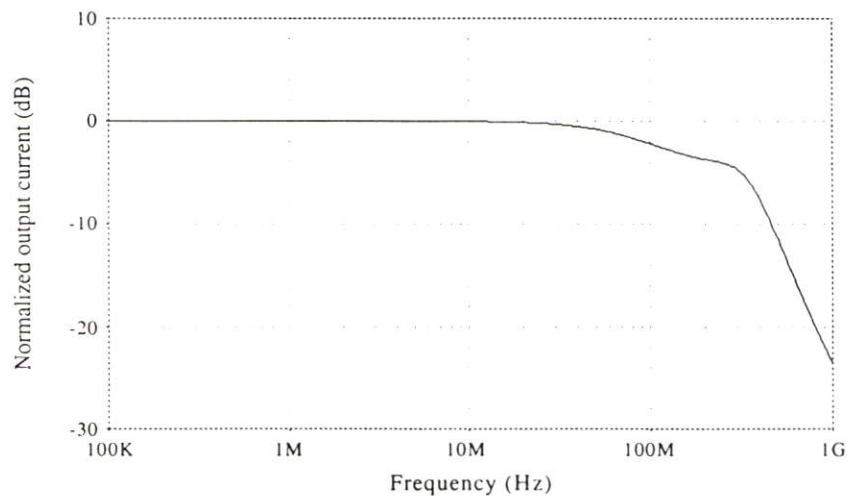
78–124  $\mu\text{A}$  เมื่อพิจารณาค่าความไว (Sensitivity) ของวงจร จะพบว่าค่ากระแสเข้าที่พุดที่ได้จากวงจรการชดเชยผลของอุณหภูมิในรูปที่ 5.8 จะมีความไวน้อยกว่าในวงจรที่ไม่มีการชดเชยอุณหภูมิในรูปที่ 5.6 ซึ่งจะมีค่าประมาณ 0.03 และ 0.99 ตามลำดับแสดงดังรูปที่ 5.10



รูปที่ 5.10 แสดงการเปลี่ยนแปลงค่ากระแสทางเข้าที่พุดที่อุณหภูมิค่าต่างๆ ของรูปที่ 5.6 กับรูปที่ 5.8

### 5.3.4.3 การทดสอบคุณสมบัติทางด้านความถี่

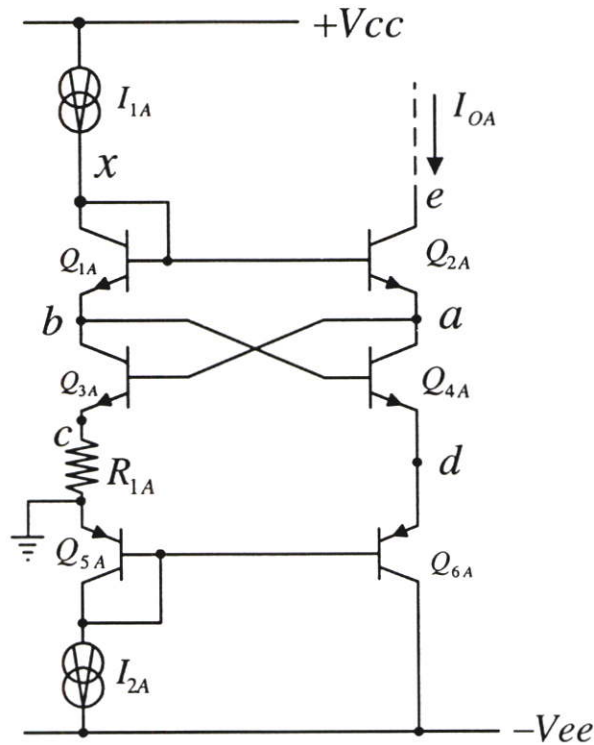
ในรูปที่ 5.11 แสดงค่าการตอบสนองต่อความถี่ของกระแสในวงจรรูปที่ 5.8 ที่มีความสามารถตอบสนองต่อความถี่ที่ใช้งานเมื่ออินพุตมีค่าเปลี่ยนแปลงกระแสทางอินพุต  $I_{IA} = 100 \mu\text{A}$  มีค่าประมาณถึง 130 MHz.



รูปที่ 5.11 แสดงคุณสมบัติทางความถี่ของวงจรชดเชยอุณหภูมิในรูปที่ 5.8

## 5.4 หลักการพื้นฐานของวงจรรขยายสัญญาณแอนติล๊อคการิมิคแบบใช้ไบโพลาร์

วงจรรขยายสัญญาณเชิงแอนติล๊อคการิมิคที่มีการทำงานในรูปกระแสแสดงในรูปที่ 5.12 ในวงจรนี้ประกอบด้วยไบโพลาร์ทรานซิสเตอร์ชนิด NPN 4 ตัวคือ  $Q_{1A} - Q_{4A}$  และ PNP 2 ตัวคือ  $Q_{5A}$  กับ  $Q_{6A}$  และตัวต้านทาน  $R_{1A}$  และแหล่งจ่ายกระแสคงที่  $I_{2A}$  โดยกระแส  $I_{1A}$  และ  $I_{OA}$  เป็นกระแสอินพุท และกระแสเอาท์พุทของวงจรตามลำดับ ในหลักการนี้ใช้แหล่งจ่ายแรงดันคงที่  $+V_{CC}$  และ  $-V_{EE}$



รูปที่ 5.12 วงจรรขยายสัญญาณเชิงแอนติล๊อคการิมิคที่มีการทำงานในรูปกระแส

### 5.4.1 สมการของวงจรรขยายสัญญาณแอนติล๊อคการิมิค

จากรูปที่ 5.12 สามารถหาความสัมพันธ์ที่เกิดขึ้นในวงจรโดยใช้การวิเคราะห์แบบทรานส์ลิเนียร์-ลูป ได้ดังสมการที่ (5.28)

$$V_{BE1A} + V_{BE4A} + V_{BE6A} = V_{BE2A} + V_{BE3A} + V_{BE5A} + I_{1A} R_{1A} \quad (5.28)$$

จากสมการที่ (2.4) จะได้ค่าแรงดันเบส-อิมิตเตอร์ คือ

$$V_{BEi} = V_T \ln \frac{I_{ci}}{I_{si}} \quad (5.29)$$

แทนค่า  $V_{BE}$  จากสมการ(5.29) ลงในสมการ(5.28) จะได้ดังสมการ(5.30)

$$V_T \ln \left[ \frac{I_{C1A} I_{C4A} I_{C6A}}{I_{S1A} I_{S4A} I_{S6A}} \right] = V_T \ln \left[ \frac{I_{C2A} I_{C3A} I_{C5A}}{I_{S2A} I_{S3A} I_{S5A}} \right] + I_{1A} R_{1A} \quad (5.30)$$

ถ้าทรานซิสเตอร์  $Q_{1A} - Q_{4A}$  และ  $Q_{5A}$  กับ  $Q_{6A}$  ทุกตัวมีคุณสมบัติในการทำงานเหมือนกัน นั่นคือ  $I_{S1A} = I_{S2A} = I_{S3A} = I_{S4A} = I_{SN}$  และ  $I_{S5A} = I_{S6A} = I_{SP}$  จึงทำให้สมการที่(5.30) เขียนใหม่ได้เป็น

$$I_{1A} R_{1A} = V_T \ln \left[ \frac{I_{C1A} I_{C4A} I_{C6A}}{I_{C2A} I_{C3A} I_{C5A}} \right] \quad (5.31)$$

จากรูปวงจรในรูปที่(5.1) เราทราบว่า  $I_{1A} = I_{C1A} = I_{C3A} = I_{OA} = I_{C2A} = I_{C4A} = I_{C6A}$  และ  $I_{C5A} = I_{2A}$  ดังนั้นจะได้ว่า

$$I_{1A} R_{1A} = V_T \ln \left[ \frac{I_{OA}}{I_{2A}} \right] \quad (5.32)$$

หรือ

$$I_{OA} = I_{2A} e^{I_{1A} R_{1A} / V_T} \quad (5.33)$$

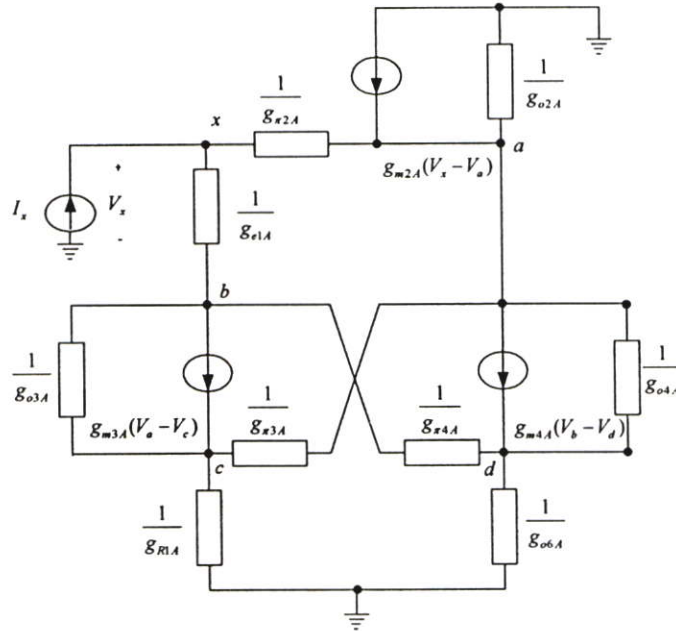
จากสมการที่(5.33) จะเห็นว่าวงจรขยายสัญญาณเชิงแอนติล็อกการิมิกที่นำเสนอ ในรูปที่5.12 นั้นกระแสเข้าที่พู่ที่อยู่ในรูปของฟังก์ชันเอ็กซ์โพเนนเชียลและกระแสนี้ยังขึ้นตรงกับอุณหภูมิด้วย

#### 5.4.2 วิเคราะห์คุณสมบัติการทำงานของวงจรขยายสัญญาณเชิงแอนติล็อกการิมิก

ในหัวข้อนี้จะเป็นการวิเคราะห์คุณสมบัติการทำงานของวงจรขยายสัญญาณเชิงแอนติล็อกการิมิกของวงจร ซึ่งได้แก่ ค่าความต้านทานอินพุท และเอาต์พุท ค่าช่วงการทำงานแหล่งจ่ายไฟคงที่ ค่าช่วงปฏิบัติการของกระแสอินพุท ของวงจรรูปที่ 5.12 ซึ่งมีโครงสร้างของวงจรเป็นแบบไบโพลาร์ มีหลักการวิเคราะห์จำลองรูปแบบของทรานซิสเตอร์ในบทที่2 มาใช้ในหัวข้อถัดไป

### 5.4.2.1 วิเคราะห์ค่าความต้านทานอินพุท

ในการวิเคราะห์ค่าความต้านทานอินพุทของวงจรขยายสัญญาณเชิงแอนติลือกการิมิก สามารถทำได้โดยแทนวงจรรูปที่ 5.12 ด้วยวงจรเสมือนสำหรับสัญญาณขนาดเล็กโดยไม่พิจารณาผลของตัวเก็บประจุแฝงดังรูปที่ 5.13



รูปที่ 5.13 วงจรเสมือนสำหรับวิเคราะห์ค่าความต้านทานอินพุทของวงจรขยายสัญญาณเชิงแอนติลือกการิมิก

สำหรับการวิเคราะห์ค่าความต้านทานอินพุท สามารถทำได้โดยป้อนกระแสทดสอบ  $I_x$  ที่จุด  $x$  จากนั้นพิจารณาหาค่าของศักดา  $V_x$  ที่จุด  $x$

จากรูปวงจรที่ 5.13 พิจารณาที่จุดต่างๆ ซึ่งสามารถใช้กฎของ (KCL Kirchhoff's Current Law) ได้ดังสมการที่ต่อไปนี

ที่จุด  $a$  จะได้

$$\begin{aligned} g_{\pi 2A}(V_a - V_x) + g_{m4A}(V_b - V_d) + g_{\pi 3A}(V_a - V_c) \\ + g_{o2A}(V_a) + g_{o4A}(V_a - V_d) - g_{m2A}(V_x - V_a) = 0 \end{aligned} \quad (5.34)$$

ที่จุด  $b$  จะได้

$$g_{e1A}(V_b - V_x) + g_{\pi4A}(V_b - V_d) + g_{m3A}(V_a - V_c) + g_{o3A}(V_b - V_c) = 0 \quad (5.35)$$

ที่จุด  $c$  จะได้

$$g_{o3A}(V_c - V_b) + g_{\pi3A}(V_c - V_a) + g_{m3A}(V_a - V_c) + g_{r1A}(V_c) = 0 \quad (5.36)$$

ที่จุด  $d$  จะได้

$$g_{o6A}(V_d) + g_{\pi4A}(V_d - V_b) - g_{m4A}(V_b - V_d) + g_{o4A}(V_d - V_c) = 0 \quad (5.37)$$

ที่จุด  $x$  จะได้

$$g_{e1A}(V_x - V_b) - g_{\pi2A}(V_x - V_a) = i_x \quad (5.38)$$

เมื่อ  $g_{oiA}$  ค่าความนำซึ่งเป็นส่วนกลับของค่า  $r_o$  ของทรานซิสเตอร์  $Q_{iA}$

เมื่อ  $g_{eiA}$  ค่าความนำซึ่งเป็นส่วนกลับของค่า  $r_e$  ของทรานซิสเตอร์  $Q_{iA}$

เมื่อ  $g_{\pi i}$  ค่าความนำซึ่งเป็นส่วนกลับของค่า  $r_{\pi}$  ของทรานซิสเตอร์  $Q_i$

เมื่อ  $g_{r1A}$  ค่าความนำซึ่งเป็นส่วนกลับของค่าความต้านทาน  $R_{1A}$

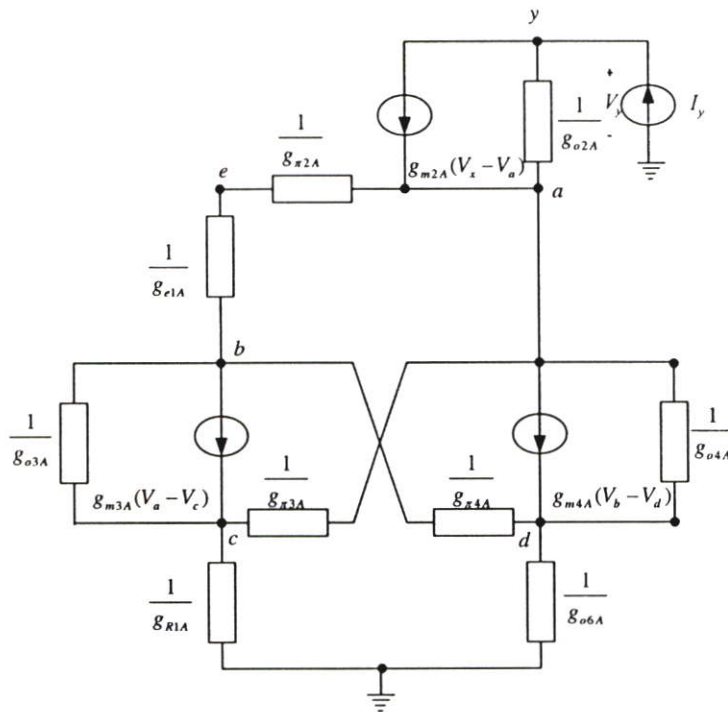
จากสมการที่(5.34) ถึง(5.38) สามารถคำนวณหาค่าความต้านทานอินพุทของวงจรขยายสัญญาณเชิงลือกการมีคที่จุด  $x$  มีค่าดังสมการที่(5.39)

$$R_m = \frac{V_x}{I_x} \approx \frac{[(g_{e1A} - g_{\pi4A})\{-g_{m3A}g_{\pi3A}\} + g_{m2A}(g_{m3A} + g_{r1A})]}{\left( \begin{aligned} &((g_{e1A}g_{m3A})(-g_{\pi3A}g_{\pi4A}) + g_{m2A}(g_{\pi2A} + g_{\pi4A})) \\ &+ g_{e1A}g_{m2A}(g_{m3A} - g_{\pi2A} + g_{\pi4A})g_{r1A} \\ &+ g_{m2A}g_{\pi2A}g_{\pi4A}(g_{m3A} + g_{r1A}) \end{aligned} \right)} \quad (5.39)$$

#### 5.4.2.2 วิเคราะห์ค่าความต้านทานเข้าที่พู่

จากวงจรรูปที่5.12 ในการวิเคราะห์ค่าความต้านทานเข้าที่พู่ของวงจรขยายสัญญาณเชิงแอนติลือกการมีค สามารถทำได้โดยการแทนวงจรในรูปที่5.12 ด้วยวงจรเสมือนสำหรับสัญญาณขนาดเล็ก โดยไม่พิจารณาผลของตัวเก็บประจุแฝง ดังแสดงในรูป5.14

สำหรับวิเคราะห์ค่าความต้านทานเข้าที่พู่ สามารถทำได้โดยป้อนกระแสเข้าที่  $I_y$  ที่จุด  $y$  จากนั้นพิจารณาหาค่าของศักดา  $V_y$  ที่จุด  $y$



รูปที่ 5.14 วงจรสมมูลสำหรับวิเคราะห์ค่าความต้านทานเข้าที่พู่ของวงจรขยายสัญญาณเชิงแอนติล็อกการิมิก

จากวงจรรูปที่ 5.14 พิจารณาที่จุดต่างๆ ซึ่งสามารถใช้วิธีการวิเคราะห์ที่กฎของ (KCL Kirchhoff's Current Law) ได้ดังสมการต่อไปนี้

ที่จุด  $a$  จะได้

$$g_{\pi 2A}(V_a - V_e) + g_{m4A}(V_b - V_d) + g_{\pi 3A}(V_a - V_c) + g_{o2A}(V_a - V_y) + g_{o4A}(V_a - V_d) - g_{m2A}(V_e - V_a) = 0 \quad (5.40)$$

ที่จุด  $b$  จะได้

$$g_{e1A}(V_b - V_e) + g_{\pi 4A}(V_b - V_d) + g_{m3A}(V_a - V_c) + g_{o3A}(V_b - V_c) = 0 \quad (5.41)$$

ที่จุด  $c$  จะได้

$$g_{o3A}(V_c - V_b) + g_{\pi 3A}(V_c - V_a) + g_{m3A}(V_a - V_c) + g_{r1A}(V_c) = 0 \quad (5.42)$$

ที่จุด  $d$  จะได้

$$g_{o6A}(V_d) + g_{\pi4A}(V_d - V_b) - g_{m4A}(V_b - V_d) + g_{o4A}(V_d - V_a) = 0 \quad (5.43)$$

ที่จุด  $e$  จะได้

$$g_{\pi2A}(V_e - V_a) - g_{e1A}(V_e - V_b) = 0 \quad (5.44)$$

ที่จุด  $x$  จะได้

$$g_{o2A}(V_y - V_a) - g_{m2A}(V_e - V_a) = i_y \quad (5.45)$$

เมื่อ  $g_{oiA}$  ค่าความนำซึ่งเป็นส่วนกลับของค่า  $r_o$  ของทรานซิสเตอร์  $Q_{iA}$

เมื่อ  $g_{eiA}$  ค่าความนำซึ่งเป็นส่วนกลับของค่า  $r_e$  ของทรานซิสเตอร์  $Q_{iA}$

เมื่อ  $g_{\pi iA}$  ค่าความนำซึ่งเป็นส่วนกลับของค่า  $r_{\pi}$  ของทรานซิสเตอร์  $Q_{iA}$

เมื่อ  $g_{riA}$  ค่าความนำซึ่งเป็นส่วนกลับของค่าความต้านทาน  $R_{iA}$

จากสมการที่(5.40) ถึงสมการที่(5.45) สามารถคำนวณหาค่าความต้านทานเข้าที่พู่ของวงจรขยายสัญญาณเชิงลือกการมีคที่จุด  $y$  ได้ซึ่งมีค่าเป็น

$$R_{out} = \frac{V_y}{I_y} \approx \frac{i}{g_{o2A}} \quad (5.46)$$

#### 5.4.2.3 วิเคราะห์ค่าแหล่งจ่ายไฟคงที่

จากรูปวงจรที่ 5.12 จะได้ค่าแหล่งจ่ายไฟตรง ค่าต่ำสุดที่ทำให้วงจรขยายสัญญาณเชิงแอนติลือกการมีคยังคงทำงานได้คือ

$$V_{ccmin} \geq 2V_{BE} + V_{CE(sat)} + I_{iA}R_{iA} \quad (5.47)$$

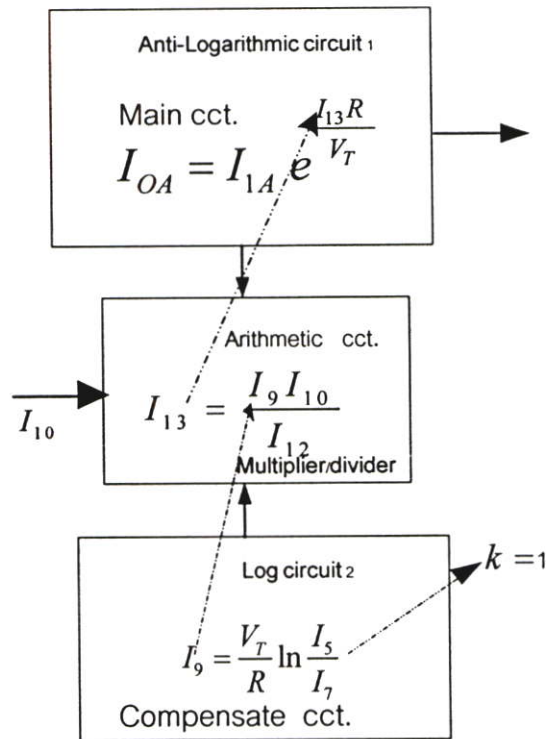
#### 5.4.2.4 วิเคราะห์ค่าช่วงปฏิบัติการของสัญญาณอินพุท

จากรูปที่ 5.12 ดังนั้นกระแสอินพุทต่ำสุดที่ทำให้วงจรทำงานได้ถูกต้องคือ

$$I_{iA} \geq 0 \quad (5.48)$$

## 5.5 การออกแบบวงจรขยายสัญญาณแอนติล็อกการิมิตที่มีการชดเชยอุณหภูมิโดยใช้ ทรานซิสเตอร์ NPN

### 5.5.1 หลักการออกแบบวงจรขยายสัญญาณแอนติล็อกการิมิตที่มีการชดเชยอุณหภูมิ



รูปที่ 5.15 หลักการเบื้องต้นของการชดเชยอุณหภูมิในวงจรขยายสัญญาณแอนติล็อกการิมิต

หลักการออกแบบชดเชยอุณหภูมิในวงจรขยายสัญญาณแอนติล็อกการิมิต สามารถพิจารณาจากรูปที่ 5.15 เพื่อให้ง่ายต่อการพิจารณาการทำงานในวงจรจริงของวงจรขยายสัญญาณแอนติล็อกการิมิตที่มีการชดเชยของอุณหภูมิในรูปที่ 5.20 จึงจำลองการทำงานให้อยู่ในรูปบล็อกไดอะแกรมซึ่งประกอบไปด้วยการทำงาน 3 ส่วนใหญ่ๆ ส่วนที่ 1 เป็นส่วนของวงจรถอดการิมิตมีหลักการทำงานเหมือนกับการชดเชยอุณหภูมิในวงจรถอดการิมิตที่สร้างขึ้นมาเพื่อชดเชยอุณหภูมิ (Compensate Circuit) ดังบล็อก (Log Circuit 2) ซึ่งจะทำหน้าที่สร้างสัญญาณ  $I_9 = \frac{V_T}{R} \ln \frac{I_5}{I_7}$  โดยจะกำหนดค่า 2.713 เป็นค่าคงที่ของ  $I_5 / I_7$  ดังนั้น  $I_9$  จะมีค่าเป็น  $\frac{V_T}{R}$  ส่วนที่ 2 เป็นส่วนของการคำนวณ (Arithmetic) ทำหน้าที่เป็นวงจรรวมโดยนำค่า  $I_9$  ที่สร้างจากวงจรถดเชยอุณหภูมิแทนค่าในที่เป็นส่วนของตัวตั้ง และเพื่อให้วงจรถอดการิมิตได้ทำงานที่ไม่ขึ้นตรงต่ออุณหภูมิจะกำหนดค่า  $I_{10}$  เป็นอินพุทของวงจรถอดการิมิต และนำค่า  $I_{12}$  เป็นค่าคงที่ จากนั้นนำค่าเข้าที่พุทของวงจรถด

คำนวณที่ได้เป็นค่า  $I_{13}$  แทนค่าในวงจรขยายสัญญาณแอนติล็อกที่ขึ้นตรงต่ออุณหภูมิดับล็อก (Anti-Logarithmic Circuit) ที่เป็นวงจรหลัก ผลที่ได้ค่าอุณหภูมิจะถูกชดเชยหมดไป วงจรจะทำงานได้ดีให้ค่าที่ถูกต้อง เมื่อนำไปใช้งานที่มีอุณหภูมิเปลี่ยนแปลง

### 5.5.2 การทำงานวงจรขยายสัญญาณแอนติล็อกการิมิตที่มีการชดเชยอุณหภูมิ

วงจรขยายสัญญาณแบบแอนติล็อกการิมิตแรงดันต่ำที่ทำงานด้วยโหมดกระแส (Low voltage Current-Mode Exponential Amplifier) ที่มีหลักการชดเชยทางอุณหภูมิ การทำงานของวงจรขยายสัญญาณแบบแอนติล็อกการิมิตแรงดันต่ำที่ขึ้นกับอุณหภูมิโดยใช้ไบโพลาร์ทรานซิสเตอร์ชนิด NPN เพียงชนิดเดียว ทำงานร่วมกับวงจรขยายสัญญาณล็อกมีวงจรในรูปแบบทรานส์ลิเนียร์รูปในหน้าที่วงจรช่วยในการป้อนสัญญาณทางอินพุต

จากรูปที่ 5.16 แสดงวงจรขยายสัญญาณแบบแอนติล็อกการิมิตแบบพื้นฐาน ซึ่งวงจรประกอบไปด้วยทรานซิสเตอร์  $Q_{1A}$  ถึง  $Q_{4A}$  ชนิด NPN จำนวน 4 ตัว ทำงานร่วมกับความต้านทาน  $1/\text{ตัว}$  มีแหล่งจ่ายกระแสคงที่ คือ  $I_{1A}$ ,  $I_{3A}$  และมี  $I_{2A}$  เป็นอินพุต  $I_{OA}$  เป็นกระแสเข้าที่พุทอาศัยหลักการทำงานของวงจรทรานส์ลิเนียร์รูป [37] พบว่าค่าที่เกิดขึ้นในวงจรเมื่อพิจารณาที่ขาเบสของทรานซิสเตอร์  $Q_{2A}$ ,  $Q_{3A}$  ค่าแรงดันที่เกิดขึ้นเป็นดังสมการที่ (5.49)

$$V_{BE1A} + I_{2A}R_1 + V_{BE2A} = V_{BE3A} + V_{BE4A} \quad (5.49)$$

เมื่อ  $I_{1A}$ ,  $I_{2A}$  และ  $I_{3A}$  เป็นค่ากระแสไหลผ่านทรานซิสเตอร์  $Q_{1A}$ ,  $Q_{2A}$  และ  $Q_{3A}$  กับ  $I_{OA}$  เป็นค่ากระแสเข้าที่พุทไหลผ่าน  $Q_{4A}$  ซึ่ง  $V_{BE} = V_T \ln \frac{I_C}{I_S}$  หากค่าความสัมพันธ์ ได้ดังสมการที่ (5.50)

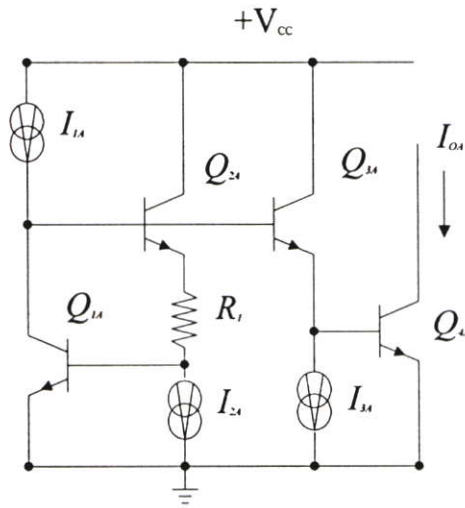
$$V_T \ln \frac{I_{1A}}{I_S} + I_{2A}R_1 + V_T \ln \frac{I_{2A}}{I_S} = V_T \ln \frac{I_{3A}}{I_S} + V_T \ln \frac{I_{OA}}{I_S} \quad (5.50)$$

หรือ

$$I_{2A}R_1 = V_T \ln \frac{I_{3A}I_{OA}}{I_{1A}I_{2A}} \quad (5.51)$$

จากสมการ (5.51) ถ้าเลือกใช้ค่ากระแส  $I_{3A}$  มีค่าเท่ากับค่ากระแส  $I_{2A}$  จะทำให้เราสามารถลดสมการที่ (5.51) ใหม่ได้เป็นสมการ (5.52)

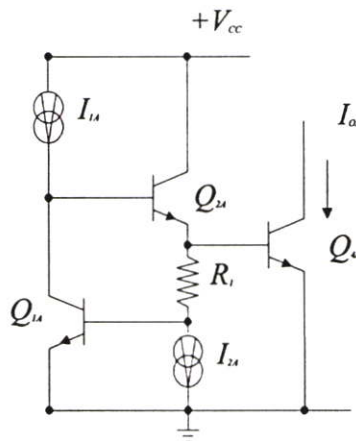
$$I_{2A}R_1 = V_T \ln \frac{I_{OA}}{I_{1A}} \quad (5.52)$$



รูปที่ 5.16 แสดงวงจรขยายสัญญาณแบบแอนติล็อกการิมิก

ดังนั้นค่ากระแสเข้าที่พู่ท  $I_{OA}$  ของวงจรขยายสัญญาณแบบแอนติล็อกการิมิกแสดงในสมการที่(5.53)

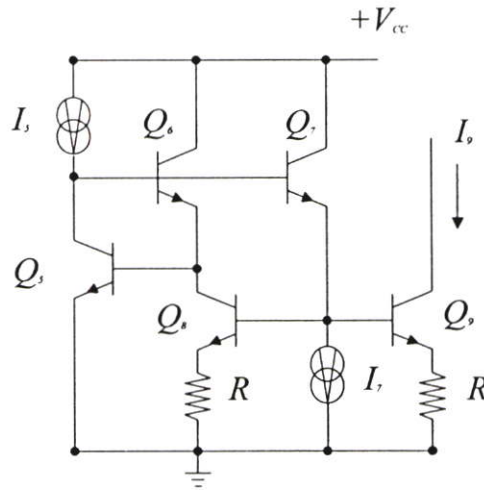
$$I_{OA} = I_{1A} e^{\frac{I_{2A} R_1}{V_T}} \quad (5.53)$$



รูปที่ 5.17 แสดงวงจรขยายสัญญาณแบบแอนติล็อกการิมิกที่ลดรูป

จากรูปที่ 5.17 แสดงวงจรขยายสัญญาณแบบแอนติล็อกการิมิกที่ขึ้นตรงต่ออุณหภูมิโดยสามารถลดทรานซิสเตอร์  $Q_{3A}$  จากวงจรพื้นฐานในรูปที่ 5.16 ได้ 1 ตัว เนื่องจากการเลือกใช้ค่ากระแส  $I_{3A} = I_{2A}$  ในสมการที่(5.51) จากสมการที่(5.53) จะพบว่ากระแสเข้าที่พู่ทยังไม่คงที่จะแปรผกผันกับอุณหภูมิในรูปฟังก์ชันเอ็กโพเนนเชียล การออกแบบถ้าต้องการทำให้วงจรมีเสถียรภาพมากขึ้น ในการนำไปใช้งานควรมีการชดเชยผลของอุณหภูมิตามไปด้วย ซึ่งหมายความว่าเทอมของ  $V_T$  ในสมการที่(5.53) ซึ่งเป็นค่าของแรงดันที่ขึ้นกับอุณหภูมิ(Thermal Voltage) จะต้องถูกชดเชยให้หมดไปดังที่กล่าวมาในรูปที่ 5.15

วงจรขยายสัญญาณล็อกการิมิก ส่วนนี้ทำหน้าที่เป็นส่วนของการชดเชยอุณหภูมิ(Compensate Circuit)[36] วงจรที่ใช้ประกอบด้วยทรานซิสเตอร์ NPN เพียงอย่างเดียว คือ  $Q_5$  ถึง  $Q_9$  ทำงานร่วมกับความต้านทานที่มีค่าเท่ากัน 2 ตัว และแหล่งจ่ายกระแสคงที่ 2 ตัว คือ  $I_5$  และ  $I_7$  เพื่อสร้างกระแส  $I_9$  ซึ่งทำหน้าที่เป็นกระแสเข้าที่พู่ทของวงจร แสดงดังรูปที่ 5.18  $I_9$  จะมีกระแสไหลดังสมการที่(5.54) เป็นไปตามฟังก์ชันล็อกการิมิกในสมการ(5.23)



รูปที่ 5.18 แสดงการชดเชยอุณหภูมิด้วยวงจรขยายสัญญาณล็อกการิมิก

$$I_9 = \frac{V_T}{R} \ln \frac{I_5}{I_7} \quad (5.54)$$

ถ้าเลือกให้  $\ln$  มีค่าเหมาะสมทำให้เกิดการชดเชยได้  $\frac{I_5}{I_7} = e$  จึงควรมีค่าเท่ากับ 2.713 ดังนั้น จะได้ดังสมการ(5.55)

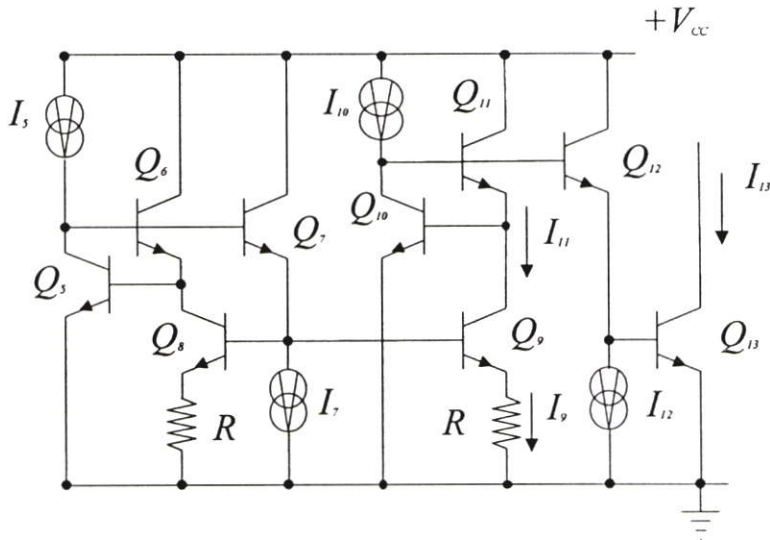
$$I_9 = \frac{V_T}{R} \quad (5.55)$$

จากรูปที่ 5.18 พบว่ากระแสเข้าที่พู่ทของวงจรขยายสัญญาณล็อกการิมิก  $I_9$  ที่ได้จะขึ้นกับอุณหภูมิ ดังแสดงในสมการ(5.55) ถ้าเรานำสมการที่(5.55) ไปแทนใน  $I_{2A}$  ในสมการ(5.53) ก็จะสามารถชดเชยผลของอุณหภูมิ คือค่า  $V_T$  ถูกทำให้หมดไปได้ แต่จะมีปัญหาที่ไม่สามารถรับสัญญาณทางอินพุตได้ เนื่องจาก  $I_{2A}$  เป็นอินพุตจึงไม่มีตัวแปรใดที่เป็นอินพุตในเทอมกระแสของสมการ(5.53) ที่จะทำให้เกิดเป็นฟังก์ชันเอ็กโพเนนเชียล นั่นหมายความว่าค่าที่เกิดทางเข้าพู่ทจะไม่เป็นตามอินพุต เพื่อให้สามารถป้อนสัญญาณทางอินพุตไปใช้งานได้อย่างสมบูรณ์ ในวงจรขยายสัญญาณแบบแอนติล็อกแบบมีการชดเชยอุณหภูมิ จึงจำเป็นต้องนำค่ากระแส  $I_9$  ของวงจรรูปที่ 5.18 ไปทำการขยายโดยมีกระแสอินพุตจากภายนอกเพิ่มเติมเข้า เพื่อใช้เป็นสัญญาณป้อนอินพุตดังที่กล่าวมา ในหลักการนี้จึงใช้วงจรทางคณิตศาสตร์(Arithmetic Circuit)มาช่วย คือวงจรคูณ และหารมาเชื่อมสัญญาณดังแสดงในรูปที่ 5.19

โดยนำค่า  $I_9$  ที่ได้ไปคูณกับกระแสทางอินพุท ในที่นี้คือค่า  $I_{10}$  ด้วยวงจรถูก และหาร จึงจะสามารถกำหนดการป้อนสัญญาณทางอินพุทได้

จากวงจรรูปที่ 5.19 พิจารณาการทำงานของวงจรถูก และหารประกอบด้วยทรานซิสเตอร์  $Q_{10}$  ถึง  $Q_{13}$  จะพบว่า

$$I_{13} = \frac{I_{10}I_9}{I_{12}} \quad (5.56)$$



รูปที่ 5.19 แสดงวงจรถูกขยายสัญญาณแอนติล๊อคการิมิกทำงานร่วมกับวงจรถูก/หาร

แทนค่าสมการที่ (5.55) ด้วย  $I_9$  ในสมการที่ (5.56) จะได้เป็นสมการที่ (5.57)

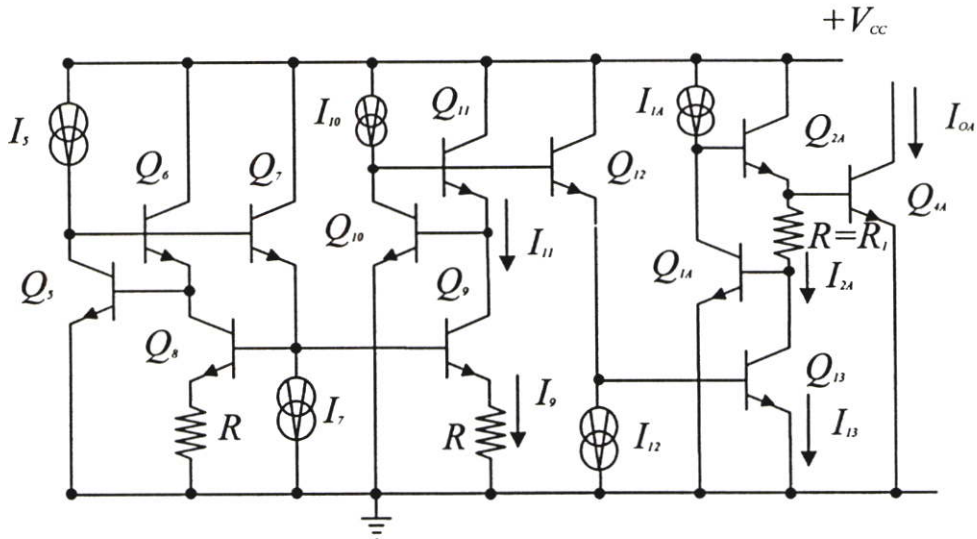
$$I_{13} = \frac{I_{10}}{I_{12}} \left( \frac{V_T}{R} \right) \quad (5.57)$$

ดังนั้นจะเห็นได้ว่าในรูปที่ 5.19 สามารถนำเอาค่าจากวงจรถูกสัญญาณล๊อคการิมิกที่เป็น  $I_9$  ที่ขึ้นกับอุณหภูมิคือค่า  $V_T$  นำมาสร้าง  $I_{13}$  และมีกระแสอินพุทใช้งานเพิ่มเติมเข้ามาอีก  $I_{10}$  และ  $I_{12}$  สามารถนำไปแทนใน  $I_{2A}$  ในรูปที่ 5.17 เพื่อหาค่าของอุณหภูมิที่ได้กล่าวแล้ว และได้สมการของวงจรถูกขยายสัญญาณแบบแอนติล๊อคการิมิกที่ไม่ขึ้นกับอุณหภูมินี้แสดงในสมการที่ (5.58) โดยรูปวงจรที่สมบูรณ์แสดงในรูปที่ 5.20 ซึ่งมี  $I_{10}$  เป็นกระแสอินพุท  $I_{1A}$  และ  $I_{12}$  เป็นค่ากระแสที่  $I_{OA}$  เป็นค่ากระแสเอาต์พุท

$$I_{OA} = I_{1A} e^{\frac{I_{10}}{I_{12}}} \quad (5.58)$$

### 5.5.3 วงจรขยายสัญญาณแอนติล็อกการิมิคที่มีการชดเชยผลของอุณหภูมิ

จากรูปวงจขยายสัญญาณแอนติล็อกการิมิคที่มีการชดเชยอุณหภูมิที่มีการทำงานด้วยทรานซิสเตอร์ NPN เพียงอย่างเดียว ทำงานด้วยแรงดันขนาดต่ำ ในโหมดกระแสเป็นไปดังสมการที่ (5.58) กระแสที่เกิดทางเข้าที่พุทจะไม่ขึ้นตรงต่ออุณหภูมิ และเป็นไปในรูปของฟังก์ชันเอ็กโพเนนเชียลของวัตถุประสงค์การวิจัย



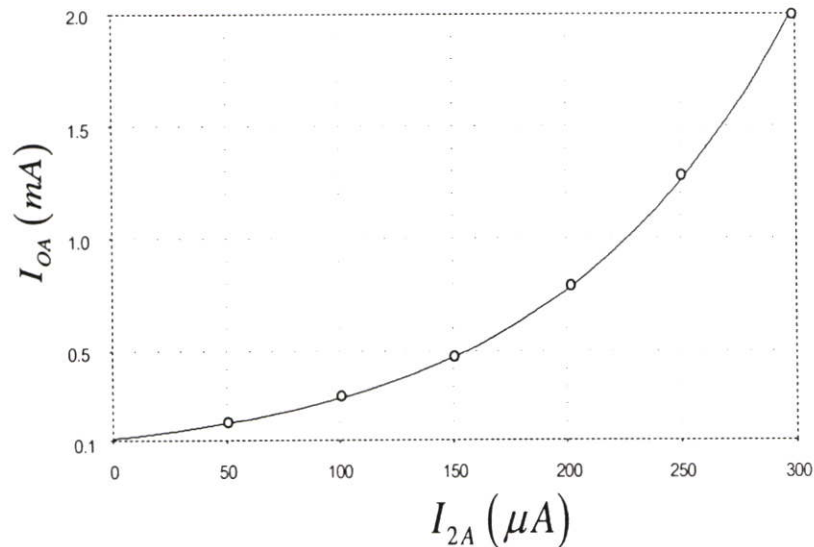
รูปที่ 5.20 แสดงวงจขยายสัญญาณแอนติล็อกการิมิคที่มีการชดเชยอุณหภูมิ

### 5.5.4 ผลการเลียนแบบการทำงานของวงจรด้วยโปรแกรม PSPICE

ในวงจรที่ได้นำเสนอประกอบด้วยวงจรแอกทิฟที่เลือกใช้เพียงทรานซิสเตอร์ NPN เท่านั้น ดังนั้นในการเลียนแบบการทำงานของวงจรจึงเลือกใช้แบบจำลองจากทรานซิสเตอร์เบอร์ 2N3904 ซึ่งในโปรแกรมแสดงคุณลักษณะในบทที่ 2 คุณสมบัติทางด้านความถี่คัทออฟของทรานซิสเตอร์เบอร์นี้มีค่าเท่ากับ  $300\text{ MHz}$  ส่วนค่าของ  $+V_{cc}$  เลือกใช้เพียง  $2\text{ Volts}$  ก็สามารปฏิบัติงานได้  $2V_{BE} + V_{CEsat} + IR \approx 1.8\text{ Volts}$  ดังนั้นแรงดัน  $2\text{ Volts}$  จึงพอเพียงเป็นแหล่งจ่ายแรงดันให้วงจร และภายในวงจขยายสัญญาณแอนติล็อกการิมิคมีอุปกรณ์พาสซีฟเป็นค่าความต้านทานทั้งหมด 3 ตัวเลือกใช้  $R = R_1$  เท่ากันทุกตัว ดังนั้นเพื่อให้เห็นคุณลักษณะของวงจขยายสัญญาณในรูปแบบเอ็กโพเนนเชียลขณะที่ยังไม่ได้ชดเชยผลของอุณหภูมิดังรูปที่ 5.17 โดยกำหนดการเลียนแบบวงจรที่มี  $I_{1A} = 100\mu A$ ,  $R_1 = 260\ \Omega$ ,  $V_T = 26\text{ mV}$  ซึ่งแสดงผลของคุณลักษณะของวงจขยายสัญญาณแบบเอ็กโพเนนเชียลในรูปแบบกระแสทางเข้าที่พุท และผลของการชดเชยทางอุณหภูมิของวงจรในรูปที่ 5.20 ตามลำดับ

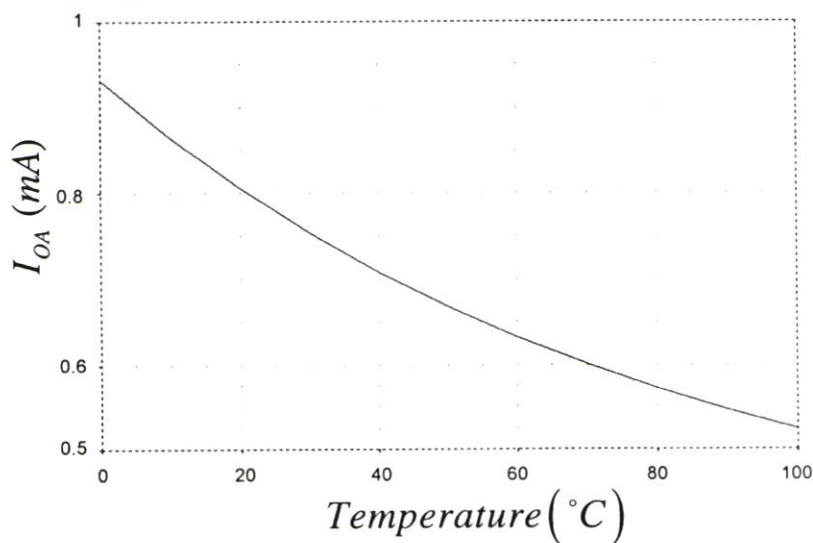
#### 5.5.4.1 การทดสอบการทำงานของวงจรถยายสัญญาณแอนติล็อกการิมิกที่ขึ้นตรงต่ออุณหภูมิ

พิจารณาจากรูปที่ 5.17 ถึงการทำงานตามฟังก์ชันเอ็กโพเนนเชียล กำหนดค่าการทำงานที่อุณหภูมิ  $25^{\circ}\text{C}$  โดยทดสอบจากค่า  $I_{1A}$  เป็นค่ากระแสคงที่ให้ไบอัสแก่  $Q_{1A}$  มีค่าเท่ากับ  $100\mu\text{A}$  และมี  $I_{2A}$  เป็นกระแสอินพุตที่มีค่าเปลี่ยนแปลงตั้งแต่ 0 ถึง  $300\mu\text{A}$  จะให้ค่ากระแส  $I_{OA}$  ซึ่งเป็นกระแสทางเอาต์พุตจะมีค่าเปลี่ยนแปลงตั้งแต่  $100\mu\text{A}$  จนถึงค่า  $2\text{mA}$  และเป็นไปตามการขยายสัญญาณแอนติล็อกการิมิกแสดงในรูปที่ 5.21



รูปที่ 5.21 แสดงค่ากระแสเอาต์พุตที่เกิดขึ้นจากรูปที่ 5.16 เมื่อเปลี่ยนค่ากระแส  $I_{2A}$  ที่อุณหภูมิ  $25^{\circ}\text{C}$

#### 5.5.4.2 การทดสอบถึงสมรรถนะทางด้านอุณหภูมิของวงจรถยายสัญญาณแอนติล็อกการิมิกที่ขึ้นตรงต่ออุณหภูมิ

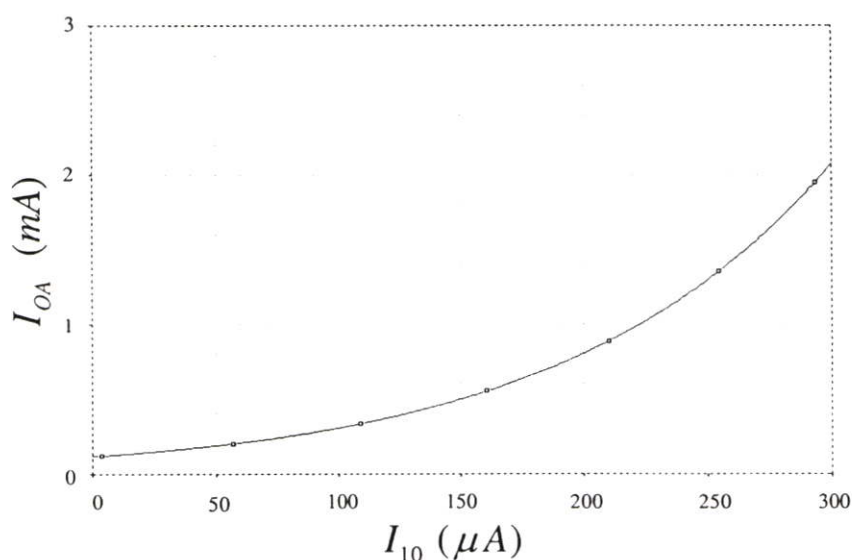


รูปที่ 5.22 แสดงค่ากระแส  $I_{OA}$  ของวงจรถยายสัญญาณแบบแอนติล็อกการิมิกที่ขึ้นตรงต่ออุณหภูมิ

ในส่วนของวงจรขยายสัญญาณแบบแอนติล็อกการิมิกในรูปที่ 5.17 เมื่อทำการเปลี่ยนแปลงอุณหภูมิการทำงานให้มีค่า 0-100 °C ค่าที่ได้ทางเข้าที่พุทจะเกิดการเปลี่ยนแปลงจากค่า 0.92 mA. ลดลงจนถึง 0.53 mA เทียบค่าได้ว่าเมื่อค่าอุณหภูมิสูงค่าที่เข้าที่พุทจะต่ำลงดังรูปที่ 5.22

#### 5.5.4.3 การจำลองค่าคุณสมบัติทางกระแสอินพุทเทียบกับค่ากระแสเข้าที่พุท

จากรูปการทำงานของวงจรขยายสัญญาณแอนติล็อกการิมิกที่มีการชดเชยอุณหภูมิในรูปที่ 5.20 ซึ่งให้ผลของคุณลักษณะที่จำลองผลการทำงานทางด้านการตอบสนองต่อกระแสทางอินพุทที่มีการเปลี่ยนแปลงจากค่า 0  $\mu A$  ถึง 300  $\mu A$  โดยป้อนอินพุททางอ้อมในวงจรคุณค่าคือ  $I_{10}$  และผลทางเข้าที่พุทจะมีค่าตั้งแต่ค่า 100  $\mu A$  ถึง 2.10 mA เป็นไปตามสมการที่ (5.57)

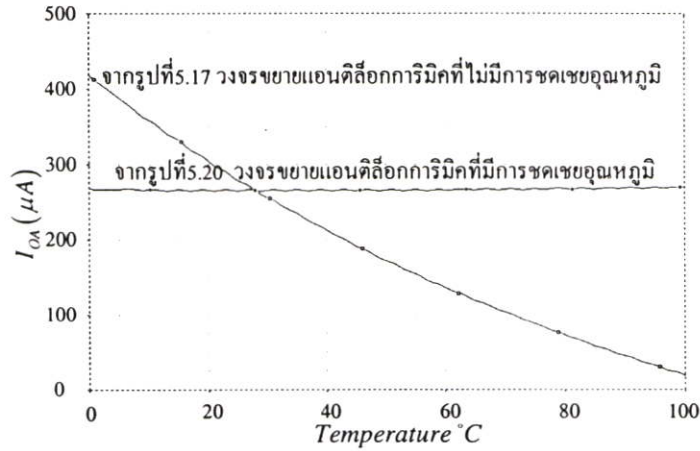


รูปที่ 5.23 แสดงค่ากระแส  $I_{OA}$  ของวงจรขยายสัญญาณแอนติล็อกการิมิกที่มีการชดเชยอุณหภูมิในรูปที่ 5.20 โดยทำการเปลี่ยนค่ากระแส  $I_{10}$  จาก 0 ถึง 300  $\mu A$

#### 5.5.4.4 การทดสอบสมรรถนะทางด้านอุณหภูมิ

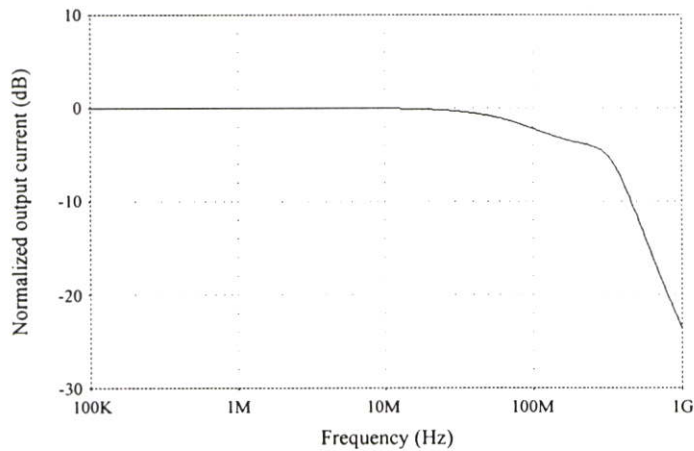
ในรูปที่ 5.24 แสดงผลการเปรียบเทียบกระแส  $I_{OA}$  ของวงจรที่มีการชดเชยอุณหภูมิรูปที่ 5.20 กับวงจรที่ไม่มีการชดเชยในรูปที่ 5.17 เมื่อทำการเปลี่ยนแปลงอุณหภูมิ 0 ถึง 100 °C ค่ากระแสทางอินพุทป้อนให้กับวงจรมีค่าเท่ากับ 100  $\mu A$  ค่าที่เกิดขึ้นในวงจร จะเห็นได้ว่าวงจรที่มีการชดเชยอุณหภูมิไม่ว่าจะมีการเปลี่ยนแปลงอุณหภูมิไปอย่างไรก็ตามยังให้ค่าที่เข้าที่พุทที่ประมาณ 280 ไมโครแอมป์ ที่จุดเปรียบเทียบค่าทั้งสองวงจรตัดกันที่อุณหภูมิ 25 °C เป็นจุดที่ทำงานของวงจรทั้งสองที่ให้ค่าที่เข้าที่พุท

ได้ถูกต้องได้กำหนดการเขียนแบบการทำงานของวงจรที่มี  $I_7 = I_{12} = 100 \mu A$   $I_5 = 273 \mu A$ ,  
 $R_1 = R = 260 \Omega$



รูปที่ 5.24 แสดงค่าเข้าที่พู่ทของวงจขยายสัญญาณแอนติล็อกการิมิกที่ไม่มีการชดเชยอุณหภูมิเทียบกับ  
 วงจขยายสัญญาณแอนติล็อกการิมิกที่มีการชดเชยอุณหภูมิ

#### 5.5.4.5 การทดสอบสมรรถนะทางด้านความถี่



รูปที่ 5.25 แสดงคุณสมบัติทางความถี่ของวงจขยายสัญญาณแอนติล็อกการิมิกของรูปที่ 5.20

การทำงานในรูปที่ 5.25 เป็นการทำงานของวงจแอนติล็อกการิมิกที่มีการชดเชยอุณหภูมิแสดงถึงค่าตอบสนองต่อความถี่ของวงจรูปที่ 5.20 จากคุณสมบัติการทำงานของวงจซึ่งมีพื้นฐานของวงจขยายสัญญาณล็อก และวงจคูณและหารค่าเป็นส่วนประกอบของวงจหลัก การทำงานของวงจซึ่งมีการออกแบบ และการใช้งานในด้านความถี่ โดยใช้ทรานซิสเตอร์เบอร์ 2N3904 ซึ่งค่าตอบสนองของความถี่ที่เข้าที่พู่ท โดยป้อนค่าอินพุทของวงจที่  $100 \mu A$  มีผลใกล้เคียงกับวงจขยายสัญญาณล็อกการิมิกเป็นอย่างดี ซึ่งจากค่าความถี่ที่มีค่าใกล้เคียงกัน จึงเหมาะสมที่จะนำไปใช้งานร่วมกันเป็นไปตามหลักการที่นำเสนอ

## 5.6 บทสรุป

ในการนำเสนอวิธีการชดเชยอุณหภูมิในวงจรแบบทรานส์ลิเนียร์รูปเป็นอีกแนวทางหนึ่งที่ได้ทำการวิจัยและพัฒนาขึ้น โดยการออกแบบวงจรจะอาศัยหลักการของวงจรรวมที่นำทรานซิสเตอร์มาใช้เพียงชนิด NPN อย่างเดียว การทำงานของวงจรจะอยู่ในรูปแบบกระแส โดยวงจรแรกเป็นวงจรขยายสัญญาณแบบขยายสัญญาณทางคณิตศาสตร์ในรูปฟังก์ชันทางลอการิทึม ส่วนวงจรที่สองนำเสนอวงจรขยายสัญญาณแอนติลอการิทึม ซึ่งรูปแบบทั้งสองมักจะมีการใช้งานร่วมกันเสมอในวงจรบีบอัดสัญญาณให้มีขนาดจำกัดใช้วงจรขยายสัญญาณแบบลอการิทึม และทำการขยายสัญญาณด้วยวงจรขยายสัญญาณแบบแอนติลอการิทึมให้มีค่าเหมือนอินพุตในรูปแบบกระแส วงจรจะมีการชดเชยอุณหภูมิ จึงสามารถใช้งานได้ดีที่ทุกค่าของอุณหภูมิ การนำเสนอในรูปแบบกระแสทำให้วงจรมีขนาดเล็ก และใช้แรงดันต่ำเพียง 2 โวลต์ ทำให้เกิดความสะดวกในการใช้งานในเรื่องความรวดเร็ว และประสิทธิภาพสูง ซึ่งเหมาะนำไปทำเป็นวงจรรวม และนำไปใช้ในเครื่องมือวัดที่มีความแตกต่างของอุณหภูมิในทางปฏิบัติได้ดี

## บทที่ 6

# การชดเชยอุณหภูมิในวงจรเรียงกระแสเต็มคลื่นโดยใช้โอทีเอ

### 6.1 บทนำ

วงจรเรียงกระแสแบบเต็มคลื่นเป็นวงจรหนึ่งที่มีความสำคัญเพื่อใช้สำหรับการประมวลผลสัญญาณแบบแอนะล็อก และเป็นวงจรที่มีการประยุกต์ใช้งานกันอย่างกว้างขวางทั้งในด้านการสื่อสารโทรคมนาคม และในเครื่องมือวัดต่างๆ เช่น ในวงจรตรวจจับค่ายอดสัญญาณชายัน (Peak Amplitude Detector)[38] ใช้ในการแปลงค่าสัญญาณ RMS เป็นกระแสตรง[39] หรือใช้ในวงจรคอมแพนเดอร์ (Compander) วงจรเอกซ์แพนเดอร์ (Expander)[40],[41] ของระบบโทรศัพท์ วงจรเรียงกระแสแบบเต็มคลื่นมีการประยุกต์ใช้งานอย่างกว้างขวางทั่วไป ในวงจรอิเล็กทรอนิกส์เช่น วงจรหาค่าสมบูรณ์ (Absolute-Value Circuit)[43] วงจรหาค่าเฉลี่ย (Average Circuit) วงจรเปลี่ยนสัญญาณกระแสสลับเป็นกระแสตรง (AC to DC Converter) แต่เดิมนั้นอุปกรณ์ที่นำมาใช้งานคือไดโอดกับหม้อแปลงแรงดันไฟฟ้า วิธีการนี้เหมาะสำหรับสัญญาณที่มีขนาดใหญ่ ในส่วนของสัญญาณขนาดเล็กจะทำได้ไม่ดี หรือทำไม่ได้เลย ทั้งนี้เนื่องจากขีดจำกัดของซิลิคอนไดโอด (Silicon Diode) ที่ไม่สามารถทำงานในสภาวะที่สัญญาณอินพุตมีขนาดต่ำกว่า 0.6 โวลต์ อีกทั้งตัวหม้อแปลงเมื่อเทียบกับอุปกรณ์อื่นๆ เช่น ตัวต้านทาน ไดโอดแล้ว ยังมีขนาดใหญ่ และมีน้ำหนักมาก ดังนั้นจึงไม่เหมาะที่จะนำไปใช้งานกับวงจรที่ใช้กับกำลังสัญญาณต่ำๆ เมื่อปี ค.ศ. 1977-1989 มา นี้ มีการนำเสนอวิธีการออกแบบวงจรเรียงกระแสแบบเต็มคลื่น ในรูปแบบการนำออปแอมป์ และไดโอดมาทำงานร่วมกันเพื่อแก้ปัญหาที่กล่าวมา[45] หรือใช้ไบโพลาร์ทรานซิสเตอร์ที่ไบอัสให้ทำงานที่คลาส B[42],[43] ซึ่งทั้งสองวงจรมีจะเกิดผิดพลาดที่สัญญาณเข้าที่พุ่งขึ้นที่บริเวณช่วงสัญญาณผ่านจุดศูนย์เนื่องจากการเปลี่ยนสภาวะเมื่อนำกระแส และไม่นำกระแสของทรานซิสเตอร์หรือไดโอด ในวิธีการอื่นๆอีก ที่ใช้ออกแบบวงจรเรียงกระแสโดยใช้เทคนิคการตรวจจับกระแสที่จ่ายให้กับออปแอมป์ (Operation-Amplifier Supply-Current Sensing Technique)[44] ซึ่งวิธีนี้มีข้อจำกัดอยู่ที่ขนาดของสัญญาณกระแสทางอินพุตต้องมากกว่าสี่เท่าของกระแสที่ใช้ไบอัสให้กับออปแอมป์ เพื่อหลีกเลี่ยงความผิดพลาดเนื่องจากคุณสมบัติความไม่เป็นเชิงเส้นของออปแอมป์[45-46] นอกจากวิธีการดังที่กล่าวมานี้ ยังมีการออกแบบวงจรเรียงกระแสแบบเต็มคลื่น โดยอาศัยหลักการของวงจรสายพานกระแส และไดโอด [46],[47] ซึ่งวิธีนี้ใช้เทคนิคการให้ไบอัสแก่ไดโอดตรงบริเวณจุดที่เริ่มนำกระแส เพื่อหลีกเลี่ยงการเปลี่ยนสภาวะไม่ทันของไดโอดระหว่างสภาวะนำกระแส และไม่นำกระแส วงจรเรียงกระแสจัดได้ว่าเป็นบล็อกวงจรพื้นฐานที่มีความสำคัญมาก โดยทั่วไปแล้ว วงจรเรียงกระแสที่นำมาใช้งานกันจะอยู่ในโหมดแรงดัน ซึ่งถูกสร้างขึ้นบนพื้นฐานของการใช้ออปแอมป์กับไดโอด ซึ่งจะพบว่ามีปัญหาอัน

เนื่องมาจากพฤติกรรมทางด้านทรานเซียน (Transient) ของสัญญาณขนาดเล็กในสภาวะการสวิทซ์ ON และ OFF ของไดโอดนั้นจะแสดงพฤติกรรมที่เกิดการผิดเพี้ยนของสัญญาณขึ้นในช่วงของการตัดผ่าน ศูนย์ [42-45] ซึ่งปัญหานี้ได้ถูกปรับปรุงมาตลอดโดยคัง [42-48] เพื่อแก้ปัญหาที่กล่าวมาทั้งหมดนี้ จึงได้มีการนำการใช้งานของโอทีเอมานำเสนอในบทนี้

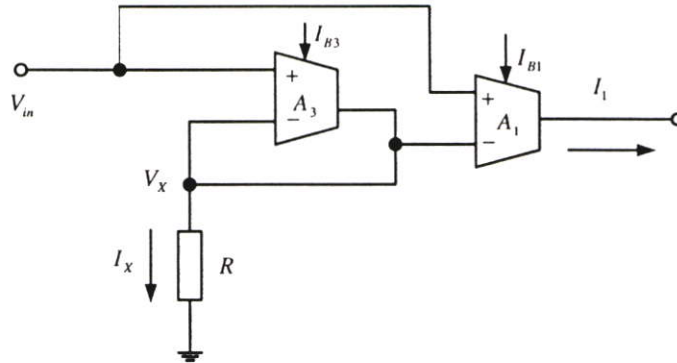
## 6.2 วงจรเรียงกระแสครึ่งคลื่นในโหมดกระแส

เมื่อเร็วๆ นี้มีสิ่งที่น่าสนใจมาก ในการออกแบบวงจรของการประมวลผลสัญญาณในโหมดกระแส เพราะว่าวงจรในโหมดกระแสให้สมรรถนะทางความถี่สูงได้ดีกว่าเมื่อเปรียบเทียบกับวงจรในโหมดแรงดัน ดังนั้นจึงได้มีการนำเสนอมุมมองวงจรเรียงกระแสแบบเต็มคลื่นโดยใช้วงจรสายพานกระแสกับไดโอดพร้อมทั้งได้มีการปรับปรุงแก้ไขปัญหาต่างๆ ที่กล่าวมา นอกจากนั้นแล้ว วงจรเรียงกระแสแบบเต็มคลื่นยังได้นำมาออกแบบ โดยใช้หลักการตรวจจับกระแสของแหล่งจ่ายของวงจรสายพานกระแสด้วย เป็นที่ยอมรับกันดีว่าโอทีเอเป็นบล็อกของวงจรอุปกรณ์ประเภทแอคทีฟที่มีความสำคัญในวงจรประมวลผลสัญญาณแอนะล็อก ในอดีตได้มีการนำโอทีเอกับไดโอดมาสร้างฟังก์ชันไม่เป็นเชิงเส้น [49-53] แต่อย่างไรก็ตามมีบทความไม่มากนักที่ใช้วงจรขยายโอทีเอสำหรับนำมาออกแบบวงจรเรียงกระแสแบบเต็มคลื่น [48] นอกจากนั้น วงจรเรียงกระแสที่พบเป็นส่วนใหญ่จะใช้ไดโอดหรือทรานซิสเตอร์เป็นกุญแจสำคัญในการทำหน้าที่ในการเรียงกระแส และก็ดูประหนึ่งว่าวงจรเรียงกระแสจะยังไม่เคยถูกสร้างขึ้นโดยใช้วงจรขยายโอทีเอเพียงอย่างเดียว จุดมุ่งหมายของวิทยานิพนธ์นี้ จะนำเสนอหลักการออกแบบวงจรเรียงกระแส โดยใช้คุณลักษณะของวงจรขยายคิฟเฟอเรนเชียลภายในตัวโอทีเอ ซึ่งวงจรเรียงกระแสแบบเต็มคลื่นที่ได้นำเสนอขึ้นนี้ มีการออกแบบโดยใช้วงจรขยายโอทีเอที่จัดว่าเป็นอุปกรณ์ประเภทแอคทีฟที่มีการใช้งานกันมากมายในรูปแบบกระแสมาทำการออกแบบวงจรเรียงกระแสเต็มคลื่นที่ให้การพัฒนาใหม่ และได้มีการปรับปรุงข้อจำกัดของโอทีเอในเรื่องแรงดันทางอินพุตกับอุณหภูมิที่มีผลกับค่าอัตราขยายทรานส์คอนดักแตนซ์ของโอทีเอด้วย

### 6.2.1 วงจรเรียงกระแสครึ่งคลื่นใช้วงจรขยายโอทีเอทำงานร่วมกับความต้านทานที่มีการชดเชยอุณหภูมิ

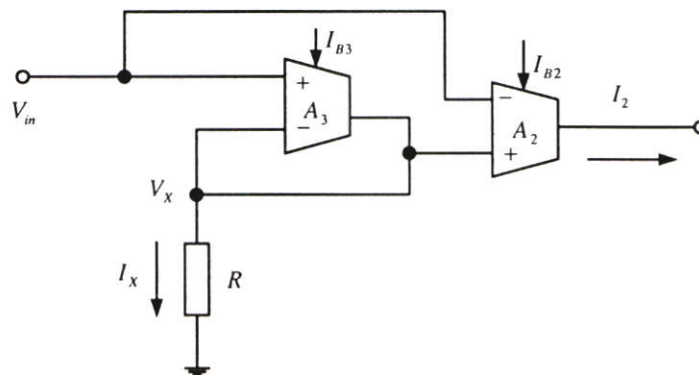
วงจรเรียงกระแสครึ่งคลื่นชนิดพื้นฐาน โดยใช้วงจรขยายโอทีเอทำงานร่วมกับความต้านทานในรูปแบบโวลต์เตจเปลี่ยนเป็นกระแสที่ได้กล่าวมาในหัวข้อที่ 4.4.2 สามารถพิจารณาความสัมพันธ์ระหว่างกระแส  $I_1$  กับแรงดันจุดเข้า  $V_{in}$  ได้จากรูปที่ 6.1 ซึ่งแสดงความสัมพันธ์ระหว่างกระแส  $I_1$  กับ

แรงดัน  $V_{in}$  ก็คือวงจรเปลี่ยนแรงดันเป็นกระแส โดยความสัมพันธ์ของ  $I_1$  และ  $V_{in}$  สามารถหาได้ดังนี้ ถ้า  $V_{in} > 0$  โอตีเอ  $A_1$  จะจ่ายกระแส  $I_1$  โดยมีทิศทางไหลออกจากจุดออกของโอตีเอ  $A_1$  ในทางตรงกันข้ามถ้า  $V_{in} < 0$  จะเกิดกระแส  $I_1$  ไหลเข้าโอตีเอ  $A_1$  ดังเขียนเป็นสมการความสัมพันธ์ได้ ดังสมการที่(6.1) โดยที่  $I_{B1}$  และ  $I_{B3}$  คือ กระแสไบอัสของโอตีเอ  $A_1$  และ  $A_3$  ตามลำดับ ค่ากระแส  $I_1$  ที่เกิดขึ้นในวงจรจะไม่ขึ้นตรงต่ออุณหภูมิ และยังสามารถปรับค่าได้ทางอิเล็กทรอนิกส์จากภายนอก ซึ่งการทำงานในรูปแบบนี้ได้อธิบายในสมการที่(4.29)แล้ว



รูปที่6.1 แสดงความสัมพันธ์ระหว่างกระแส  $I_1$  กับแรงดันจุดเข้า  $V_{in}$

$$I_1 = \begin{cases} \frac{I_{B1}}{I_{B3}} \left( \frac{V_{in}}{R} \right) & : V_{in} > 0 \\ -\frac{I_{B1}}{I_{B3}} \left( \frac{V_{in}}{R} \right) & : V_{in} < 0 \end{cases} \quad (6.1)$$



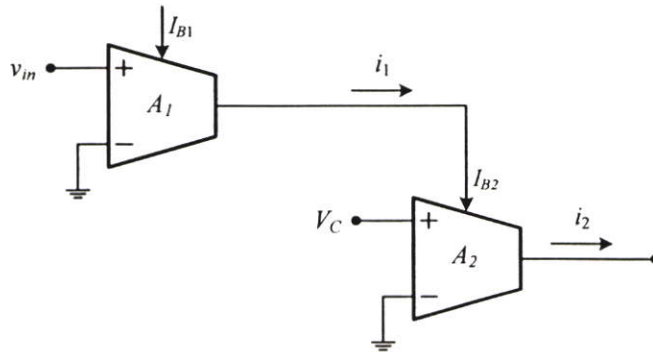
รูปที่6.2 แสดงความสัมพันธ์ระหว่างกระแส  $I_2$  กับแรงดันจุดเข้า  $V_{in}$

ในทำนองเดียวกันเมื่อสลับขา(+)และขา(-)ของโอทีเอ  $A_1$  ในรูปที่6.1 แทนด้วย  $A_2$  ดังแสดงในรูปที่6.2 กระแสที่เกิดขึ้นจะตรงข้ามกับสมการที่(6.1) เมื่อสัญญาณทางอินพุตที่ป้อนให้สามารถพิจารณาความสัมพันธ์ระหว่างกระแส  $I_2$  กับแรงดันจุดเข้า  $V_{in}$  แสดงดังรูปที่6.2 ความสัมพันธ์ของ  $I_2$  และ  $V_{in}$  สามารถหาได้ดังนี้ ถ้า  $V_{in} > 0$  จะเกิดกระแส  $I_2$  ไหลเข้าโอทีเอ  $A_2$  ในทางตรงกันข้ามถ้า  $V_{in} < 0$  โอทีเอ  $A_2$  จะจ่ายกระแส  $I_2$  โดยมีทิศทางไหลออกจากจุดออกของโอทีเอ  $A_2$  ซึ่งเขียนเป็นสมการความสัมพันธ์ได้ดังสมการที่(6.2)

$$I_2 = \begin{cases} -\frac{I_{B2}}{I_{B3}} \left( \frac{V_{in}}{R} \right) & : V_{in} > 0 \\ \frac{I_{B2}}{I_{B3}} \left( \frac{V_{in}}{R} \right) & : V_{in} < 0 \end{cases} \quad (6.2)$$

จากสมการที่(6.1),(6.2) ค่ากระแส  $I_1, I_2$  ที่เกิดขึ้นในวงจรเรียงกระแสครึ่งคลื่น แบบบวกหรือแบบลบ โดยทำการควบคุมการเรียงกระแสที่  $I_{B1}, I_{B2}$  และ  $I_{B3}$  ที่ทำหน้าที่เป็นกระแสไบอัสให้โอทีเอ  $A_1, A_2$  และ  $A_3$  ตามลำดับ

### 6.2.2 วงจรเรียงกระแสครึ่งคลื่นใช้วงจรขยายโอทีเอเพียงอย่างเดียวที่ขึ้นตรงต่ออุณหภูมิ



รูปที่6.3 วงจรเรียงกระแสครึ่งคลื่นชนิดพื้นฐาน

พื้นฐานของวงจรเรียงกระแสแบบครึ่งคลื่นแสดงดังในรูปที่6.3 จะประกอบด้วยโอทีเอสองตัว และแหล่งจ่ายแรงดันคงที่  $V_C$  ส่วนโอทีเอ1 ทำหน้าที่เปลี่ยนแรงดันอินพุต  $V_{in}$  ให้เป็นกระแส  $i_1$  ซึ่งมีค่าเท่ากับ  $g_{m1} V_{in}$  โดยที่  $g_{m1} = I_{B1} / 2V_T$  และ  $I_{B1}$  เป็นกระแสไบอัส กระแสเข้าที่พุท  $i_1$  ของโอทีเอ1 จะถูก

ส่งต่อไปในฐานะที่เป็นกระแสไบอัสให้กับโอทีเอ2 และโอทีเอ2 จะทำงานเมื่อกำหนดจ่ายแรงดันคงที่  $V_C \gg 2V_T$  จะได้กระแสเข้าที่พู่  $i_2$  สามารถแสดงได้ดังสมการที่(6.3)

$$i_2 = \begin{cases} g_{m1} v_{in} & \text{for } v_{in} > 0 \\ 0 & \text{for } v_{in} < 0 \end{cases} \quad (6.3)$$

ในทางตรงกันข้าม เมื่อ  $V_C \ll -2V_T$  กระแสเข้าที่พู่  $i_2$  จะสามารถกำหนดให้เป็นดังนี้

$$i_2 = \begin{cases} -g_{m1} v_{in} & \text{for } v_{in} > 0 \\ 0 & \text{for } v_{in} < 0 \end{cases} \quad (6.4)$$

จากสมการที่(6.3) และ(6.4) สามารถบ่งชี้ให้เห็นว่าสามารถนำไปสร้างเป็นวงจรเรียงกระแสแบบครึ่งคลื่นแบบบวก และแบบลบตามลำดับ ซึ่งขึ้นอยู่กับ การควบคุมทิศทางของแหล่งจ่ายแรงดัน  $V_C$  สำหรับระดับแรงดันควบคุมที่ดีของวงจรเรียงกระแส ค่าแรงดันดีซีจะต้องอยู่ในช่วง  $|200\text{mV}| \leq |v_C| \leq |5\text{V}|$  ในสถานะที่ทำงานด้วยแหล่งจ่ายไฟ  $\pm 5\text{V}$

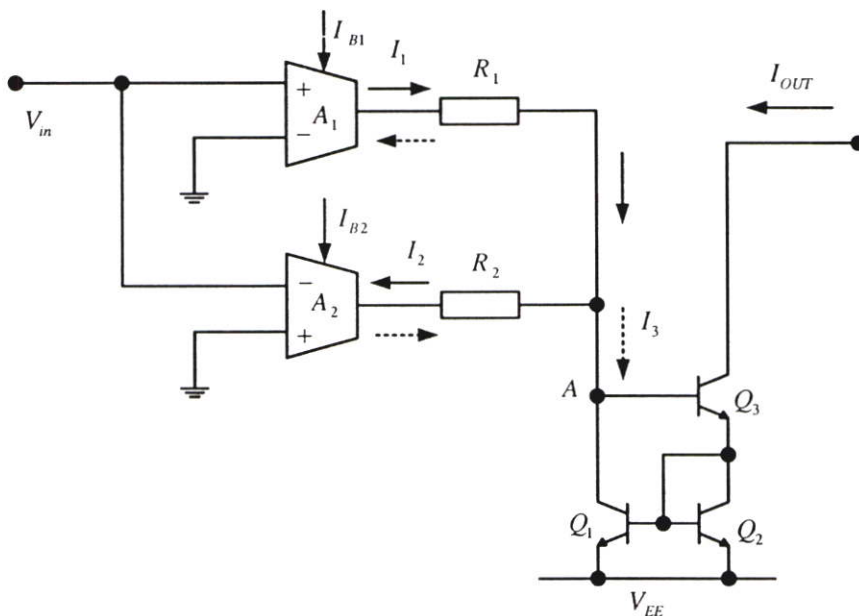
### 6.3 วงจรเรียงกระแสเต็มคลื่นในโหมดกระแส

ในหัวข้อนี้จะเป็นการนำเสนอวงจรเรียงกระแสแบบเต็มคลื่นสำหรับสัญญาณขนาดเล็กอีกวิธีหนึ่งที่มีการพัฒนาขึ้นซึ่งจะแตกต่างจากการเรียงกระแสแบบเต็มคลื่นทั่วไป โดยจะใช้หลักการแปลงโวลต์เตจเป็นกระแสด้วยโอทีเอ การทำงานของวงจร จะประกอบด้วยโอทีเอกับวงจรสะท้อนกระแส และตัวต้านทาน วงจรที่ออกแบบด้วยวิธีนี้จะให้ช่วงปฏิบัติการทางความถี่กว้างกว่าวงจรเรียงกระแสแบบเต็มคลื่นที่ออกแบบโดยใช้อุปแอมป์ทั่วไป และสามารถใช้งานได้ในช่วงปฏิบัติการที่แรงดันทางอินพุตกว้างกว่าการใช้วงจรขยายโอทีเอแบบพื้นฐาน นอกจากนี้ผลของศักดาความร้อนที่เกิดขึ้นอันจะเป็นผลทำให้เกิดความผิดเพี้ยนของสัญญาณได้ถูกชดเชยในวงจรด้วย วงจรมีการทำงานที่เร็วขึ้นคือมีช่วงหน่วงเวลาน้อยมาก ทำให้วงจรมีความผิดเพี้ยนของสัญญาณต่ำมาก การทำงานของวงจรเรียงกระแสแบบเต็มคลื่นด้วยวิธีนี้มีการพัฒนาจากเดิม ก็นอกจากจะมีข้อดีตามที่กล่าวมาข้างต้นแล้ว ยังสามารถลดจำนวนอุปกรณ์ที่ใช้ในวงจรลงได้อีก โดยใช้เพียงโอทีเอสามตัวทำงานร่วมกับความต้านทาน และวงจรสะท้อนกระแสเท่านั้น ดังนั้นจะเห็นว่าวงจรเรียงกระแสแบบเต็ม

คลื่นแบบนี้จะมีขนาดเล็กลง มีช่วงปฏิบัติการทางสัญญาณจุดเข้า และสัญญาณมีความเพี้ยนต่ำ[48] จึงเหมาะสมมากในการนำไปทำเป็นวงจรรวมหรือใช้งานร่วมกับวงจรอื่นๆ ได้ดี

### 6.3.1 วงจรเรียงกระแสเต็มคลื่นโดยใช้วงจรขยายโอทีเอทำงานร่วมกับความต้านทาน

วงจรเรียงกระแสแบบเต็มคลื่นสำหรับสัญญาณขนาดเล็ก โดยใช้วงจรขยายโอทีเอแบบพื้นฐาน วงจรประกอบด้วยโอทีเอสองตัวคือ  $A_1$  และ  $A_2$  วงจรสะท้อนกระแสแบบวิลสัน ซึ่งประกอบด้วยทรานซิสเตอร์สามตัว คือทรานซิสเตอร์  $Q_1$ ,  $Q_2$  และ  $Q_3$  ที่ทำหน้าที่สะท้อนกระแส โดยมีอัตราการส่งผ่านกระแสเท่ากับหนึ่ง และตัวต้านทานสองตัว คือ  $R_1$  และ  $R_2$  ที่มีค่าสูงเพื่อแยกการทำงานของโอทีเอทั้งสองออกจากกัน การทำงานของวงจรสามารถอธิบายได้ดังนี้ กำหนดให้ค่าความนำของโอทีเอ  $A_1$  และ  $A_2$  มีค่าเท่ากัน และ  $V_{in}$  คือสัญญาณแรงดันจุดเข้าที่ให้กับวงจร แสดงดังรูปที่ 6.4



รูปที่ 6.4 วงจรเรียงกระแสเต็มคลื่นโดยใช้วงจรขยายโอทีเอชนิดพื้นฐานร่วมกับความต้านทาน

เมื่อป้อนแรงดัน  $V_{in}$  ที่มีค่ามากกว่าศูนย์เข้าไปในวงจร โดยแรงดันจะถูกป้อนเข้าที่ขา(+) ของโอทีเอ  $A_1$  และที่ขา(-) ของโอทีเอ  $A_2$  จะเป็นผลทำให้เกิดกระแส  $I_1$  ไหลออกผ่านตัวต้านทาน  $R_1$  มายังจุด A ขณะเดียวกันนี้ก็เกิดกระแส  $I_2$  ไหลเข้าที่จุดออกของโอทีเอ  $A_2$  ซึ่งกระแสนี้มาจากจุด A แต่มีค่าน้อยเนื่องมาจากความต้านทาน  $R_2$  มีค่าสูง ค่าของกระแส  $I_1$  และ  $I_2$  เป็นดังสมการ

$$I_1 = g_m V_{in} \quad \text{เมื่อ } V_{in} > 0 \quad (6.5)$$

$$= \frac{I_{B1}}{2V_T} V_{in}$$

และ

$$I_2 = -g_{m2} V_{in} \quad \text{เมื่อ } V_{in} > 0 \quad (6.6)$$

$$= -\frac{I_{B2}}{2V_T} V_{in}$$

ในทางตรงกันข้ามเมื่อป้อนแรงดัน  $V_{in}$  ที่มีค่าน้อยกว่าศูนย์ สมการของกระแส  $I_1$  และ  $I_2$  จะเป็นดังนี้

$$I_1 = -g_{m1} V_{in} \quad \text{เมื่อ } V_{in} < 0 \quad (6.7)$$

$$= -\frac{I_{B1}}{2V_T} V_{in}$$

และ

$$I_2 = g_{m2} V_{in} \quad \text{เมื่อ } V_{in} < 0 \quad (6.8)$$

$$= \frac{I_{B2}}{2V_T} V_{in}$$

เมื่อ  $V_{in} > 0$  กระแส  $I_1$  จะไหลออกจากจุดออกของโอทีเอ  $A_1$  และกระแส  $I_2$  จะไหลเข้ามายังจุดออกของโอทีเอ  $A_2$  ดังเส้นที่บดแต่เนื่องจากวงจรสะท้อนกระแสแบบบวก  $Q_1$  ถึง  $Q_3$  ต่ออ้างอิงกับ

แหล่งจ่ายไฟ  $V_{EE}$  เป็นผลให้แรงดันที่จุด  $A$  มีค่าเท่ากับ  $2V_{BE} + (-V_{EE})$  การทำงานที่จุดนี้ค่ากระแสต้องมากกว่าศูนย์จึงจะทำงาน การสะท้อนกระแส  $I_3$  ไปที่  $I_{OUT}$  จึงเกิดขึ้นได้ นั่นหมายความว่า จะมีกระแสไหลออกจาก  $A_1$  ไปยังเข้าที่พุท และจะไม่มีกระแสจาก  $A_2$  ไปยังเข้าที่พุท ทิศทางกระแสเป็นดังรูปที่ 6.4

ในทำนองเดียวกันเมื่อ  $V_{in} < 0$  กระแส  $I_1$  จะไหลเข้ามายังจุดออกของโอทีเอ  $A_1$  และกระแส  $I_2$  จะไหลออกจากจุดออกของโอทีเอ  $A_2$  ดังกระแสในรูปกระแสเส้นประ และเนื่องจากวงจรสะท้อนกระแสแบบบวก  $Q_1$  ถึง  $Q_3$  ต่ออ้างอิงกับแหล่งจ่ายไฟ  $V_{EE}$  เป็นผลให้แรงดันที่จุด  $A$  มีค่าเท่ากับ  $-V_{EE} + 1.4V$  ดังนั้นกระแสที่ถูกส่งไปยังเข้าที่พุทคือค่ากระแสที่เกิดจาก  $I_2$  เป็น  $I_3$  ส่วนกระแส  $I_1$  มีค่าเป็นศูนย์ และสามารถเขียนใหม่ได้ดังนี้

$$I_1 = \begin{cases} g_{m1}V_{in} = \left(\frac{I_{B1}}{2V_T}\right)V_{in} & : V_{in} > 0 \\ 0 & : V_{in} < 0 \end{cases} \quad (6.9)$$

$$I_2 = \begin{cases} 0 & : V_{in} > 0 \\ g_{m2}V_{in} = \left(\frac{I_{B2}}{2V_T}\right)V_{in} & : V_{in} < 0 \end{cases} \quad (6.10)$$

กระแส  $I_1$  และ  $I_2$  จะไหลไปรวมกันยังจุด  $A$  ทำให้ได้กระแส  $I_3$  ที่มีทิศทางเดียวไม่ว่าอินพุทจะเป็นบวกหรือลบดึงเส้นทึบและเส้นประของกระแส  $I_3$  แต่จะมีขนาดเท่ากับกระแส  $I_1 + I_2$  โดยกระแส  $I_3$  นี้จะถูกวงจรสะท้อนกระแส  $Q_1$  ถึง  $Q_3$  ซึ่งมีอัตราส่งผ่านเท่ากับหนึ่งส่งผ่านไปเป็นกระแสจุดออก  $I_{out}$  พิจารณากระแสที่ออกจากจุดเข้าที่พุทเป็นกระแสที่เกิดการสะท้อนของกระแส  $I_3$  จะมีทิศทางมาจากเข้าที่พุทออกไปขาคอลเลคเตอร์  $Q_3$  ทิศทางเป็นไปดังรูป จะได้ความสัมพันธ์ของกระแสดังนี้

$$\begin{aligned} I_{out} &= -I_3 \\ &= -(I_1 + I_2) \end{aligned} \quad (6.11)$$

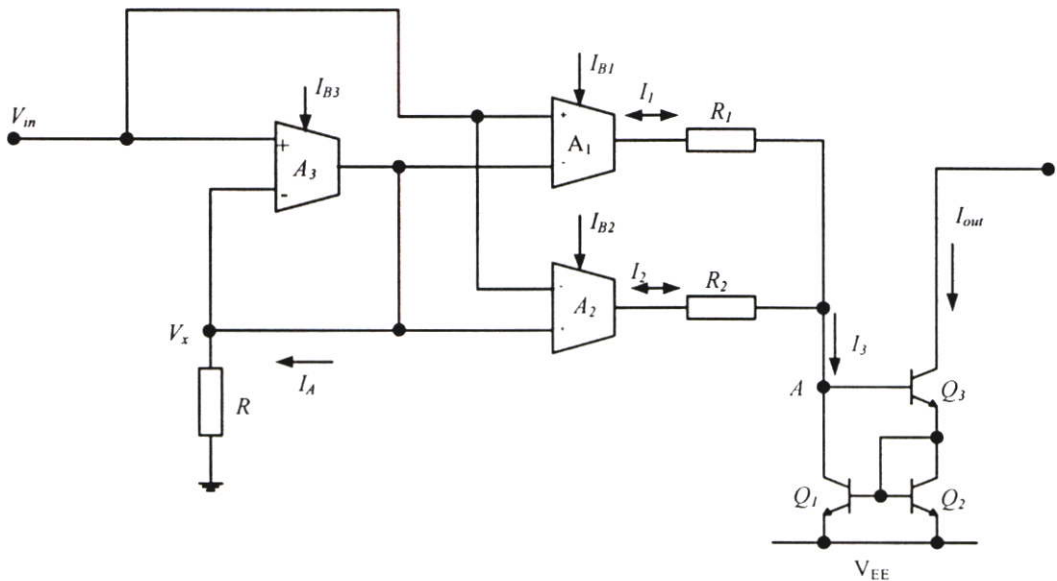
จากสมการที่(6.9) และสมการที่(6.10) กับสมการที่(6.11) ถ้ากำหนดให้กระแสไบอัสของ โอทีเอ  $A_1$  และ  $A_2$  มีค่าเท่ากัน คือ  $I_{B1} = I_{B2} = I_B$  ดังนั้นจะได้ว่า

$$I_{out} = -g_m |V_{in}| \quad (6.12)$$

$$= -\frac{I_B}{2V_T} |V_{in}|$$

กระแสที่จุดออก  $I_{out}$  ที่ได้จะเป็นการเรียงกระแสแบบเต็มคลื่นของแรงดันจุดเข้า  $V_{in}$  ได้ กระแสทางเข้าที่ทุกทิศทางเดียว แต่กระแสที่ได้จะเห็นว่าค่า  $V_T$  เป็นผลของศักดาความร้อนที่เกิดขึ้นของตัวโอทีเอพิจารณาจากสมการที่(6.12) ซึ่งมีผลต่อกระแสที่ออกของการเรียงกระแสเต็มคลื่นแบบนี้ยังขึ้นตรงต่ออุณหภูมิ

### 6.3.2 วงจรเรียงกระแสเต็มคลื่นโดยใช้วงจรขยายโอทีเอร่วมกับความต้านทานที่มีการชดเชยผลของอุณหภูมิ



รูปที่ 6.5 วงจรเรียงกระแสเต็มคลื่นโดยใช้วงจรขยายโอทีเอที่มีการชดเชยอุณหภูมิ

วงจรเรียงกระแสแบบเต็มคลื่นสำหรับสัญญาณขนาดเล็กโดยใช้วงจรขยายโอทีเอ เป็นการนำหลักการของวงจรเปลี่ยนแรงดันเป็นกระแสของโอทีเอมาออกแบบร่วมกับวงจรเรียงกระแสแบบเต็มคลื่นขนาดเล็กแบบพื้นฐานมาใช้ร่วมกันในรูปที่ 6.4 ตัวแปรสำคัญที่ทำให้การทำงานพื้นฐานให้กระแสทางเข้าที่พุดเพิ่มขึ้นจากค่าความเป็นจริงคือค่าแรงดันที่ขึ้นกับอุณหภูมิ และผลทางด้านอินพุทเมื่อป้อนสัญญาณที่มีค่าเกินกว่า 50 มิลลิโวลต์ เพื่อให้ได้วงจรเรียงกระแสแบบเต็มคลื่นที่มีช่วงปฏิบัติการทางสัญญาณเข้าที่กว้างขึ้น และลดผลของศักดาความร้อนที่เกิดขึ้นในภายในวงจร จึงใช้วงจร  $V/I$  เพื่อชดเชยกับข้อจำกัดบางประการของโอทีเอ การทำงานของวงจร  $V/I$  สามารถอธิบายได้ดังนี้ เมื่อป้อนแรงดันจุดเข้า  $V_{in}$  เข้าไปในวงจรจะเป็นผลให้เกิดกระแส  $I_1$  และ  $I_2$  ที่จุดออกของโอทีเอ  $A_1$  และ  $A_2$  ตามลำดับ ดังรูปที่ 6.5

จากรูปที่ 6.1 วงจร  $V/I$  เดิมของวงจรเปลี่ยนแรงดันเป็นกระแสที่ไม่ขึ้นตรงต่ออุณหภูมินำมาจากพื้นฐานการสร้างเป็นวงจรเรียงกระแสครึ่งคลื่นได้ดังสมการที่ (6.1) สมการที่ (6.2) จะเห็นว่ากระแส  $I_1$  และ  $I_2$  ได้ชดเชยผลของศักดาความร้อนที่เกิดขึ้นนำไปแทนอินพุทเดิมของรูปที่ 6.4 ในวงจรเรียงกระแสแบบเต็มคลื่นจะได้ในรูปที่ 6.5 พิจารณาค่าที่ได้จากสมการที่ (6.1), (6.2) นำไปแทนค่าใน (6.9), (6.10) จะทำให้ได้สมการความสัมพันธ์ระหว่างกระแสจุดออก  $I_{out}$  กับแรงดันจุดเข้า  $V_{in}$  ที่ป้อนเข้าไป โดยกำหนดให้ค่ากระแสไบอัสของโอทีเอ  $A_1$  และ  $A_2$  มีค่าเท่ากันคือ  $I_{B1} = I_{B2} = I_B$  ดังนี้

$$I_{out} = -(I_1 + I_2) \quad (6.13)$$

$$= -\frac{I_B}{I_{B3}R} |V_{in}|$$

ดังนั้นจะได้กระแสจุดออก  $I_{out}$  ตามสมการที่ (6.13) เป็นการเรียงกระแสแบบเต็มคลื่นในรูปแบบกระแส ซึ่งสามารถนำมาเขียนเป็นสมการใหม่ได้ดังนี้

$$I_{out} = \frac{A_1}{R} |V_{in}| \quad (6.14)$$

โดยที่  $A_1$  คืออัตราขยายกระแสที่สามารถแปรค่าได้โดยการเปลี่ยนอัตราส่วนของกระแสไบอัส  $I_B$  และ  $I_{B3}$  และจากสมการ (6.14) จะเห็นว่าค่าศักดาความร้อนที่เกิดขึ้นของตัวโอทีเอที่มีผลต่อการทำงานของวงจรได้ถูกชดเชยไป ทำให้วงจรมีเสถียรภาพทางอุณหภูมิที่ดี และวงจรยังมีช่วงปฏิบัติการที่กว้างขึ้นอีกด้วย

### 6.3.3 วิเคราะห์หาสมรรถนะการทำงานของวงจร

จากการทดสอบสมรรถนะการทำงานของวงจรเรียงกระแสแบบเต็มคลื่นสำหรับสัญญาณขนาดเล็ก(Small Signal) โดยจะแสดงการวิเคราะห์หาช่วงปฏิบัติงานของวงจร การวิเคราะห์หาช่วงปฏิบัติงานของวงจร การวิเคราะห์หาผลตอบสนองทางความถี่ และการหาค่าความผิดพลาดของวงจรดังต่อไปนี้

#### 6.3.3.1 วิเคราะห์หาช่วงปฏิบัติงานของวงจร

การหาช่วงปฏิบัติงานของวงจรเรียงกระแสแบบเต็มคลื่นในรูปที่6.5 จะหาได้จากการวิเคราะห์ช่วงปฏิบัติงานของวงจรเปลี่ยนแรงดันเป็นกระแสแสดงไว้ในรูปที่4.8 จากสมการที่(4.27) แสดงความสัมพันธ์ระหว่างกระแสจุดออก  $I_o$  และแรงดันจุดเข้า  $V_{in}$  ซึ่งสามารถนำมาเขียนเป็นสมการใหม่ได้ดังสมการที่(6.15) ดังนี้

$$\begin{aligned} I_o &= \frac{g_{m2}}{1 + g_{m3}R} V_{in} \\ &= \frac{I_{B2}}{2V_T + I_{B3}R} V_{in} \end{aligned} \quad (6.15)$$

ถ้ากำหนดให้กระแส  $I_o = I_{B2}$  ดังนั้นจากสมการที่(6.15) จะได้

$$V_{in} = 2V_T + I_{B3}R \quad (6.16)$$

จากสมการที่(6.16) จะได้ว่าช่วงปฏิบัติการของสัญญาณแรงดันจุดเข้า  $V_{in}$  ของวงจรเรียงกระแสแบบเต็มคลื่นเป็นตามสมการ(6.17)

$$-2V_T - I_{B3}R \leq V_{in} \leq 2V_T + I_{B3}R \quad (6.17)$$

ดังนั้นถ้ากำหนดให้กระแส  $I_{B3}$  และความต้านทาน  $R$  มีค่าเท่ากับ  $100\mu A$  และ  $10k\Omega$  ตามลำดับ จะได้ช่วงปฏิบัติการของสัญญาณแรงดันจุดเข้าสูงสุดที่วงจรสามารถทำงานได้มีค่าประมาณ 1 โวลต์

การพิจารณาหาช่วงปฏิบัติงานสูงสุดของแรงดันสัญญาณจุดออก  $V_o$  สามารถหาได้ดังนี้ กระแสจุดออก  $I_o$  จากรูปที่6.6 จะเห็นว่าค่าของกระแสจุดออก  $I_o$  มีค่าสูงสุดได้ไม่เกินค่าของกระแส



อิมิตเตอร์ ที่ทำให้ทรานซิสเตอร์  $Q_{12}$  ทำงานช่วงอิมิต์รวมกับแรงดันคอลเลกเตอร์-อิมิตเตอร์ที่ทำให้ทรานซิสเตอร์  $Q_{13}$  ทำงานช่วงอิมิต์ ( $V_{BE12} + V_{CE13(sat)}$ ) ดังนั้นสามารถเขียนเป็นสมการใหม่ได้ดังนี้

$$V_{EB9} = V_{BE12} = V_{BE}$$

และ

$$V_{CE10(sat)} = V_{CE13(sat)} = V_{CE(sat)}$$

ดังนั้นจะได้ว่า

$$V_{o(MAX)} = \begin{cases} V_{CC} - (V_{BE} + V_{CE(sat)}) & : V_{in} > 0 \\ V_{EE} + (V_{BE} + V_{CE(sat)}) & : V_{in} < 0 \end{cases} \quad (6.19)$$

หรือเขียนเป็นสมการใหม่ได้ดังนี้

$$V_{EE} + (V_{BE} + V_{CE(sat)}) \leq V_{o(MAX)} \leq V_{CC} - (V_{BE} + V_{CE(sat)}) \quad (6.20)$$

โดยที่  $V_{BE}$  คือแรงดันเบส-อิมิตเตอร์ที่ทำให้ทรานซิสเตอร์ทำงานช่วงอิมิต์

$V_{CE(sat)}$  คือแรงดันคอลเลกเตอร์-อิมิตเตอร์ที่ทำให้ทรานซิสเตอร์ทำงานช่วงอิมิต์

ถ้ากำหนดให้แรงดันไฟบวก ( $V_{CC}$ ) และแรงดันไฟลบ ( $V_{EE}$ ) ที่ป้อนให้กับวงจรมีค่าเท่ากับ 15 โวลต์ และ -15 โวลต์ตามลำดับ และแรงดันที่ทำให้ทรานซิสเตอร์ทำงานช่วงอิมิต์คือ  $V_{BE}$  และ  $V_{CE(sat)}$  มีค่าเท่ากับ 0.6 โวลต์ และ 0.2 โวลต์ ตามลำดับ ดังนั้นค่าแรงดันจุดออก  $V_{o(MAX)}$  สูงสุดจะอยู่ในช่วงระหว่าง -14.2 โวลต์ ถึง +14.2 โวลต์

### 6.3.3.2 วิเคราะห์ช่วงปฏิบัติงานสูงสุดของแรงดันสัญญาณจุดเข้า

พิจารณาวงจรในรูปที่ 6.6 จะเห็นว่าทรานซิสเตอร์  $Q_1$  และ  $Q_2$  ต่อกันอยู่ในรูปของวงจรดิฟเฟอเรนเชียล ซึ่งมีทรานซิสเตอร์  $Q_3$  และ  $Q_4$  เป็นวงจรสะท้อนกระแสแบบบวกลบเพื่อที่จะทำหน้าที่สะท้อนกระแสไบอัสจากภายนอกส่งไปยังคอลเลกเตอร์ของ  $Q_1$  และ  $Q_2$  ให้มีค่าเท่ากันแต่ผลรวมของค่ากระแสทั้งสองจะมีค่าเท่ากับค่าไบอัส  $I_B$  ดังนั้นความสัมพันธ์ของกระแสดังกล่าวจะได้ว่า

$$I_1 = I_2 = \frac{I_B}{2} \quad (6.21)$$

$$I_1 + I_2 = I_B \quad (6.22)$$

ถ้ากำหนดให้  $V_{in(Max)}$  และ  $V_{in(Min)}$  เป็นค่าของแรงดันปฏิบัติงานสูงสุดและต่ำสุดที่เกิดขึ้นที่ขาเบสของทรานซิสเตอร์  $Q_2$  ซึ่งยังคงทำให้ทรานซิสเตอร์  $Q_1$  และ  $Q_2$  มีการทำงานอยู่ในช่วงแอกทีฟ ดังนั้นจึงสามารถหาค่า  $V_{in(Max)}$  ได้ดังสมการต่อไปนี้

$$V_{CC} = V_{EB9} + V_{EB10} + V_{CE2} - V_{BE2} + V_{in(Max)} \quad (6.23)$$

หรือ

$$V_{CE2} = V_{CC} - V_{EB9} - V_{EB10} + V_{BE2} - V_{in(Max)} \quad (6.24)$$

จากสมการของทรานซิสเตอร์คือ

$$V_{BE} = V_T \ln \frac{I_C}{I_S} \quad (6.25)$$

แทนค่าสมการ(6.25) ลงในสมการที่(6.24) ดังนั้นจะได้ค่าของ  $V_{in(Max)}$  ดังสมการ

$$V_{in(Max)} = V_{CC} - V_{CE(sat)} - V_T \ln \frac{I_2}{I_S} \quad (6.26)$$

โดยที่กระแสคอลเลกเตอร์  $I_{C9} = I_{C10} = I_{C2} = I_2$  และแรงดันคอลเลกเตอร์-อิมิตเตอร์ต่ำสุดที่ทรานซิสเตอร์ทำงานได้ คือ  $V_{CE2} = V_{CE(sat)}$  ส่วนค่าของแรงดันปฏิบัติการต่ำสุด  $V_{in(Min)}$  สามารถหาได้จากสมการ

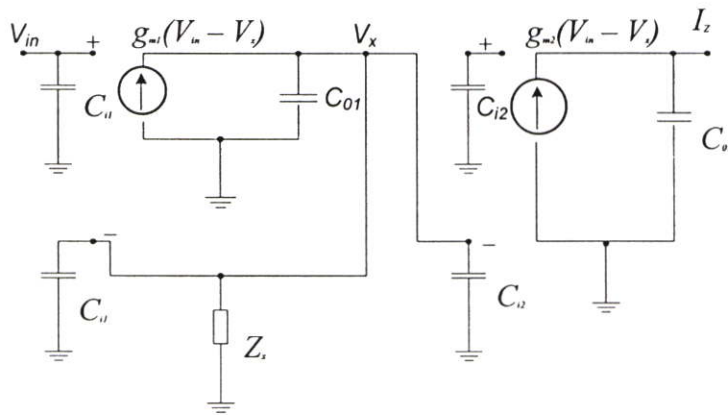
$$V_{in(Min)} - V_{EE} = V_{BE2} - V_{CE4} \quad (6.27)$$

แทนค่าสมการที่(6.25) ลงในสมการที่(6.27) และกำหนดให้ แรงดันคอลเลกเตอร์-อิมิตเตอร์ต่ำสุดที่ทรานซิสเตอร์ทำงานได้ คือ  $V_{CE4} = V_{CE(sat)}$  ดังนั้นจะได้สมการ(6.28) ดังนี้

$$V_{in(Min)} = V_{CE(sat)} + V_T \ln \frac{I_2}{I_S} + V_{EE} \quad (6.28)$$

### 6.3.3.3 วิเคราะห์หาผลตอบสนองทางความถี่ของวงจร

จากหลักการทำงานของวงจรในรูปที่ 6.5 ซึ่งจะเห็นว่าวงจรประกอบด้วยสองส่วนคือวงจรเปลี่ยนแรงดันเป็นกระแส และวงจรสะท้อนกระแส ดังนั้นการวิเคราะห์หาผลตอบสนองทางความถี่จะแยกการวิเคราะห์ออกเป็นสองส่วน คือการวิเคราะห์หาผลตอบสนองทางความถี่ของโอทีเอทีที่ต่อร่วมกันเป็นวงจรเปลี่ยนแรงดันเป็นกระแสดังแสดงในรูปที่ 6.1 และการวิเคราะห์หาผลตอบสนองทางความถี่ของวงจรสะท้อนกระแสแบบวิลสันที่อัตราขยายกระแสเท่ากับหนึ่ง ดังนี้



รูปที่ 6.7 แสดงวงจรสมมูลของวงจรเปลี่ยนแรงดันเป็นกระแส

จากรูปที่ 6.7 แสดงวงจรสมมูลของวงจรเปลี่ยนแรงดันเป็นกระแส โดยที่ค่าความต้านทานภายในตัวโอทีเอทีมีค่าสูงมากๆ จะสามารถวิเคราะห์หาผลตอบสนองทางความถี่ได้ดังต่อไปนี้

พิจารณาที่ Node  $V_X$  จะได้

$$sC_{o1}V_X + sC_{i1}V_X + sC_{i2}V_X + \frac{V_X}{Z_X} = g_{m1}(V_{in} - V_X)$$

$$\left( g_{m1} + \frac{1}{Z_X} + sC_{i1} + sC_{i2} + sC_{o1} \right) V_X = g_{m1}V_{in} \quad (6.29)$$

ดังนั้นจะได้

$$\begin{aligned} \frac{V_X}{V_{in}} &= \frac{g_{m1}}{g_{m1} + \frac{1}{Z_X} + sC_{i1} + sC_{i2} + sC_{o1}} \\ &= \frac{g_{m1}Z_X}{1 + g_{m1}Z_X + Z_X s(C_{i1} + C_{i2} + C_{o1})} \end{aligned} \quad (6.30)$$

กำหนดให้

$$g_{m1} = g_m(s) = \frac{g_m}{1 + \frac{s}{\omega_c}} \quad (6.31)$$

โดยที่  $\omega_c$  คือความถี่สูงสุดที่สามารถปฏิบัติงานได้(Cutoff Frequency)  
แทนค่า  $g_{m1}$  จากสมการที่(6.31) ลงในสมการที่(6.30) จะได้

$$\frac{V_X}{V_{in}} = \frac{g_m Z_X}{1 + g_m Z_X + \frac{s}{\omega_c} + Z_X s(C_{i1} + C_{i2} + C_{o1}) + \frac{s^2 (C_{i1} + C_{i2} + C_{o1})}{\omega_c}} \quad (6.32)$$

$$= \frac{g_m Z_X}{1 + g_m Z_X} \left[ \frac{1}{1 + \frac{\left( \frac{1}{\omega_c} + Z_X (C_{i1} + C_{i2} + C_{o1}) \right) s}{(1 + g_m Z_X)} + \frac{\frac{s^2 (C_{i1} + C_{i2} + C_{o1}) Z_X}{\omega_c}}{(1 + g_m Z_X)}} \right]$$

กำหนดให้  $g_m Z_X \gg 1$  และ  $\frac{1}{\omega_c} \gg Z_X (C_{i1} + C_{i2} + C_{o1})$  ดังนั้นจะได้เป็นสมการใหม่คือ

$$\frac{V_X}{V_{in}} = \left[ \frac{1}{1 + \frac{s}{\omega_c g_m Z_X} + \frac{s^2 (C_{i1} + C_{i2} + C_{o1})}{\omega_c g_m}} \right] \quad (6.33)$$

ถ้ากำหนดให้ค่าคาปาซิแตนซ์  $C_{i1} = C_{i2} = 5 \text{ pF}, C_{o1} = 6 \text{ pF}$  และ  $\omega_c = 12.6 \times 10^6 \text{ rad/s}$

ดังนั้นจะสามารถหาค่าผลตอบสนองทางความถี่ได้ประมาณ  $6.15\text{MHz}$   
พิจารณาที่กระแสจุดออก Node  $I_z$  จากรูปที่ 6.5 จะได้

$$\frac{I_z}{V_{in}} = \frac{A_G}{Z_x} \frac{1}{\left(1 + \frac{s}{\omega_c}\right)} \quad (6.34)$$

จากสมการที่(6.34) ถ้ากำหนดให้  $\omega_c = 12.6 \times 10^6 \text{ rad/s}$  ผลตอบสนองทางความถี่ของจุดออกที่ได้นี้ค่าประมาณ  $2 \text{ MHz}$  ดังนั้นผลตอบสนองทางความถี่ของวงจรเปลี่ยนแรงดันเป็นกระแสจะมีค่าประมาณ  $2 \text{ MHz}$

ส่วนผลตอบสนองทางความถี่ของวงจรสะท้อนกระแสที่เป็นไบโพลาร์แบบวิลสันอัตราขยายเท่ากับหนึ่ง จะสามารถหาได้จากสมการ

$$I_{out} = \left[1 - \frac{2}{\beta^2 + 2\beta + 2}\right] I_{in} \quad (6.35)$$

และคุณสมบัติทางความถี่ของอัตราขยายกระแส  $\beta$  ของทรานซิสเตอร์ โดยกำหนดให้

$$\beta(s) = \frac{\beta_0}{1 + Ts}$$

และ

$$T = \frac{\beta_0}{\omega_T}$$

โดยที่

$\beta_0$  คืออัตราขยายกระแสของทรานซิสเตอร์

$\omega_T$  คือความถี่ที่ทำให้ค่า  $\beta$  ของทรานซิสเตอร์มีค่าเท่ากับหนึ่ง

แทนค่า  $\beta$  ด้วย  $\beta(s)$  ลงในสมการที่(6.35) ดังนั้นผลตอบสนองทางความถี่ของวงจรจะหาได้จาก

$$I_{out}(s) = \left[ \frac{\left(\frac{\beta_0}{1+Ts}\right)^2 + 2\left(\frac{\beta_0}{1+Ts}\right)}{\left(\frac{\beta_0}{1+Ts}\right)^2 + 2\left(\frac{\beta_0}{1+Ts}\right) + 2} \right] I_{in}(s)$$

$$\begin{aligned}
&= \left[ \frac{\beta_0^2 + 2\beta_0 + \beta_0 Ts}{\beta_0^2 + 2\beta_0 + \beta_0 Ts + 2 + 4Ts + 2T^2 s^2} \right] I_m(s) \quad (6.36) \\
&= \left[ \frac{\beta_0^2 + 2\beta_0}{\beta_0^2 + 2\beta_0 + 2} \right] \left[ \frac{1 + \frac{2Ts}{\beta_0 + 2}}{1 + \frac{2\beta_0 Ts + 4Ts + 2T^2 s^2}{\beta_0^2 + 2\beta_0 + 2}} \right] I_m(s)
\end{aligned}$$

จากสมการที่(6.36) เขียนใหม่ได้ดังนี้

$$\frac{I_{out}(s)}{I_{in}(s)} = \left[ 1 - \frac{2}{\beta_0^2 + 2\beta_0 + 2} \right] \left[ \frac{1 + \frac{2Ts}{(\beta_0 + 2)}}{1 + \frac{(2\beta_0 + 4)Ts}{\beta_0^2 + 2\beta_0 + 2} + \frac{2T^2 s^2}{\beta_0^2 + 2\beta_0 + 2}} \right] \quad (6.37)$$

กรณีที่  $\beta_0 \gg 2$  จะได้ว่า

$$\frac{I_{out}(s)}{I_{in}(s)} = \left[ 1 - \frac{2}{\beta_0^2 + 2\beta_0} \right] \left[ \frac{1 + \frac{2}{\omega_T} s}{1 + \frac{2}{\omega_T} s + \frac{2}{\omega_T^2} s^2} \right] \quad (6.38)$$

จากสมการที่(6.38) ค่าผลตอบสนองทางความถี่ที่ได้ของวงจรสะท้อนกระแสแบบวิลสันนี้จะมีค่าเท่ากับ  $\omega_T / \sqrt{2}$  ซึ่งจะเห็นว่ามีค่าสูงมาก

ดังนั้นผลตอบสนองทางความถี่ของวงจรเรียงกระแสแบบเต็มคลื่นดังรูปที่6.5 จะถูกจำกัดอยู่ที่ค่าผลตอบสนองทางความถี่ของวงจรเปลี่ยนแรงดันเป็นกระแสคือประมาณ 2 MHz

### 6.3.3.4 วิเคราะห์หาค่าความผิดพลาดของวงจร

จากหลักทำงานของวงจรในรูปที่6.5 กรณีของแรงดันจุดเข้าที่มีค่ามากกว่าศูนย์ ( $V_{in} > 0$ ) และกรณีแรงดันจุดเข้าที่มีค่าน้อยกว่าศูนย์ ( $V_{in} < 0$ ) จะเห็นว่าโอทีเอ  $A_1$  และโอทีเอ  $A_2$  จะสลับกันทำงาน ดังนั้นในการหาค่าความผิดพลาด ( $\varepsilon_r$ ) ของวงจรเพื่อพิจารณาสมรรถนะของวงจร จึงหาเพียงกรณีใดกรณีหนึ่งได้ ดังนั้นจึงพิจารณาเฉพาะกรณีแรงดันจุดเข้าที่มีค่าน้อยกว่าศูนย์ ( $V_{in} < 0$ ) เท่านั้น โดยขั้นแรกพิจารณาที่วงจรสะท้อนกระแสดังสมการ

$$I_{out} = (1 - \varepsilon_a)I_1 \quad (6.39)$$

โดยที่  $\varepsilon_a$  คือค่าความผิดพลาดที่เกิดจากวงจรสะท้อนกระแส

$I_1$  คือกระแสจุดเข้าของวงจรสะท้อนกระแส

จากสมการที่(4.31) กระแส  $I_1$  เป็นกระแสจุดออกของวงจรเปลี่ยนแรงดันเป็นกระแส ดังนี้

$$I_1 = (1 - \varepsilon_b)A_G \frac{V_{in}}{R} \quad (6.40)$$

โดยที่  $\varepsilon_b$  คือค่าความผิดพลาดที่เกิดจากวงจรเปลี่ยนแรงดันเป็นกระแส  
แทนค่าสมการที่(6.40) ลงในสมการที่(6.39) จะได้

$$\begin{aligned} I_{out} &= (1 - \varepsilon_a)(1 - \varepsilon_b)A_G \frac{V_{in}}{R} \\ &= (1 - \varepsilon_a - \varepsilon_b + \varepsilon_a \varepsilon_b)A_G \frac{V_{in}}{R} \end{aligned} \quad (6.41)$$

จากสมการที่(6.35) เป็นสมการแสดงความสัมพันธ์ระหว่างกระแสจุดเข้าและกระแสจุดออก  
ของวงจรสะท้อนกระแสแบบวิลสันที่เป็นไบโพลาร์ที่มีอัตราขยายกระแสเท่ากับหนึ่ง

$$\frac{I_o}{I_{in}} = \left[ 1 - \frac{2}{\beta^2 + 2\beta + 2} \right]$$

ดังนั้นค่าความผิดพลาด ( $\varepsilon_a$ ) ของวงจรสะท้อนกระแสแบบวิลสันนี้จะมีค่าเท่ากับ

$$\varepsilon_a = \frac{2}{\beta^2 + 2\beta + 2} \quad (6.42)$$

โดยที่  $\beta$  คืออัตราขยายกระแสของทรานซิสเตอร์ในวงจรสะท้อนกระแสจากสมการที่(4.33)  
ค่าความผิดพลาด ( $\varepsilon_b$ ) ของวงจรเปลี่ยนแรงดันเป็นกระแส มีค่าเท่ากับ

$$\varepsilon_b = \frac{1}{1 + g_{m3}R} \quad (6.43)$$

แทนค่า  $\varepsilon_a$  และ  $\varepsilon_b$  ลงในสมการที่(6.41) จะได้สมการ

$$I_{out} = \left( 1 - \frac{2}{\beta^2 + 2\beta + 2} - \frac{1}{1 + g_{m3}R} + \left( \frac{2}{\beta^2 + 2\beta + 2} \right) \left( \frac{1}{1 + g_{m3}R} \right) \right) A_G \frac{V_{in}}{R}$$

(6.44)

$$= \left( 1 - \frac{\beta^2 + 2\beta + 2 + 2g_{m3}R}{(\beta^2 + 2\beta + 2)(1 + g_{m3}R)} \right) A_G \frac{V_{in}}{R}$$

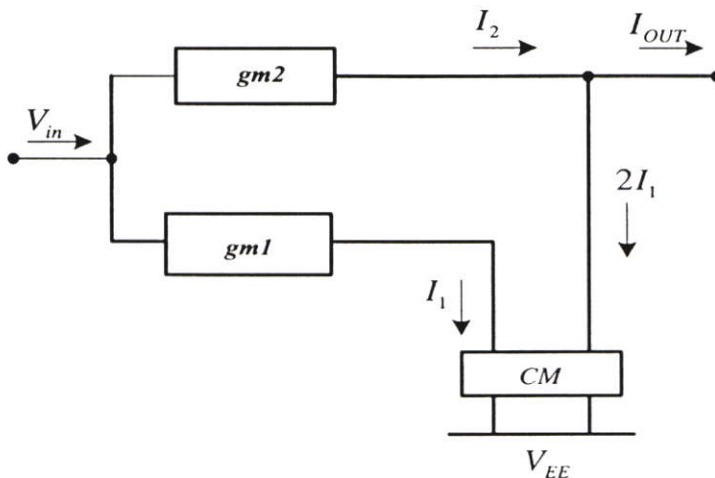
ดังนั้น ค่าความผิดพลาดของวงจรเรียงกระแสแบบเต็มคลื่น ( $\varepsilon_r$ ) จะมีค่าเป็นดังสมการ

$$\varepsilon_r = \frac{\beta^2 + 2\beta + 2 + 2g_{m3}R}{(\beta^2 + 2\beta + 2)(1 + g_{m3}R)}$$

(6.45)

### 6.3.4 วงจรเรียงกระแสเต็มคลื่นใช้วงจรขยายโอทีเอทำงานร่วมกับวงจรสะท้อนกระแสสองเท่า

เนื่องจากในวงจรเรียงกระแสแบบเต็มคลื่นโดยใช้วงจรขยายโอทีเอแบบแรกที่ได้กล่าวมาแล้ว จะต้องใช้ค่าความต้านทานที่มีค่าสูงสองตัว ซึ่งไม่เหมาะที่จะนำวงจรดังกล่าวมาสร้างเป็นวงจรรวมได้ ดังนั้นจึงได้มีการนำเสนอการออกแบบวงจรเรียงกระแสแบบเต็มคลื่นสำหรับสัญญาณขนาดเล็ก โดยใช้วงจรขยายโอทีเออีกวิธีหนึ่งที่มีการพัฒนาให้ดีขึ้นกว่าเดิม ซึ่งวงจรที่มีการพัฒนาขึ้นนี้ นอกจากวงจรจะมีช่วงปฏิบัติการและผลตอบสนองทางความถี่ที่กว้าง วงจรมีเสถียรภาพต่ออุณหภูมิที่ดีทำให้มีความเพี้ยนของสัญญาณต่ำ ใช้อุปกรณ์น้อยลงอีกด้วย โดยวงจรจะมีเพียงใช้อุปกรณ์โอทีเอ และวงจรสะท้อนกระแสเท่านั้น ซึ่งบล็อกไดอะแกรมของวงจร แสดงไว้ในรูปที่6.8



รูปที่6.8 บล็อกไดอะแกรมการเรียงกระแสเต็มคลื่นใช้วงจรขยายโอทีเอร่วมกับวงจรสะท้อนกระแสสองเท่า



$$\begin{aligned}
 I_3 &= 2I_1 \\
 &= 2g_{m1}V_{in}
 \end{aligned}
 \tag{6.48}$$

ดังนั้นกระแสจุกออก  $I_{out}$  จะสามารถเขียนเป็นสมการได้ดังนี้

$$\begin{aligned}
 I_{out} &= I_2 - I_3 \\
 &= g_{m2}V_{in} - 2g_{m1}V_{in}
 \end{aligned}
 \tag{6.49}$$

เมื่อ  $V_{in} > 0$

ถ้ากำหนดให้

$$I_{B2} = I_{B1} = I_B$$

จะได้ว่า

$$g_{m1} = g_{m2} = g_m$$

ดังนั้นจากสมการ(6.49) สามารถเขียนใหม่ได้ดังนี้

$$I_{out} = -g_m V_{in} \quad \text{เมื่อ } V_{in} > 0 \tag{6.50}$$

ในทางตรงกันข้าม เมื่อป้อนแรงดัน  $V_{in}$  ที่มีค่าน้อยกว่าศูนย์ จะได้ค่ากระแส  $I_1$  และ  $I_2$  มีค่าเท่ากับ

$$I_1 = -g_{m1}V_{in} \tag{6.51}$$

และ

$$I_2 = -g_{m2}V_{in} \tag{6.52}$$

เนื่องจากกระแส  $I_1$  มีค่าเป็นลบ จึงทำให้กระแส  $I_1$  ไม่สามารถไหลผ่านวงจรสะท้อนกระแส  $CM_1$  ได้เนื่องจากวงจรสะท้อนกระแส  $CM_1$  เป็นวงจรสะท้อนกระแสแบบบวก ซึ่งจะยอมให้กระแสที่มีค่าเป็นบวกเท่านั้นที่สามารถไหลผ่านไปได้ ดังนั้นทำให้ส่วนจุกออกของโอทีเอ  $A_2$  มีกระแสที่มีค่าเป็นลบ โดยสามารถเขียนเป็นสมการของกระแสจุกออก  $I_{out}$  ได้เป็นดังนี้

$$\begin{aligned}
 I_{out} &= -I_2 \\
 &\text{เมื่อ } V_{in} < 0 \\
 &= -g_{m2}V_{in}
 \end{aligned}
 \tag{6.53}$$

เมื่อกำหนดให้  $I_{B2} = I_{B1} = I_B$  และ  $g_{m1} = g_{m2} = g_m$  จะได้ว่า

$$I_{out} = -g_m V_{in} \tag{6.54}$$

จากสมการที่(6.50) และสมการที่(6.54) กระแสจุดออก  $I_{out}$  สามารถเขียนเป็นสมการได้ดังนี้

$$\begin{aligned}
 I_{out} &= -g_m |V_{in}| \\
 &= -\frac{I_B}{2V_T} |V_{in}|
 \end{aligned}
 \tag{6.55}$$

ดังนั้นจะพบว่ากระแสจุดออก  $I_{out}$  ที่ได้จะเป็นการเรียงกระแสแบบเต็มคลื่นของแรงดันจุดเข้า  $V_{in}$  คูณกับอัตราค่าความนำ  $g_m$  ของโอทีเอ แต่จากสมการที่ได้สิ่งที่ต้องคำนึงถึงอีกอย่างหนึ่งคือค่าของศักดาความร้อนที่เกิดขึ้น ซึ่งค่าศักดาความร้อนนี้จะมีผลต่อค่าความนำ ( $g_m$ ) ของโอทีเอ ดังนั้นจะทำให้สัญญาณเรียงกระแสแบบเต็มคลื่นที่จุดออกมีความผิดเพี้ยนไป

### 6.3.5 วงจรเรียงกระแสเต็มคลื่นใช้วงจรขยายโอทีเอทำงานร่วมกับวงจรสะท้อนกระแสสองเท่าที่มีการชดเชยผลของอุณหภูมิ

วงจรเรียงกระแสเต็มคลื่นโดยใช้วงจรขยายโอทีเอร่วมกับวงจรสะท้อนกระแสสองเท่าที่มีการชดเชยผลของอุณหภูมิสำหรับสัญญาณขนาดเล็กแสดงในรูปที่6.10 ที่นำเสนอนี้จะใช้หลักการของวงจรเปลี่ยนแรงดันเป็นกระแส ดังที่กล่าวมาแล้วโดยมีโอทีเอ  $A_3$  และตัวต้านทาน  $R$  ทำหน้าที่เปลี่ยนแรงดันเป็นกระแส มาใช้ร่วมกับหลักการของวงจรเรียงกระแสเต็มคลื่นแบบใช้วงจรขยายโอทีเอทำงานร่วมกับวงจรสะท้อนกระแสสองเท่าในรูปที่6.9 ซึ่งวงจรเรียงกระแสแบบเต็มคลื่นที่ประกอบด้วยโอทีเอสามตัว คือ  $A_1$ ,  $A_2$  และ  $A_3$  ตามลำดับ และวงจรสะท้อนกระแสแบบวิลสัน โดยที่โอทีเอ  $A_3$  กับ  $A_1$  และโอทีเอ  $A_3$  กับ  $A_2$  ทำหน้าที่เปลี่ยนแรงดันเป็นกระแส และส่งไปยังวงจรสะท้อนกระแสแบบวิลสัน  $CM_1$  ซึ่งเป็นวงจรสะท้อนกระแสที่มีอัตราขยายกระแสเป็นสองเท่าประกอบด้วย ทรานซิสเตอร์สามตัว คือ ทรานซิสเตอร์  $Q_1$ ,  $Q_2$  และ  $Q_3$  ตามลำดับที่กล่าวมา



ดังนั้นกระแสจุดออก  $I_{out}$  จะสามารถเขียนเป็นสมการได้ดังนี้

$$\begin{aligned} I_{out} &= I_2 - I_3 \\ &= -\frac{I_B}{I_{B3}} \left( \frac{V_{in}}{R} \right) \end{aligned} \quad \text{เมื่อ } V_{in} > 0 \quad (6.59)$$

ในทางตรงกันข้าม เมื่อป้อนแรงดัน  $V_{in}$  ที่มีค่าน้อยกว่าศูนย์ จะได้ค่ากระแส  $I_1$  และ  $I_2$  มีค่าเท่ากับ

$$I_1 = -\frac{I_B}{I_{B3}} \left( \frac{V_{in}}{R} \right) \quad (6.60)$$

และ

$$I_2 = -\frac{I_B}{I_{B3}} \left( \frac{V_{in}}{R} \right) \quad (6.61)$$

เนื่องจากกระแส  $I_1$  มีค่าเป็นลบ จึงทำให้กระแส  $I_1$  ไม่สามารถไหลผ่านวงจรสะท้อนกระแส  $CM_1$  ได้ เพราะว่วงจรสะท้อนกระแส  $CM_1$  เป็นวงจรสะท้อนกระแสแบบบวก ซึ่งจะยอมให้กระแสที่มีค่าเป็นบวกเท่านั้นที่สามารถไหลผ่านไปได้ กระแสทางเข้าที่พุดจึงเกิดจากกระแส  $I_2$  ซึ่งจะเป็นดังสมการที่(6.62)

$$\begin{aligned} I_{out} &= -I_2 \\ &= -\frac{I_B}{I_{B3}} \left( \frac{V_{in}}{R} \right) \end{aligned} \quad \text{เมื่อ } V_{in} < 0 \quad (6.62)$$

จากสมการที่(6.59) และสมการที่(6.62) กระแสจุดออก  $I_{out}$  สามารถเขียนเป็นสมการได้ดังนี้

$$I_{out} = -\frac{I_B}{I_{B3}R} |V_{in}| \quad (6.63)$$

หรือ

$$I_{out} = \frac{A_i}{R} |V_{in}| \quad (6.64)$$

ดังนั้นจะพบว่ากระแสจุดออก  $I_{out}$  ที่ได้จะเป็นการเรียงกระแสแบบเต็มคลื่นของแรงดันจุดเข้า  $V_{in}$  ผลของค่าศักดาความร้อนที่เกิดขึ้นในตัวโอทีเอ ได้ถูกชดเชยไป ทำให้วงจรมีเสถียรภาพต่ออุณหภูมิที่ดี วงจรจึงมีความเที่ยงตรงสูง แรงดันทางด้านอินพุตกว้าง และสามารถควบคุมกระแสเข้าที่พุดได้ด้วยอิเล็กทรอนิกส์

### 6.3.6 วิเคราะห์หาสมรรถนะการทำงานของวงจร

#### 6.3.6.1 วิเคราะห์หาช่วงปฏิบัติงานของวงจร

การหาช่วงปฏิบัติงานของวงจรเรียงกระแสแบบเต็มคลื่นในรูปที่ 6.10 จะหาได้จากการวิเคราะห์ช่วงปฏิบัติงานของวงจรเปลี่ยนแปลงแรงดันเป็นกระแสแสดงไว้ในหัวข้อ 6.3.3 นั้นเอง ดังนั้นการหาช่วงปฏิบัติการของสัญญาณจุดเข้า  $V_{in}$  ของวงจรเรียงกระแสแบบเต็มคลื่นวิธีนี้สามารถหาได้จากสมการที่ (6.17) เช่นกันคือ

$$-2V_T - I_{B3}R \leq V_{in} \leq 2V_T + I_{B3}R \quad (6.65)$$

#### 6.3.6.2 วิเคราะห์ผลตอบสนองทางความถี่ของวงจร

จากหลักการทำงานของวงจรในรูปที่ 6.10 จะเห็นว่าวงจรประกอบด้วยสองส่วน คือวงจรเปลี่ยนแรงดันเป็นกระแส และวงจรสะท้อนกระแสที่มีอัตราขยายกระแสเป็นสองเท่า ดังนั้นการวิเคราะห์ผลตอบสนองทางความถี่จะแยกการวิเคราะห์ออกเป็นสองส่วนคือวิเคราะห์หาผลตอบสนองทางความถี่ของโอทีเอที่ต่อร่วมกันเป็นวงจรเปลี่ยนแรงดันเป็นกระแส โดยสามารถดูได้จากสมการที่ (6.33) และสมการที่ (6.34) ในหัวข้อที่ 6.3.3 ส่วนการวิเคราะห์หาผลตอบสนองทางความถี่ของวงจรสะท้อนกระแสแบบวิลสันที่อัตราขยายกระแสเป็นสองเท่าสามารถหาได้ดังสมการที่ (6.69)

จากสมการแสดงความสัมพันธ์ของกระแสจุดออก  $I_{out}$  และกระแสจุดเข้า  $I_{in}$  ของวงจรสะท้อนกระแสที่เป็น ไบโพลาร์แบบวิลสันดังนี้

$$I_{out} = \left[ 2 - \frac{3(\beta + 2)}{\beta^2 + 3\beta + 3} \right] I_{in} \quad (6.66)$$

$$\beta(s) = \frac{\beta_0}{1+Ts}$$

และ

$$T = \frac{\beta_0}{\omega_T}$$

โดยที่

$\beta_0$  คืออัตราขยายกระแสของทรานซิสเตอร์

$\omega_T$  คือความถี่ที่ทำให้ค่าของทรานซิสเตอร์มีค่าเท่ากับหนึ่ง

แทนค่า  $\beta$  ด้วย  $\beta(S)$  ลงในสมการที่(6.66) ผลตอบสนองทางความถี่ของวงจรจะหาได้ดังนี้

$$I_{out}(s) = \left[ \frac{2\left(\frac{\beta_0}{1+Ts}\right)^2 + 3\left(\frac{\beta_0}{1+Ts}\right)}{\left(\frac{\beta_0}{1+Ts}\right)^2 + 3\left(\frac{\beta_0}{1+Ts}\right) + 3} \right] I_{in}(S) \quad (6.67)$$

จากสมการที่(6.67) นำมาจัดใหม่ได้ดังนี้

$$I_{out}(s) = \left[ \frac{2\beta_0^2 + 3\beta_0 + 3\beta_0Ts}{\beta_0^2 + 3\beta_0 + 3\beta_0Ts + 3 + 6Ts + 3T^2s^2} \right] I_{in}(s) \quad (6.68)$$

$$= \left[ 2 - \frac{3\beta_0 + 6}{\beta_0^2 + 3\beta_0 + 3} \right] \left[ \frac{1 + \frac{3\beta_0Ts}{2\beta_0^2 + 3\beta_0}}{1 + \frac{3\beta_0Ts + 6Ts + 3T^2s^2}{\beta_0^2 + 3\beta_0 + 3}} \right] I_{in}(s)$$

จากสมการที่(6.68) เขียนเป็นสมการใหม่ได้ดังนี้

$$\frac{I_{out}(s)}{I_{in}(S)} = \left[ 2 - \frac{3\beta_0 + 6}{\beta_0^2 + 3\beta_0 + 3} \right] \left[ \frac{1 + \frac{3\beta_0Ts}{2\beta_0^2 + 3\beta_0}}{1 + \frac{(3\beta_0 + 6)Ts}{\beta_0^2 + 3\beta_0 + 3} + \frac{3T^2s^2}{\beta_0^2 + 3\beta_0 + 3}} \right] \quad (6.69)$$

$$\frac{I_{out}(s)}{I_{in}(s)} = \left[ 2 - \frac{3\beta_0 + 6}{\beta_0^2 + 3\beta_0 + 3} \right] \left[ \frac{1 + \frac{3\beta_0 Ts}{2\beta_0^2 + 3\beta_0}}{1 + \frac{(3\beta_0 + 6)Ts}{\beta_0^2 + 3\beta_0 + 3} + \frac{3T^2 s^2}{\beta_0^2 + 3\beta_0 + 3}} \right] \quad (6.69)$$

กรณีที่  $\beta_0 \gg 3$  จะได้ว่า

$$\frac{I_{out}(s)}{I_{in}(s)} = \left[ 2 - \frac{3}{\beta_0 + 3} \right] \left[ \frac{1 + \frac{3}{2\omega_T} s}{1 + \frac{3}{\omega_T} s + \frac{3}{\omega_T^2} s^2} \right] \quad (6.70)$$

จากสมการที่(6.70) ค่าผลตอบแทนทางความถี่ที่ได้ของวงจรสะท้อนกระแสแบบวิลสันที่มีอัตราขยายกระแสเป็นสองเท่านี้จะมีค่าเท่ากับ  $\omega_T / \sqrt{3}$  ซึ่งจะเห็นว่ามีค่าสูงมาก

ดังนั้นผลตอบแทนทางความถี่ของวงจรเรียงกระแสแบบเต็มคลื่นดังรูปที่6.10 จะถูกจำกัดอยู่ที่ค่าผลตอบแทนทางความถี่ของวงจรเปลี่ยนแรงดันเป็นกระแสคือประมาณ 2MHz

### 6.3.6.3 วิเคราะห์หาค่าความผิดพลาดของวงจร

จากหลักการทำงานของวงจรในรูปที่6.10 การหาค่าความผิดพลาด ( $\varepsilon_r$ ) ของวงจรมีด้วยกันสองกรณีคือ กรณีของแรงดันจุดเข้าที่มีค่ามากกว่าศูนย์ ( $V_{in} > 0$ ) กรณีแรงดันจุดเข้าที่มีค่าน้อยกว่าศูนย์ ( $V_{in} < 0$ ) ซึ่งทั้งสองกรณีจะมีค่าความผิดพลาดของวงจรแตกต่างกัน ดังนี้

กรณีแรงดันจุดเข้าที่มีค่าน้อยกว่าศูนย์ ( $V_{in} < 0$ ) ก็คือค่าความผิดพลาดของวงจร ( $\varepsilon_r$ ) ก็คือค่าความผิดพลาดของวงจรเปลี่ยนแรงดันเป็นกระแสนั้นเอง

$$I_{out} = (1 - \varepsilon_r) \frac{g_{m1}}{g_{m3}} \frac{V_{in}}{R} \quad (6.71)$$

$$= (1 - \varepsilon_r) A_G \frac{V_{in}}{R}$$

ค่าความผิดพลาดของวงจรเปลี่ยนแรงดันเป็นกระแสคือ

$$\varepsilon_r = \frac{1}{1 + g_{m3}R}$$

ส่วนกรณีแรงดันจุดเข้าที่มีค่ามากกว่าศูนย์ ( $V_{in} > 0$ ) ค่าความผิดพลาดของวงจร ( $\varepsilon_r$ ) สามารถหาได้จากสมการต่อไปนี้

$$I_{out} = (2 - \varepsilon_a)(1 - \varepsilon_b) A_G \frac{V_{in}}{R} + (1 - \varepsilon_b) A_G \frac{V_{in}}{R} \quad (6.72)$$

จากสมการแสดงความสัมพันธ์ ของวงจรสะท้อนกระแสแบบวิลสันที่เป็นไบโพลาร์ที่มีอัตราขยายกระแสเป็นสองเท่า ดังนี้

$$I_{out} = \left[ 2 - \frac{3(\beta + 2)}{\beta^2 + 3\beta + 3} \right] I_{in} \quad (6.73)$$

จะพบว่าค่าความผิดพลาด ( $\varepsilon_a$ ) ของวงจรสะท้อนกระแสที่มีอัตราขยายสองเท่านี้จะมีค่าเท่ากับ

$$\varepsilon_a = \frac{3(\beta + 2)}{\beta^2 + 3\beta + 3} \quad (6.74)$$

โดยที่  $\beta$  คืออัตราขยายกระแสของทรานซิสเตอร์ในวงจรสะท้อนกระแส แทนค่า  $\varepsilon_a$  และ  $\varepsilon_b$  ลงในสมการที่(6.72) จะได้

$$I_{out} = \left[ \left( 2 - \frac{3(\beta + 2)}{\beta^2 + 3\beta + 3} - \frac{2}{1 + g_{m3}R} + \left( \frac{3(\beta + 2)}{\beta^2 + 3\beta + 3} \right) \left( \frac{1}{1 + g_{m3}R} \right) \right) + \left( 1 - \frac{1}{1 + g_{m3}R} \right) \right] A_G \frac{V_{in}}{R} \quad (6.75)$$

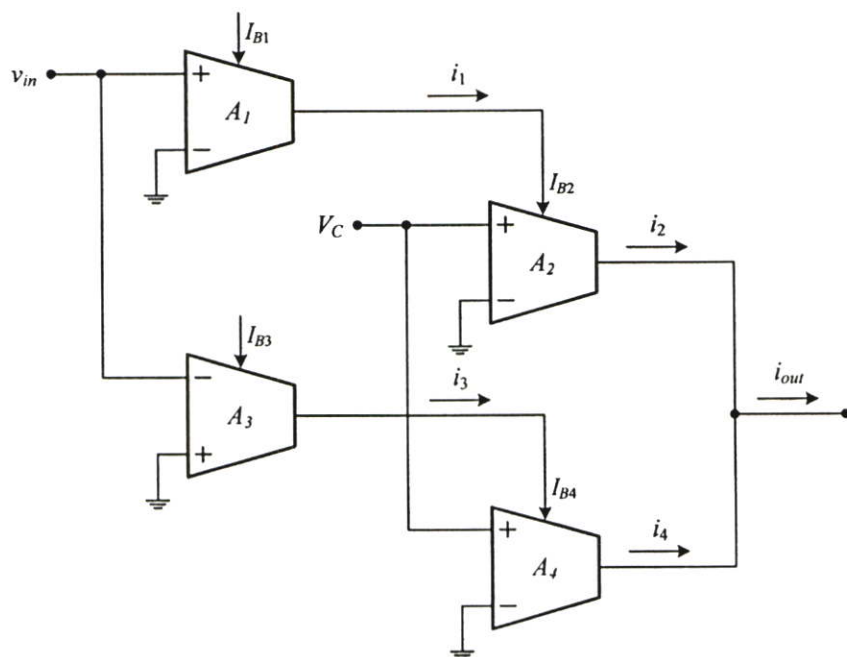
$$= \left[ 1 - \frac{(\beta^2 + 3\beta + 3) + (2\beta^2 - 3\beta)g_{m3}R}{(\beta^2 + 3\beta + 3)(1 + g_{m3}R)} \right] A_G \frac{V_{in}}{R}$$

ดังนั้นค่าความผิดพลาดของวงจร ( $\varepsilon_r$ ) จะมีค่าเป็นดังสมการ

$$\varepsilon_r = \frac{(\beta^2 + 3\beta + 3) + (2\beta^2 - 3\beta)g_{m3}R}{(\beta^2 + 3\beta + 3)(1 + g_{m3}R)} \quad (6.76)$$

#### 6.4 วงจรเรียงกระแสแบบเต็มคลื่นใช้วงจรขยายโอทีเอทีที่ควบคุมได้

วงจรเรียงกระแสแบบเต็มคลื่นแบบใช้วงจรขยายโอทีเอทีที่ควบคุมได้นำมาจากวงจรเรียงกระแสครึ่งคลื่นสองชุดจากรูปที่ 6.3 ถูกนำมาต่อแสดงในรูปที่ 6.11 เพื่อสร้างเป็นวงจรเรียงกระแสแบบเต็มคลื่นซึ่งโอทีเอ1 และ โอทีเอ2 จะเป็นวงจรเรียงกระแสแบบครึ่งคลื่นซิกบวก ในส่วนโอทีเอ3 และ โอทีเอ4 จะเป็นวงจรเรียงกระแสแบบครึ่งคลื่นซิกลบ โดยใช้การควบคุมการทำงานด้วยโวลต์เตจในทางอุดมคตินั้น ถ้าให้อัตราขยายทรานส์คอนดักแตนซ์ของ โอทีเอ1 และ โอทีเอ3 มีค่าเท่ากัน  $g_{m1} = g_{m3} = g_m$  โดยที่  $I_{B1} = I_{B3} = I_B$  และ  $g_m = I_B / 2V_T$  สำหรับ  $v_{in} > 0$  กระแส  $i_1$  และ  $i_3$  ของ โอทีเอ1 และ โอทีเอ3 สามารถที่จะแสดงได้เป็นดังนี้



รูปที่ 6.11 วงจรเรียงกระแสแบบเต็มคลื่นโดยใช้วงจรขยายโอทีเอทีที่สามารถควบคุมกระแสได้

$$i_1 = g_{m1}v_{in} = g_m v_{in} \quad (6.77)$$

และ

$$i_3 = -g_{m3}v_{in} = -g_m v_{in} \quad (6.78)$$

ในส่วนของกระแส  $i_1$  และ  $i_3$  จะถูกส่งต่อไปเป็นกระแสไบอัสให้กับโอทีเอ2 และโอทีเอ4 ตามลำดับ ซึ่งในกรณี  $V_C \gg 2V_T$  เป็นการเรียงกระแสซีกบวก ซึ่งโอทีเอ2 และโอทีเอ4 จะยอมให้กระแสที่เป็นช่วงบวกไหลผ่านตัวมันเท่านั้น นั่นหมายความว่าสำหรับ  $v_{in} > 0$  กระแส  $i_2=i_1$  และ  $i_4=0$  หรือ

$$i_2 = i_1 = g_m v_{in} \text{ and } i_4 = 0 \quad \text{for } v_{in} > 0 \quad (6.79a)$$

ในช่วง  $v_{in} < 0$  กระแส  $i_1$  จะเป็นลบ และกระแส  $i_3$  จะเป็นบวก ดังนั้น  $i_2=0$  หรือ  $i_4=i_3$  หรือ

$$i_2 = 0 \text{ and } i_4 = i_3 = g_m v_{in} \quad \text{for } v_{in} < 0 \quad (6.79b)$$

จากรูปที่ 6.11 กระแสทางเข้าที่พุท  $i_{out}$  เป็นผลบวกของกระแส  $i_2$  และ  $i_4$  จะสามารถเขียนความสัมพันธ์ระหว่างแรงดันอินพุท  $v_{in}$  กับกระแสเข้าที่พุท  $i_{out}$  ได้เป็น

$$i_{out} = i_2 + i_4 = g_m |v_{in}| = \frac{I_B}{2V_T} |v_{in}| \quad (6.80)$$

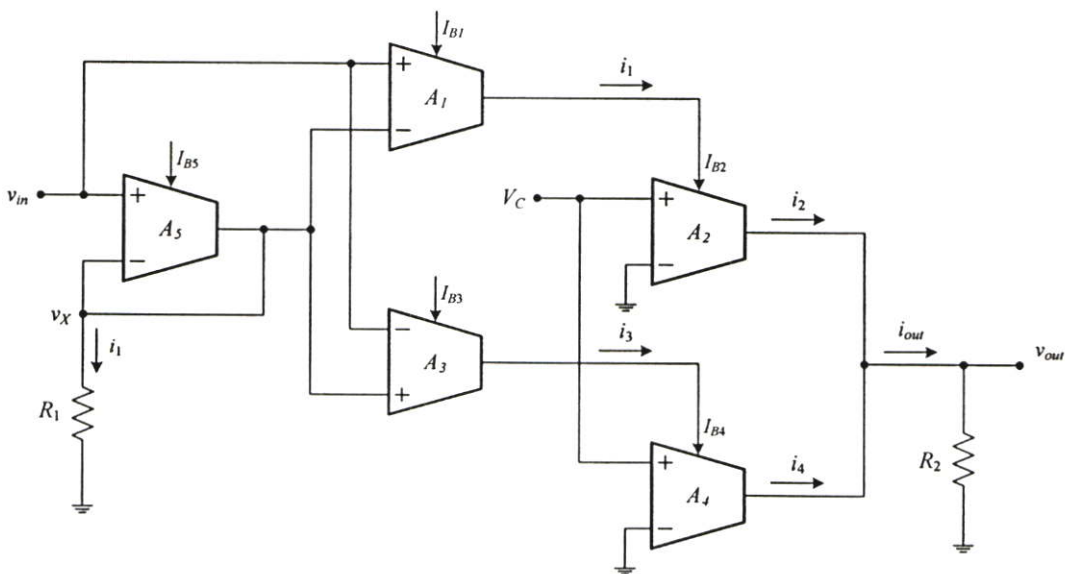
ซึ่งจะเรียกว่าวงจรเรียงกระแสแบบเต็มคลื่นแบบบวก ในทำนองตรงกันข้าม ถ้า  $V_C \ll -2V_T$  เป็นการควบคุมทิศทางกระแสทางลบ จากสมการที่(6.4) สามารถพิจารณาได้ดังสมการ(6.77)ถึงสมการ(6.80) อธิบายได้ว่าการทำงานของวงจรสามารถทำเป็นวงจรเรียงกระแสแบบเต็มคลื่นทางลบ โดยที่กระแสเข้าที่พุทสามารถที่จะแสดงได้เป็นสมการที่(6.81)

$$i_{out} = -g_m |v_{in}| = -\frac{I_B}{2V_T} |v_{in}| \quad (6.81)$$

จากสมการที่(6.80) และ(6.81) แสดงให้เห็นว่าวงจรในรูปที่ 6.11 สามารถทำงานเป็นวงจรเรียงกระแสแบบเต็มคลื่นทางบวกหรือทางลบได้โดยการควบคุมทิศทางของแรงดัน  $V_C$  ซึ่งข้อดีอันนี้ไม่สามารถที่จะหาได้ในวงจรเรียงกระแสแบบพื้นฐานของการนำเสนอทั้งหมด

### 6.4.1 วงจรเรียงกระแสเต็มคลื่นใช้วงจรถยายโอทีเอทีควบคุมได้และมีการชดเชยผลของอุณหภูมิ

การปรับปรุงวงจรเรียงกระแสแบบเต็มคลื่นที่ได้นำเสนอนี้ มีการพัฒนาให้สามารถรับแรงดันอินพุตที่จำกัด และผลของอุณหภูมิ จากสมการที่(6.80) และ (6.81) จะพบว่าผลลัพธ์สุทธิของกระแสเข้าที่พู่จะเป็นการเรียงกระแสแบบเต็มคลื่นของสัญญาณอินพุต แต่อย่างไรก็ตามวงจรจะมีข้อจำกัดอยู่สองประการที่เกิดขึ้นจากการนำโอทีเอมาใช้ในการออกแบบ คือ ข้อจำกัดแรกภาคอินพุตของโอทีเอที่เป็นวงจรถยายคิฟเฟอร์นเซียลซึ่งแรงดันอินพุตที่มีความแตกต่างจะถูกจำกัดอยู่ที่ต้องมีค่าน้อยกว่า  $50mV$  สำหรับการทำงานในช่วงเชิงเส้น ข้อจำกัดที่สองก็คือค่าอัตราขยาย ทรานส์คอนดัก-แดนซ์ของโอทีเอจะเป็นสัดส่วนกลับกับผลของอุณหภูมิ ดังนั้นวงจรที่ทำการชดเชยผลของอุณหภูมิโดยใช้วงจรถยายโอทีเอได้มีการนำเสนอไว้แล้วในบทที่4 วงจรเรียงกระแสแบบเต็มคลื่นแบบใช้วงจรถยายโอทีเอที่มีช่วงแรงดันอินพุตกว้าง และไม่ขึ้นอยู่กับผลของอุณหภูมิ แสดงในรูปที่ 6.12 เป็นการแก้ปัญหาค่าจำกัดของโอทีเอที่กล่าวมาในเรื่องอุณหภูมิและขีดจำกัดทางอินพุต ซึ่งโอทีเอ5 จะทำหน้าที่เป็นความต้านทานที่ปรับค่าได้ด้วยวิธีทางอิเล็กทรอนิกส์ และตัวต้านทาน  $R_1$  ทำหน้าที่เป็นวงจรแบ่งแรงดัน โดยจะให้แรงดันตกคร่อมโอทีเอ5มีค่าน้อยมากซึ่งจะมีค่าเท่ากับ  $(V_{in}-V_x)$  ดังนั้น ช่วงปฏิบัติงานของวงจรจะมีค่าสูงขึ้นต่างจากที่กล่าวมานั้น แรงดันที่ตกคร่อมโอทีเอ5 จะใช้เป็นแรงดันอินพุตสำหรับโอทีเอ1 และโอทีเอ3 จากการวิเคราะห์วงจรของรูปที่6.12 แรงดันที่จุด  $x$  หรือ  $V_x$  สามารถแสดงได้ดังนี้



รูปที่6.12 วงจรเรียงกระแสเต็มคลื่นที่สามารถปรับค่ากระแสและมีการชดเชยอุณหภูมิ

$$v_x = \frac{g_{m5} R_1}{1 + g_{m5} R_1} v_{in} \quad (6.82)$$

และกระแส  $i_1$  และ  $i_3$  สามารถแสดงได้ดังนี้

$$i_1 = -i_3 = g_m (v_{in} - v_x) \quad (6.83)$$

ซึ่ง  $g_{m1} = g_{m3} = g_m$  จากสมการที่(6.82) และ(6.83) กระแส  $i_1$  และ  $i_3$  จะมีค่าเท่ากับ

$$i_1 = -i_3 = \frac{g_m}{1 + g_{m5}R_1} v_{in} \quad (6.84)$$

ถ้าในการออกแบบโดยใช้  $g_{m5}R_1 \gg 1$  กระแส  $i_2$  และ  $i_4$  จะสามารถให้ค่าโดยประมาณ

$$i_2 = -i_4 = \frac{g_m}{g_{m5}R_1} v_{in} = \frac{I_B}{I_{B5}} \frac{v_{in}}{R_1} \quad (6.85)$$

ดังนั้น แรงดันเอาต์พุต  $V_{out}$  จะมีค่าเท่ากับ

$$v_{out} = \frac{I_B R_2}{I_{B5} R_1} |v_{in}| \quad \text{for } V_C \gg 2V_T \quad (6.86a)$$

และ

$$v_{out} = -\frac{I_B R_2}{I_{B5} R_1} |v_{in}| \quad \text{for } V_C \ll -2V_T \quad (6.86b)$$

สมการที่ (6.86a) และ (6.86b) แสดงให้เห็นว่าค่าอัตราขยายทรานส์คอนดักแตนซ์ของ  $g_{m1}$  และ  $g_{m3}$  จะไม่ขึ้นกับอุณหภูมิ ซึ่งจะถูกลดเซยโดย  $g_{m5}$  นอกจากนี้ ข้อจำกัดของการสวิงแรงดันอินพุตได้ถูกปรับปรุงจากค่า  $2V_T$  ไปเป็น  $I_{B5} R_1$  แรงดันเอาต์พุต  $V_{out}$  สามารถที่ปรับค่าได้โดยใช้ทางอิเล็กทรอนิกส์ โดยประมาณด้วยอัตราส่วนของกระแส  $I_B/I_{B5}$

#### 6.4.2 วิเคราะห์ค่าความผิดพลาด

การทำงานของวงจรเรียงกระแสเต็มคลื่นโดยใช้วงจรขยายโอทีเอเพียงอย่างเดียวดังรูปที่6.12 มีการทำงานที่สามารถวิเคราะห์การผิดพลาดของวงจรได้ 4 ปัจจัยหลักๆคือ ในส่วนของความผิดพลาดการทรานส์เฟอร์(Transfer error) ค่าแรงดันกับกระแสทางอินพุต และการส่งผ่านกระแสภายในที่เกิดจากวงจรสะท้อนกระแส อีกส่วนที่สำคัญไม่น้อยที่จะนำมาวิเคราะห์คือค่าความนำที่

เปลี่ยนตามอุณหภูมิภายในของวงจรรขยายโอทีเอ ในปัจจัยสุดท้ายเป็นการผิดพลาดทางกระแสทาง  
 ำท์พุทที่ไม่เป็นศูนย์

ปัจจัยแรกมีสาเหตุมาจากความผิดพลาดของการส่งผ่านจากการแปลงแรงดันอินพุท  $v_{in}$  ไปสู่  
 สัญญาณเข้าที่พุทของกระแส  $i_i$  โดย  $OTA_5$  และ  $R_1$  จะให้ความสัมพันธ์ของอินพุท  $v_{in}$  และกระแส  $i_i$   
 สามารถแสดงได้อย่างถูกต้องดังนี้

#### 6.4.2.1 ค่าความผิดพลาดที่เกิดจากการเปลี่ยนค่าแรงดันทางอินพุทเป็นกระแสเข้าที่พุท

จากส่วนที่อธิบายไปก่อนหน้านี้ โอทีเอทั้งหมดได้สมมติให้เป็นอุดมคติ ในส่วนต่อไปนี้จะ  
 พิจารณาสาเหตุที่ทำให้เกิดความไม่เที่ยงตรง ในส่วนนี้เป็นส่วนแรกที่จะทำให้เกิดความผิดพลาดของ  
 กระแสที่เกิดขึ้นทางเข้าที่พุทสามารถหาค่าความสัมพันธ์นี้ได้จากสมการที่(6.87)

$$i_i = (1 - \varepsilon_v) \frac{g_m}{g_{m5} R_1} V_{in} \quad (6.87)$$

จากสมการที่(6.87) สามารถนำมาคิดเป็นเปอร์เซ็นต์ผิดพลาดระหว่างแรงดันกับกระแสจะได้  
 ค่าดังสมการที่(6.88)

$$\varepsilon_v = \frac{1}{1 + g_{m5} R_1} \times 100 \% \quad (6.88)$$

ถ้ากำหนดให้  $g_{m5}$  มีค่าเท่ากับ 0.0096 A/V และให้ค่า  $R_1$  มีค่าเท่ากับ 10 K $\Omega$  ค่าผิดพลาดที่  
 คาดเดาไว้จะมีค่าประมาณ 1 % ซึ่งค่าความผิดพลาดในส่วนนี้สามารถถูกทำให้ลดลงได้โดยการเพิ่ม  
 ค่าของ  $g_{m5} R_1$  ให้สูงขึ้น

#### 6.4.2.2 ค่าความผิดพลาดที่เกิดจากวงจรสะท้อนกระแส

ปัจจัยที่สองเป็นผลของความผิดพลาดที่เกิดจากการสะท้อนกระแสที่ไม่สามารถสะท้อนได้  
 อย่างอุดมคติ มีสาเหตุมาจากวงจรสะท้อนกระแสที่เป็นวงจรอยู่ในโอทีเอ ค่าเปอร์เซ็นต์ความ  
 ผิดพลาดของการส่งผ่านกระแสจากอินพุทไปสู่เข้าที่พุทของวงจรสะท้อนกระแสแบบวิลสัน ( $\varepsilon_c$ ) ที่  
 มีความสามารถแสดงได้โดย [2]

$$\varepsilon_c = \frac{2}{\beta^2 + 2\beta + 2} \times 100\% \quad (6.89)$$

กำหนด  $\beta$  เป็นค่าอัตราขยายกระแสของวงจรมิตเตอร์ร่วมของทรานซิสเตอร์ ตัวอย่างเช่น ถ้า  $\beta = 100$  ค่าผิดพลาดจะมีค่าเท่ากับ 0.02% ด้วยการประมาณค่าแบบนี้ จะสามารถเขียนความสัมพันธ์ระหว่างแรงดันอินพุต  $v_{in}$  และแรงดันเอาต์พุต  $v_{out}$  เป็นดังนี้

$$v_{out} = \left[ 1 - \left( \frac{1}{1 + g_{m5}R_1} + \frac{4}{\beta^2} \right) \right] \frac{R_2}{R_1} v_{in} \quad \text{for } V_C \gg 2V_T \quad (6.90a)$$

และ

$$v_{out} = - \left[ 1 - \left( \frac{1}{1 + g_{m5}R_1} + \frac{4}{\beta^2} \right) \right] \frac{R_2}{R_1} v_{in} \quad \text{for } V_C \ll -2V_T \quad (6.90b)$$

ดังนั้น ถ้า  $\beta = 100$ ,  $g_{m5} = 0.0096 \text{ A/V}$ ,  $R_1 = 10 \text{ k}\Omega$  และ  $R_2 = 10 \text{ k}\Omega$  ค่าผิดพลาดจากการคำนวณจะมีค่าประมาณ 2%

### 6.4.2.3 ค่าความผิดพลาดที่เกิดจากค่าความนำที่ขึ้นกับอุณหภูมิ

ปัจจัยที่สามก็คืออุณหภูมิที่ขึ้นอยู่กับค่าอัตราขยายทรานส์คอนดักแตนซ์  $g_m$  ซึ่งจะผลกระทบกระเทือนต่อกระแสเอาต์พุต ค่าเปอร์เซ็นต์ความผิดพลาดของกระแสเอาต์พุตสำหรับวงจรเปลี่ยนแรงดันเป็นกระแสที่มีการชดเชยผลของอุณหภูมิโดยใช้วงจรขยายโอทีเอ สามารถจะประมาณได้เป็นดังสมการที่(6.91)

$$\frac{\delta i_{out}}{i_{out}} = \frac{-2V_T}{2V_T + I_{B5}R_1} \frac{\Delta T}{T} \times 100\% \quad (6.91)$$

จากสมการที่(6.91) จะเห็นได้ว่าอิทธิพลของอุณหภูมิสามารถที่จะถูกลดลงโดยการเพิ่มค่าของ  $I_{B5}R_1$  ซึ่ง  $T$  คืออุณหภูมิห้อง ( $27^\circ\text{C}$ ) และ  $\Delta T$  คือ อุณหภูมิที่เปลี่ยนแปลงไปจากอุณหภูมิห้อง ถ้า  $V_T = 26 \text{ mV}$  ที่อุณหภูมิห้อง  $I_{B5} = 500 \mu\text{A}$  และ  $R_1 = 10 \text{ k}\Omega$  และการเปลี่ยนแปลงอุณหภูมิที่  $50^\circ\text{C}$

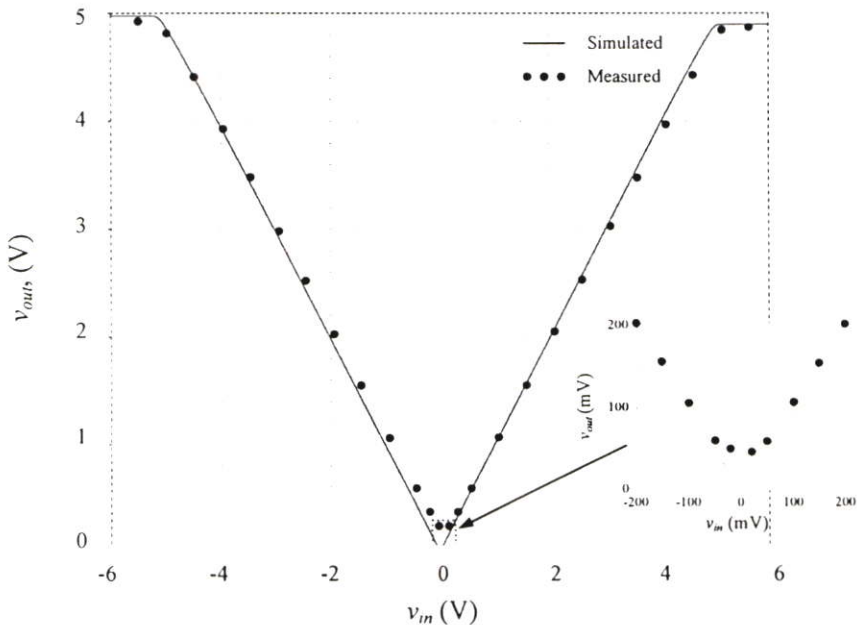
และ  $70^{\circ}\text{C}$  ค่าเปอร์เซ็นต์ความผิดพลาดของกระแสเข้าที่พู่  $i_{out}$  จะมีค่าประมาณ 0.0789% และ 0.1475% ตามลำดับ

#### 6.4.2.4 ค่าความผิดพลาดที่เกิดจากกระแสเข้าที่พู่

ปัจจัยที่สี่ก็คือค่ากระแสดีซีออฟเซตที่เข้าที่พู่ ซึ่งเกิดขึ้นจากคุณลักษณะที่ไม่เป็นอุดมคติของโอทีเอ เช่นค่าผิดพลาดของกระแสอินพุทออฟเซต และกระแสไบอัสอินพุทที่ไม่เป็นศูนย์ สามารถที่จะชดเชยได้โดยการเพิ่มแหล่งจ่ายกระแสดีซีเข้าไปกับกระแส  $i_1$  และ  $i_2$

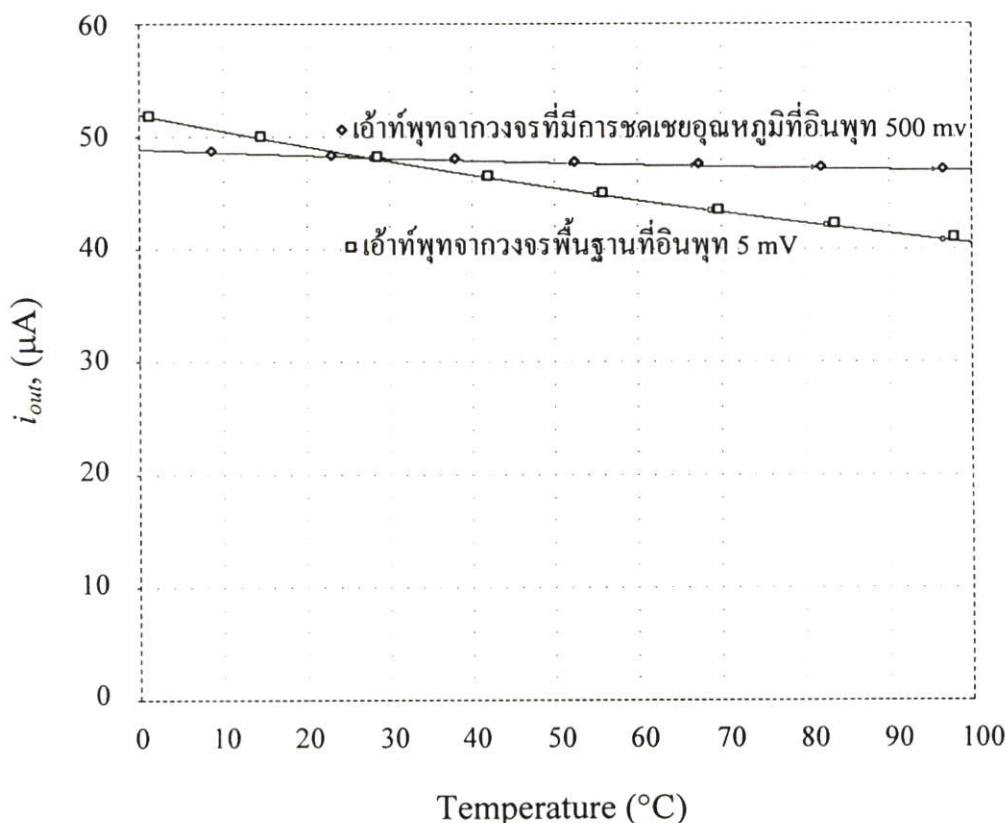
### 6.5 การทดสอบสมรรถนะของวงจรเรียงกระแสเต็มคลื่นที่สามารถควบคุมกระแสได้

การทำงานโดยใช้โปรแกรม PSPICE ซึ่งจะใช้ไลบรารีโอทีเอ เบอร์ LM13600 จากโปรแกรม PSPICE แหล่งจากแรงดัน  $V_{CC} = -V_{EE} = 15\text{V}$  กระแสไบอัสโอทีเอ  $I_{B1} = I_{B2} = I_{B3} = I_{B4} = I_{B5} = 500\mu\text{A}$  และ  $R_1 = R_2 = 10\text{k}\Omega$  ดังแสดงในรูปที่ 6.13 แสดงการพล็อตคุณสมบัติการถ่ายโอนทางดีซีของวงจรเรียงกระแสแบบเต็มคลื่นระหว่างแรงดันเข้าที่พู่  $v_{out}$  เทียบกับแรงดันอินพุท  $v_{in}$  จะพบว่าความเป็นเชิงเส้นและความเที่ยงตรงสูงสามารถพิจารณาจากค่า  $v_{in}$  50mV ถึง 5V ในส่วนของเส้นประเป็นการพล็อตรายละเอียดสำหรับค่าของ  $v_{in}$  น้อยกว่า  $\pm 200\text{mV}$  จะมีค่าผิดพลาดของสัญญาณมากกว่าด้วยการเปรียบเทียบ โดยเฉพาะอย่างยิ่งเมื่อ  $v_{in}$  มีค่าน้อยกว่า  $\pm 50\text{mV}$  นั้นหมายความว่าในส่วนนี้ได้ขยายย่านไดนามิกทางอินพุทให้สามารถรับค่าได้ 50mV ถึง 5V



รูปที่ 6.13 แสดงการพล็อตคุณสมบัติการถ่ายโอนทางดีซีของวงจร

ในรูปที่ 6.14 แสดงผลการเปรียบเทียบของกระแสเข้าที่พู่  $i_{out}$  เทียบกับอุณหภูมิในกรณีของ วงจรพื้นฐานและวงจรที่มีการชดเชยทางอุณหภูมิ สำหรับแรงดันที่ป้อนทางอินพุต  $v_{in}$  5 mV ของวงจร พื้นฐาน และ 500 mV เป็นอินพุตที่ป้อนให้วงจรที่มีการชดเชยทางอุณหภูมิ เมื่อกระแสเข้าที่พู่จะถูก ตั้งไว้ที่  $48 \mu A$  เป็นไปอัสให้แก่วงจรทั้งสอง จะพบแรงดันที่อินพุตมีค่าแตกต่างกันถึง 100 เท่า การ ทำงานของวงจรยังให้ผลดี ในส่วนของสมรรถนะทางด้านอุณหภูมิของวงจรที่มีการชดเชยผลของ อุณหภูมิที่ทำการทดสอบก็ยังให้ผลที่คงที่ของกระแสเข้าที่พู่  $48 \mu A$  ในช่วง 0 ถึง  $100^{\circ}C$  ดีกว่าแบบ วงจรพื้นฐานที่มีค่ากระแสเข้าที่พู่เปลี่ยนแปลงไประหว่าง  $52 \mu A$  ที่อุณหภูมิ  $0^{\circ}C$  และจะมีค่าที่ เท่ากันที่ อุณหภูมิ  $27^{\circ}C$  ค่าทางเข้าที่พู่ในวงจรจะลดลงเรื่อยๆ ไปจนถึง  $40 \mu A$  ที่อุณหภูมิ  $100^{\circ}C$

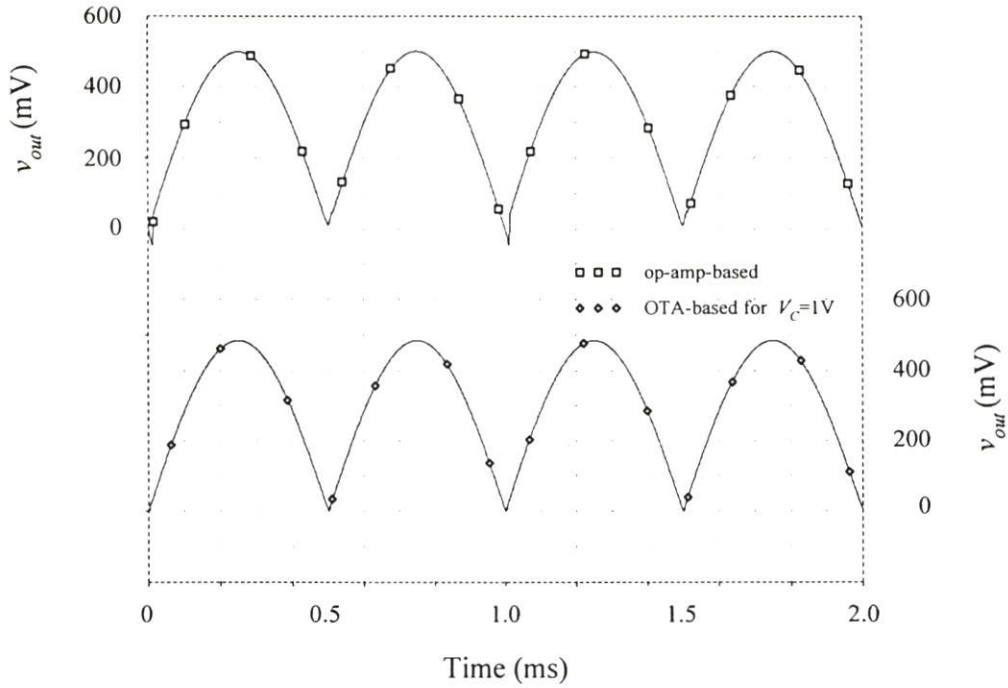


รูปที่ 6.14 แสดงผลการเปรียบเทียบของกระแสเข้าที่พู่  $i_{out}$  เทียบกับอุณหภูมิ

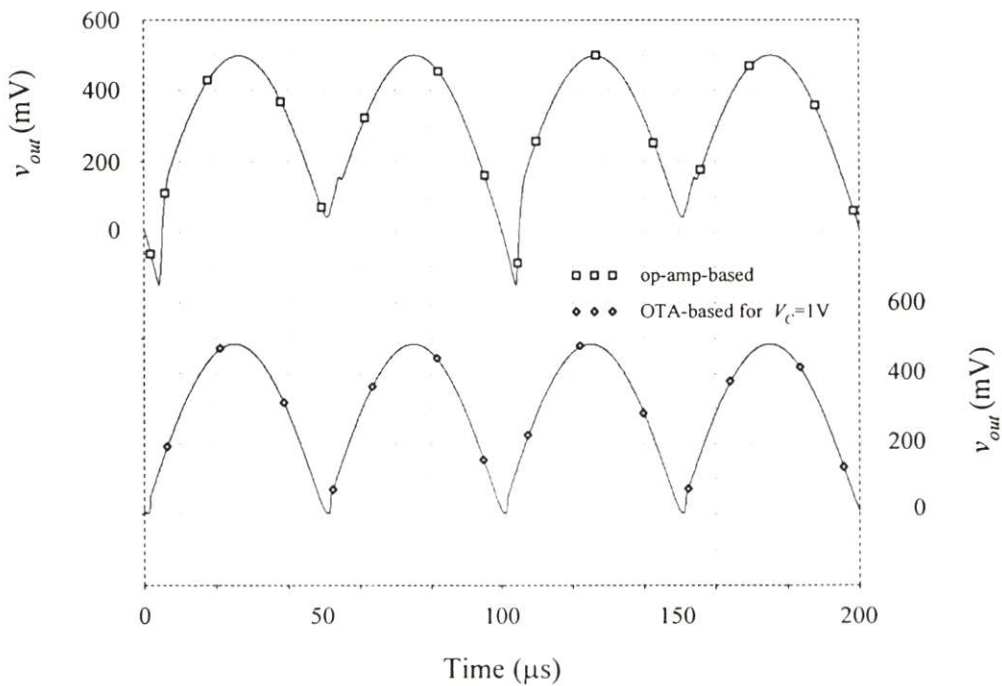
การเลียนแบบการทำงานของวงจรได้แสดงดังในรูปที่ 6.15a แสดงค่าเข้าที่พู่ของวงจรที่ ทำงานด้วย ออปแอมป์เบอร์ LM741 เมื่อ  $R = 10 K\Omega$  และป้อนเมื่อ  $v_{in} = 500 mV$  ที่ความถี่ 1 kHz เปรียบ เทียบการเลียนแบบการทำงานของ โอทีเอในรูปที่ 6.12 เมื่อป้อนอินพุตที่มีค่าเท่ากับป้อนที่ออปแอมป์ เพื่อเปรียบเทียบผลที่ได้ มีการควบคุมการเรียงคลื่นในทางบวกให้แรงดัน  $V_c = 1V$

ส่วนในรูป 6.15b ทำการทดสอบที่ค่าความถี่ 10 kHz ซึ่งแสดงค่ารูปคลื่นแรงดันเข้าที่พู่ที่เป็นบวก ของวงจรเรียงกระแสที่ใช้ออปแอมป์ในการทดลอง มีการเปรียบเทียบกับแรงดันเข้าที่พู่

ของวงจรเรียงกระแสที่นำเสนอขึ้นที่ความถี่ 10kHz ผลตอบสนองแสดงว่าวงจรที่ใช้วงจรขยายโอทีเอ จะให้สมรรถนะที่ดีกว่า โดยเฉพาะอย่างยิ่งในช่วงการตัดผ่านศูนย์



(a)

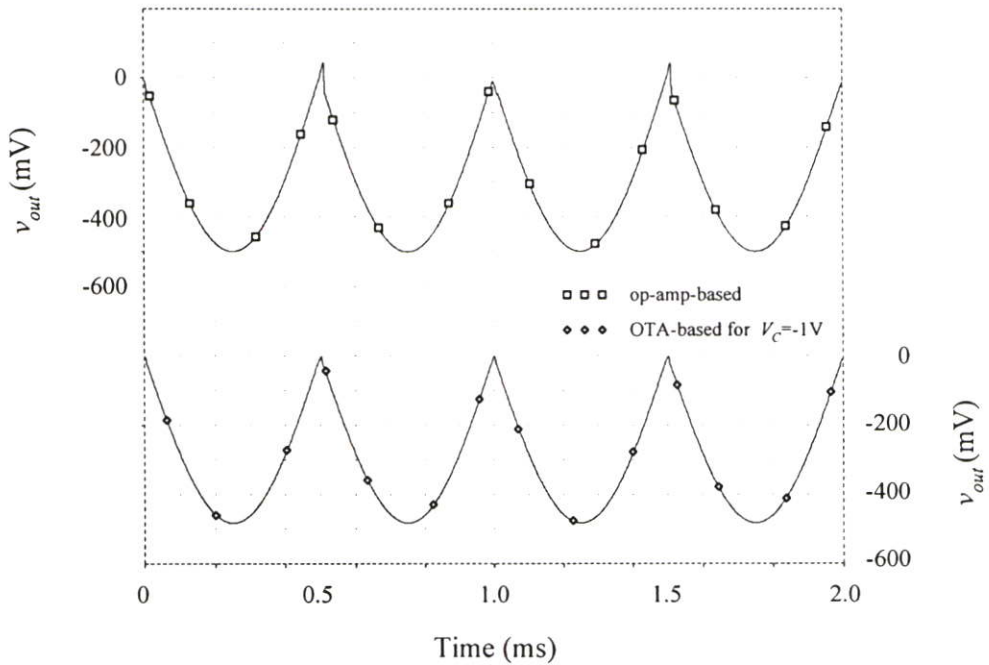


(b)

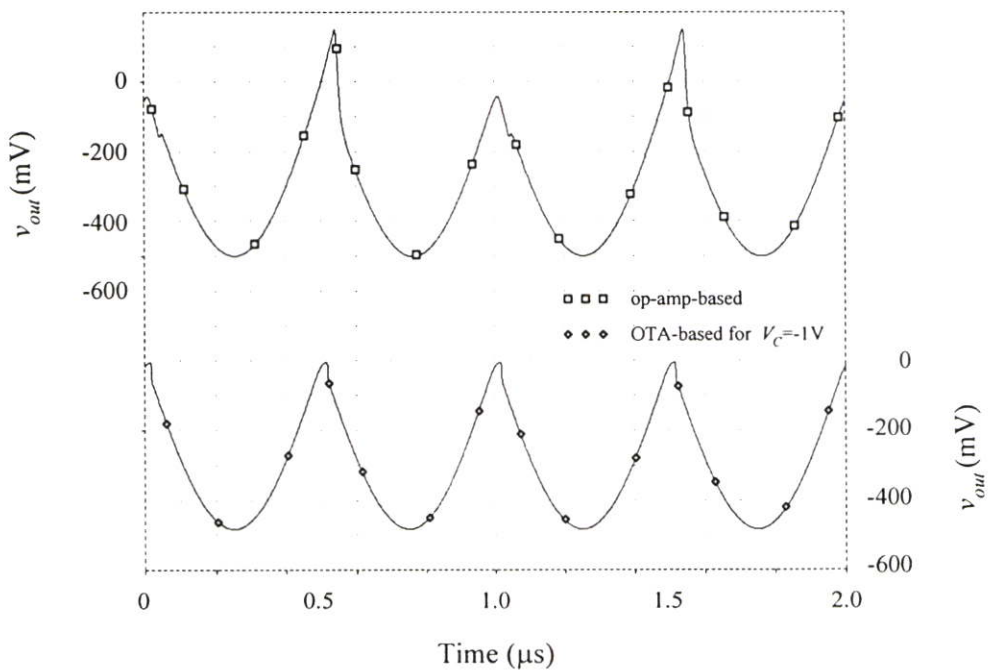
รูปที่ 6.15 แสดงผลการเลียนแบบการทำงานของวงจรเรียงกระแสเต็มคลื่นซิกบวกที่ความถี่

(a) 1kHz และ (b) 10kHz

ในรูปที่ 6.16 เพื่อทดสอบถึงการควบคุมการทำงานของวงจรว่าสามารถควบคุมทิศทางการไหลของกระแสได้ด้วย  $V_c$  กำหนดการเรียงกระแสในวงจรทางลบโดยใช้แรงดันทางลบควบคุมทิศทางการไหลของกระแสในทางลบ  $V_c = -1$  Volts ผลที่ได้ยังคงค่าที่ได้เหมือนกับการเรียงกระแสทางบวกในรูปที่ 6.16a ที่ความถี่ 1KHz และรูปที่ 6.16b ที่ความถี่ 10 KHz



(a)



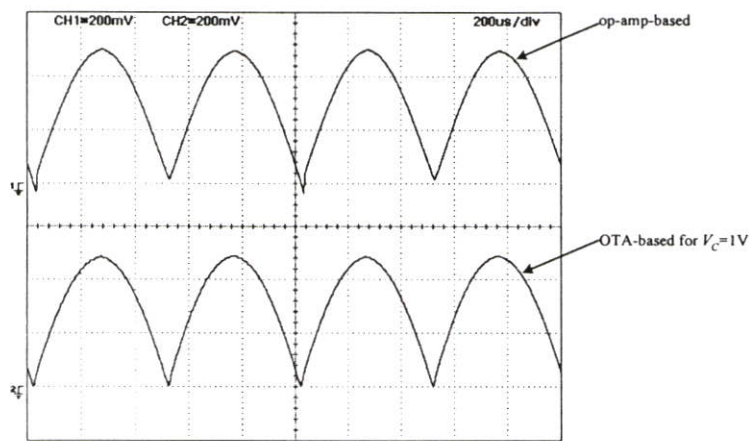
(b)

รูปที่ 6.16 แสดงผลการเลียนแบบการทำงานของวงจรเรียงกระแสเต็มคลื่นซีกลบที่ความถี่

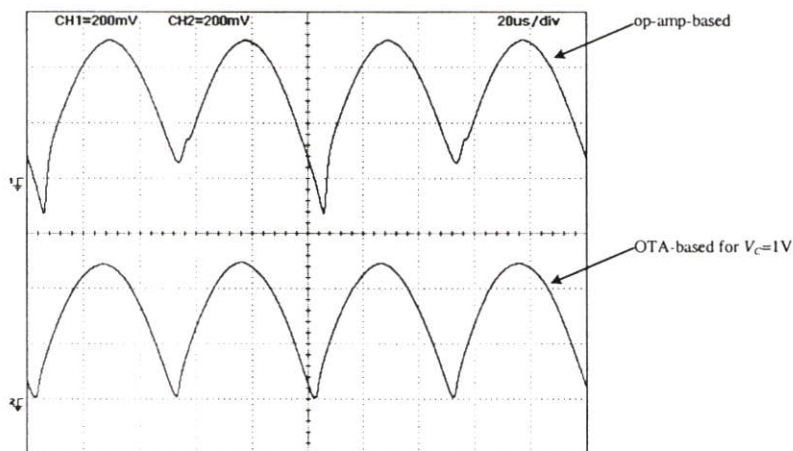
(a) 1kHz และ (b) 10kHz

## 6.6 การทดลองวงจรเรียงกระแสเต็มคลื่นโดยใช้วงจรมายโอทีเอ

สำหรับการทดลองวงจรเรียงกระแสแบบเต็มคลื่นโดยใช้วงจรมายโอทีเอในรูปที่ 6.12 จะถูกสร้างขึ้นโดยใช้วงจรมายโอทีเอเบอร์ LM13600 ความต้านทาน  $R_1$  และ  $R_2$  ที่ใช้ในวงจรมีค่าความผิดพลาด 1% รูปที่ 6.17 และ 6.18 แสดงรูปคลื่นเอาท์พุทที่วัดจากวงจรเรียงกระแสโดยใช้ออปแอมป์เปรียบเทียบกับวงจรเรียงกระแสโดยใช้วงจรมายโอทีเอ สำหรับความถี่ 1kHz และ 10kHz นอกจากนี้ช่วงปฏิบัติการทางด้านความถี่ของวงจรถูกทดสอบจากการวัดอยู่ที่ 50kHz ซึ่งจะพบว่าข้อจำกัดทางด้านความถี่ในการทำงานของวงจรขึ้นอยู่กับค่าผิดพลาดในช่วงการตัดผ่านศูนย์เนื่องมาจากสถานการณ์เปิดและปิดของโอทีเอ 2 และ โอทีเอ 4

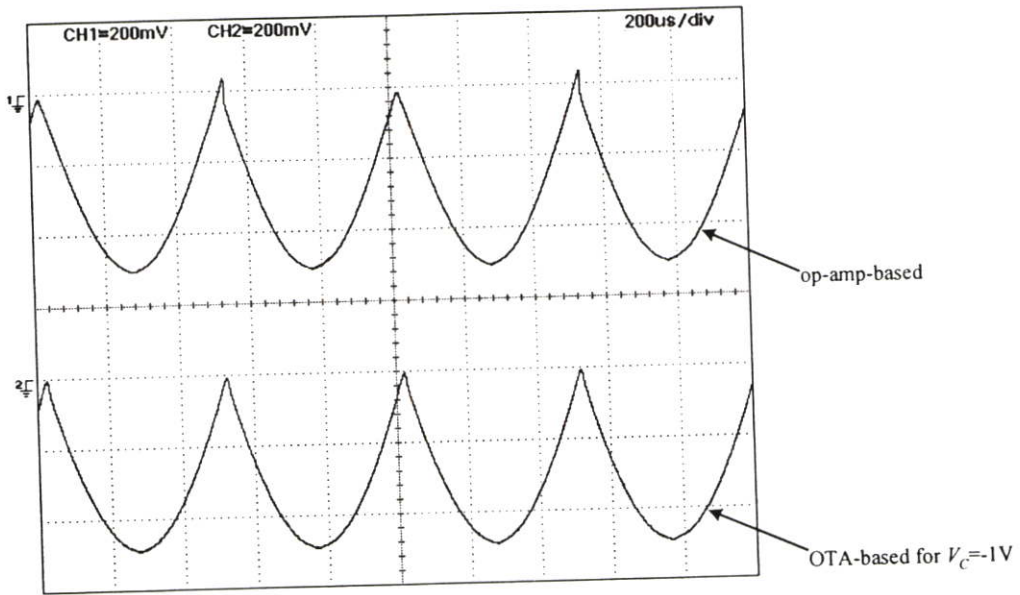


(a)

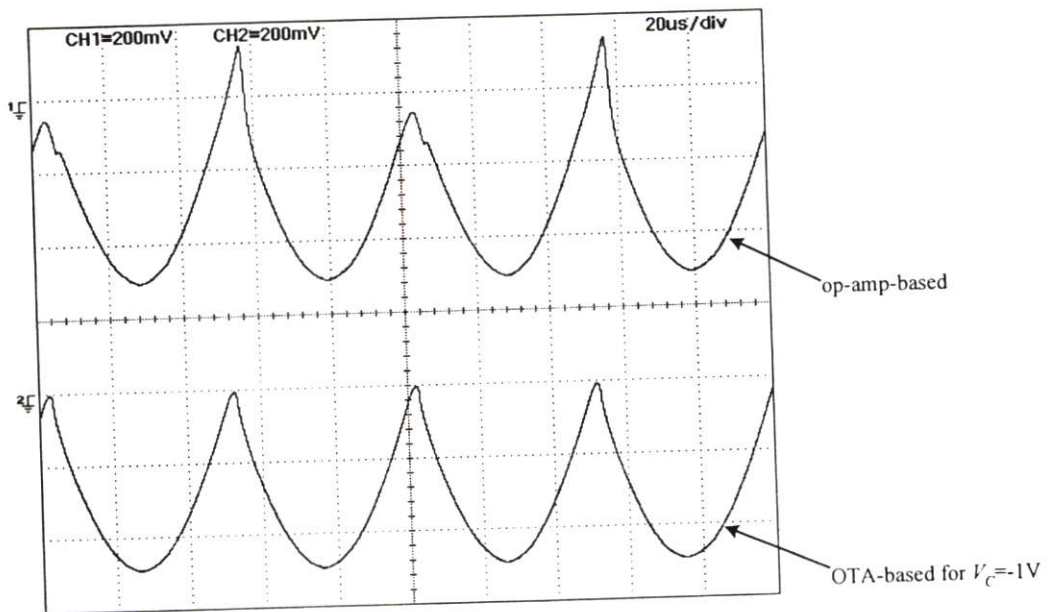


(b)

รูปที่ 6.17 แสดงผลการทดลองวงจรเรียงกระแสเต็มคลื่นซึ่งขั้วที่ความถี่ (a) 1kHz และ (b) 10kHz



(a)



(b)

รูปที่ 6.18 แสดงผลการทดลองวงจรเรียงกระแสเต็มคลื่นซิงกลบที่ความถี่ (a) 1kHz และ (b) 10kHz

## 6.7. บทสรุป

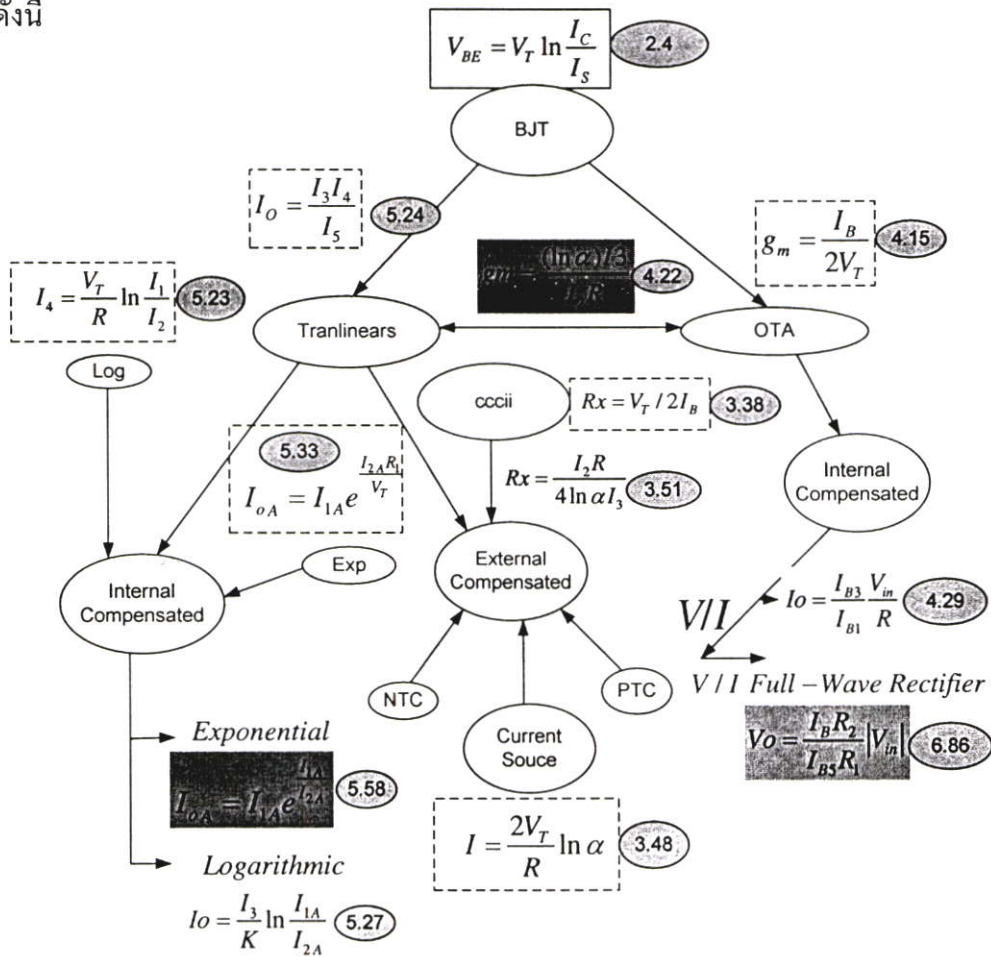
การทำงานของวงจรชดเชยอิมพีแดนซ์ในวงจรเรียงกระแสเต็มคลื่น โดยใช้วงจรขยายโอทีเอ ที่มีการทำงานในโหมดกระแสมีรูปแบบคล้ายๆกัน ทั้งในส่วนของอินพุตและส่วนทางเข้าที่พุทมีการใช้ วงจรสะท้อนกระแสและความต้านทานที่มีการนำเสนอในหัวข้อ6.3.1,6.3.4 ส่วนในหัวข้อ6.4 เป็นการนำเสนอวงจรเรียงกระแสเต็มคลื่นที่สามารถควบคุมกระแสได้ด้วยกระแสภายนอก และยังสามารถ กำหนดทิศทางของการเรียงกระแสได้ด้วยแรงดันควบคุมการทำงานอย่างง่ายๆ เพียงป้อนแรงดัน ควบคุมในแบบทางดิจิทัลให้มีค่าระดับบวก หรือลบ ก็สามารถควบคุมการทำงานของวงจรให้มี ทิศทางการเรียงกระแสเป็นบวกหรือลบได้ ซึ่งสามารถนำไปใช้ในวงจรดีมอดคูเลตในระบบการแยก สัญญาณแบบควอดเรเจอร์ได้ด้วยการควบคุมแรงดัน ดังกล่าวมา ในความสามารถของวงจรเรียง กระแสเต็มคลื่นที่ทำการวิจัยนี้ ได้ขยายย่านการรับแรงดันทางอินพุตให้มากกว่าอินพุตที่โอทีเอพื้นฐาน จะรับได้ ในการทดสอบสมรรถนะของวงจรให้เห็นจริงด้วยการทดลอง และการเลียนแบบการทำงาน ของวงจรเทียบกับออปแอมป์ที่มีการนำเสนอไว้ ผลที่ได้สามารถให้ค่าความเป็นเชิงเส้นได้ดี ในส่วน ของอินพุตทำการชดเชยการทำงานให้สามารถรับแรงดันทางอินพุตได้กว้างขึ้น และทางด้านอิมพีแดนซ์ ให้มีความสามารถทางความไวน้อยลง อีกทั้งยังสามารถควบคุมกระแสทางเข้าที่พุทได้ในส่วนนี้เป็นที่ น่าสนใจของนักวิจัยมากอีกทั้งในวงจรนี้ยังสามารถควบคุมทิศทางของกระแสไหลออกให้เป็นบวก หรือลบได้ด้วยการใช้แรงดันภายนอกควบคุมทิศทางของกระแสเข้าที่พุทของวงจรขยายโอทีเอในภาค เข้าที่พุท จากการทดสอบการทำงานของวงจรสามารถเห็นถึงการปฏิบัติการได้ดีในช่วงผ่านตัดศูนย์ และยังให้ความถี่ได้สูงถึง 50 KHz

# บทที่ 7

## บทสรุปและข้อเสนอแนะการทำวิจัย

### 7.1 บทสรุปและวิจารณ์

โครงสร้างของการชดเชยอุณหภูมิจากบทที่ 2 ถึงบทที่ 6 จะกล่าวถึงการทำงานของ การชดเชยในวงจรของ BJT สามารถเขียนเป็นเส้นทางการชดเชยดังรูปที่ 7.1 ที่จะอธิบายถึงการทำงาน ได้ดังนี้



รูปที่ 7.1 แสดงถึงโครงสร้างการชดเชยอุณหภูมิในวงจรไบโพลาร์ทรานซิสเตอร์

จากวงจรพื้นฐานของการทำงานในรูปแบบ BJT ในบทที่ 2 ในสมการที่ 2.4 แรงดันที่เกิดขึ้นระหว่างขาเบสและอิมิตเตอร์จะอยู่ในรูปแบบของฟังก์ชันลอการิทึมที่ขึ้นกับอุณหภูมิ ในการนำ BJT ไปใช้ในการออกแบบวงจรต่างๆ จึงต้องมีการชดเชยอุณหภูมิซึ่งสามารถแบ่งตามโครงสร้างของการออกแบบวงจรชดเชยได้สองรูปแบบคือ การออกแบบวงจรชดเชยอุณหภูมิในรูปแบบโอทีเอ

และรูปแบบของคิสิกิริทที่ใช้ในวงจรสายพานกระแสและวงจรขยายสัญญาณเลือกกับวงจรขยายสัญญาณแอนติล๊อค ซึ่งทั้งสองรูปแบบสามารถนำไปชดเชยทางอุณหภูมิที่สร้างจากวงจรภายนอก โดยใช้หลักการของการสร้างแหล่งจ่ายกระแสชดเชยจากภายนอกและรูปแบบของการใช้อุปกรณ์สารกึ่งตัวนำในรูปแบบNTC (Negative Temperature Coefficient) , PTC (Positive Temperature Coefficient) ซึ่งในส่วนของวงจรชดเชยจากภายนอกด้วยแหล่งจ่ายกระแส สามารถพิจารณาดังสมการที่(3.48) สามารถนำไปชดเชยค่าความนำในวงจรโอทีเอในสมการที่(4.22) ที่ทำงานร่วมกับวงจรทรานส์ลิเนียร์รูปวงจรรหารในการช่วยชดเชยทางอุณหภูมิ เราจัดเป็นการชดเชยแบบภายนอก ส่วนที่เกิดจากการชดเชยอุณหภูมิจากภายใน โดยใช้วงจรทรานส์ลิเนียร์รูปโดยตรงเป็นส่วนหนึ่งของวงจร โอทีเอเป็นดังสมการที่(4.15) ที่เป็นพื้นฐานของโอทีเอ นำมาต่อกันแบบขนาน โดยการใช้คุณสมบัติทางอินพุทของโอทีเอที่เป็นวงจรดิฟเฟอเรนเชียลมาต่อกันในลักษณะของวงจรทรานส์ลิเนียร์รูป จากคุณสมบัติดังกล่าวสามารถชดเชยอุณหภูมิได้ดังสมการ(4.29) และนำหลักการนี้ไปออกแบบเป็นวงจรเรียงกระแสเต็มคลื่นที่สามารถควบคุม และกำหนดทิศทางการไหลเข้าที่พุทได้ด้วยการใช้โอทีเอเพียงอย่างเดียวในสมการที่(6.86)

ในส่วนของวงจรชดเชยอุณหภูมิในรูปแบบทรานส์ลิเนียร์รูปแบบคิสิกิริททางซ้ายมือของรูปที่7.1 สามารถใช้ในการชดเชยภายนอกและภายในจากการสร้างแหล่งจ่ายกระแสที่ขึ้นกับอุณหภูมิในสมการที่(3.48) และนำไปชดเชยค่าความต้านทานที่สร้างขึ้นในวงจรสายพานกระแสยุคที่ 2 ในสมการที่(3.38)คั้งนั้นค่าความต้านทานที่เกิดขึ้นในวงจรสายพานกระแสจะไม่ขึ้นกับอุณหภูมิ สามารถนำค่าความต้านทานที่ปรับค่าได้ไม่ขึ้นตรงต่ออุณหภูมิในสมการที่(3.51) ไปใช้งานได้ ส่วนการชดเชยภายในได้มีการออกแบบในรูปของวงจรขยายสัญญาณเลือกพื้นฐานดังสมการที่(5.23) และรูปแบบวงจรขยายสัญญาณแอนติล๊อคการิมิกในสมการที่(5.33) เมื่อได้ค่าล๊อคและแอนติล๊อคที่ขึ้นกับอุณหภูมินำไปชดเชยค่าอุณหภูมิ โดยใช้หลักการของวงจรทรานส์ลิเนียร์รูปในสมการที่(5.24) ก็จะได้สัญญาณล๊อคที่มีการชดเชยอุณหภูมิดังสมการที่(5.27) และกระแสในรูปแบบสัญญาณแอนติล๊อคดังสมการที่(5.58)

จากคุณสมบัติการชดเชยอุณหภูมิในวงจรขยายสัญญาณล๊อคการิมิกและวงจรขยายสัญญาณแอนติล๊อคการิมิกสามารถสรุปผลของการออกแบบวงจรได้ดังนี้

-วงจรขยายสัญญาณล๊อคและวงจรขยายสัญญาณแอนติล๊อคสามารถใช้แรงดันต่ำเพียง 3-15 โวลต์ ดังสมการที่วิเคราะห์หัวข้อ5.3.3, 5.5.4

-วงจรสามารถสร้างจากไบโพลาร์ทรานซิสเตอร์ NPN เพียงชนิดเดียว และใช้อุปกรณ์จำนวนน้อยดังรูปที่5.8, 5.20

-สามารถชดเชยอุณหภูมิในการทำงานที่อุณหภูมิ 0-100 ° C ดังรูปการทำงานที่5.10, 5.24

-สามารถตอบสนองที่ความถี่สูงและใกล้เคียงกันทั้งวงจรขยายสัญญาณล๊อคการิมิกและวงจรขยายสัญญาณแอนติล๊อคการิมิกที่ความถี่ 130 MHz ดังรูปที่ 5.11, 5.25

ในส่วนของคุณสมบัติของการชดเชยอุณหภูมิในวงจรเรียงกระแสเต็มคลื่น โดยใช้โอทีเอ็ม คุณสมบัตินี้ในการออกแบบทางเทคนิควงจรเรียงกระแสให้ค่าที่เข้าที่พุดที่ผ่านตัดศูนย์ได้ดีเมื่อเทียบกับการใช้ออปแอมป์ ค่าที่ได้ทางเข้าที่พุดถูกชดเชยอุณหภูมิในรูปแบบทรานส์ลิเนียร์ดังสมการที่(4.29) การทำงานของวงจร สามารถควบคุมขนาดทางเข้าที่พุดด้วยกระแสที่เป็นไบอัสโอทีเอ็มดังสมการ(6.86) และสามารถควบคุมทิศทางกระแสชดเชยด้วยการป้อนแรงดันทางบวก ในทิศทางลบก็ป้อนแรงดันทางลบที่ควบคุม  $V_c$  ซึ่งคุณสมบัตินี้ไม่สามารถสร้างได้จากวงจรเรียงกระแสทั่วไป คุณสมบัติของวงจรทั้งหมดมีดังนี้

-ค่าความไวทางด้านอินพุทของวงจรชดเชยดังรูป6.14

-สามารถลดความเพี้ยนของสัญญาณเข้าที่พุดในช่วงบริเวณการเบี่ยงเบนที่ผ่านจุดศูนย์ แสดงในรูปที่6.15-6.18

- สามารถควบคุมทิศทางกระแสและกำหนดค่ากระแสทางเข้าที่พุดได้ในหัวข้อ6.41

- สามารถขยายสัญญาณอินพุทได้เพิ่มขึ้นจาก  $2V_T$  เป็นค่าแรงดัน 5 โวลต์อธิบายได้ดังรูปที่

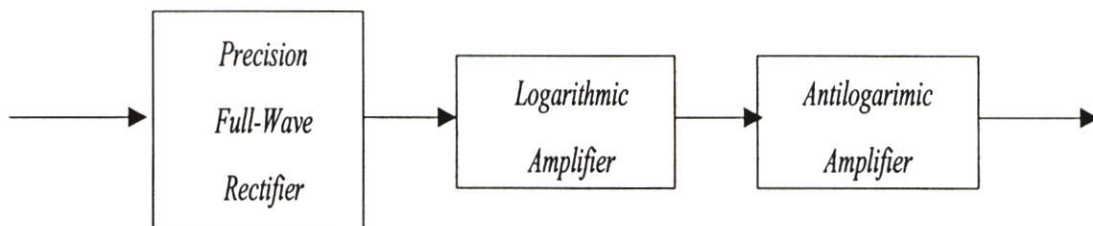
6.13

จากผลสรุปของการทำงานที่กล่าวมาทั้งหมดเป็นการสร้างวงจรที่มีการทำงานรูปแบบกระแสเปรียบเทียบให้เห็นถึงของข้อดีข้อเด่นของการชดเชยอุณหภูมิในรูปแบบของทรานส์ลิเนียร์ ลูป และวิธีการชดเชยผลของอุณหภูมิด้วยกระแสภายนอกกระทำต่อวงจรภายในเช่นวงจรสายพานกระแส วงจรโอทีเอ็ม ในวงจรขยายสัญญาณล็อก และแอนติล็อก ที่ได้นำเสนอในวิทยานิพนธ์นี้เป็นอีกแนวทางหนึ่งที่ได้ทำการวิจัยและพัฒนาขึ้น โดยใช้หลักการของทรานส์ลิเนียร์ในรูปของไบโพลาร์ทรานซิสเตอร์ชนิด NPN เพียงอย่างเดียว มีการทำงานในรูปแบบของกระแส มีการนำเสนอวงจรที่สามารถชดเชยอุณหภูมิภายในอย่างง่าย ๆ สามารถยืนยันได้ด้วยผลการวิเคราะห์คุณสมบัตินี้ของวงจรในทางทฤษฎี ผลการเลียนแบบการทำงานของวงจรด้วยโปรแกรม PSPICE สามารถเทียบผลของเข้าที่พุดที่มีการชดเชยอุณหภูมิกับวงจรที่ไม่มีการชดเชยอุณหภูมิสามารถเห็นความแตกต่างได้ดังที่เสนอ วงจรขยายสัญญาณล็อก/แอนติล็อก ที่มีการชดเชยอุณหภูมิสามารถทำงานในรูปกระแส และใช้แรงดันต่ำ 2 โวลต์ โดยใช้ทรานซิสเตอร์ชนิด NPN เพียงอย่างเดียว สามารถประยุกต์ใช้งานร่วมกับวงจรเรียงกระแสเต็มคลื่นในรูปแบบของกระแสให้มีการทำงานสอดคล้องกันทั้งสองควอดแดนต์ โครงสร้างเหมาะที่จะนำวงจรไปสร้างวงจรรวม สามารถยืนยันการทำงานโดยใช้โปรแกรม PSPICE

## 7.2 การประยุกต์ใช้งาน

วงจรขยายสัญญาณล็อกและวงจรขยายสัญญาณแอนติล็อก สามารถนำมาทำงานร่วมกับวงจรเรียงกระแสเต็มคลื่นที่ไม่ไวต่ออุณหภูมิภายนอก อีกทั้งยังมีการทำงานที่ใช้กำลังงานต่ำซึ่งจะ

ทำให้อุณหภูมิการทำงานคงที่ เหมาะแก่การนำไปใช้งาน ในส่วนของการนำวงจรทั้งหมด มาประยุกต์ใช้งานสามารถลดแบนด์วิดท์ของสัญญาณเข้าให้อยู่ในรูปแบบกระแสที่บีบอัดด้วย วงจรขยายสัญญาณล็อกการิมิก และนำไปขยายสัญญาณแอนติล็อกให้มีค่าเหมือนทางอินพุทของ วงจรล็อกการิมิก มีการทำงานแบบสองควอดแดนต์ (Two Quadrant Logarithmic / Antilogarithmic Amplifier) ในการนำวงจรทั้งสองมาต่อร่วมกับวงจรเรียงกระแสเต็มคลื่นดังแสดงในรูปที่ 7.2



รูปที่ 7.2 การประยุกต์ใช้งานของวงจรขยายสัญญาณล็อก/แอนติล็อกทำงานร่วมกับวงจรเรียงกระแสเต็มคลื่น

ในส่วนของการประยุกต์การทำงานของวงจรการเรียงกระแสเต็มคลื่นนี้ โดยใช้โอทีเอเพียงอย่างเดียว ที่สามารถปรับค่าได้ด้วยวิธีทางอิเล็กทรอนิกส์และสามารถกำหนดทิศทางได้ด้วยการควบคุมทางดิจิทัลเพียงพอร์ทเดียว สามารถนำไปประยุกต์ใช้ในรูปแบบหลายเข้าที่พหุเพื่อให้สะดวกในการทำงาน ในการนำเสนอนี้สามารถใช้งานร่วมกับการทำงานของวงจรขยายสัญญาณล็อกการิมิกกับวงจรขยายสัญญาณแอนติล็อกการิมิกได้เป็นอย่างดี

## เอกสารอ้างอิง

- [1] Sedra A. S., Smith K. C. Microeletronic Circuits. Third Edition Oxford University Press , Inc. 1982.
- [2] Gray, P. R., and Meyer, R. G., Analysis and Design of Analog Integrated Circuit (New York: John Wiley & Sons), 270-287. 1993.
- [3] National Semiconductor, Linear Data Book Semiconductor Corporation,1982.
- [4] Greeneich E.W. Analog Integrated Circuits. Chapman & Hall 1997.
- [5] Malvar H.S. Luetngen M. “Temperature Compensation of OTA-Based Filters and Amplifiers.” Eletron. Lett., vol.23,no.17,Aug.1987.pp. 890-891.
- [6] Karybakas C.A., Kosmatopoulos C. and Laopoulos Th. “Improved Temperature Compensation of OTAs,” Electron. Lett., vol.28,no8, Apr.1992.pp.763-764.
- [7] Senani R. “New Electronically Tunable OTA-C Sinusoidal .” Electron. Lett., vol.25,no.4,Feb. 1989. pp. 286-287.
- [8] Fabre A., Saaid O., Wiest F. and Boucheron C. “ Current Controlled Bandpass Filter Based on Translinear Conveyors.” Electron. Lett. , vol.31 , no.20, Sep. 1995. pp. 1721-1728.
- [9] Fabre A. Translinear Voltage/Convertor.” Int.J Electron.Lett.,vol.19, Nov. 1983.pp.1030-1031.
- [10] Kiranon W., Kesorn J. and Wardkein P. “Current Controlled Oscillator Based on Translinear Conveyors.” Electron. Lett., Vol.32, no.15, July 1996. pp. 1330-1331.
- [11] Kiranon W., Kesorn J., Sangpisit W. and Kamprasert N. “Electronically Tunable Multifunctional Translinear-C Filter and Oscillator.” Electron. Lett., vol.33, no.7,Mar.1997. pp. 573-574.
- [12] Fabre A., Saaid O., Wiest F. and Boucheron C. “ High Frequency Applications Based on a New Current Controlled Conveyor.” IEEE Trans. Circuits Syst. I , vol.43, no.2, Feb. 1996. pp. 82-91.
- [13] Saaid O., Fabre A., “Class AB Current –Controlled Resistor for High Performance Current-Mode Applications.” Electron. Lett. , 1996. pp.4-5.
- [14] Kiranon W. , Pawarangkoon P. “Floating Inductances Simulation Based on Current Conveyors.” Electron. Lett., vol. 33, no. 21, Oct. 1997. pp. 1748-1749.
- [15] Silva-Martinez J., Sanchez-Sinencio E. “Analogue OTA Multiplier without Input Voltage

- Swing Restrictions and Temperature-Compensated." *Electron. Lett.*, vol. 22 , no.11, May 1986. pp. 599-600.
- [16] Khan I. A. , Ahmed M.T. "OTA-Based Integrable Voltage/Current-Controlled Ideal C-Multiplier." *Electron. Lett.* , vol.22 , no. 7, Mar.1987. pp. 365-366.
- [17] เฉลิมภักดิ์ ฟองสมุทร "การชดเชยผลของอุณหภูมิในวงจรสายพานกระแสแบบทรานส์ลิเนียร์และวงจรรขยายโอทีเอ" วิทยานิพนธ์ปริญญาวิศวกรรมศาสตรมหาบัณฑิต สาขา วิศวกรรมไฟฟ้า บัณฑิตวิทยาลัย, สถาบันเทคโนโลยีพระจอมเกล้าเจ้าคุณทหารลาดกระบัง 2542
- [18] Gilbert B. "Translinear Circuit : A Propose Classification." *Electron. Lett.*, vol.11, Jan 1975. pp. 14-16.
- [19] Wilson G.R. W " A Monolithic Junction FET-NPN Operation Amplifier." *IEEE J. Solid-State Circuits.*, vol. SC-3, 1968. pp. 341-348.
- [20] G.Normand, Translinear Current Conveyor, " *Int.J Electronics*, vol.59, pp.771-777,1985.
- [21] Fabre A. "Translinear Current Conveyors Implementtation." *Int. J. Electron.*, vol.59, Nov.1985. pp. 619-623.
- [22] B. Gilbert, "A new wide-band amplifier technique", *IEEE journ. Solid-State Circ.* , Vol. SC-3, pp. 353-365,1968.
- [23] Surakumpontorn W. "Wide-Band Voltage-Controlled and Current-Controlled Resistance Circuits." *Int. J. Electron.*, Vol.50,1981. pp.149-152.
- [24] Geiger R. L. , Sanchez-Sinencio E. "Active Filter Design using Opertional Transconductance Amplifier : A tutorial." *IEEE Circuits Devices Mag.*, Mar. 1985.pp.22-32.
- [25] Malvar H.S. "Electronically Tunable Active Filter with Operational Transcondutance Amplifier." *IEEE Tran. CAS-29*, 1982. pp.333-336.
- [26] Surakampontorn W., Jutaviriya S. and Riewruja V."OTA-Base Electronically Tunable Voltage-Controlled Resistance Converter." *Int. J. Electron.*, vol.67,no1,1989. pp.81-85.
- [27] Surakampontorn W., Riewruja V., Surawatpunya C. and Yodladda S. " Instrumentation Amplifiers using Operational Transconductance Amplifiers." *Int.J.Electron*, Vol.71,no.3 , 1991. pp.511-515.
- [28] Peyton A.J, and Walsh V. *Analog Electronics with Op-Amps*. Cambridge : Cambridge University Press 1993.
- [29] Franco S. *Design with Operational Amplifier and Analog Integrated Circuits*. New York: McGraw-Hill. 1988.

- [30] Toumazou C., Lidgley F.G. and Haigh D.G. Analogue IC Design : The Current Mode Approach. London : Peregrinus. 1990.
- [31] Chadwick P.E. “ Advances in Logarithmic Amplifiers.” IEE Radio Receivers and Associated Systems International Conference, 1990. pp.51-58.
- [32] Bergouignan F., Abouchi N., Grisel R., Caille G. and Caranana J. “ Designs of Logarithmic and Exponential Amplifiers Using Current Conveyor.” ICECS, 1996. pp. 61-64.
- [33] Koli K. and Halomen K. . “A 2.5 V Temperature Compensated CMOS Logarithmic Amplifier.” IEEE Proc. Custom Integrated Circuit Conference, 1997.pp.79-82.
- [34] ชัยวัฒน์ จงกุลสถิตชัย “การออกแบบวงจรเพาเวอร์แฟกเตอร์ โดยใช้วงจร สายพานกระแสแบบมอสทรานซิสเตอร์.”วิทยานิพนธ์ปริญญาวิศวกรรมศาสตรมหาบัณฑิต สาขาวิศวกรรมไฟฟ้า บัณฑิตวิทยาลัย, สถาบันเทคโนโลยีพระจอมเกล้าเจ้าคุณทหารลาดกระบัง 2543
- [35] ภัทรชัย อุปรีพุกกุล “วงจรรขยายเชิงลอคการริซมิกและแอนติลอคการริซมิกที่มีการทำงานในรูปกระแส” วิทยานิพนธ์ปริญญาวิศวกรรมศาสตรมหาบัณฑิต สาขาวิศวกรรมไฟฟ้า บัณฑิตวิทยาลัย, สถาบันเทคโนโลยีพระจอมเกล้าเจ้าคุณทหารลาดกระบัง 2544
- [36] K. Kumwatchara and N. Fujii, “Low-voltage current mode power factor function generator”, IEICE Trans. Fundamentals, vol. E83-A ,no.2, pp1-7,2000.
- [37] E. Seevinck, Analysis and synthesis of translinear integrated circuits, Elsevier Science Publisher, Amsterdam, 1988.
- [38] Pookaiyaudom, s et al. “Peak-amplitude detector for sinusoidal signals.” Electron. Lett., vol.15, no 4, Feb. 1979. pp. 127-128.
- [39] Trofimenkoff, F.N. “ AC ripple and DC error in RMS to DC converters.” IEEE Trans. Instrum. Meas., Vol IM-30,no. 4, Dec. 1981. pp311.
- [40] C.C.Todd, “A molithic analog compandor.” IEEE J. Solid-State Circuits, Vol. SC-11, no.6, pp.754-762, Dec.1976.
- [41] C.C. Todd, “An integrated expandor circuit,” IEEE J. Solid-State Circuits, Vol. SC-11, no.6, pp.762-772, Dec.1976.
- [42] Barker, R. W. J. “ Versatile precision full-wave rectifier.” Electronics. Letters, vol.13, no.5, Mar.1977. pp. 143-144.
- [43] Barker, R. W. J. , and Hart, B. L. “Precision absolute-value circuit technique.” International Journal of Electronics, vol.66, 1989. pp.445-448.
- [44] Toumazou, C., and Lidgley, F. J. ”Wide-band precision rectification.” Proc.IEE, Pt G,

vol.134,1987. pp.7-15.

- [45] Surakamponorn, W. "Sinusoidal frequency doublers using operational amplifiers." IEEE Trans. Instru. and Measure., vol.37,1988. pp.259-262.
- [46] Toumazou, C., Lidgley, F.J., and Chattong, S." High frequency current conveyor precision full-wave rectifier." Electron.Lett., vol.30,1994. pp. 745-746.
- [47] Wilson, B., and Mannama, V." Current-mode rectifier with improved precision." Eletron. Lett., vol.31, 1995. pp.247-248.
- [48] นรินทร์ ธรรมมารักษ์วัฒนะ "การออกแบบวงจรเรียงกระแสเต็มคลื่นสำหรับสัญญาณขนาดเล็กโดยใช้โอทีเอ" วิทยานิพนธ์ปริญญาวิศวกรรมศาสตรมหาบัณฑิต สาขาวิศวกรรมไฟฟ้า บัณฑิตวิทยาลัย, สถาบันเทคโนโลยีพระจอมเกล้าเจ้าคุณทหารลาดกระบัง 2543
- [49] S. Pookaiyudom, C. Watanachaipteep and K. Dejhan: " A single-transistor full-wave rectifier",Proc. IEEE, Vol.67, No. 4, pp.687-688, April 1979.
- [50] A. Antoniou: " Design of precision rectifiers using operation amplifier", Proc.IEE,Vol.121, No.10, pp.1041-1044, October 1974.
- [51] C. Toumazou, F. J Lidgley and S. Chattong:" High frequency current conveyor precision full-wave rectifier. Electronics Letters, Vol. 30, No. 10, pp745-746, May1994.
- [52] W. Surakumponorn, S. Jutaviriya and T. Apajinda: " Dual translinear sinusoidal frequency double and full-wave rectifier" , INT.J. Electronic, Vol.65, No.6, pp.1203-1208,1989.
- [53] W. Surakumponorn, S. Jutaviriya and T. Apajinda:, "Full-ware rectifiers using operational amplifiers and resistors,"INT. J.Eletronic, Vol.66, No.6, 913-916 ,1989.

ภาคผนวก

## สำเนาบทความที่วิจัยที่ได้รับการตีพิมพ์ลงในวารสาร 4 บทความ ดังต่อไปนี้

- [1] Chaiwat Jongkustidchai, Chalermpan Fongsamut, Kiattisak Kumwachara, Wanlop Surakamponorn “Full-wave rectifiers based on operational transconductance amplifiers” AEU-International Journal of Electronics and Communications , pp. 195-201, volume 61, 2007.
- [2] C. Jongkustidchai, P. Pienchob, K. Kumwachara, W. Surakamponorn, “Full-Wave Rectifiers Based on Operational Transconductance Amplifiers ,”ISCIT, pp. 414-417, 2005.
- [3] C. Jongkustidchai, C. Fongsamut, K. Kumwachara and W. Surakumponorn, “A Low Voltage Temperature-Compensated Exponential Amplifier Using only NPN Transistors” , ECTI, p-p, 2005.
- [4] C. Jongkustidchai, C. Fongsamut, K. Kumwachara and W. Surakumponorn, “A Temperature-Compensated Logarithmic Amplifier Using only NPN Transistors”, ECTI, p-p 409-412, 2004.



#### Products

#### AEÜ - International Journal of Electronics and Communications

#### Journal information

Product description  
Editorial board  
Audience  
Abstracting/indexing

#### For Authors

Guide for authors

#### Subscription information

Bibliographic and ordering information  
Conditions of sale

#### Journal related information

Impact factor  
Other journals in same subject area

#### Support & contact

#### About Elsevier

#### Select your view

## AEÜ - INTERNATIONAL JOURNAL OF ELECTRONICS AND COMMUNICATIONS

International Journal of Electronics and Communications

#### Editor-in-Chief:

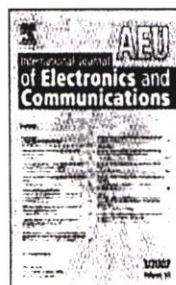
**Ralf Lehnert**

See editorial board for all editors information

#### Description

AEÜ is an international scientific journal which publishes eight times a year both original works and invited tutorials. The journal's scope covers all aspects of theory and design of circuits, systems and devices for electronics, signal processing, and communication, including:

- signal and system theory, digital signal processing
- network theory and circuit design
- information theory, communication theory and techniques, modulation, source and channel coding
- switching theory and techniques, communication protocols
- optical communications
- microwave theory and techniques, radar, sonar
- antennas, wave propagation



#### For Readers

Full text  
Free volume/issue alert

#### For Authors

Guide for authors  
Track your accepted article

#### For Editors

Tracking for Editors

#### For Societies

Gesellschaft für Angewandte Mathematik und Mechanik  
Deutsche Physikalische Gesellschaft  
VDE - Verband der Elektrotechnik, Elektronik und Informationstechnik  
ITG - Informationstechnische Gesellschaft

#### Related websites

➔ Artwork Instructions

Bookmark this page

Recommend this publication

Overview of all journals

AEÜ publishes full papers and letters with very short turn around time but a high standard review process. Review cycles are typically finished within six weeks by application of modern electronic communication facilities.

For more information, go to ➔ <http://www.elsevier.de/aeue>

#### Bibliographic Information

ISSN: 1434-8411

Imprint: URBAN AND FISCHER

Subscriptions for the year 2007, Volume 61, 10 issues

#### Institutional online access: ScienceDirect eSelect

For purchase of online access to this journal on ScienceDirect by credit card.

#### Institutional price:

USD 956 for all countries except Europe and Japan

JPY 118,700 for Japan

EUR 892 for European countries

#### Institutional price Germany, Austria, Switzerland:

EUR 805

See also information about conditions of sale & ordering procedures.

#### Audience

Scientists and engineers engaged in research and development in the above-mentioned fields

#### Abstracting / indexing

Get an overview of abstracting and indexing information.

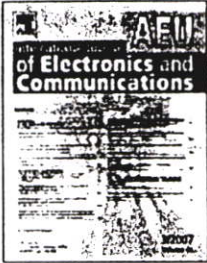
#### Impact factor of this journal

2005: 0.339 Category: Engineering, Electrical & Electronic Telecommunication

Journal Citation Reports® 2005, published by Thomson Scientific

[Home](#) [Browse](#) [Search](#) [My Settings](#) [Alerts](#) [Help](#)

 Quick Search Title, abstract, keywords  Author  e.g. j.s.smith

 search tips Journal/book title  --This Journal/Book-- Volume  Issue  Page  Clear 


## AEU - International Journal of Electronics and Communications

 Copyright © 2007 Elsevier GmbH. All rights reserved  
 Shortcut URL to this page: <http://www.sciencedirect.com/science/journal/14348411>

 Alert me about new Journal Issues 

 Add to Favorites 

 Apply 
[Sample Issue Online](#) | [About this Journal](#) | [Submit your Article](#) | [VDE Homepage](#)

Volume 61, Issue 3, Pages 139-208 (1 March 2007)

◀ Previous vol/iss Next vol/iss ▶

 **Articles**  **Full Abstracts**
 Add to my Quick Links

 Selected articles  E-mail articles  Export citations

articles 1 - 15

 1.  **Editorial Board • EDITORIAL BOARD**  
 Page CO2  
 PDF (106 K)

### Special Papers

 2.  **To Edgar Voges on his 65th birthday • EDITORIAL**  
 Pages 139-140  
 Hans-Georg Unger  
[SummaryPlus](#) | [Full Text + Links](#) | [PDF \(111 K\)](#)
 3.  **Advanced modulation formats for more robust optical transmission systems • ARTICLE**  
 Pages 141-146  
 Peter M. Krummrich  
[SummaryPlus](#) | [Full Text + Links](#) | [PDF \(432 K\)](#)
 4.  **More accurate simulation of dynamic transparent optical wavelength division multiplex networks • ARTICLE**  
 Pages 147-152  
 Ansgar Steinkamp, Martin Windmann and Stephan Pachnicke  
[SummaryPlus](#) | [Full Text + Links](#) | [PDF \(349 K\)](#)
 5.  **Electrical equalization for advanced optical communication systems • ARTICLE**  
 Pages 153-157  
 Werner Rosenkranz and Chunmin Xia  
[SummaryPlus](#) | [Full Text + Links](#) | [PDF \(241 K\)](#)
 6.  **SOI-based optical board technology • ARTICLE**  
 Pages 158-162  
 Jürgen Bruns, Torsten Mitze, Martin Schnarrenberger, Lars Zimmermann, Karsten Voigt, Martina Krieg, Jochen Kreißl, Klemens Janiak, Thorsten Hartwich and Klaus Petermann  
[SummaryPlus](#) | [Full Text + Links](#) | [PDF \(675 K\)](#)
 7.  **PDMS-based optical waveguide layer for integration in electrical-optical circuit boards • ARTICLE**  
 Pages 163-167  
 Stefan Kopetz, Dengke Cai, Erik Rabe and Andreas Neyer  
[SummaryPlus](#) | [Full Text + Links](#) | [PDF \(321 K\)](#)
 8.  **Coupling tolerances of high-index silicon-oxynitride waveguides with small bending radii • ARTICLE**  
 Pages 168-171

 = Full-text available

 = Non-subscribed

 What does this mean?

 **Articles in Press**
 Volume 61 (2007)

 Volume 61, Issue 3  
 pp. 139-208 (1 March 2007)

 Volume 61, Issue 2  
 pp. 69-138 (1 February 2007)

 Volume 61, Issue 1  
 pp. 1-68 (2 January 2007)

 Volume 60 (2006)

 Volume 59 (2005)

 Volume 58 (2004)

 Volume 57 (2003)

 Volume 56 (2002)

 Volume 55 (2001)

Stefan Kopetz, Dengke Cai, Erik Rabe and Andreas Neyer  
 SummaryPlus | Full Text + Links | PDF (321 K)

8.  **Coupling tolerances of high-index silicon-oxynitride waveguides with small bending radii** • ARTICLE  
 Pages 168-171  
 Maxim Fadel and Roland B. Gentemann  
 SummaryPlus | Full Text + Links | PDF (734 K)
9.  **3D-fibre channels in silicon by electrical breakdown—New opportunities for optical fibre alignment and microfluidics** • ARTICLE  
 Pages 172-176  
 Roland B. Gentemann, Daniel Teufer, Katrin Temmen and Martin Hoffmann  
 SummaryPlus | Full Text + Links | PDF (667 K)
10.  **Numerical design strategy for lumped element circulators** • ARTICLE  
 Pages 177-181  
 Robert Stonies and Dirk Schulz  
 SummaryPlus | Full Text + Links | PDF (552 K)

### Regular Papers

11.  **Frequency selective surfaces comprised of periodic arrays of two-turn square spiral shaped conductors** • ARTICLE  
 Pages 182-185  
 Kemal Delihacioglu, Savas Uckun and Tuncay Ege  
 SummaryPlus | Full Text + Links | PDF (239 K)
12.  **Robust observation model for visual tracking in particle filter** • ARTICLE  
 Pages 186-194  
 Anping Li, Zhongliang Jing and Shiqiang Hu  
 SummaryPlus | Full Text + Links | PDF (788 K)
13.  **Full-wave rectifiers based on operational transconductance amplifiers** • ARTICLE  
 Pages 195-201  
 Chaiwat Jongkustidchai, Chalermpan Fongsamut, Kiattisak Kumwachara and Wanlop Surakampontorn  
 SummaryPlus | Full Text + Links | PDF (632 K)

### Letters

14.  **The design synthesis of periodical microstrip structures using adaptive genetic algorithm and a multiresolution MoM analysis** • ARTICLE  
 Pages 202-204  
 Khaled Grayaa, Taoufik Aguilu and Ammar Bouallegue  
 SummaryPlus | Full Text + Links | PDF (144 K)
15.  **Accurate closed-form expressions for the electromagnetic parameters of the shielded split ring line** • ARTICLE  
 Pages 205-208  
 Benahmed NasrEddine  
 SummaryPlus | Full Text + Links | PDF (243 K)

articles 1 - 15





## Full-wave rectifiers based on operational transconductance amplifiers

Chaiwat Jongkuntidchai, Chalermpan Fongsamut, Kiattisak Kumwachara\*,  
Wanlop Surakamponorn

*Faculty of Engineering and Research Center for Communication and Information Technology (ReCCIT), King Mongkut's Institute of Technology Ladkrabang (KMITL), Ladkrabang, Bangkok 10520, Thailand*

Received 30 November 2005

### Abstract

The implementation of full-wave rectifiers using operational transconductance amplifiers (OTAs) as only main active circuit elements is presented in this paper. The proposed scheme makes use of the characteristic of the differential amplifier inside the OTA and avoids the use of diodes. The typical problems of the OTA circuit, the input voltage swing limitation and the temperature dependence of the OTA transconductance gain, have been improved. Simulation and experimental results demonstrate the performance of the proposed rectifier are included.

© 2006 Elsevier GmbH. All rights reserved.

**Keywords:** Full-wave rectifier; Bipolar-OTA; Voltage-to-current; Electronically tunable

### 1. Introduction

Rectifier is one of the important basic building blocks for analog signal processing, signal conditioning and instrumentation systems. For example, its applications can be founded in RMS to DC convertors, peak detectors, RF demodulators, piecewise linear function generators and nonlinear analogue signal processing circuits. In general, conventional voltage-mode rectifier circuits are typically implemented based on the use of op-amps and diodes [1]. The classical problem is that, owing to small-signal transient behavior, during the diodes switching between the ON and OFF states exhibit significant distortion, specially the zero crossing transitional portion [2]. This drawback has been improved by Gift [3]. On the other hand, the use of high slew-rate op-amps does not solve this problem but it will perform the rectifier with a better high frequency response [4]. Rectifier circuits

based on the method of operational-amplifier supply-current sensing has been successfully reported by Toumazou and Lidgley [5] and Surakamponorn et al. [6], where better frequency responses than the classical op-amp and diode-based topology are achieved.

Recently, there is a considerable interest in the design of current-mode signal processing, since a current-mode circuit provides a very good high frequency performance when compared with a voltage-mode circuit. Therefore, many current-mode full-wave rectifiers using current conveyors and diodes, have been reported in the literature [7–10]. In addition, a full-wave rectifier circuit that designed through the application of the supply-current sensing technique to current conveyors has been presented [11].

It is well accepted that an operational transconductance amplifier (OTA) is one of the important active circuit building blocks in the design of analog signal processing circuits. In the past, the use of the OTAs with diodes to realized nonlinear functions [12] have been reported. However, there is not much reported in the literature on the use of OTAs for designing full-wave rectifier [13]. In addition, in most of the

\* Corresponding author.

E-mail address: [kkkiatti@kmitl.ac.th](mailto:kkkiatti@kmitl.ac.th) (K. Kumwachara).

reported rectifier circuits, diodes are mainly the important key element to provide the rectifying action. It seems that none the exiting rectifiers has been built by using only OTAs. The objective of this paper is to present a technique to realize rectifiers using the characteristic of the differential amplifier inside the OTAs. The proposed full-wave rectifier are therefore using OTAs as only the active circuit elements. A scheme to improve the input voltage swings restriction and the temperature dependence of the OTA transconductance gain is also introduced.

## 2. Basic principle

Fig. 1(a) shows a monolithic OTA, where  $V_{CC}$ ,  $V_{EE}$  denote the positive and negative supply voltages, respectively. Consider an OTA typical circuit diagram as shown in the Fig. 1(b), its input stage consists of a differential amplifier stage. Normally,  $I_B$  is the bias current, and  $v_i$  and  $i_o$  are the input voltage and the output current, respectively. The output current  $i_o$  can be given as

$$i_o = i_{c1} - i_{c2} = I_B \tanh\left(\frac{v_i}{2V_T}\right), \quad (1)$$

where  $V_T = KT/q$ . However, from (1), one can see that if  $I_B$  is the input signal current and  $v_i$  is a constant DC voltage that much greater than  $2V_T$  or  $v_i \gg 2V_T$ , but lower than the

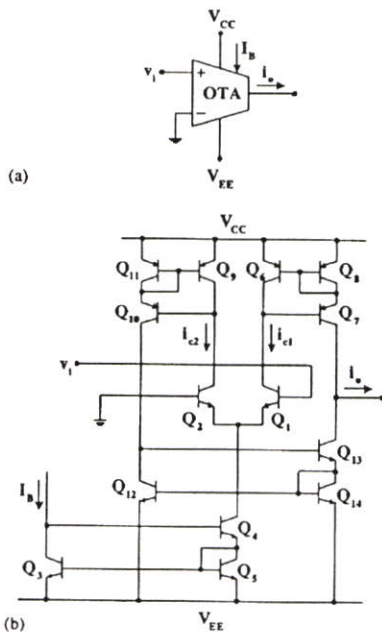


Fig. 1. (a) A monolithic OTA, (b) schematic diagram of a conventional OTA.

maximum common mode input voltage range, the output current  $i_o$  becomes

$$i_o = I_B. \quad (2)$$

It should be noted that the current  $I_B$  can only flow in the direction that into the circuit, or positive direction. On the other hand, if  $v_i$  is a constant DC voltage that much lower than  $-2V_T$  or  $v_i \ll -2V_T$ , thus the output current  $i_o$  now becomes

$$i_o = -I_B. \quad (3)$$

Eqs. (2) and (3) demonstrate that the direction or the polarity of the output current can be controlled by the DC voltage that is applied at the  $v_i$ . Therefore, we will propose the use of the differential amplifier inside the OTA to realize rectifier circuits.

### 2.1. Basic half-wave rectifier

The basic of a half-wave rectifier circuit that using only two OTAs is shown in Fig. 2. It consists of two OTAs and a constant voltage source  $V_C$ . The OTA<sub>1</sub> is functioned as a voltage-to-current converter that converts an input voltage  $v_{in}$  into a signal current  $i_1 = g_{m1}v_{in}$ , where  $g_{m1} = I_{B1}/2V_T$  and  $I_{B1}$  is the bias current. The output current  $i_1$  of the OTA<sub>1</sub> is fed as the bias current of the OTA<sub>2</sub>. At the OTA<sub>2</sub> and from (1), when the constant voltage source  $V_C \gg 2V_T$ , the output current  $i_2$  can be expressed as

$$i_2 = \begin{cases} g_{m1}v_{in} & \text{for } v_{in} > 0, \\ 0 & \text{for } v_{in} < 0. \end{cases} \quad (4)$$

On the other hand, when  $V_C \ll -2V_T$ , the output current  $i_2$  can be given as

$$i_2 = \begin{cases} -g_{m1}v_{in} & \text{for } v_{in} > 0, \\ 0 & \text{for } v_{in} < 0. \end{cases} \quad (5)$$

From (4) and (5), it is clearly indicated that the circuit acts as a positive and a negative half-wave rectifiers, respectively, which dependent on the polarity of the controlled constant voltage source  $V_C$ . It should be noted that, for a good rectifier response, the DC voltage that should be kept in the range of  $|200 \text{ mV}| \leq |V_C| \leq |5 \text{ V}|$  for  $\pm 5 \text{ V}$  power supply [14].

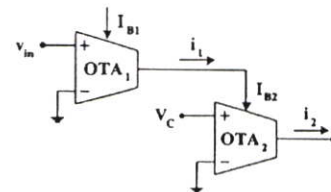


Fig. 2. A half-wave rectifier.

## 2.2. Basic full-wave rectifier

As shown in Fig. 3, two of the half-wave rectifier circuits are combined to form a full-wave rectifier circuit, where (OTA<sub>1</sub> and OTA<sub>2</sub>) and (OTA<sub>3</sub> and OTA<sub>4</sub>) are the positive and negative half-wave rectifiers, respectively. Ideally, let the transconductance gains of the OTA<sub>1</sub> and the OTA<sub>3</sub> are equal, such that  $g_{m1} = g_{m3} = g_m$ , where  $I_{B1} = I_{B3} = I_B$  and  $g_m = I_B/2V_T$ . For  $v_{in} > 0$ , the current  $i_1$  and  $i_3$  of the OTA<sub>1</sub> and OTA<sub>3</sub> can be, respectively, written as

$$i_1 = g_{m1} v_{in} = g_m v_{in} \quad (6)$$

and

$$i_3 = -g_{m3} v_{in} = -g_m v_{in}. \quad (7)$$

The currents  $i_1$  and  $i_3$  are fed as the bias currents of the OTA<sub>2</sub> and OTA<sub>4</sub>, respectively. Noting that in the case of  $V_C \gg 2V_T$ , the OTA<sub>2</sub> and OTA<sub>4</sub> allow only positive current flow through it. This means that for  $v_{in} > 0$ , the currents  $i_2 = i_1$  and  $i_4 = 0$  or

$$i_2 = i_1 = g_m v_{in} \quad \text{and} \quad i_4 = 0 \quad \text{for} \quad v_{in} > 0. \quad (8a)$$

During  $v_{in} < 0$ , the current  $i_1$  is negative and the current  $i_2$  is positive. Therefore,  $i_2 = 0$  and  $i_4 = i_3$  or

$$i_2 = 0 \quad \text{and} \quad i_4 = i_3 = g_m v_{in} \quad \text{for} \quad v_{in} < 0. \quad (8b)$$

Since the output current  $i_{out}$  is the summation of the current  $i_2$  and  $i_4$ , we can write the relations between the input voltage  $v_{in}$  and the output current  $i_{out}$  as

$$i_{out} = i_2 + i_4 = g_m v_{in} = \frac{I_B}{2V_T} |v_{in}|. \quad (9)$$

We will call this as a positive full-wave rectifier. Alternatively, if  $V_C \ll -2V_T$ , a negative full-wave rectifier can be realized, where the output current can be expressed as

$$i_{out} = -g_m |v_{in}| = -\frac{I_B}{2V_T} |v_{in}|. \quad (10)$$

Note that (9) and (10) indicate that the circuit of Fig. 3 can be operated as a positive or a negative full-wave rectifier

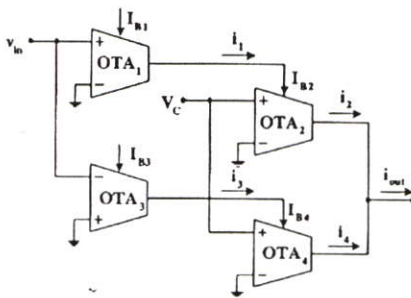


Fig. 3. Basic OTA-based full-wave rectifier.

by controlling the polarity of  $V_C$ . This advantage is usually not available in the basic op-amp-based circuit.

## 3. The compensated OTA-based full-wave rectifier

### 3.1. Improve the limited input voltage swings and temperature dependence

It is clearly seen from (9) and (10) that the net result of the output current is the full-wave rectification of the input signal. However, there are two major limitations that occur from the use of the ordinary bipolar-based OTA in the circuit design. The first limitation is that the input stage of the OTA is a conventional differential pair, where the differential input voltage is limited to be less than 50 mV for linear operation. The second limitation is that the OTA transconductance gain  $g_m$  is inversely proportional to temperature. Therefore, based on the compensation scheme reported by Surakamponorn et al. [15], the temperature-insensitive wide-dynamic range OTA-based full-wave rectifier is shown in Fig. 4.

The OTA<sub>5</sub>, which is formed as an electronically tunable resistor, and a resistor  $R_1$  function as a voltage divider circuit. This makes the  $v_{in} - v_X$  voltage across the OTA<sub>5</sub> small and therefore, increases the circuit dynamics range. The voltage across the OTA<sub>5</sub> is then used as the input voltages for the OTA<sub>1</sub> and OTA<sub>2</sub>. From routine circuit analysis of Fig. 4, voltage at node X or  $v_X$  can be written as

$$v_X = \frac{g_{m5} R_1}{1 + g_{m5} R_1} v_{in} \quad (11)$$

and the currents  $i_1$  and  $i_3$  can be expressed as

$$i_1 = -i_3 = g_m (v_{in} - v_X), \quad (12)$$

where  $g_{m1} = g_{m3} = g_m$ . From (11) and (12), the currents  $i_1$  and  $i_3$  become

$$i_1 = -i_3 = \frac{g_m}{1 + g_{m5} R_1} v_{in}. \quad (13)$$

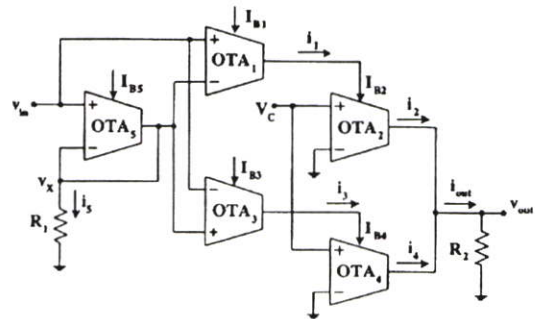


Fig. 4. The compensated OTA-based full-wave rectifier.

If by design, we let  $g_{m5}R_1 \gg 1$ , the currents  $i_2$  and  $i_4$  can be approximately given by

$$i_2 = -i_4 = \frac{g_m}{g_{m5}R_1} v_{in} = \frac{I_B}{I_{B5}} \frac{v_{in}}{R_1} \quad (14)$$

Thus, the output voltage  $v_{out}$  is equal to

$$v_{out} = \frac{I_B R_2}{I_{B5} R_1} |v_{in}| \quad \text{for } V_C \gg 2V_T \quad (15a)$$

and

$$v_{out} = -\frac{I_B R_2}{I_{B5} R_1} |v_{in}| \quad \text{for } V_C \ll -2V_T. \quad (15b)$$

Eqs. (15a) and (15b) show that the temperature dependence of the transconductance gains  $g_{m1}$  and  $g_{m3}$  are compensated by  $g_{m5}$ . In addition, the input voltage swing limitation has been improved from  $2V_T$  to approximately  $I_B/I_{B5}R_1$ . The output voltage  $v_{out}$  can be electronically tuned by the current ratio  $I_B/I_{B5}$ .

### 3.2. Performance analysis

From the previous description, the OTAs were assumed to be ideal. In this section, the major factors that contribute to the inaccuracy of the circuit performance will be considered. The first factor is due to the transfer error from the conversion of the input voltage  $v_{in}$  into the small signal current  $i_5$  by the OTAs and  $R_1$ . The relationship of the input  $v_{in}$  and the current  $i_5$  can be accurately expressed as

$$i_5 = (1 - \varepsilon_v) \frac{g_m}{g_{m5}R_1} v_{in}, \quad (16)$$

where the percentage error of the voltage-to-current conversion error ( $\varepsilon_v$ ) can be given by

$$\varepsilon_v = \frac{1}{1 + g_{m5}R_1} \times 100\%. \quad (17)$$

For  $g_{m5} = g_m = 0.0096S$  and  $R_1 = 10k\Omega$ , the error of about 1% is expected. This error can be further reduced by increasing the value of  $g_{m5}R_1$ . The second factor is the error due to the current mirrors inside of the OTA, the percentage error of the input and output currents transfer of the Wilson current mirror ( $\varepsilon_c$ ) can be given by

$$\varepsilon_c = \frac{2}{\beta^2 + 2\beta + 2} \times 100\%, \quad (18)$$

where  $\beta$  is the common emitter current gain of the bipolar transistor [16]. As an example, if  $\beta = 100$ , the error is about 0.02%. With this approximation, we can write the relations between the input voltage  $v_{in}$  and the output voltages  $v_{out}$  as

$$V_{out} = \left[ 1 - \left( \frac{1}{1 + g_{m5}R_1} + \frac{4}{\beta^2} \right) \right] \frac{R_2}{R_1} v_{in} \quad (19a)$$

for  $V_C \gg 2V_T$  and

$$V_{out} = - \left[ 1 - \left( \frac{1}{1 + g_{m5}R_1} + \frac{4}{\beta^2} \right) \right] \frac{R_2}{R_1} v_{in} \quad (19b)$$

for  $V_C \ll -2V_T$ .

Thus, for  $\beta = 100$ ,  $g_{m5} = 0.0096S$ ,  $R_1 = 10k\Omega$ , and  $R_2 = 10k\Omega$ , then the error of less than 2% is expected. The third factor is the temperature dependence of transconductance gains  $g_m$  that affects the output current. The percentage error of the output current for the compensated voltage-to-current base on OTA [15] can be approximated as

$$\frac{\delta i_{out}}{i_{out}} = \frac{-2V_T}{2V_T + I_{B5}R_1} \frac{\Delta T}{T} \times 100\%. \quad (20)$$

From (20), it is clearly seen that the temperature influence can be reduced by increasing the value of  $I_{B5}R_1$ , where  $T$  is the room temperature (300 K or 27 °C) and  $\Delta T$  is the change of temperature from room temperature. If  $V_T = 26mV$  at room temperature,  $I_{B5} = 500\mu A$  and  $R_1 = 10k\Omega$  and temperature change at 50 and 70 °C, then the percentage error of the output current  $i_{out}$  are about 0.0789% and 0.1475%, respectively. The fourth factor is the dc output offset current that arise from the non-ideal characteristic of the OTAs, such as nonzero-input bias and input-offset currents errors. In this case, OTAs with low offset currents should be used, in particular for the OTA<sub>1</sub> and OTA<sub>3</sub>. In addition, small DC currents should be injected to compensate the offset current, at the outputs of the OTA<sub>1</sub> and OTA<sub>3</sub>, since the DC currents that presented at these points produce the distortion of the rectified signal.

### 4. Simulation and experimental results

In order to test the developed ideas and to verify the theoretical prediction, the performance of the circuit in Fig. 4 was

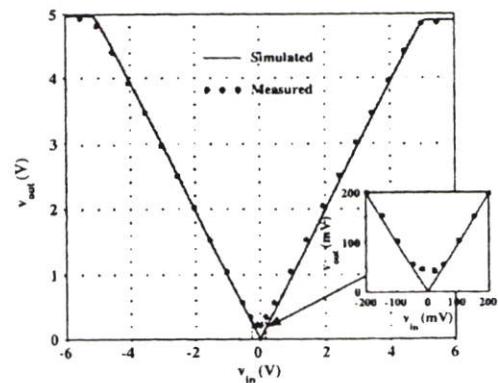


Fig. 5. DC transfer characteristic of the proposed OTA-based full-wave rectifier.

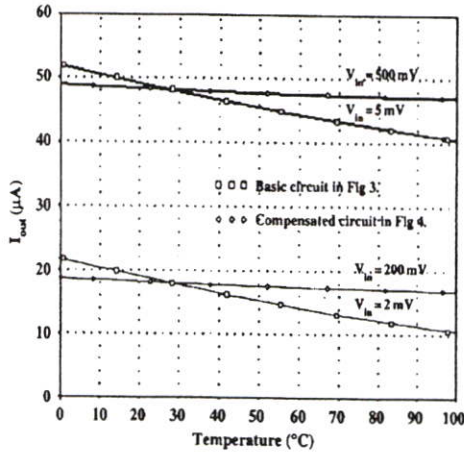


Fig. 6. Variation of output currents  $i_{out}$  against temperature.

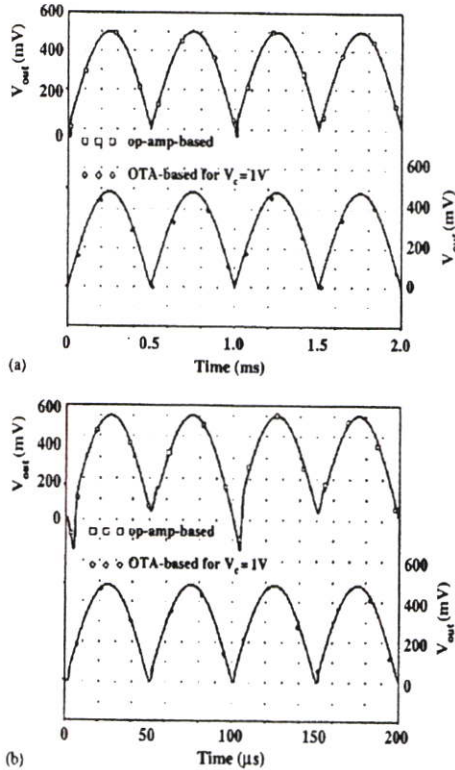


Fig. 7. Simulation results of the positive full-wave rectifier at the frequency: (a) 1 kHz; (b) 10 kHz.

simulated using the PSPICE simulation program. We use the conventional OTA LM13600 models from the PSPICE library. The supply voltage  $V_{CC} = -V_{EE}$  were set to 15V.

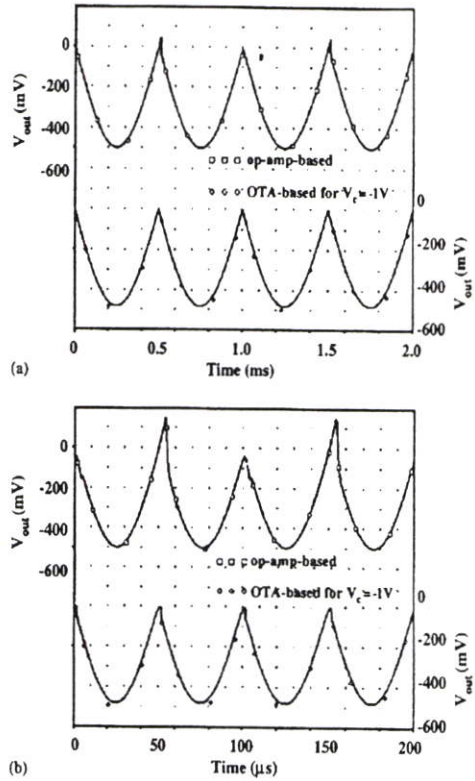


Fig. 8. Simulation results of the negative full-wave rectifier at the frequency: (a) 1 kHz; (b) 10 kHz.

The OTA bias currents used are  $I_{B1} = I_{B2} = I_{B3} = I_{B4} = I_{B5} = 500 \mu A$  and  $R_1 = R_2 = 10 k\Omega$ .

The plot of the DC transfer characteristic of the proposed rectifier, the output voltage  $v_{out}$  versus the input voltage  $v_{in}$ , is shown in Fig. 5. We can see that both the high accuracy and linearity can be achieved for  $v_{in}$  50 mV to 5V. In the dash-line, zoom of the plot for  $v_{in}$  less than  $\pm 200$  mV shows the relatively large amount of distortion, particularly when  $v_{in}$  less than  $\pm 50$  mV. This is due to the  $OTA_5$  and  $R_1$  that formed as a voltage divider. For small  $v_{in}$  the voltage across the  $OTA_5$  that used as the input voltages for the  $OTA_1$  and  $OTA_2$  is very small and cause the error at the output of the rectifier.

Fig. 6 shows the comparison of the simulated output currents  $i_{out}$  against temperature for the case of the basic and the compensated circuits, for the input voltages  $v_{in}$  of 2, 5, 200 and 500 mV, respectively, where the nominal output currents were set to 18 and 48  $\mu A$ , respectively. It is readily seen that the temperature performance of the compensated circuit is much better than the basic circuit.

Figs. 7 and 8 show the positive and negative output voltages of the conventional op-amps-based rectifier circuits is

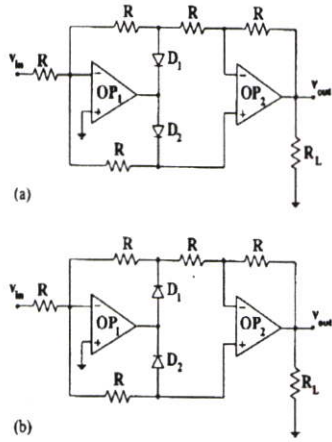


Fig. 9. The conventional op-amps-based rectifier circuits: (a) positive output voltage of the rectifier; (b) negative output voltage of the rectifier.

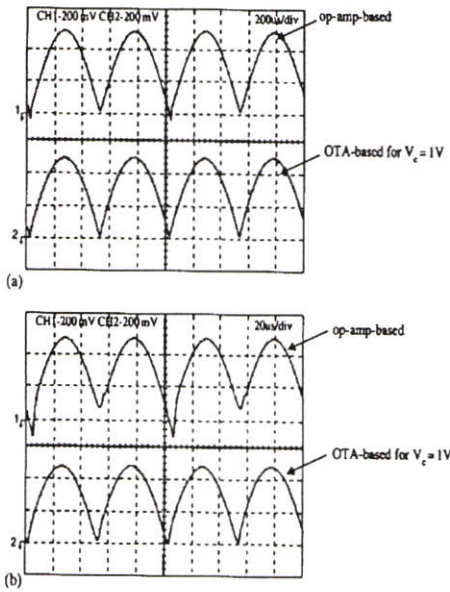


Fig. 10. Experimental results of the positive full-wave rectifier at the frequency: (a) 1 kHz; (b) 10 kHz.

shown in Fig. 9 [1], with  $R = 10\text{ k}\Omega$  and LM741 op-amps, in comparison with the output voltage of the proposed rectifier circuit, where  $v_{in} = 500\text{ mV}$ , for the frequency of 1 and 10 kHz, respectively. The responses demonstrate that the OTA-based circuit provide a much better performance particularly at the zero-crossing portion. For experimental confirmation, the proposed OTA-based full-wave rectifier in Fig. 4 was constructed by using LM13600-type OTAs. Resistors  $R_1$  and  $R_2$  used in the circuit were 1% tolerance resistors.

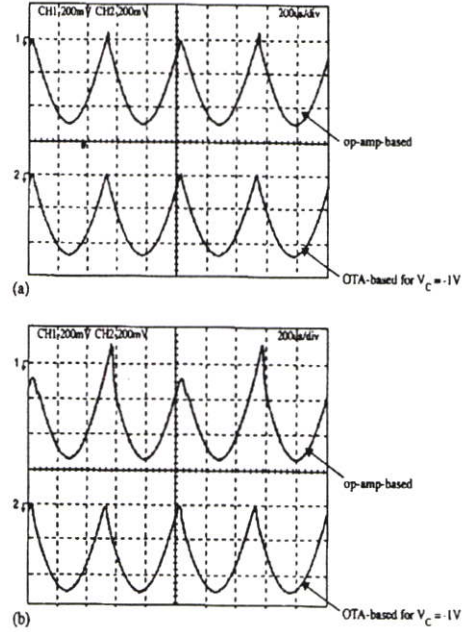


Fig. 11. Experimental results of the negative full-wave rectifier at the frequency: (a) 1 kHz; (b) 10 kHz.

Figs. 10 and 11 show the measured output waveforms of the op-amps-based rectifiers compared with the OTA-based full-wave rectifier for the frequency of 1 and 10 kHz, respectively. In addition, the bandwidth of the proposed circuit was also tested and measured to be 50 kHz. It should be noted that the operation frequency limited of the proposed rectifier depends on the error at zero crossing owing to the on/off transition of  $OTA_2$  and  $OTA_4$ .

### 5. Conclusions

In this paper, a new technique employing the characteristic of the differential amplifier inside of the OTA to design a full-wave rectifier has been proposed. The full-wave rectifier circuit employs OTAs as the only active elements and does not require diodes. The input voltage swing limitation has been improved from  $2V_T$  to approximately  $I_{B5}R_1$  and the temperature sensitivity of the OTA is also compensated. The simulation and experimental results have been shown that the proposed circuit performs very well when compared with op-amps-based circuit.

### Acknowledgement

This work is funded by the Thailand Research Fund (TRF) under the Senior Research Scholar Program, Grant no. RTA4680003.

## References

- [1] Coughlin RF, Driscoll FF. Operational amplifiers and linear integrated circuits. New Jersey: Prentice Hall; 1991, p. 171–87.
- [2] Lidgley FJ, Hayatleh K, Toumazou C. New current-mode precision rectifiers. Proc IEEE Int Symp Circuits Syst 1993;2:1322–5.
- [3] Gift S. A high-performance full-wave rectifier circuit. Int J Electron 2000;87:925–30.
- [4] Hayatleh K, Lidgley FJ, Porta S. Degradation mechanisms in operational amplifier precision rectifiers. IEEE Trans Circuits Syst I: Fundam Theory Appl 1995;42:479–85.
- [5] Toumazou C, Lidgley FJ. Wide-band precision rectification. Proc Inst Electr Eng, Part G 1987;134:7–15.
- [6] Surakamponorn W, Jutaviriya S, Apajinda T. Full-wave rectifiers using operational amplifiers and resistors. Int J Electron 1989;66:913–6.
- [7] Toumazou C, Lidgley FJ, Chattong S. High frequency current conveyor precision full-wave rectifier. Electron Lett 1994;30:745–6.
- [8] Hayatleh K, Porta S, Lidgley FJ. Temperature independent current conveyor precision rectifier. Electron Lett 1994;30:2091–3.
- [9] Wilson B, Mannama V. Current-mode rectifier with improve precision. Electron Lett 1995;31:247–8.
- [10] Sturca D. Truly temperature independent current conveyor precision rectifier. Electron Lett 1995;31:1302–3.
- [11] Surakamponorn W, Anuntahirunrat K, Riewruja V. Sinusoidal frequency double and full-wave rectifier using translinear current conveyor. Electron Lett 1998;34:2077–9.
- [12] Sánchez-sinencio E, Ramirez-angulo J, Linares-barranco B, Rodriguez-vazquez A. Operational transconductance amplifier-based nonlinear function syntheses. IEEE J Solid-state Circuits 1989;24:1576–86.
- [13] Mead C. Analog VLSI and neural systems. USA: Addison-Wesley; 1989. p. 88–90.
- [14] National Semiconductor: LM13600 Dual Operational Transconductance Amplifiers with Linearizing Diodes and Buffers. Application Note, 1998.
- [15] Surakamponorn W, Riewruja V, Kumwachara K, Surawatpunya C, Anuntahirunrat K. Temperature insensitive voltage-to-current converter and its applications. IEEE Trans Instrument Meas 1999;48:1270–7.
- [16] Gray PR, Meyer RG. Analysis and design of analog integrated circuit. New York: Wiley; 1993, p. 270–87.



**Chaiwat Jongkuntidchai** was born in Bangkok, Thailand. He received his B.Ind.Tech and M.Eng. degrees in Electrical Engineering from the King Mongkut's Institute of Technology Ladkrabang (KMITL), Bangkok, Thailand, in 1983 and 2000, respectively. He is currently working toward his D.Eng. degree at KMITL. His research interests include analog signal processing, analog integrated circuit and electronic instrumentation.



**Chalermpan Fongsamut** Chalermpan Fongsamut received his B.Eng. degree in Electronics and his M.Eng. degree in Electrical Engineering from King Mongkut's Institute of Technology Ladkrabang (KMITL), Bangkok, Thailand, in 1996, and 1999, respectively. He is currently working toward his D.Eng. degree in Electrical Engineering at the Department of Electronics, KMITL.

His main interest lies in the field of analog integrated circuit designs and active networks.



**Kiattisak Kumwachara** was born in Khon Kaen, Thailand. He received his B. Sc. (Hons.) degree in Applied Physics, and M.Eng and D.Eng. degrees in Electrical Engineering from the King Mongkut's Institute of Technology Ladkrabang (KMITL), Bangkok, Thailand, in 1987, 1991 and 1997, respectively. He is now an Associate Professor of Control Engineering

Department at KMITL. His research interests include analog signal processing, analog integrated circuit, filter design and electronic instrumentation.



**Wanlop Surakamponorn** received his B.Eng. and M.Eng. degrees in Electrical Engineering from the King Mongkut's Institute of Technology Ladkrabang (KMITL), Bangkok, Thailand, in 1976, and 1978, respectively, and his Ph.D. in Electronics from the University of Kent at Canterbury, Kent, UK, in 1983. Since 1978, he has been a member of the Department of Electronics,

Faculty of Engineering, KMITL, where he is currently a Senior Professor of Electronic Engineering. His research interests are in the areas of analog and digital integrated circuit designs, real-time application of PC computers and microprocessors, digital signal processing, electronic instrumentation, and VLSI signal processing. He is now serving as the president of the Electrical/Electronics, Computer, Telecommunications and Information Technology (ECTI) Association, Thailand, and also the IEEE Circuits and Systems (CAS) Thailand Chapter. He is a member of the IEICE of Japan and the senior member of the IEEE.

***ISCIT2005***

---

**International Symposium on Communications and  
Information Technologies 2005**

**PROCEEDINGS**

**October 12-14, 2005, Beijing, CHINA**

---



K.C.Wong Education Found, Hong Kong



### 13AM1D Circuits and Systems (1)

Code	Title of the paper/ Author(s) / Affiliation
13AM1D-1	<b>A VR Web Service for Active Scene Using X-VRML</b> Haishan Tian, Yuanjun He, Hongming Cai Shanghai Jiao Tong University, Shanghai
13AM1D-2	<b>A Narrow-band Interference Exciser for Wideband OFDM in HF Communications</b> Kan Chun-Rong, Liu Ying Institute of communication engineering PLAUST, Nanjing
13AM1D-3	<b>A Novel Predictive Closed-Loop Power Control for CDMA Systems</b> Sangho Choe The Catholic University of Korea, Korea
13AM1D-4	<b>Improved Power Control Algorithm During SHO in WCDMA System</b> Chen Fan, Jing Li, Dacheng Yang Beijing University of Posts and Telecommunications
13AM1D-5	<b>The Describing Function Method and The Analysis of The Magnitude Stabilization Phenomenon in a Nonlinear OSC</b> Poramate (Tom) Pranayanuntana, Kongsak Anuntahirunrat, Chalermpan Fongsamut, Pongrapee Kaewsaiha <sup>1</sup>  King Mongkut's Institute of Technology Ladkrabang, Thailand
13AM1D-6	<b>Study and Application of Genetic algorithm in Computer Test Construction</b> Hanjun Jin, Xiaorong Wang, Yanlin Wang, Yaokun Zhang Huazhong University of Science & Technology, Wuhan
13AM1D-7	<b>Full-Wave Rectifiers Based on Operational Transconductance Amplifiers</b> C. Jongkuntidchai, P. Pienchob, K. Kumwachara, W. Surakamponorn King Mongkut's Institute of Technology Ladkrabang, Thailand

# Full-Wave Rectifiers Based on Operational Transconductance Amplifiers

C. Jongkuntidchai, P. Pienchob, K. Kumwachara and W. Surakampontorn

Faculty of Engineering and Research Center for Communication and Information Technology

King Mongkut's Institute of Technology Ladkrabang, Bangkok, 10520, Thailand

Email: chawatt\_j@yahoo.com, S6060517@kmitl.ac.th, kfchaler@kmitl.ac.th, kkkiatti@kmitl.ac.th, kswanlop@kmitl.ac.th

**Abstract**—The implementation of full-wave rectifiers using operational transconductance amplifiers (OTAs) as only main active circuit elements is presented. The proposed scheme use the characteristic of the differential amplifier inside OTA and avoids the use of diode. The typical problems of the OTA circuit, the input voltage swing limitation and the temperature dependence of the OTA transconductance gain, have been improved. Simulation and experimental results demonstrate the performance of the proposed rectifier.

**Keywords:** Rectifiers, Operational Transconductance Amplifiers

## I. INTRODUCTION

Rectifier is one of the important basic building blocks for analog signal processing. Its applications can be founded, for example, in RMS to DC convertors, RF demodulators, and nonlinear analogue signal processing circuits. Conventional voltage-mode rectifier circuits are typically implemented by based on the use of op-amps and diodes [1]. However, it causes the significant distortion, especially the zero crossing transitional portion [2] when consider the small-signal transient behavior, during the diodes switching between the ON and OFF states. This drawback has been improved by [3]. The use of high slew-rate op-amps does not solve this problem but the rectifier with a better high frequency response is performed [4]. Rectifier circuits based on operational-amplifier supply-current sensing has been successfully reported by [5], better frequency responses than the classical op-amp and diode based topology are achieved. Many current-mode full-wave rectifiers using current conveyors and diodes, have been reported in the literature [6] since a current-mode circuit provides a very good high frequency performance when compared with a voltage-mode circuit. In addition, a full-wave rectifier circuit that designed through the application of the supply-current sensing technique to current conveyors has been presented [7].

It is well accepted that an OTA is one of the important active circuit building blocks in the design of analog signal processing circuits. In the past, [8] have reported the use of the OTAs with diodes to realized nonlinear functions. However, there is not much reported on the use of OTA's for designing full-wave rectifier [9]. In addition, in most of

the reported rectifier circuits, diodes are mainly the importance element to provide the rectifying action. It seems that none of the exiting rectifiers has been build by using only OTAs. In this paper, the realization technique using the characteristic of the differential amplifier inside the OTAs is presented. The proposed full-wave rectifier is using OTAs as only the active circuit elements which improve the input voltage swings and the temperature dependence of the OTA transconductance gain is introduced.

## II. BASIC PRINCIPLE

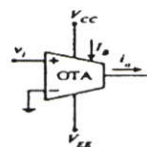


Fig. 1. A monolithic OTA.

Fig. 1 shows a monolithic OTA, where  $V_{CC}$ ,  $V_{EE}$  denote the positive and negative supply voltages, respectively.  $I_B$  is the bias current, and  $v_i$  and  $i_o$  are the input voltage and the output current, respectively. The output current  $i_o$  can be given as

$$i_o = i_{c1} - i_{c2} = I_B \tanh\left(\frac{v_i}{2V_T}\right) \quad (1)$$

where  $V_T = KT/q$ . However, if  $I_B$  in (1) is the input signal current and  $v_i$  is a constant DC voltage that much greater than  $2V_T$  or  $v_i \gg 2V_T$  and lower than the maximum common mode input voltage range, the output current  $i_o$  becomes

$$i_o = I_B \quad (2)$$

If  $v_i$  is a constant DC voltage that much lower than  $-2V_T$  or  $v_i \ll -2V_T$ , thus the output current  $i_o$  now becomes

$$i_o = -I_B \quad (3)$$

It should be noted that the direction of the output current can be controlled by the DC voltage that applied at  $v_i$ .

### A. Basic Half-wave rectifier

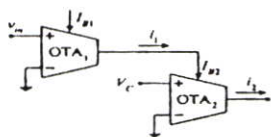


Fig. 2. A half-wave rectifier

The half-wave rectifier circuit is shown in fig. 2. The OTA<sub>1</sub> is functioned as a voltage-to-current converter that converts an input voltage  $v_{in}$  into a signal current  $i_1 = g_{m1}v_{in}$ , where  $g_{m1} = I_{B1}/2V_T$  and  $I_{B1}$  is the bias current. The output current  $i_1$  is fed as the bias current of the OTA<sub>2</sub>. When the constant voltage source  $V_C \gg 2V_T$ , the output current  $i_2$  can be expressed in (4). When  $V_C \ll -2V_T$ , the output current  $i_2$  can be given in (5).

$$i_2 = \begin{cases} g_{m1}v_{in} & \text{for } v_{in} > 0 \\ 0 & \text{for } v_{in} < 0 \end{cases} \quad (4)$$

$$i_2 = \begin{cases} -g_{m1}v_{in} & \text{for } v_{in} > 0 \\ 0 & \text{for } v_{in} < 0 \end{cases} \quad (5)$$

From equation (4) and (5), the circuit act as a positive and a negative half-wave rectifiers, respectively, depend on the polarity of the controlled constant voltage source  $V_C$ .

### B. Basic Full-wave rectifier

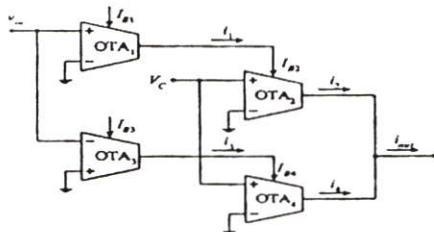


Fig. 3. Basic OTA-based full-wave rectifier

As shown in the fig. 3, two half-wave rectifier circuits, positive (OTA<sub>1</sub> and OTA<sub>2</sub>) and negative (OTA<sub>3</sub> and OTA<sub>4</sub>), are combined to form a full-wave rectifier circuit. When considered the transconductance gain of the OTA<sub>1</sub> and the OTA<sub>3</sub> are equal,  $g_{m1} = g_{m3} = g_m$ ,  $I_{B1} = I_{B3} = I_B$  and  $g_m = I_B/2V_T$ . For  $v_{in} > 0$ , the current  $i_1$  and  $i_3$  of the OTA<sub>1</sub> and OTA<sub>3</sub> can be respectively written as,

$$i_1 = g_{m1}v_{in} = g_mv_{in} \quad (6)$$

and

$$i_3 = -g_{m3}v_{in} = -g_mv_{in} \quad (7)$$

The currents  $i_1$  and  $i_3$  are fed as the bias currents of the OTA<sub>2</sub> and OTA<sub>4</sub>, respectively. In the case of  $V_C \gg 2V_T$ ,

the OTA<sub>2</sub> and OTA<sub>4</sub> allow only positive current flow through. Therefore,

$$i_2 = i_1 = g_mv_{in} \text{ and } i_4 = 0 \text{ for } v_{in} > 0 \quad (8a)$$

and

$$i_2 = 0 \text{ and } i_4 = i_3 = g_mv_{in} \text{ for } v_{in} < 0 \quad (8b)$$

Since the output current  $i_{out}$  is the summation of the current  $i_2$  and  $i_4$ , the relation between the input voltage  $v_{in}$  and the output current  $i_{out}$  is

$$i_{out} = i_2 + i_4 = g_m|v_{in}| = \frac{I_B}{2V_T}|v_{in}| \quad (9)$$

Alternatively, if  $V_C \ll -2V_T$ , from equation (5), the negative full-wave rectifier, the output current can be expressed as

$$i_{out} = -g_m|v_{in}| = -\frac{I_B}{2V_T}|v_{in}| \quad (10)$$

equation (9) and (10) indicate the circuit in fig. 2 can be operated as a positive or a negative full-wave rectifier by controlling the polarity of  $V_C$ .

## III. THE COMPENSATED OTA-BASED FULL-WAVE RECTIFIER

### A. Improve the limited input voltage swings and temperature dependence

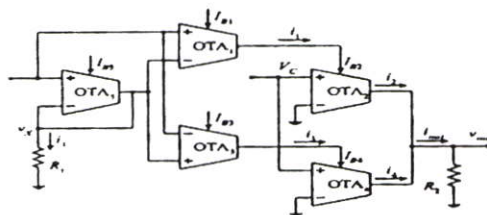


Fig. 4. The compensated OTA-based full-wave rectifier

There are two major limitations that occur when using the ordinary bipolar-based OTA. First, the differential input voltage of the differential pair, the input stage of the OTA, is limited to be less than 50mV for linear operation. Second, the OTA transconductance gain  $g_m$  is inversely proportional to temperature. The temperature-insensitive wide-dynamic range OTA-based full-wave rectifier, based on the compensation scheme [10], is shown in fig. 4.

The OTA<sub>5</sub>, which is formed the electronically tunable resistor, and a resistor  $R_1$  as a voltage divider circuit makes the voltage across the OTA<sub>5</sub>,  $v_{in} - v_x$ , very small and increases the circuit dynamics range. The voltage across

the OTA<sub>5</sub> is then used as the input voltages for the OTA<sub>1</sub> and OTA<sub>3</sub>. The voltage at node X or  $v_X$  can be written as

$$v_X = \frac{g_{m5}R_1}{1 + g_{m5}R_1} v_{in} \quad (11)$$

and the currents  $i_1$  and  $i_3$  can be expressed as

$$i_1 = -i_3 = g_m (v_{in} - v_X) \quad (12)$$

where  $g_{m1} = g_{m3} = g_m$ . From (11) and (12), the currents  $i_1$  and  $i_3$  become

$$i_1 = -i_3 = \frac{g_m}{1 + g_{m5}R_1} v_{in} \quad (13)$$

If by design, let  $g_{m5}R_1 \gg 1$ , the currents  $i_2$  and  $i_4$  can be approximately given by

$$i_2 = -i_4 = \frac{g_m}{g_{m5}R_1} v_{in} = \frac{I_B}{I_{B5}} \frac{v_{in}}{R_1} \quad (14)$$

Thus, the output voltage  $v_{out}$  is equal to

$$v_{out} = \frac{I_B R_2}{I_{B5} R_1} |v_{in}| \quad \text{for } V_C \gg 2V_T \quad (15a)$$

and

$$v_{out} = -\frac{I_B R_2}{I_{B5} R_1} |v_{in}| \quad \text{for } V_C \ll -2V_T \quad (15b)$$

From equations (15a) and (15b), the temperature dependence of the transconductance gains  $g_{m1}$  and  $g_{m3}$  are compensated by  $g_{m5}$ . The input voltage swing limitation has been improved from  $2V_T$  to approximately  $I_{B5}R_1$ . The output voltage  $v_{out}$  can be electronically tuned by the current ratio  $I_B/I_{B5}$ .

#### B. Performance analysis

In this section, the major factors that contribute to the inaccuracy of the circuit performance will be considered. The first factor is the transfer error from the conversion of the input voltage  $v_{in}$  into the small signal current  $i_1$ . The relationship of the input  $v_{in}$  and the current  $i_1$  can be accurately expressed as

$$i_1 = (1 - \varepsilon_v) \frac{g_m}{g_{m5}R_1} v_{in} \quad (16)$$

The percentage error of the voltage-to-current conversion error is

$$\varepsilon_v = \frac{1}{1 + g_{m5}R_1} \times 100\% \quad (17)$$

For  $g_{m5} = 0.0096$  A/V and  $R_1 = 10$  k $\Omega$ , the error of about 1% is expected. This error can be further reduced by increasing the value of  $g_{m5}R_1$ . Second factor is the error due to the current mirrors inside the OTA, the percentage error from the input and output currents transfer of the Wilson current mirror is given

$$\varepsilon_c = \frac{2}{\beta^2 + 2\beta + 2} \times 100\% \quad (18)$$

where  $\beta$  is the common emitter current gain of the bipolar transistor [11]. As an example, if  $\beta = 100$ , the error is about 0.02%.

The third factor is the temperature dependence of transconductance gains  $g_m$  that affects the output current. The percentage error of the output current for the compensated voltage-to-current base on OTA [10] can be approximated as

$$\frac{\Delta i_{out}}{i_{out}} = \frac{-2V_T}{2V_T + I_{B5}R_1} \frac{\Delta T}{T} \times 100\% \quad (19)$$

From equation (19), the temperature influence can be reduced by increasing the value of  $I_{B5}R_1$ , where  $T$  is the room temperature (27°C) and  $\Delta T$  is the change of temperature from room temperature. If  $V_T = 26$  mV at room temperature,  $I_{B5} = 500$   $\mu$ A and  $R_1 = 10$  k $\Omega$  and temperature change at 50°C and 70°C, then the percentage error of the output current  $i_{out}$  are about 0.0789% and 0.1475%, respectively. The fourth factor is the dc output offset current that arising from the non-ideal characteristic of the OTA, such as nonzero-input bias and input-offset currents errors, can simply be compensated by adding DC current source with the currents signal  $i_1$  and  $i_2$ .

#### IV. SIMULATION AND EXPERIMENTAL RESULTS

To verify the theoretical prediction, the performance of the circuit in fig. 4 was simulated using PSPICE with OTA LM13600 models. The supply voltage  $V_{CC} = -V_{EE} = 15$  V. The OTA bias currents are  $I_{B1} = I_{B2} = I_{B3} = I_{B4} = I_{B5} = 500$   $\mu$ A and  $R_1 = R_2 = 10$  k $\Omega$ .

The DC transfer characteristic is shown in fig. 5. Both the high accuracy and linearity can be achieved for  $v_{in}$  50 mV to 5V. In the dash-line, zoom of the plot for  $v_{in}$  less than 200 mV shows the relatively large amount of distortion, particularly when  $v_{in}$  less than 50 mV. The comparison of the simulated output currents  $i_{out}$  against temperature is shown in fig. 6, in the case of the basic and the compensated circuits, for the input voltages  $v_{in}$  of 5 mV and 500 mV, respectively. The nominal output currents were set to 48  $\mu$ A. The temperature performance of the compensated circuit is much better than the basic circuit

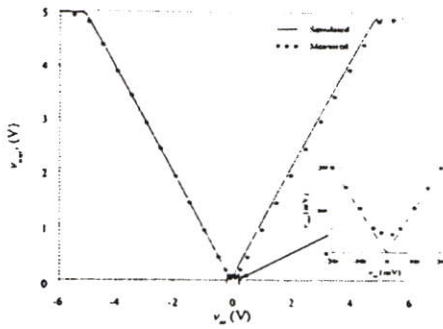


Fig. 5. DC transfer characteristic of the proposed OTA-based full-wave rectifier

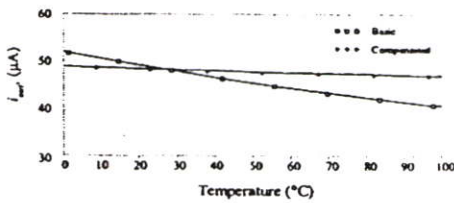


Fig. 6. Variation of output currents  $i_{out}$  against temperature

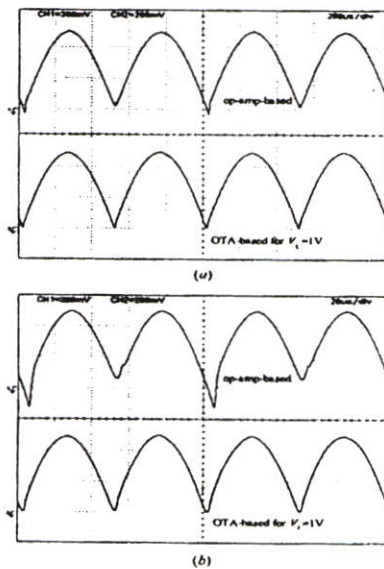


Fig. 7. Experimental results of the positive full-wave rectifier at the frequency (a) 1 kHz (b) 10 kHz

For experimental confirmation, the proposed circuit fig. 4, was constructed by using LM13600-type OTA's. Resistor  $R_1$  and  $R_2$  were 1% tolerance resistors. Fig. 7 shows the measured output waveforms of the op-amps-based rectifiers compared with the OTA-based positive

full-wave rectifier for the frequency of 1kHz and 10kHz, respectively.

## V. CONCLUSIONS

In this paper, a new technique employing the characteristic of the differential amplifier inside of the OTA to design a full-wave rectifier has been proposed. The full-wave rectifier circuit employs OTAs as the only active elements and does not require diodes. The input voltage swing limitation has been improved from  $2V_T$  to approximately  $I_{B3}R_1$  and the temperature sensitive of the OTA is also compensated. The simulation and experimental results have been shown that the proposed circuit performs very well when compared with op-amps-based circuit.

## ACKNOWLEDGMENT

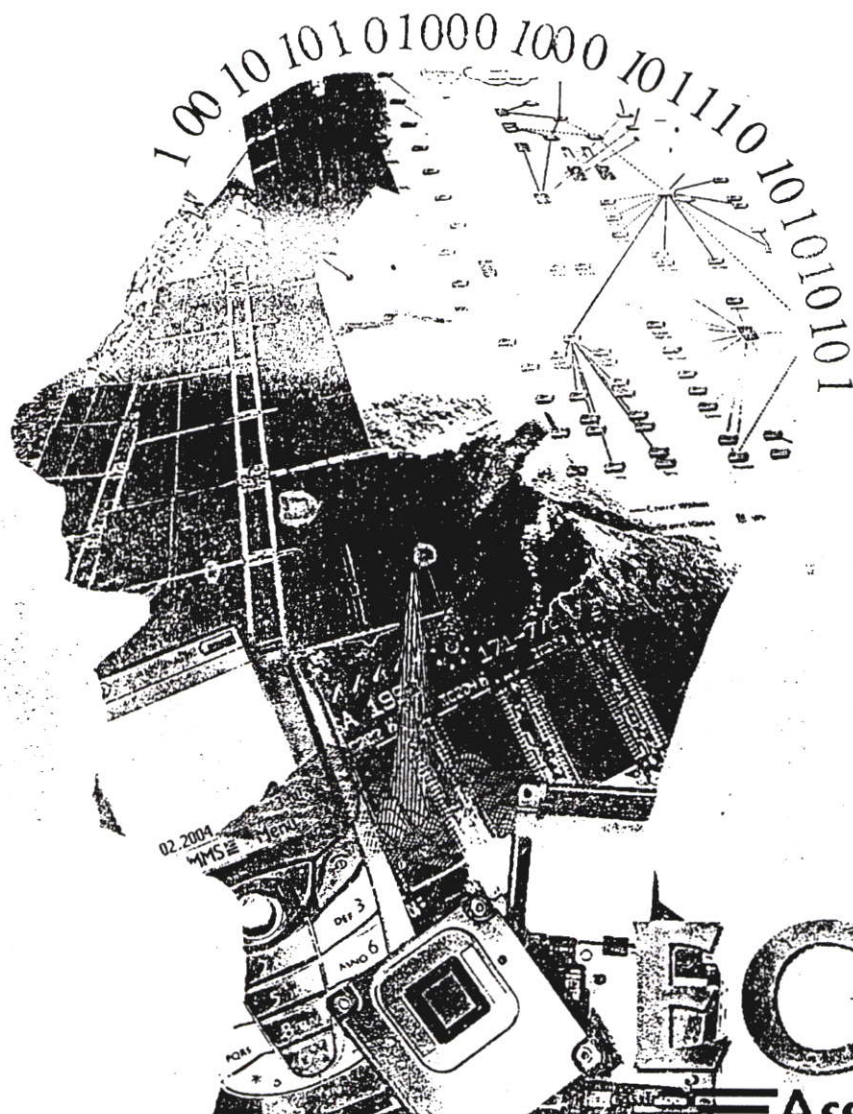
This work is funded by the Thailand Research Fund(TRF) through the Senior Research Scholar Program, grant number RTA/04/2543.

## REFERENCES

- [1] R. F. Coughlin, and F. F. Driscoll, *Operational Amplifiers and Linear Integrated Circuits*. New Jersey: Prentice Hall, 1991, pp. 171-187.
- [2] F. J. Lidgley, K. Hayatleh, and C. Toumazou, "New current-mode precision rectifiers," *Proceedings of the IEEE Int. Symp. Circuits Syst. Chicago*, pp. 1322-1325, 1993.
- [3] S. Gift, "A high-performance full-wave rectifier circuit," *Int. J. Electron.*, vol. 87, pp. 925-930, 2000.
- [4] K. Hayatleh, F. J. Lidgley, and S. Porta, "Degradation mechanisms in operational amplifier precision rectifiers," *IEEE Trans. Circuits Syst. I*, vol. 42, pp. 479-485, 1995.
- [5] W. Surakamponorn, S. Jutaviriya, and T. Apajinda, "Full-wave rectifiers using operational amplifiers and resistors," *Int. J. Electron.*, vol. 66, pp. 913-916, 1989.
- [6] C. Toumazou, F. J. Lidgley, and S. Chattong, "High frequency current conveyor precision full-wave rectifier," *Electron. Lett.*, vol. 30, pp. 745-746, 1994.
- [7] W. Surakamponorn, K. Anuntahirunrat, and V. Riewruja, "Sinusoidal Frequency double and full-wave rectifier using translinear current conveyor," *Electron. Lett.*, vol. 34, pp. 2077-2079, 1998.
- [8] E. Sanchez-sinencio, J. Ramirez-angulo, B. Linares-barranco, and A. Rodriguez-vazquez, "Operational transconductance amplifier-based nonlinear function syntheses," *IEEE J. Solid-state Circuits*, vol. 24, pp. 1576-1586, 1989.
- [9] C. Mead, *Analog VLSI and Neural Systems*. America: Addison-Wesley, 1989, pp. 88-90.
- [10] W. Surakamponorn, V. Riewruja, K. Kumwachara, C. Surawatpunya, and K. Anuntahirunrat, "Temperature-Insensitive Voltage-to-Current converter and Its applications," *IEEE Trans. Instrum. Meas.*, vol. 48, pp. 1270-1277, 1999.
- [11] P. R. Grey, and R. G. Meyer, *Analysis and Design of Analog Integrated Circuit*. New York: John Wiley & Sons, 1993, pp. 270-287.

# ECTI-CON 2005

The 2005 ECTI International Conference

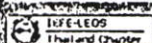
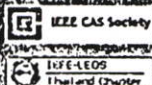


# ECTI Association

Proceedings of The 2005 Electrical Engineering, Electronics, Telecommunications, and Information Technology (ECTI) International Conference

May 12-13, 2005

Asia Pattaya Beach Hotel, Pattaya, Chonburi THAYAN, A.S.D.



- A Hi-Fi Audio Coding Technique for Wireless Communication Based on Wavelet Packet Transformation
  - *Sansanee Netirojanakul, Watcharee Veerakachen, Mongkol Raksapatcharawong, Kasetsart University*
- Simple Waveform for UWB Communication
  - *Pichaya Supanakoon, Kritsana Wansiang, Sathaporn Promwong, King Mongkut's Institute of Technology Ladkrabang*
  - *Jun-ichi Takada, Tokyo Institute of Technology*
- Ground Reflection Path Loss Considering Waveform Polarization and Ground Characteristic for UWB Communication
  - *Pichaya Supanakoon, Suchada Tanchoukul, Sathaporn Promwong, King Mongkut's Institute of Technology Ladkrabang*
  - *Jun-ichi Takada, Tokyo Institute of Technology*

FPM-3

Power system 2

634

- A Brief Review of Events, People, Market and Technologies for Enhancement of Power Scenario in ASIAN Countries
  - *P.M.Meshram, B.Y.Bagde, R.N.Nagpure, Yeshwantrao Chavan College of Engg.*
- Suitability of Composite Insulators in Tropical Conditions Case Study Tanzania
  - *S. Kihwels, A.L. Kyaruzi, University of Dar es salaam*
- Power Loss Estimation in Distribution System a Case Study of PEA Central Area I
  - *Kriengkrai Bunluesak, Pakorn Kaewtrakulpong, King Mongkut's University of Technology Thonburi*
  - *Jamuan Horkiern, Kasetsart University*
- Multiple Tabu Search Algorithm for Solving Economic Dispatch Problem
  - *Saravuth Pothiya, Prinya Tantaswadi, Suwan Runggeratigul, Srinthorn International Institute of Technology*

FPM-4

Analog circuits 2

649

- Electronically Tunable Floating Impedance Multiplier
  - *Prajuab Pawarangkoon, Mahanakorn University of Technology*
  - *Vutikai Intaudom, Wiwat Kiranon, King Mongkut's Institute of Technology Ladkrabang*
- A Rail to Rail CMOS Current Feedback Operational Amplifier
  - *Patt Boonyaporn, Weerachai Nakhlo, Kasin Vichienchom, King Mongkut's Institute of Technology Ladkrabang*
  - *Varakorn Kasemsuwan, Hyung Keun Ahn, Konkuk University*
- Multi-Output CCI for Realization of Current Conveyors
  - *Patra Pienchob, Kiattisak Kumwachara, Wanlop Surakamponorn, King Mongkut's Institute of Technology Ladkrabang*
- Current-Controlled Differential Current Voltage Conveyor and Its Applications
  - *Tanawat Piyatat, Worapong Tangsrira, Wanlop Surakamponorn, King Mongkut's Institute of Technology Ladkrabang*
- A Low-Voltage Temperature-Compensated Exponential Amplifier using only NPN Transistors
  - *Chaiwat Jonkunsudchai, Chalermpan Fongsamut, Kiattisak Kumwachara, Wanlop Surakamponorn, King Mongkut's Institute of Technology Ladkrabang*

# Low-Voltage Temperature-Compensated Exponential Amplifier using only NPN Transistors

C. Jonkunsthidchai, C. Fongsamut, K. Kumwachara and W. Surakamponorn

The Faculty of Engineering and The Research Center for Communication and Information Technology (ReCCIT)  
King Mongkut's Institute of Technology Ladkrabang, Bangkok, 10520, Thailand  
Email: chaitwatt\_j@yahoo.com, kfchaler@kmitl.ac.th, kkkiaiti@kmitl.ac.th and kswanlop@kmitl.ac.th

## ABSTRACT

This paper presents a simple circuit design technique for realizing a low-voltage temperature compensated current-mode exponential amplifier using only NPN transistors. The circuit is composed of a current source dependent of temperature, a translinear-based multiplier/divider circuit, and a current mode exponential amplifier circuit. The circuit can operate for low-level power supply voltage at 2V. The simulation results obtained from the PSPICE program are employed to verify the theoretical prediction. The exponential amplifier demonstrates good characteristic performance and temperature stability.

**Keywords:** Exponential Amplifier, Current Mode, Temperature Compensated, Translinear, Logarithmic Amplifier

## 1. INTRODUCTION

An exponential amplifier is usually employed in the electronic systems, which need to handle wide dynamic ranges of signals, such as, a wide-band array radar, a sonar application, an one of the important building blocks in a variable gain amplifier (VGA) [1-2] and instrumentation applications. The basic principle for realizing the exponential amplifier is usually built by using semiconductor diodes or transistors with operational amplifier. The classical problem with this transistor configuration is that the performance of the amplifier depends on temperature [3]. Therefore, there has been a strong interest to develop a temperature compensation scheme. Recently, there is strong interest in the current-mode exponential circuit, where the applications can be found in the literature [4]. However, one of the disadvantages of this amplifier is the temperature, which is strongly dependent. The purpose of this paper is to propose a low-voltage current-mode temperature compensated exponential amplifier. The proposed circuit employs only NPN transistors, and is suitable for integrated circuit. The PSPICE simulation shows a quite good operation of the circuit.

## 2. CIRCUIT DESCRIPTION

### 2.1 Low-voltage Bipolar Translinear-based Temperature Dependent Exponential Amplifier

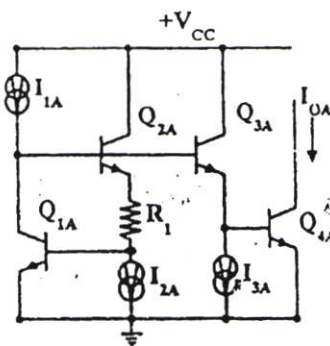


Fig. 1: Temperature Dependent Exponential Amplifier Circuit

In the figure 1 shows the basic circuit obtained by inserting only one resistor  $R_1$  into the translinear circuit [5], where  $I_{1A}$ ,  $I_{2A}$  and  $I_{3A}$  are the external bias currents of the transistor  $Q_{1A}$ ,  $Q_{2A}$  and  $Q_{3A}$ , respectively. We have the following relation

$$V_{BE1A} + I_{2A}R_1 + V_{BE2A} = V_{BE3A} + V_{BE4A} \quad (1)$$

The output current  $I_{OA}$  is the current flow into  $Q_{4A}$ , where  $V_{BE}$  is the base-emitter voltage, we get

$$V_T \ln \frac{I_{1A}}{I_S} + I_{2A}R_1 + V_T \ln \frac{I_{2A}}{I_S} = V_T \ln \frac{I_{3A}}{I_S} + V_T \ln \frac{I_{OA}}{I_S} \quad (2)$$

where  $I_S$  and  $V_T$  are the saturation current and the thermal voltage of the transistor, respectively. Assuming that the size of all transistors is same. Thus, equation (2) becomes,

$$I_{2A}R_1 = V_T \ln \frac{I_{3A}I_{OA}}{I_{1A}I_{2A}} \quad (3)$$

The circuit that realizes from the above function, is shown in Figure 1. Letting  $I_{2A} = I_{3A}$ , the emitter DC current of the transistors  $Q_{2A}$  and  $Q_{3A}$  becomes same. Thus we can

directly connect the base of  $Q_{4A}$  to the emitter of  $Q_{2A}$  and we can delete of  $Q_{3A}$  and  $I_{3A}$ . The equation (3) becomes,

$$I_{2A}R_1 = V_T \ln \frac{I_{OA}}{I_{1A}} \quad (4)$$

Thus, the output current  $I_{OA}$  is given by.

$$I_{OA} = I_{1A} e^{\frac{I_{2A}R_1}{V_T}} \quad (5)$$

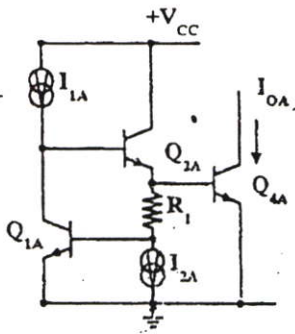


Fig.2: Temperature Dependent Exponential Amplifier with Reducing of  $Q_{3A}$  and  $I_{3A}$

From the Figure 2, we find that another one of disadvantages of the exponential amplifier is strong temperature, which is dependent on the output current  $I_{OA}$ . The next section, we will introduce the temperature compensated exponential amplifier.

2.2 Low-voltage Bipolar Translinear-based Temperature Compensated Exponential Amplifier

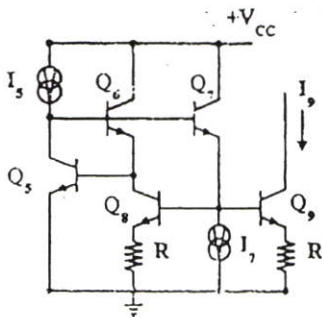


Fig.3: A Current Source Dependent of Temperature

Figure 3. Show a circuit of a low-voltage current source dependent of temperature, which is show form circuit in the logarithmic amplifier proposed in reference [6]. Assuming that the dimensions of all transistors are same and selecting two resistors are R. Thus, we can

realize a current source dependent of temperature follows,

$$I_9 = \frac{V_T}{R} \ln \frac{I_5}{I_7} \quad (6)$$

where we have selected  $I_5/I_7=e$ , then can be written as

$$I_9 = \frac{V_T}{R} \quad (7)$$

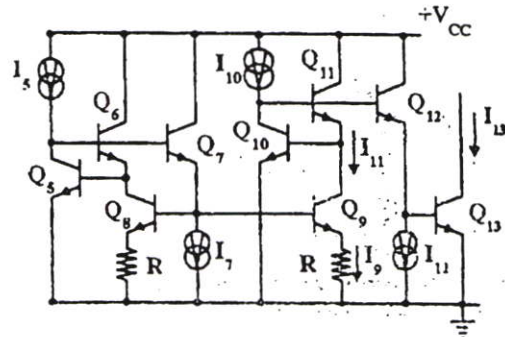


Fig.4: A practical of the Current Source Dependent of Temperature

In the figure 4 is a practical realization of the current source dependent of temperature where the output transistor of  $Q_9$  is directly connected to input of the next stage for translinear circuit cell of  $Q_{10}$  to  $Q_{13}$ . We will use as temperature-compensated circuit next time, at the transistor  $Q_{10}$  to  $Q_{13}$ , we obtain

$$I_{13} = \frac{I_{10}I_{11}}{I_{12}} \quad (8)$$

The transistor  $Q_9$ , which is the output transistor of the first stage of current source dependent of temperature, behaves as the input transistor of the second stage  $Q_{10}$  to  $Q_{13}$ . Substituting equation(7) into equation(8), where  $I_9=I_{11}$ , we obtain the output current of

$$I_{13} = \frac{I_{10}}{I_{12}} \left( \frac{V_T}{R} \right) \quad (9)$$

The schematic diagram of the proposed circuit for a low-voltage bipolar translinear-based temperature compensated exponential amplifier is shown in Figure 5. The circuit consists of a basic circuit in Figure 2, which is

directly connected to the current source dependent of temperature in Figure 4. Substituting current  $I_{13}$  from equation (9) into the current  $I_{2A}$  from equation (5), where  $R_1=R$ .

$$I_{OA} = I_{1A} e^{\frac{I_{13}}{I_7}} \quad (10)$$

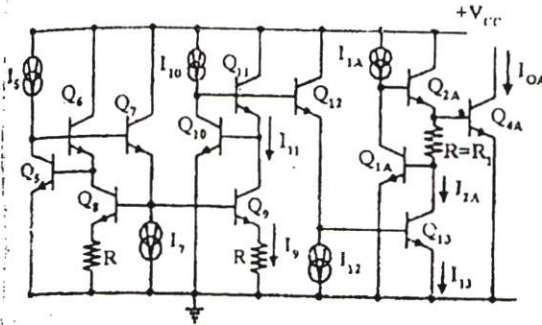


Fig.5: Temperature Compensated Exponential Amplifier Circuit using Only NPN Transistors

Now, the output current  $I_{OA}$  from equation (10) that the circuit should also be relatively of the temperature compensated in circuit of Figure 5. Since the circuit can be operated on current mode that has a capability of low power supply voltage of  $2V_{BE} + V_{CEsat} + RI \approx 1.8V$  Where  $I$  is the current of  $R$ . Thus a 2V power supply will be enough and the circuit attractive feature, as the circuit can be employed to implement only NPN transistor action.

3. SIMULATION RESULTS

To verify the theoretical design, the proposed low-voltage bipolar translinear-based temperature compensated exponential amplifier was simulated to confirm the characteristic of the circuits using the PSPICE program. We use the NPN transistors 2N3904 model obtained from the PSPICE library. The simulation results are shown in figure 6 for various values the power supply used is +2V and  $R=260\Omega$ . The bias currents  $I_5$  and  $I_7$  are chosen to be  $272\mu A$  and  $100\mu A$ , respectively, to give a value of ratio  $I_5/I_7=e$ . The bias currents  $I_{11}$  and  $I_{12}$  are set to  $100\mu A$  and the current  $I_{10}$  is input current signal.

Figure 6 shows the simulated and calculated DC transfer characteristic of the proposed exponential amplifier for the input signal current  $I_{10}$ , which is varied from 0 to  $300\mu A$ .

It can be seen that the resulting characteristic is precisely relate to the exponential function is good agreement with theoretical analysis with the error less than 0.5%. The simulation results shown in figure 7 exhibit the values of the output current against temperature for the case of uncompensated and compensated exponential amplifier of figure 2 and figure 5 for  $I_{2A}$  and  $I_{10}$  are equal to  $100\mu A$ , respectively. By varying the temperature  $-40^\circ C$  to

$100^\circ C$ , it is readily seen that the temperature performance of the compensation circuit is much better than the uncompensated circuit. The sensitivity of circuit with temperature of the uncompensated and compensated circuits are approximately equal to 0.99 and 0.03, respectively.

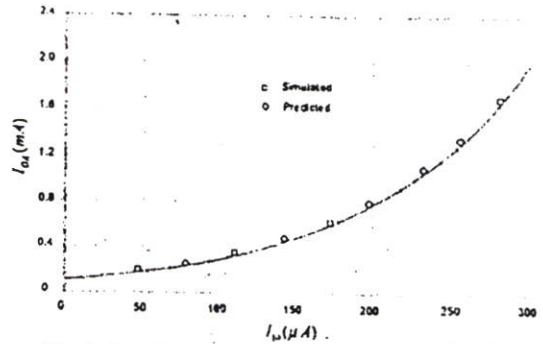


Fig.6: DC Transfer Characteristic of Exponential Amplifier for figure 5

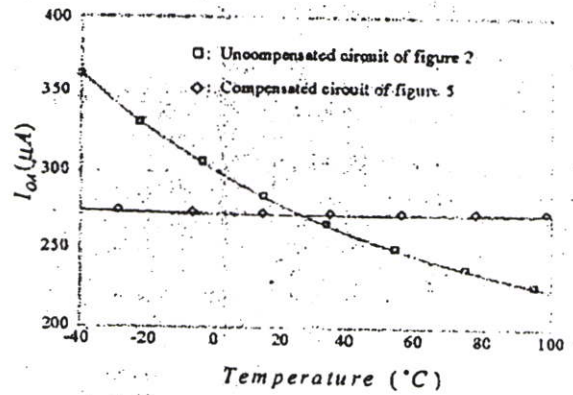


Fig.7: Variation of the Output Currents  $I_{OA}$  against Temperature of Fig.2 and Fig.5.

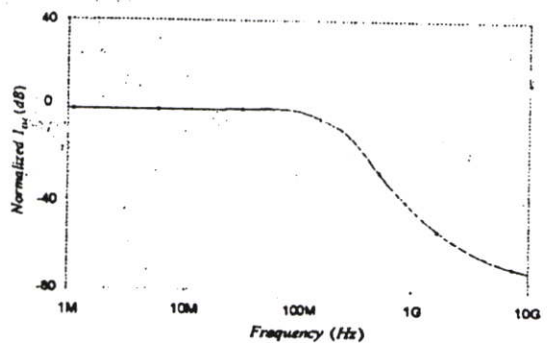


Fig.8: Frequency Characteristic of Exponential Amplifier for figure 5

The figure 8 and 9 show the frequency and phase response of the output current  $I_{O1}$  of the current-mode temperature compensated exponential amplifier of figure 5, respectively.

It is clearly shown that the circuit can be used up to frequency around 160 MHz at phase shift approximately to 90 degree

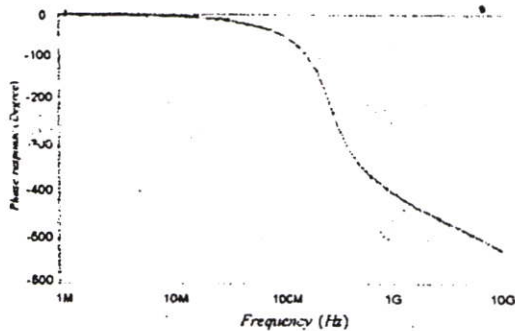


Fig.9 :Phase Response of Exponential Amplifier for figure5

#### 4. CONCLUSION

We have proposed a low-voltage temperature compensated exponential amplifier using only NPN transistors that can operate in the current-mode and at a power supply voltage as low as 2.0 volts or less. The special features of the proposed circuit are the insensitive of temperature and the suitable structure for IC fabrication, the circuit attractive feature, as the circuit can be employed to implement only NPN transistor action. Demonstrated simulation resulted confirmed the circuit performance.

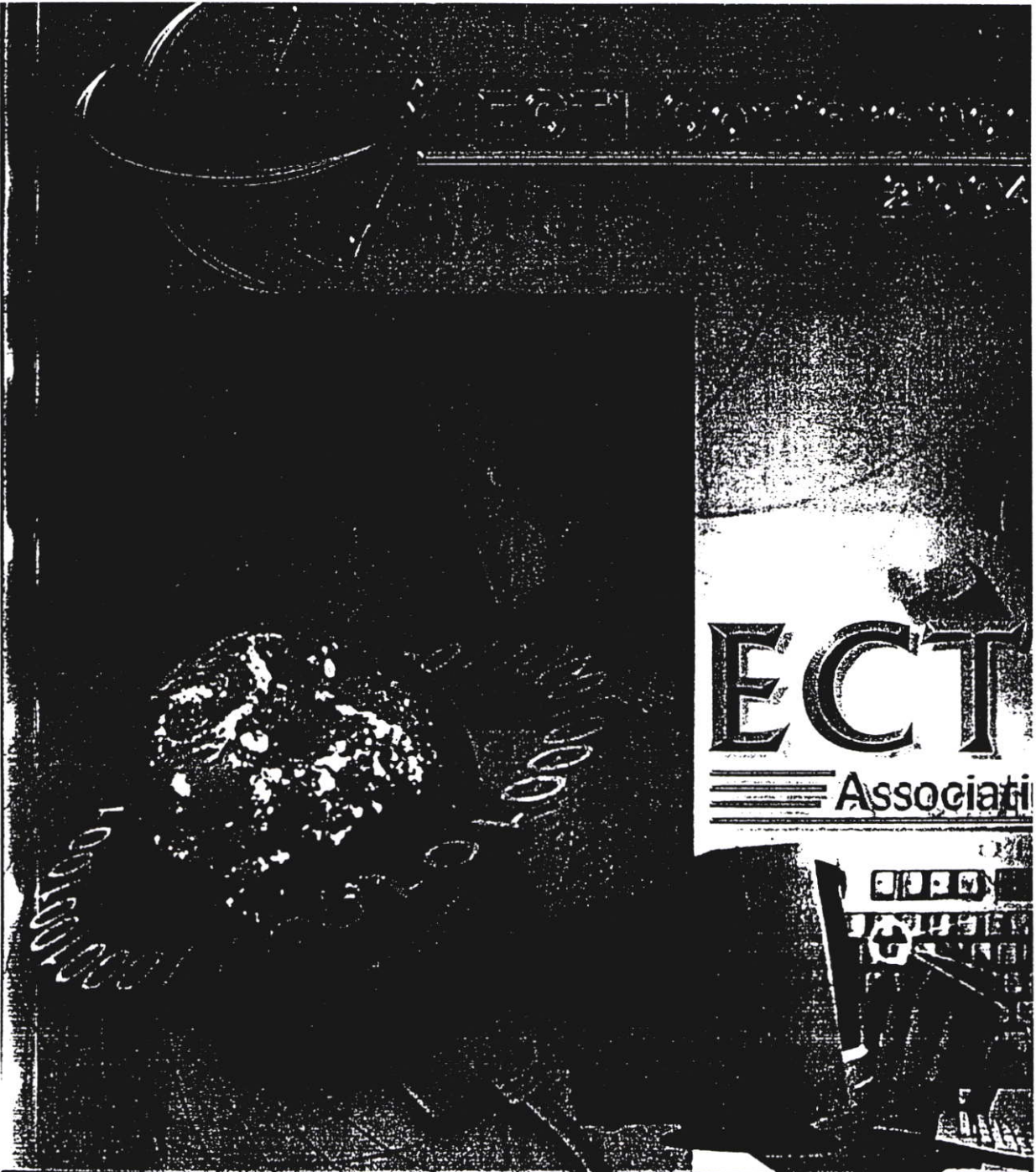
#### 5. ACKNOWLEDGEMENT

This work is partly funded by the Thailand Research Fund (TRF) under the Senior Research Scholar Program, grant number RTA4680003. The support provided by the Japan International Cooperation Agency (JICA) is also acknowledged.

#### 6. REFERENCES

- [1] A.Motamed, C.Hwang and M. Ismail, "A low-voltage low-power wide range CMOS variable gain amplifier ", IEEE Trans. Circuit Syst.II, Analog Digit. Signal Process. , vol.45, pp.880-890,1988.
- [2] K.M. Abdelfattah and A.M. soliman, "Variable gain amplifier based on a new approximation method to realize the exponential function", IEEE Trans. on circuits and systems, vol.49, no.9, pp.1348-1354, 2002.
- [3] F. Sergio, *Design with operational amplifier and analog integrated circuits*, Mcgraw-Hill, New York, pp. 526-555, 1997.

- [4] C. Toumazou, F. J. Lidgley and D. G. Haigh, *Analog IC Design: the Current-Mode Approach* (London: Peter Peregrinus).
- [5] E. Seevinck, *Analysis and synthesis of translinear integrated circuits*, Elsevier Science Publisher, Amsterdam, 1988. .
- [6] K. Kumwatchara and N. Fujii, "Low-voltage current mode power factor function generator", *IEICE Trans. Fundamentals*, vol. E83-A, no. 2, pp. 1-7, 2000.



**ECTI**  
 Association

**Proceedings of The First Electrical Engineering/Electronics, Computer, Telecommunications, and Information Technology (ECTI) Annual Conference**

May 13-14, 2004



IEEE MTT/AP/ED  
 THAILAND CHAPTER



IEEE CAS Society



NECTEC



IEEE-LEOS  
 Thailand Chapter



- *Suthasinee Lamultree, Chawanthawat Mansup, Chuwong Phongcharoenpanich, Sompol Kosulvit, and Monai Krairiksh, King Mongkut's Institute of Technology Ladkrabang*

- Can The Magnitude of The Voltage Reflection Coefficient Be Greater Than Unity?
  - *A Wongwattananat and D. Torrungrueng, Asian University of Science and Technology*
- Solving for the Current Distribution Using Gauss-Seidel Iteration and Multigrid Method
  - *W.Kuhirun, T.Jariyanorawiss, M.Polpasee, and N.Homsup, Kasetsart University*
- A Compact Wideband Bandpass Filter Using Square-Loop Resonators With Tuning Stubs
  - *Jessada Konpang, Alongkorn Namahoot and Prayoot Akkaraekthalin, King Mongkut's Institute of Technology North Bangkok*

**FPM1-RB Amplifiers and analog signal processing 397**

- A Novel Class-AB Transconductor suitable for High Speed CMOS Operational Amplifier
  - *Chutham Sawigun, Jirayut Mahattanakul, Mahanakorn University of Technology*
- Electronically tunable quadrature oscillator using current-controlled differential current voltage conveyors
  - *Worapong Tangsrirat, Wanlop Surakamponorn, King Mongkut's Institute of Technology Ladkrabang*
- A Compounded Second-Generation Current Conveyor Using Only NMOS Transistors
  - *Patra Pienchob, Kiattisak Kumwachara, Wanlop Surakamponorn, King Mongkut's Institute of Technology Ladkrabang*
- A Temperature Compensated Logarithmic Amplifier using only NPN Transistors
  - *Chaiwat Jonkunstidchai, Chalermpan Fongsamut, Kiattisak Kumwachara, Wanlop Surakamponorn, King Mongkut's Institute of Technology Ladkrabang*
- Translinear Peak Detector Circuit for Sinusoidal Signal
  - *Wannaya Ngamkham, Mahanakorn University of Technology*
  - *Thip Manmek, The university of New South Wales*
  - *Chariya Wongtaychatham, King Mongkut's Institute of Technology Ladkrabang*

**FPM2-RSI Energy and Power Systems 417**

- Bidding Strategies for Continuous Generation and Maximal Profit in Electricity Markets
  - *Wu Jiekang, Long Jun, He Fen, Guangxi University*
- A new efficient algorithm for real time harmonics measurement in power systems
  - *Thip Manmek, Colin Grantham, B. T. (Toan) Phung, The University of New South Wales*
  - *Wannaya Ngamkham, Mahanakorn University of Technology*
- A Self-Organizing Fuzzy Controller for Maximum Power Point Tracking in Photovoltaic Systems
  - *Noppadol Khaehintung, Phaophak Sirisuk, Mahanakorn University of Technology*

**FPM2-RSII Antenna and Propagation 429**

- Experimental of modeling scintillation distribution in short-term on S-band(1.694 GHz)
  - *Viparat Torchakul, Kitichai Visessiri, Pattariya Theerapatpaiboon, Nipha Leelaraju, Narong Hemmakorn, King Mongkut's Institute of Technology Ladkrabang*
  - *Khajitpan Makaratat, Ratjamankala Institute of Technology Salaya*

# A Temperature-Compensated Logarithmic Amplifier using only NPN Transistors

C. Jonkunsthichai, C. Fongsamut, K. Kumwachara and W. Surakampontrorn

The Faculty of Engineering and The Research Center for Communication and Information Technology(ReCCIT)  
King Mongkut's Institute of Technology Ladkrabang, Bangkok, 10520, Thailand  
Email: chawatt\_j@yahoo.com, kfchaler@kmitl.ac.th, kkiatti@kmitl.ac.th and kswanlop@kmitl.ac.th

## ABSTRACT

This paper presents a simple circuit design technique for realizing a temperature compensated current-mode logarithmic amplifier using only NPN transistors. It comprises two current mode logarithmic amplifier circuits and a current mode multiplier/divider circuit. The circuit can operate for a low-level power supply voltage at 2V. The simulation results, obtained from the PSPICE program, are employed to verify the theoretical prediction. The logarithmic amplifier demonstrates good characteristic performance and temperature stability.

**Keywords:** Logarithmic Amplifier, Current Mode, Temperature Compensated, Translinear, only NPN Tr.

## 1. INTRODUCTION

In the electronic systems that needed to handle wide dynamic ranges of signals, such as, a wide-band array radar, a sonar application, an automatic gain control (AGC) system and instrumentation applications, a logarithmic amplifier is usually employed [1]. The basic principal for realizing the logarithmic amplifier is usually built using semiconductor diodes or transistors in the feedback path of an operational amplifier. The classical problem with this transdiode configuration is that the performance of the amplifier depends on temperature [2]. Therefore, there has been a strong interest to develop a temperature compensation scheme. Recently, there is strong interest in current-mode logarithmic circuit, where the applications can be found in the literature [3]. However, one of the disadvantages of this amplifier is the strong temperature dependant. The purpose of this paper is to propose a low-voltage current-mode temperature compensated logarithmic amplifier. The proposed circuit employs only NPN transistors, and is suitable for integrated circuits. The PSPICE simulation shows a quite good operation of the circuit.

## 2. CIRCUIT DESCRIPTION

### 2.1 Temperature Dependent Logarithmic Amplifier

Figure 1 shows a current mode logarithmic amplifier circuit [4]. This unit usually generates a current that directly relates to the absolute temperature.

From the figure, we have the following relation of translinear circuit [5]

$$V_{BE1} + V_{BE2} = V_{BE3} + V_{BE4} + RI_4 \quad (1)$$

and  $V_{BEi}$ , the base-emitter voltage, is given by

$$V_{BEi} = V_T \ln \frac{I_{ci}}{I_{si}} \quad (2)$$

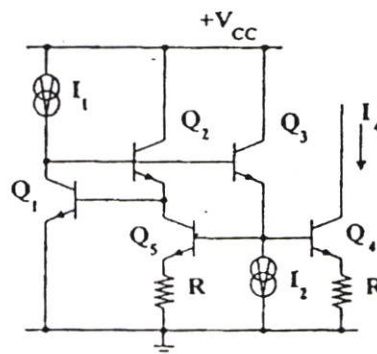


Fig.1: Temperature dependent logarithmic amplifier circuit

where  $I_{si}$ ,  $I_{ci}$  are the saturation current and the collector current of the transistor  $Q_i$ , respectively. Substituting Equation (2) into equation (1), we obtain

$$V_T \ln \left( \frac{I_{s1} I_{s4} I_{c1} I_{c2}}{I_{s1} I_{s2} I_{c3} I_{c4}} \right) = RI_4 \quad (3)$$

Assuming that the size of all transistor is the same, we can get  $I_{s1} = I_{s2} = I_{s3} = I_{s4}$ . Therefore, from equation (3), we get

$$V_T \ln \left( \frac{I_{C1} I_{C2}}{I_{C3} I_{C4}} \right) = R I_4 \quad (4)$$

Transistors  $Q_4, Q_5$  the resistors  $R$  function as a current mirror, reflecting the current of  $Q_4$  to  $Q_5$  that equals the current of  $Q_2$ . Its output current  $I_4$  can be described as

$$I_4 = \frac{V_T}{R} \ln \frac{I_1}{I_2} \quad (5)$$

where  $V_T$  is the usual thermal voltage, which is given by  $kT/q$ , and  $I_1$  and  $I_2$  are the external bias currents. Noted that, due to  $V_T$ , the output current is strongly temperature dependent.

In this work, the current mode multiplier/divider circuit [6] shown in figure 2 will be used as a means of temperature compensation in the logarithmic amplifier. It is similar to the logarithmic amplifier that the current  $I_4$  is substituted by transistor  $Q_5$  and resistor  $R$ . The current  $I_6$  will directly pass through transistor  $Q_9$  and can be expressed as

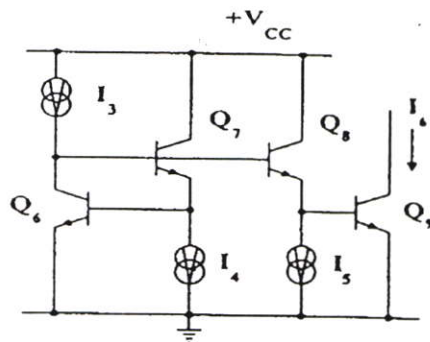


Fig.2: Current mode multiplier/divider circuit

$$I_6 = \frac{I_3 \cdot I_4}{I_5} \quad (6)$$

where  $I_3, I_4$  and  $I_5$  are the external bias currents.

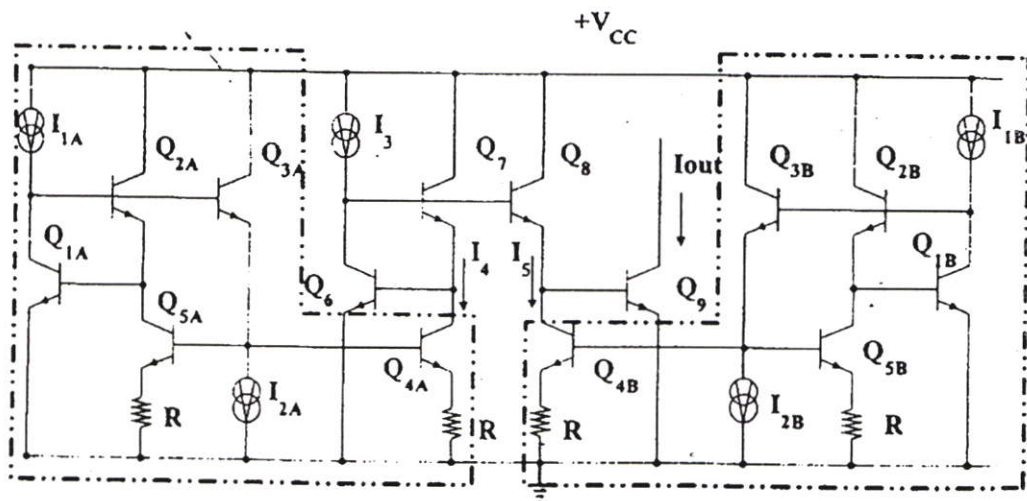


Fig.3: Temperature compensated logarithmic amplifier circuit using NPN transistors

### 2.2 Temperature-Compensated Logarithmic Amplifier

The proposed temperature-compensated logarithmic amplifier is shown in figure 3. It consists of a current mode multiplier/divider circuit of the figure 2 and two logarithmic amplifier circuits of the figure 1, which will refer to by the subscripts A and B. Assuming that all transistors are perfectly matched and working in forward active mode. From figure 3, the currents  $I_4$  and  $I_5$  are directly proportional to the thermal voltage  $V_T$  and the logarithmic function as

$$I_4 = \frac{V_T}{R} \ln \frac{I_{1A}}{I_{2A}} \quad (7)$$

and

$$I_5 = \frac{V_T}{R} \ln \frac{I_{1B}}{I_{2B}} \quad (8)$$

These currents  $I_4$  and  $I_5$  are fed into the current mode multiplier/divide circuit. Substituting equations (7) and (8) into equation (6), therefore, we obtain the output current  $I_{out}$  of the circuit as

$$I_{out} = \frac{I_3}{K} \ln \frac{I_{1A}}{I_{2A}} \quad (9)$$

where  $K = \ln \frac{I_{1B}}{I_{2B}}$  and  $K$  will be fixed to a constant

value. Now we can see that the output current  $I_{out}$  is temperature insensitive. From figure 3, the circuit can operate at a power supply voltage of  $2V_{BE} + V_{CE(sat)} + RI$ , where  $I$  is the current flowing  $R$ . Thereby an approximately 2V power supply will be adequate and the process of signal passes only the NPN Transistors.

### 3. SIMULATION RESULTS

To verify the theoretical design, the proposed temperature compensated logarithmic amplifier was simulated to confirm the characteristic of the circuits using the PSPICE program. We use the NPN transistors 2N3904 model obtained from the PSPICE library. The power supply used is +2V and  $R=260\Omega$ . The bias currents  $I_{1B}$  and  $I_{2B}$  are chosen to be  $272\mu A$  and  $100\mu A$ , respectively, to give a value of  $K=1$ . The bias currents  $I_{2A}$  and  $I_3$  are set to  $100\mu A$  and the current  $I_{1A}$  is input current signal. Figure 4 shows the DC transfer characteristic of the proposed logarithmic amplifier for the input signal current  $I_{1A}$ , which is varied from  $100\mu A$  to  $1000\mu A$ .

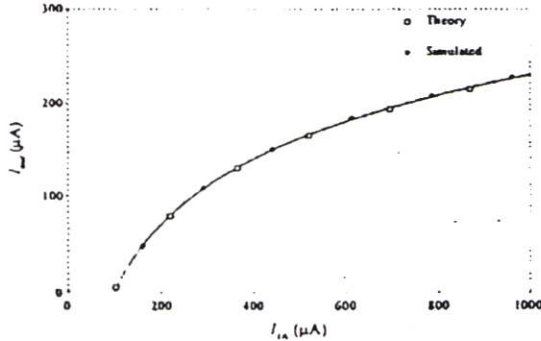


Fig.4: DC Transfer characteristic of logarithmic amplifier of figure 3

It can be seen that the resulting characteristic is precisely related to the logarithmic function in good agreement with the theoretical analysis. The simulation results shown in figure 5 exhibit the values of the output current against temperature for the case of uncompensated and compensated logarithmic amplifiers of figure 1 and figure 3, respectively. By varying the temperature from  $-40^\circ C$  to  $100^\circ C$ , it is readily seen that the temperature performance of the compensation circuit

is much better than the uncompensated circuit. The sensitivity of circuit with temperature of the uncompensated and compensated circuits are approximately equal to 0.99 and 0.03, respectively. Both figure 6 and 7 show the frequency and phase response of the current mode temperature compensated logarithmic amplifier of figure 3, respectively. It is clearly shown that the circuit can be used up to frequency around 130MHz at phase shift approximately equal to  $-90$  degree

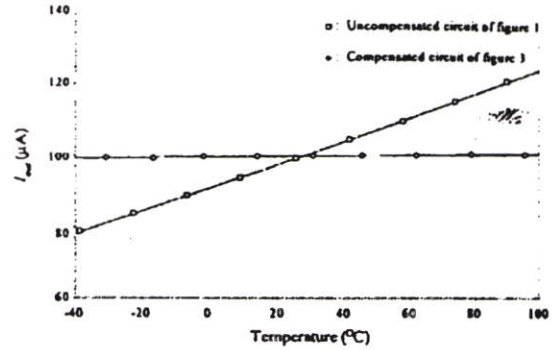


Fig.5: Variation of the output currents against temperature

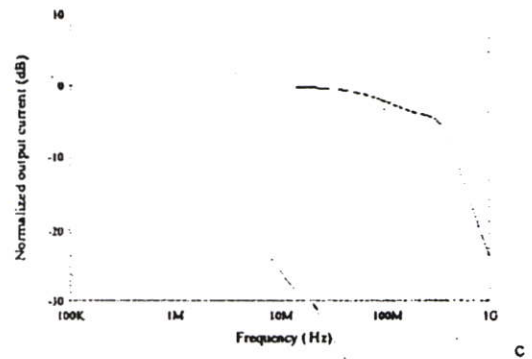


Fig.6: Frequency characteristic of logarithmic amplifier for figure 3

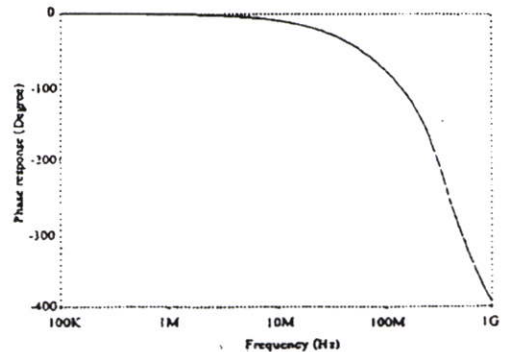


Fig.7: Phase response of logarithmic amplifier for figure 3

#### 4. CONCLUSION

In this paper, we have proposed a temperature compensation technique of a logarithmic amplifier that can operate in the current mode and at a power supply voltage as low as 2V. The special features of the proposed circuit are the insensitive of temperature and the suitable structure for IC fabrication. Demonstrated simulation resulted confirmed the circuit performance.

#### 5. ACKNOWLEDGEMENT

This work is partly funded by the Thailand Research Fund (TRF) under the Senior Research Scholar Program, grant number RTA4680003. The support provided by the Japan International Cooperation Agency (JICA) is also acknowledged.

#### 6. REFERENCES

- [1] R. S. Hughes, *Logarithmic Application with Application to Radar and EW*, Dedham, MA: Artech, 1986.
- [2] F. Sergio, *Design with operational amplifier and analog integrated circuits*, McGraw-Hill, New York, pp. 526-555, 1997.
- [3] C. Toumazou, F. J. Lidgley and D. G. Haigh, *Analogue IC Design: the Current-Mode Approach* (London: Peter Peregrinus).
- [4] K. Kumwatchara and N. Fujii, "Low-voltage current mode power factor function generator", *IEICE Trans. Fundamentals*, vol. E83-A, no. 2, pp. 1-7, 2000.
- [5] B. Gilbert, "A new wide-band amplifier technique", *IEEE Journ. Solid-State Circ.*, Vol. SC-3, pp. 353-365, 1968.
- [6] E. Seevinck, *Analysis and synthesis of translinear integrated circuits*, Elsevier Science Publisher, Amsterdam, 1988.

## ประวัติผู้เขียน

นายชัยวัฒน์ จงกุลสถิตชัย เกิดเมื่อวันที่ 11 สิงหาคม พ.ศ.2502 จังหวัดกรุงเทพมหานครฯ ได้สำเร็จการศึกษาในระดับปริญญาตรี หลักสูตรอุตสาหกรรมศาสตรบัณฑิต สาขาเทคโนโลยีโทรทัศน คณะวิศวกรรมศาสตร์ จากสถาบันเทคโนโลยีพระจอมเกล้าเจ้าคุณทหารลาดกระบัง (นนทบุรี)ปีการศึกษา2526 และในปีการศึกษา2542 สำเร็จการศึกษาปริญญาโท หลักสูตรวิศวกรรมศาสตรมหาบัณฑิต สาขาวิศวกรรมไฟฟ้า คณะวิศวกรรมศาสตร์ จากสถาบันเทคโนโลยีพระจอมเกล้าเจ้าคุณทหารลาดกระบัง และปีการศึกษา2545 ได้เข้าศึกษาต่อในระดับปริญญาเอก สาขาวิศวกรรมศาสตร์คุษฎีบัณฑิต สาขาวิศวกรรมอิเล็กทรอนิกส์ คณะวิศวกรรมศาสตร์ จากสถาบันเทคโนโลยีพระจอมเกล้าเจ้าคุณทหารลาดกระบัง

ประสบการณ์การทำงาน เริ่มเข้ารับราชการตำแหน่งอาจารย์ระดับ3 ที่สถาบันเทคโนโลยีราชมงคลวิทยาเขตพระนครเหนือ ตั้งแต่ปีการศึกษา2527 (ปัจจุบันเปลี่ยนเป็นมหาวิทยาลัยเทคโนโลยีราชมงคลพระนคร) ในปีพ.ศ. 2544 ได้โอนย้ายไปดำรงตำแหน่งเป็นรองผู้อำนวยการฝ่ายกิจการพิเศษของสถาบันเทคโนโลยีราชมงคลวิทยาเขตศาลายา และได้รับสรรหาให้ดำรงตำแหน่งผู้อำนวยการสำนักวิทยบริการและเทคโนโลยีสารสนเทศ มหาวิทยาลัยเทคโนโลยีราชมงคลรัตนโกสินทร์ ตั้งแต่เดือนมีนาคม ปีพ.ศ.2550 จนถึงปัจจุบัน